



معاونت اکتشاف

مدیریت امور اکتشاف

طرح تلفیق لایه های اطلاعاتی پایه و معرفی مناطق امیدبخش معدنی کشور

گزارش نهایی پروژه پی جوئی به روش اکتشافات ژئوشیمیایی
۱۵۰۰۰ محدوده نصرنده (شمال شرق استان اصفهان)

مجری طرح: مهندس ناصر عابدیان

مجری فنی طرح: مهندس بهروز برنا

مسئول فنی پروژه: مهندس پیام سودی شعار

تهیه کنندگان: بهزاد برآتی، نسترن ابراهیمی

حسین همتیان علمی

۱۳۸۸ ماه بهمن

تشکر و قدردانی

در ابتدا خداوند را سپاس می‌گوئیم که در سایه توفیقات خود مرا موفق به انجام این مهم گردانید و امیدواریم که در این راه خدمتی هر چند کوچک در جهت اعتلا و سازندگی فردای کشور اسلامی خود انجام گرفته باشد. گزارش موجود، حاصل تلاش همگانی است که بدون همکاری و مشارکت کلیه همکاران مختلف سازمان زمین‌شناسی به خصوص ریاست محترم سازمان جناب آقای مهندس کره‌ای، مجری محترم طرح آقای مهندس ناصر عابدیان، مجری فنی پروژه آقای مهندس بهروز برنا و مسئول فنی پروژه آقای مهندس پیام سودی‌شعار امکان‌پذیر نبود.

تشکر فراوان از فرمانداری محترم شهرستان اردستان و رانندگان بومی منطقه که در این راستا زحمت فراوان متحمل شدند.

این گزارش حاصل تلاش بی‌شائبه بخشهای مختلف سازمان از جمله آزمایشگاه مرکز کرج و بخش مطالعه کانی سنگین ساختمان صادقیه است که زحمت تجزیه و مطالعه نمونه‌های پروژه را متحمل شدند.

فهرست مطالب

صفحه	عنوان
۳	فصل اول: کلیات
۴	۱-۱- مقدمه
۶	۱-۲- موقعیت جغرافیایی و راههای دسترسی
۹	۱-۳- توپوگرافی و ویژگی‌های ژئومورفولوژیکی محدوده نصرند
۱۴	۱-۴- بررسی‌های اکتشافی انجام شده در منطقه
۱۶	فصل دوم: زمین‌شناسی
۱۷	۲-۱- مقدمه ای بر زمین‌شناسی عمومی کمربند ارومیه دختر
۱۷	۲-۲- مروری بر زمین‌شناسی عمومی منطقه
۲۳	۲-۲-۱- مزوژوئیک
۲۷	۲-۲-۲- سنوزوئیک
۲۹	۲-۳- چینه‌شناسی محدوده مورد مطالعه
۳۱	۴-۱- زمین‌شناسی ساختمان
۳۵	۵-۱- زمین‌شناسی اقتصادی از دیدگاه ناحیه‌ای
۳۹	۵-۲- زمین‌شناسی ساختمان
۴۱	۵-۳- تفکیک واحدهای زمین‌شناسی
۴۸	۳- مقدمه
۴۸	۳-۱- اهداف مطالعه
۴۹	۳-۲- مراحل کار
۴۹	۳-۳-۱- بررسی وضعیت ساختارهای زمین‌شناسی ناحیه (گسلها، ساختارهای حلقوی)
۵۲	۳-۳-۲- تفکیک واحدهای زمین‌شناسی
۵۲	۳-۳-۳- تفکیک زونهای دگرسانی
۵۳	فصل چهارم: ژئوشیمی
۵۶	۴-۱- نمونه‌برداری
۴۸	۴-۱-۱- طراحی شبکه نمونه‌برداری
۴۹	۴-۱-۲- عملیات نمونه‌برداری
۴۹	۴-۱-۳- نمونه ژئوشیمیایی
۵۲	۴-۲- آماده‌سازی نمونه‌ها
۵۲	۴-۳- آنالیز نمونه‌ها
۵۳	۴-۴- کنترل نتایج آنالیز نمونه‌ها
۵۶	۴-۵- تخمین مقادیر سنسورد

صفحه	عنوان
۵۷	۶-۴- بررسی داده‌های خام
۶۹	۷-۴- بررسی مقادیر خارج از ردیف:
۷۱	۸-۴- پردازش آماری داده‌ها
۷۱	۹-۴- نرمال‌سازی داده‌ها
۷۳	۱۰-۴- محاسبه ضریب همبستگی عناصر
۷۶	۱۰-۴- ۱- آنالیز خوش‌های و تفسیر آن
۷۸	۱۰-۴- ۲- تجزیه و تحلیل عاملی (آنالیز فاکتوری)
۸۵	۱۱-۴- جداسازی آنومالی‌ها از جامعه زمینه به روش P.N
۸۹	۱۲-۴- تخمین شبکه‌ای داده‌ها
۹۰	۱۳-۴- تشریح آنومالی‌های ژئوشیمیایی
	فصل پنجم: مطالعات کانی سنگین
۱۳۰	۱-۵- مطالعات کانی سنگین
۱۳۱	۲-۵- ردیابی کانی سنگین
۱۳۲	۳-۵- طراحی و نمونه‌برداری کانی سنگین
۱۳۴	۴-۵- آماده‌سازی و مطالعه
۱۴۲	۵-۵- پردازش داده‌های کانی سنگین
۱۴۶	۶-۵- متغیرهای کانی سنگین
	فصل ششم: کنترل صحرایی آنومالی‌های ژئوشیمی و کانی سنگین
۱۶۳	۱-۶- مقدمه
۱۶۳	۲-۶- برداشت نمونه‌های مینرالیزه
۱۷۷	۲-۶- ۱- نمونه برداری سیستماتیک از رگه معدنی محدوده آنومالی شماره ۵
۲۰۳	۲-۶- ۲- جمع‌بندی نتایج حاصل از پروفیلهای رگه پلی متال
	فصل هفتم: نتیجه‌گیری و پیشنهادات
۲۰۶	۱-۷- مقدمه
۲۰۸	۲-۷- ۱- محدوده شماره ۱
۲۱۰	۲-۷- ۲- محدوده شماره ۲
۲۱۱	۳-۷- پیشنهادات
۲۱۲	منابع

فهرست جداول

صفحه	عنوان
۲۴	جدول (۱-۲): واحدهای سنگی موجود در منطقه
۵۳	جدول (۱-۴): حدسازیت عناصر همراه با روش آنالیز
۵۵	جدول (۲-۴): میزان خطای نسبی مربوط به هر عنصر
۵۷	جدول (۳-۴): عناصر سنسورد به همراه مقدار جایگزینی
۷۱	جدول (۴-۴): نمونههای خارج از ردیف
۷۴	جدول (۵-۴): ضریب همبستگی پیرسون
۷۵	جدول (۶-۴): عناصر با ضریب همبستگی بالا
۷۹	جدول (۷-۴): آزمون KMO & Bartlett
۸۰	جدول (۸-۴): جدول مشارکتها
۸۲	جدول (۹-۴): جدول توجیه تغییر پذیری کل
۸۷	جدول (۱۰-۴): انتخاب مناطق امیدبخش بر اساس PN
۱۳۶	جدول (۱-۵): مشخصات کانی‌های سنگین برداشت شده
۱۷۸	جدول (۴-۶): نتایج آنالیز نمونه‌های مینرالیزه مربوط به رگه سیلیسی محدوده
۱۸۰	جدول (۵-۶): نتایج آنالیز عناصر معدنی پروفیل شماره ۱ (مقادیر به ppm)
۱۸۴	جدول (۶-۶): نتایج آنالیز عناصر معدنی پروفیل شماره ۲ (مقادیر به ppm)
۱۸۷	جدول (۷-۶): نتایج آنالیز عناصر معدنی پروفیل شماره ۳ (مقادیر به ppm)
۱۸۸	جدول (۸-۶): نتایج آنالیز عناصر معدنی پروفیل شماره ۴ (مقادیر به ppm)
۱۹۳	جدول (۹-۶): نتایج آنالیز عناصر معدنی پروفیل شماره ۵ (مقادیر به ppm)
۱۹۴	جدول (۱۰-۶): نتایج آنالیز عناصر معدنی پروفیل شماره ۶ (مقادیر به ppm)
۱۹۸	جدول (۱۱-۶): نتایج آنالیز عناصر معدنی پروفیل شماره ۷ (مقادیر به ppm)
۲۰۱	جدول (۱۳-۶): نتایج آنالیز عناصر معدنی پروفیل شماره ۹ (مقادیر به ppm)
۲۰۳	جدول (۱۴-۶): میانگین نتایج آنالیز عناصر معدنی پروفیلهای مختلف (مقادیر به درصد)
۲۰۸	جدول (۱-۷): میانگین نتایج آنالیز عناصر معدنی پروفیلهای مختلف (مقادیر به درصد)

فهرست اشکال

صفحه	عنوان
۵	شکل (۱-۱): موقعیت محدوده مورد مطالعه و راههای دسترسی
۵	شکل (۲-۱): نمایی از روستای پنج در جنوب محدوده مورد مطالعه
۷	شکل (۳-۱): توپوگرافی محدوده
۱۰	شکل (۴-۱): نقشه محدوده‌های آنومالی در برگه یکصدهزارم شهراب
۱۵	شکل (۲-۱): موقعیت منطقه مورد مطالعه بروی نقشه تقسیم بندی ساختاری ایران و قرارگیری محدوده مورد مطالعه در بخش میانی مجموعه آتشفسانی سهند-بزمان
۱۶	شکل (۲-۲): موقعیت برگه یکصدهزارم زواره (شهراب) در ایندکس نقشه‌ها
۲۳	شکل (۳-۲): وضعیت زمین شناسی منطقه بر مبنای نقشه زمین شناسی با مقیاس یکصدهزارم شهراب
۲۵	شکل (۴-۲): رخنمون سنگی با ترکیب آندزیت-بازالت
۲۶	شکل (۵-۲): نفوذ توده گرانودیوریتی در محدوده مورد مطالعه
۲۸	شکل (۶-۲): تصویر رزدیاگرام حاصل از گسلهای زمین شناسی محدوده
۳۴	شکل (۱-۳): تصویر ماهواره TERRA سنجنده ASTER با ترکیب باندی 4,3,1 در محیط RGB
۳۵	شکل (۲-۳): مدل سه بعدی تهیه شده با استفاده از داده‌های رقومی ارتفاعی (DEM)
۳۷	شکل (۳-۳): تصویر سنجنده ASTER محدوده مورد بررسی بعد از اعمال فیلتر Sharpening Edge
۳۸	شکل (۴-۳): تصویر ماهواره‌ای سنجنده ASTER و نمایش ساختارهای حلقوی محدوده مورد بررسی
۳۸	شکل (۵-۳): تصویر ماهواره‌ای سنجنده ASTER و نمایش گسلهای محدوده مورد بررسی
۴۰	شکل (۶-۳): اعمال روش طبقه‌بندی نظارت شده به روش SMACC در نرم افزار ENVI در ۶ کلاس
۴۱	شکل (۷-۳): نقشه نهائی تفکیک واحدهای زمین شناسی
۴۲	تصویر (۸-۳): نقشه نهائی تفکیک دگرسانی اکسیدآهن
۴۳	شکل (۹-۳): اعمال الگوریتم LS-FIT و طبقه‌بندی نظارت شده جهت تفکیک کانی کائولینیت
۴۴	شکل (۱۰-۳): اعمال روش PCA در تصویر سنجنده ASTER به منظور تفکیک کانی کائولینیت
۴۴	شکل (۱۱-۳): تصویر سنجنده ASTER در محیط RGB و نمایش کانی‌های کائولینیت و سریسیت
۴۵	شکل (۱۲-۳): تصویر سنجنده ASTER در محیط RGB و نمایش کانی‌های کلریت و اپیدوت
۴۶	شکل (۱۳-۳): تصویر ASTER در محیط RGB و نمایش بخش‌های سیلیسی شده
۵۱	شکل (۱-۴): موقعیت نمونه‌های برداشت شده
۵۵	شکل (۲-۴): نمودار مربوط به خطای نسبی عناصر مختلف
۵۹	شکل (۳-۴): پارامترهای آماری و هیستوگرام عناصر Au,Hg,Sb,Bi
۶۰	شکل (۴-۴): پارامترهای آماری و هیستوگرام عناصر Mo,Ag,Pb,Zn
۶۱	شکل (۵-۴): پارامترهای آماری و هیستوگرام عناصر As,W,Sn,Ba
۶۲	شکل (۶-۴): پارامترهای آماری و هیستوگرام عناصر Mn,Fe,Cu,Cd
۶۳	شکل (۷-۴): پارامترهای آماری و هیستوگرام عناصر Te,S,Be,Sr
۶۴	شکل (۸-۴): پارامترهای آماری و هیستوگرام عناصر Ti,Cs,Co,V
۶۵	شکل (۹-۴): پارامترهای آماری و هیستوگرام عناصر Cr,Ni,Ti,Rb

صفحه	عنوان
٦٦	شکل (۱۰-۴): پارامترهای آماری و هیستوگرام عناصر P,U,Li,Y
٦٧	شکل (۱۱-۴): پارامترهای آماری و هیستوگرام عناصر Zr,Al,Ca,Mg
٦٨	شکل (۱۲-۴): پارامترهای آماری و هیستوگرام عناصر Ce,K,La,Nb
٦٩	شکل (۱۳-۴): پارامترهای آماری و هیستوگرام عناصر Na,Sc,Th,Yb
٧٠	شکل (۱۴-۴): نمودار جعبه‌ای عنصر بیسوموت
٧٠	شکل (۱۵-۴): نمودار جعبه‌ای عنصر مولیبدن
٧٠	شکل (۱۶-۴): نمودار جعبه‌ای عنصر باریم
٧٠	شکل (۱۷-۴): نمودار جعبه‌ای عنصر قلع
٧٠	شکل (۱۸-۴): نمودار جعبه‌ای عنصر مس
٧٠	شکل (۱۹-۴): نمودار جعبه‌ای عنصر روی
٧٧	شکل (۲۰-۴): نتایج حاصل از آنالیز خوشهای
٨٣	شکل (۲۱-۴): نمودار صخره‌ای
٨٤	شکل (۲۲-۴): ماتریس دوران مؤلفه‌ها
۱۴۲	شکل (۱-۵): هیستوگرام توزیع فراوانی مگنتیت
۱۴۳	شکل (۲-۵): هیستوگرام توزیع فراوانی هماتیت
۱۴۳	شکل (۳-۵): هیستوگرام توزیع فراوانی ایلمینیت
۱۴۴	شکل (۴-۵): هیستوگرام توزیع فراوانی آمفیبول
۱۴۴	شکل (۵-۵): هیستوگرام توزیع فراوانی اپیدوت
۱۴۵	شکل (۷-۵): هیستوگرام توزیع فراوانی زیرکن
۱۴۵	شکل (۸-۵): هیستوگرام توزیع فراوانی پیریت اکسید
۱۴۶	شکل (۹-۵): هیستوگرام توزیع فراوانی الیژیست
۱۴۷	شکل (۱۰-۵): هیستوگرام توزیع فراوانی متغیر اول (کانی‌های سنگ‌ساز)
۱۴۷	شکل (۱۱-۵): هیستوگرام توزیع فراوانی متغیر دوم (کانی‌های اقتصادی)
۱۴۸	شکل (۱۲-۵): هیستوگرام توزیع فراوانی متغیر سوم (کانی‌های گروه پیریت)
۱۴۸	شکل (۱۳-۵): هیستوگرام توزیع فراوانی متغیر چهارم (کانی‌های گروه سرب و روی)
۱۴۹	شکل (۱۴-۵): هیستوگرام توزیع فراوانی متغیر پنجم (کانی‌های گروه آهن)
۱۴۹	شکل (۱۵-۵): هیستوگرام توزیع فراوانی متغیر ششم (کانی‌های گروه تیتان)
۱۵۰	شکل (۱۶-۵): هیستوگرام توزیع فراوانی متغیر هفتم (کانی‌های دگرسانی)
۱۵۰	شکل (۱۷-۵): هیستوگرام توزیع فراوانی متغیر هشتم (کانی‌های دگرگونی)
۱۶۳	شکل (۱-۶): قطعه سنگ سیلیسی کف آبراهه، حاوی کانه فلزی گالن، کالکوبیریت و مالاکیت
۱۶۸	شکل (۲-۶): نمایی از آبراهه‌های محدوده نصرنده
۱۶۸	شکل (۳-۶): توف سیلیسی حاوی پیریت اکسید، الیژیست و هماتیت
۱۶۹	شکل (۴-۶): توف سیلیسی حاوی پیریت اکسید، الیژیست و هماتیت (در زون گسله با روند شرقی- غربی)
۱۷۰	شکل (۵-۶): توف سیلیسی حاوی پیریت اکسید، الیژیست و هماتیت (در زون گسله با روند شرقی- غربی)
۱۷۰	شکل (۶-۶): پایین دست مزرعه اکبرآباد، پچ آلتراسیون آرژیلی- لیمونیتی به وسعت کم
۱۷۱	شکل (۷-۶): رگه سیلیسی با روند N65W به ضخامت حداقل ۱۰ متر و طول ۴۰۰ متر همراه با آثار کنده‌کاری
۱۷۱	شکل (۸-۶): دپوی خاک باطله در پایین دست آثار کنده‌کاری
۱۷۲	شکل (۹-۶): رگه سیلیسی مذکور همراه با آثار کنده‌کاری و حاوی مالاکیت، آزوریت، گالن

صفحه	عنوان
۱۷۳	شکل (۱۰-۶): نمایی از آثار برداشت در محل نمونه
۱۷۴	شکل (۱۱-۶): آبراهه شرقی رگه سیلیسی کانه دار
۱۷۴	شکل (۱۲-۶): کنتاکت هماتیتی یک دایک حدواسط با روند شرقی- غربی
۱۷۵	شکل (۱۳-۶): واحدهای ولکانیکی شدیداً اکسیدی
۱۷۵	شکل (۱۴-۶): نمایی از کنتاکت توده با واحدهای ولکانیکی حاوی شکستگی‌های ملاکیتی
۱۷۶	شکل (۱۵-۶): شکستگی‌های ملاکیتی محل نمونه
۱۷۷	شکل (۱۶-۶): تصویر مربوط به بازدید محدود نصند
۱۷۹	شکل (۱۷-۶): نمایش پروفیلهای نمونه‌برداری بر روی رگه معدنی
۱۸۰	شکل (۱۸-۶): نمودار عیار- نمونه پروفیل شماره ۱
۱۸۱	شکل (۱۹-۶): بخش غربی رگه سیلیسی، محل پروفیلهای ۱، ۲، ۳، ۴
۱۸۱	شکل (۲۰-۶): انتهای غربی رگه، محل پروفیل ۱
۱۸۳	شکل (۲۱-۶): تصاویر مربوط به کانه‌های فلزی مشاهده شده در نمونه L1-Os1
۱۸۴	شکل (۲۲-۶): نمودار عیار- نمونه پروفیل شماره ۲
۱۸۵	شکل (۲۳-۶): تصویر رگه سیلیسی در محل پروفیل ۲
۱۸۶	شکل (۲۴-۶): تصاویر مربوط به کانه‌های فلزی مشاهده شده در نمونه L2-Os1
۱۸۷	شکل (۲۵-۶): نمودار عیار- نمونه پروفیل شماره ۳
۱۸۸	شکل (۲۶-۶): نمودار عیار- نمونه پروفیل شماره ۴
۱۸۹	شکل (۲۷-۶): تصویر رگه سیلیسی در محل پروفیل ۴
۱۸۹	شکل (۲۸-۶): تصویر رگه سیلیسی در محل پروفیل ۴
۱۹۲	شکل (۲۹-۶): تصاویر مربوط به کانه‌های فلزی مشاهده شده در نمونه L4-Os1
۱۹۳	شکل (۳۰-۶): نمودار عیار- نمونه پروفیل شماره ۵ (مقادیر به درصد)
۱۹۴	شکل (۳۱-۶): تصویر رگه سیلیسی در محل پروفیل ۵
۱۹۵	شکل (۳۲-۶): نمودار عیار- نمونه پروفیل شماره ۶ (مقادیر به درصد)
۱۹۵	شکل (۳۳-۶): تصویر رگه سیلیسی در محل پروفیل ۶
۱۹۷	شکل (۳۴-۶): تصاویر مربوط به کانه‌های فلزی مشاهده شده در نمونه L6-Os1
۱۹۸	شکل (۳۵-۶): نمودار عیار- نمونه پروفیل شماره ۷ (مقادیر به درصد)
۱۹۹	شکل (۳۶-۶): تصویر رگه سیلیسی در محل پروفیل ۷
۲۰۰	شکل (۳۷-۶): نمودار عیار- نمونه پروفیل شماره ۸
۲۰۱	شکل (۳۸-۶): نمودار عیار- نمونه پروفیل شماره ۹
۲۰۲	شکل (۳۹-۶): تصاویر رگه سیلیسی در محل پروفیل ۹
۲۰۴	شکل (۴۰-۶): نمودار تغییرات عیار در پروفیل‌های مختلف
۲۰۹	شکل (۱-۷): نمودار تغییرات عیار در پروفیل‌های مختلف محدوده شماره ۱
۲۰۹	شکل (۱-۷): نمودار تغییرات عیار در پروفیل‌های مختلف محدوده شماره ۱
۲۰۹	شکل (۲-۷): بخش غربی رگه سیلیسی، محل پروفیلهای ۱، ۲، ۳، ۴
۲۱۰	شکل (۳-۷): رگه سیلیسی مذکور همراه با آثار کنده‌کاری و حاوی ملاکیت، آزوریت، گالن
۲۱۱	شکل (۴-۷): رگه سیلیسی مذکور همراه با آثار کنده‌کاری و حاوی ملاکیت، آزوریت، گالن

فهرست نقشه‌ها

صفحه	عنوان
۵۱	نقشه (۱-۴): موقعیت نمونه‌های برداشت شده
۹۱	نقشه (۲-۴): عنصرنقره
۹۳	نقشه (۳-۴): عنصر آرسنیک
۹۴	نقشه (۴-۴) : عنصر طلا
۹۵	نقشه (۴-۵): عنصر باریم
۹۷	نقشه (۶-۴) : عنصر بیسموت
۹۸	نقشه (۷-۴): عنصر کادمیوم
۹۹	نقشه (۸-۴) : عنصر مس
۱۰۱	نقشه (۹-۴): عنصر جیوه
۱۰۲	نقشه (۱۰-۴) : عنصر منگنز
۱۰۳	نقشه (۱۱-۴): عنصر مولیبدن
۱۰۵	نقشه (۱۲-۴): عنصر سرب
۱۰۶	نقشه (۱۳-۴): عنصر تالیم
۱۰۷	نقشه (۱۴-۴): عنصر گوگرد
۱۰۸	نقشه (۱۵-۴): عنصر آنتیموان
۱۱۰	نقشه (۱۶-۴): عنصر قلع
۱۱۱	نقشه (۱۷-۴): عنصر تنگستن
۱۱۲	نقشه (۱۸-۴): عنصر روی
۱۱۴	نقشه (۱۹-۴): عنصر استرانسیوم
۱۱۵	نقشه (۲۰-۴): عنصر تلور
۱۱۶	نقشه (۲۱-۴): عنصر توریوم
۱۱۷	نقشه (۲۲-۴): عنصر اورانیوم
۱۱۹	نقشه (۲۳-۴): عنصر آهن
۱۲۰	نقشه (۲۴-۴): فاکتور اول (Be,Ce,Y,Rb,Bi,Mo,K,Ba,W)
۱۲۱	نقشه (۲۵-۳): فاکتور دوم: (Fe,Tl,Sc,Th,V,Nb,Co,Tl,Te,Yb,Cs)
۱۲۲	نقشه (۲۶-۳): فاکتور سوم: (Pb ,Zn ,Ag ,As ,Cd ,Cu ,Sb)
۱۲۴	نقشه (۲۷-۳): فاکتور چهارم (La ,Mn ,Ca ,P)
۱۲۵	نقشه (۲۸-۳): فاکتور پنجم: (Al,Zr)
۱۲۶	نقشه (۲۹-۳): فاکتور ششم: (S,Au,(Mo))
۱۲۷	نقشه (۳۰-۳): آنومالی‌های Sum 1/PN
۱۳۳	نقشه (۱-۵): موقعیت نمونه‌های کانی‌سنگین برداشت شده
۱۵۳	نقشه (۲-۵): کانی‌های سنگ ساز
۱۵۴	نقشه (۳-۵): کانه‌های اقتصادی

صفحه	عنوان
۱۵۵	نقشه (۴-۵): کانی‌های گروه پیریت
۱۵۶	نقشه (۵-۵): کانی‌های گروه سرب و روی
۱۵۷	نقشه (۶-۵): کانی‌های گروه آهن
۱۵۸	نقشه (۷-۵): کانی‌های گروه تیتان
۱۵۹	نقشه (۸-۵): کانی‌های دگرسانی
۱۶۰	نقشه (۹-۵): کانی‌های دگرگونی
۱۶۱	نقشه (۱۰-۵): متغیرهای کانی سنگین
۱۶۴	نقشه (۱-۵): محدوده‌های آنومالی
۲۰۷	(نقشه ۱-۶): نقشه آنومالی‌های نهایی

چکیده

از لحاظ موقعیت جغرافیایی محدوده مورد نظر در استان اصفهان و ۳۰ کیلومتری شرق شهرستان اردستان بین طول های جغرافیایی (UTM ۶۵۲۳۷۷ تا ۶۳۹۷۲۱) و عرض های جغرافیایی (UTM ۳۶۷۲۴۶۷ تا ۳۶۷۹۰۱۵) واقع شده است.

از لحاظ زمین شناسی واحدهای سنگی رسوبی، نفوذی، آذر آواری، ساب ولکانیک و ولکانیک دیده می شوند که مربوط به محدوده زمانی ائوسن تا پلیوسن هستند.

اکتشافات ژئوشیمیایی در این محدوده با برداشت ۲۵۳ نمونه از رسوبات آبراهه ای ۸۰-مش و ۱۳۹ نمونه کانی سنگین آغاز گردید. این نمونه ها با روش ICP، اسپکتروگراف نشری و جذب اتمی، برای ۴۴ عنصر آنالیز شدند. کنترل دقیق دستگاهی حاکی از خطای قابل قبول در آنالیز نمونه ها می باشد.

مراحل داده پردازی مقدماتی شامل نرمال سازی داده های خام و ترسیم نقشه های متغیرهای ژئوشیمیایی انجام گردید. همچنین پردازش های چند متغیره و تعیین فاکتورهای متغیرها نیز انجام شد و نقشه های مربوطه ترسیم گردید. محدوده های آنومالی درجه اول و دوم (۲/۵ درصد بالای فراوانی) برای مقادیر خام به عنوان ملاک آنومالی ژئوشیمیایی تعیین و در نقشه مشخص گردید.

برای کنترل ناهنجاریهای معرفی شده، مشخص نمودن فاز پیدایش عناصر مختلف و برای تمایز ناهنجاریهای واقعی از ناهنجاریهای کاذب و پدیده های کانه زایی از روش کنترل چکشی استفاده گردید. بدین منظور تعداد ۲۹ نمونه مینرالیزه نیز از مناطق آلتراسیون و مشکوک به کانه زایی برداشت شد.

مجموعه داده های کانی سنگین در قالب گروه های کانه اقتصادی، بصورت نقشه ترسیم گردید و نیز کلیه نتایج کانی سنگین بصورت جدولی توصیف گردید. در انتهای جمع بندی و تلفیق داده های مختلف صورت گرفت و مناطقی به عنوان ناهنجاری نهایی معرفی گردید که در دو اولویت مشخص شدند.

فصل اول

کلیات

فصل اول

کلیات

۱-۱- مقدمه

افزایش روز افزون جمعیت و پیشرفت سریع صنعت (جهت رفع نیازهای رو به رشد بشر) نیاز به مواد اولیه معدنی را روز به روز بیشتر می کند. در چنین شرایطی مواد معدنی موجود و شناخته شده بخصوص مواد معدنی عیان و آشکار که با روش‌های ساده قابل تشخیص هستند نمی تواند پاسخگوی نیازهای بشر باشد. با توجه به اینکه کشور ما یک کشور در حال توسعه است، این نیاز با شدت بیشتری احساس می شود. بنابراین لازم است تا با روش‌های جدید اکتشافی اقدام به شناسایی مواد معدنی کم عیار و پنهان نمائیم. برای این کار روش‌های اکتشافی مرحله به مرحله بسیار سودمند می باشد. از جمله می توان به اکتشاف مواد معدنی به روش دورسنجی و اکتشافات ژئوشیمیایی سیستماتیک اشاره نمود که در هر دو مورد از مرحله اکتشافات ناحیه ای و در مقیاس کوچک تا اکتشافات تفصیلی و بزرگ مقیاس قابل پیگیری است. تحقیق حاضر، خود یک مرحله از اکتشافات ژئوشیمیایی در مقیاس $1:25000$ می باشد که در منطقه جنوب شرق اردستان انجام شده است.

این منطقه در مرحله اکتشافات ناحیه‌ایی در قالب اکتشافات ژئوشیمیایی سیستماتیک برگه $1:100000$ زواره مورد بررسی قرار گرفت. در این مرحله منطقه مورد بررسی به عنوان یکی از مهمترین آنومالی های برگه زواره و مهمترین اولویت اکتشافی مورد توجه قرار گرفت. و جهت تشخیص موقعیت محدوده های کانه دار و تعیین محل دقیق منشاء آنومالی توسط دو روش دورسنجی و اکتشافات ژئوشیمیایی در مقیاس $1:25000$ مورد ارزیابی قرار گرفت.

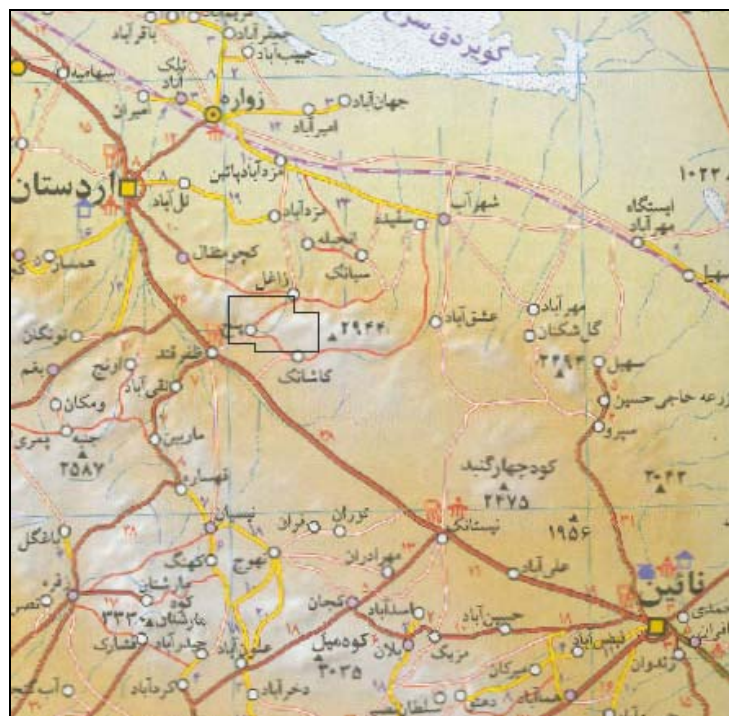
در پایان با تلفیق نتایج بدست آمده از این دو روش با بررسیهای زمین شناسی و زمین شناسی اقتصادی موقعیت محدوده های کانه دار و آنومالی های واقعی در محدوده شناسایی، جهت عملیات اکتشافی تفصیلی معرفی شدند. امید است تا با انجام بررسی اکتشافی تفصیلی در این منطقه ذخیره مناسبی به جامعه معدنی کشور معرفی گردد.

۱-۲- موقعیت جغرافیایی و راههای دسترسی

محدوده نصرند واقع در نقشه ۱/۲۵۰۰۰۰ ۱/۱۰۰۰۰۰ انارک و ۱/۱۰۰۰۰۰ شهراب و در جنوب خاور شهرستان

اردستان بین طولهای جغرافیایی (utm ۳۶۷۲۴۶۷ UTM ۶۵۲۳۷۷ تا ۶۳۹۷۲۱) و عرضهای جغرافیایی (utm ۳۶۷۹۰۱۵ می باشد و در زون ۳۹ واقع است، همچنین وسعت آن ۹۳/۳ کیلومتر مربع می باشد.

راه دسترسی به محدوده مورد مطالعه با استفاده از جاده اصلی اردستان به نائین می باشد، به طوریکه پس از طی مسافت ۲۸ کیلومتر از اردستان به روستای ظفرقند در حاشیه جاده اصلی رسیده سپس به سمت شمال جاده انحرافی (آسفالته) روستای پنج را ادامه راه می دهیم. روستای پنج در جنوب محدوده مورد مطالعه قرار گرفته (شکل ۱-۲) و از طریق راههای فرعی که در شمال این روستا می باشد حدود خاوری - باختری و شمالی محدوده مورد مطالعه قابل دسترسی است. فقط قسمتهای شمال خاوری محدوده از جاده اردستان به سمت نور آباد پایین سپس مزد آباد و محمد آباد و نهایتاً نصرند قابل دسترسی است. شکل (۱-۱) موقعیت محدوده مورد مطالعه و راههای دسترسی را نشان می دهد.



شکل(۱-۱): موقعیت محدوده مورد مطالعه و راههای دسترسی



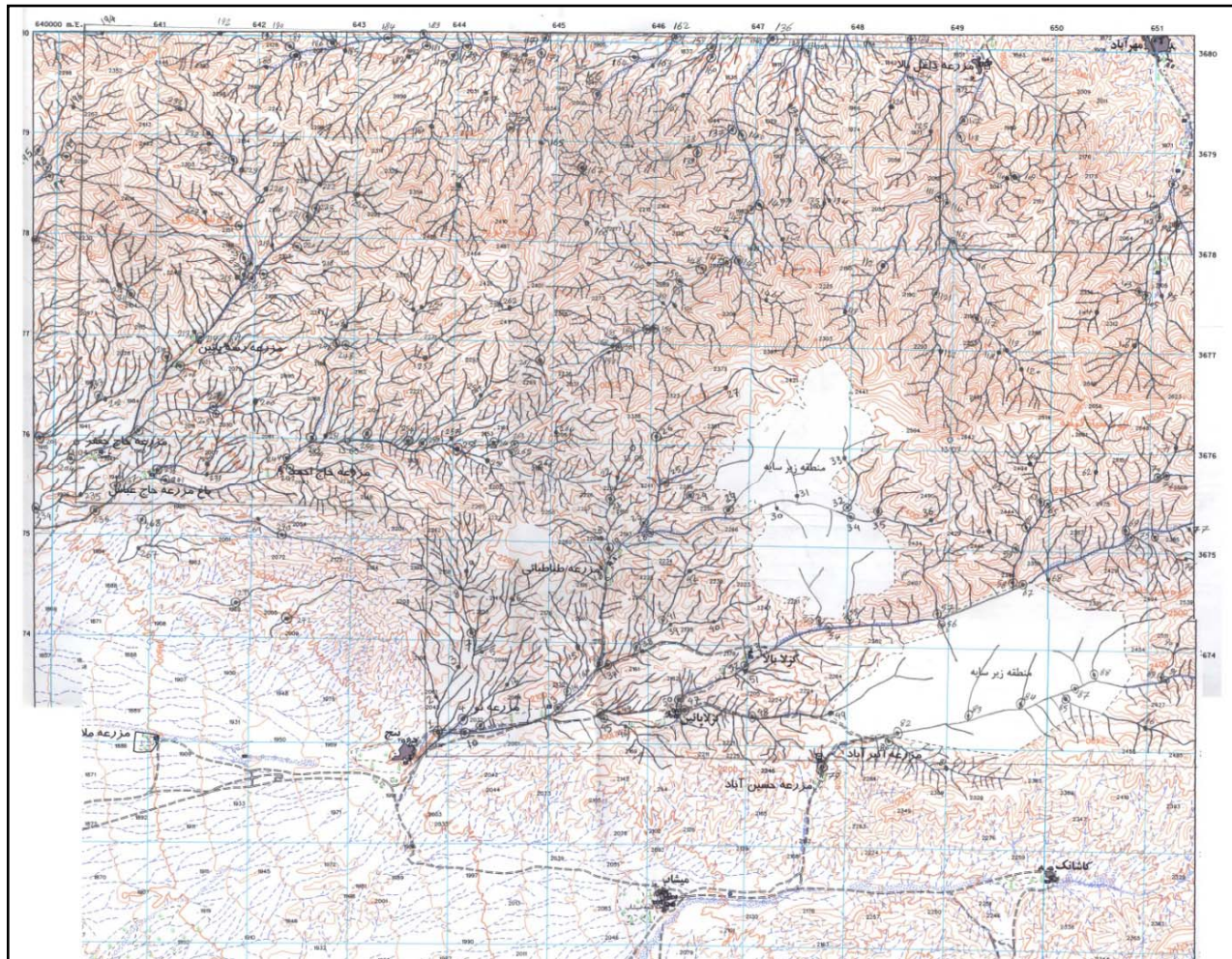
شکل(۱-۲): نمایی از روستای پنج در جنوب محدوده مورد مطالعه (دید به سمت جنوب)

از نظر آب و هوا، این محدوده به دلیل نزدیکی و مجاورت با کویر، معمولاً در تابستانها گرم و خشک و در زمستانها سرد است، در حالیکه نواحی کوهستانی منطقه در تابستانها آب و هوای نسبتاً معتدلی دارد. دمای هوا در گرماترین روز سال گاه به حدود ۴۸ درجه سانتیگراد و در سردترین روز به حدود ۵ تا ۱۰ درجه سانتیگراد زیر صفر می‌رسد. قنوات و چشمه‌ها مهمترین منابع تامین کننده آب کشاورزی و آشامیدنی محدوده مورد مطالعه و اطراف آن به شمار می‌روند.

در محدوده مورد نظر رودخانه دائم و پرآب وجود ندارد. گندم، جو، گرد، توت و انار از مهمترین محصولات کشاورزی منطقه می‌باشد. صنعت قالی‌بافی در این نواحی از اهمیت خاصی برخوردار است.

۱-۳- توبوگرافی و ویژگی‌های زئومورفولوژیکی محدوده نصرند

محدوده مورد مطالعه در نقشه توپوگرافی ۱/۲۵۰۰۰۰ ۱/۱۰۰۰۰ شهراب (زواره قدیم) می‌باشد (شکل ۱-۳). این منطقه در تقسیم‌بندی واحد‌های ژئومورفولوژیکی ایران جزء ناهمواری‌های ایران مرکزی می‌باشد. کوههای ایران به لحاظ پیکر زمین‌ساختی به سه واحد رشته‌های آتشفسانی یا آتشفسانی رسوبی، واحد مشخص چین خورده و کمربند دگرگونی قابل تقسیم می‌باشند (ژئومورفولوژی ایران، دکتر محمود عالی طالقانی). کمربند سهند - بزمان (ارومیه - دختر) از عناصر بر جسته آتشفسانی یا آتشفسانی رسوبی ایران مرکزی است که شامل محدوده مورد مطالعه نصربند نیز می‌باشد. این رشته کوه که به رشته کوه مرکزی ایران نیز شهرت دارد، متشكل از کوههایی است که به صورت دیواره‌های به هم پیوسته از حدود دشت رزن تا کوه بزمان، با وند شما، باخت - حنوب خا، امتداد یافته‌اند.



شکل (۱-۳) : توپوگرافی محدوده

در ناحیه مورد مطالعه (محدوده نقشه یکصد هزارم شهراب) می‌توان چهار دسته برجستگی را بازشناخت، نخستین گروه برجستگی‌هایی هستند که در بخش میانی رشته کوه‌ها جای دارند و به صورت مرتفع دیده می‌شوند. سنگ‌های تشکیل‌دهنده این دسته به طور عمده متشکل از سنگ‌های کرتاسه تا آتشفسانی ائوسن هستند، به طوریکه ارتفاعات بلند یا سطوح فرسایشی خشنی را تشکیل می‌دهند (کوههای تخت پاچنار، کوه شهراب، کوه چالزنگال). گروه دوم برجستگی‌های کوهپایه‌ای هستند که در حاشیه بخش‌های گسلیده و چین خورده کوهستان جای دارند. این برآمدگی‌ها دارای سطوح فرسایشی ملایمتری هستند و متشکل از مواد یا سیمان ضعیف مانند واحدهای کنگلومرایی پلیوسن – کواترنری هستند. این دسته به صورت تپه‌های بلند یا سطوح فرسایشی صاف رخنمون داشته و حداکثر دارای ۵۰ متر ارتفاع از سطح پایه منطقه می‌باشد (مزرعه جوجوجیه). دسته سوم از عوارض زمین‌ریخت‌شناختی، گمان می‌رود در دوره فرسایشی جوانتری شکل گرفته و در حاشیه دق سرخ جای گرفته‌اند و به صورت دشتی با ارتفاعات کوچک دیده شده و در آن ساختهای تبخیری که متشکل از رس یا نمک می‌باشند، وجود دارد (قسمتهای شمال محدوده مطالعه). گروه چهارم از عناصر زمین‌ریخت‌شناختی برجستگی‌هایی هستند که در چهره تپه‌ها و پهنه‌ها مؤثر بوده اصولاً متشکل از مواد آواری هستند که در حوضه‌های در حال فرونشست برجای گذاشته شده‌اند. آغاز پیدایش این عوارض به احتمال، از اولیگوسن و در بعضی از نواحی در اواخر ائوسن بوده است. به طور کلی با گذشت زمان، مواد حاصل از تخریب و فرسایش در بخش‌های یاد شده جمع شده‌اند. عمده‌ترین زیر واحدهای تشکیل‌دهنده این گروه دشت‌های آبرفتی می‌باشند که دارای توپوگرافی مسطح و متشکل از چندین مخروط افکنه هستند. در این میان نیز می‌توان سطوح مختلفی را که هریک دارای سن متفاوتی هستند یافت، این سطوح دارای شیب ملایمی به سوی مرکز دشت هستند.

در چهارگوشه محدوده مورد مطالعه نمرنده ارتفاع عمومی منطقه از حداقل ۱۹۰۰ متر در جنوب باختری محدوده (شمال مزرعه ملاحسین) تا حداکثر ارتفاع ۲۴۰۰ متر در قسمتهای شمال خاوری (شمال مزرعه طباطبایی) متغیر است. به جز مناطق شمال خاوری که سیستم زهکشی آبراهه به سمت

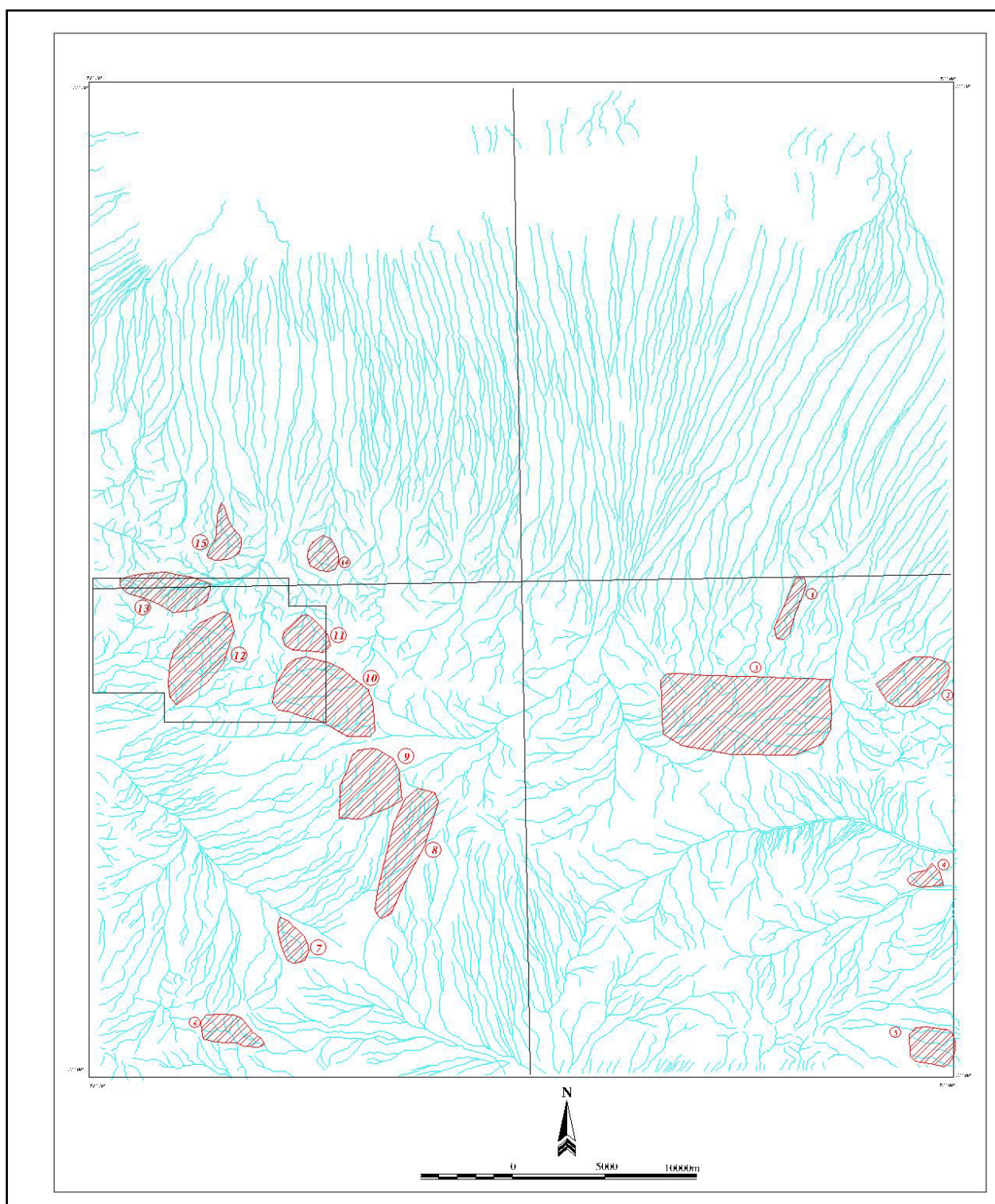
شمال خاوری است بقیه دره‌های اصلی و مهم که مزارع رسه پایین، حاج احمد، حاج جعفر، حاج عباس و طباطبایی و مزرعه نو را شامل می‌شوند به سمت جنوب و جنوب خاوری تخلیه می‌گردند.

۱-۴- بررسی‌های اکتشافی انجام شده در منطقه

در راستای انجام اکتشافات ژئوشیمیایی در برگه ۱:۱۰۰۰۰ شهراب، تعداد ۱۵ محدوده آنومالی نهایی معرفی گردید. شکل (۱-۴) محدوده‌های آنومالی معرفی شده در برگه ۱:۱۰۰۰۰ شهراب را نشان می‌دهد. همانطوریکه در شکل مشاهده می‌گردد، محدوده مورد نظر (نصرنده)، ۴ محدوده آنومالی به شماره‌های ۱۰، ۱۱، ۱۲ و ۱۳ را شامل می‌شود.

وجود نمونه‌های مینرالیزه با عیار اقتصادی از جمله طلا با عیار ppm ۷، سرب با عیار ۲۶٪، مس با عیار ۶٪، روی با عیار ۳/۵٪، نقره با عیار ppm ۲۵۰۰ موجب گردید که این محدوده جهت انجام اکتشافات ژئوشیمیایی، کانی سنگین به همراه بررسی‌های زمین شناسی اقتصادی معرفی گردد.

در زیر شرح مختصری از مشخصات هریک از محدوده‌های آنومالی واقع در محدوده مورد نظر آورده شده است.



شکل(۴-۱): نقشه محدوده‌های آنومالی در برگه یکصد هزارم شهراب

✓ محدوده شماره ۱۰:

- آنومالی ژئوشیمیایی عناصر: Au ,Ag ,Pb ,Zn

- کانی‌های اقتصادی مشاهده شده در کانی سنگین: سروزیت، فلوئوریت، گالن، لیتارژ، میمتیت، سرب طبیعی، پیرومorfیت، ولفنیت، همیمورفیت، مولیبدنیت

- عیار عناصر در نمونه‌های مینرالیزه: مس ۷/۴٪، سرب ۷۵۷۰ ppm ، نقره ۲۴۹۰ و آرسنیک ۱۲۰۰ ppm

✓ محدوده شماره ۱۱:

- آنومالی ژئوشیمیایی عناصر: Bi ,Mo

- کانی‌های اقتصادی مشاهده شده در کانی سنگین: سروزیت، فلوئوریت، گالن، لیتارژ، میمتیت، سرب طبیعی، پیرومorfیت، ولفنیت، همیمورفیت، مولیبدنیت

✓ محدوده شماره ۱۲:

- آنومالی ژئوشیمیایی عناصر: Au ,Ag ,Pb ,Zn

- کانی‌های اقتصادی مشاهده شده در کانی سنگین: سروزیت، فلوئوریت، گالن، لیتارژ، میمتیت، سرب طبیعی، پیرومorfیت، ولفنیت، همیمورفیت، مولیبدنیت

- عیار عناصر در نمونه‌های مینرالیزه: طلا (۰/۳۱۷ ppm)، سرب (۰/۲۰۰، ۰/۱۹، ۰/۱۲، ۰/۵۰، ۰/۲۰۰ و ۷٪ مس) و منگنز (۰/۴۷ درصد)، روی (۳۶۰.۵ ppm)، آرسنیک (۰/۴۷ درصد)، مولیبدنیت (۰/۳۶۰.۵ ppm)، آرسنیک (۰/۴۷ درصد)، پیرومorfیت (۰/۹۵۰۰، ۰/۱۵۸۰) و میمتیت (۰/۱۱، ۰/۳/۶۰) درصد،

✓ محدوده شماره ۱۳:

- آنومالی ژئوشیمیایی عنصر: As

- کانی‌های اقتصادی مشاهده شده در کانی سنگین: باریت، میمتیت، پیرومorfیت و شیلیت

۱-۵-جمع آوری اطلاعات

به منظور اجرای مطالعات اکتشافی در این محدوده، در ابتدا گردآوری اسناد و مدارک موجود که شامل مجموعه‌ای از نقشه‌ها و گزارشات کارهای قبلی انجام یافته بود، صورت پذیرفت. این مجموعه شامل موارد ذیل است:

۱) نقشه زمین شناسی ۱:۱۰۰۰۰۰ شهراب (زواره)

۲) نقشه توپوگرافی ۱:۵۰۰۰۰ میشاب (در برگیرنده منطقه مورد مطالعه)

۳) نقشه توپوگرافی ۱:۲۵۰۰۰ III SW (6556)

۴) نقشه ژئوفیزیک هوایی (مغناطیس هوایی) با مقیاس ۱:۲۵۰۰۰۰ انارک

۵) گزارش ژئوشیمی ۱:۱۰۰۰۰۰ شهراب (زواره)

۶) تصاویر ماهواره‌ای منطقه (تصاویر Aster و Landsat)

پس از جمع‌آوری مجموعه یادشده و مطالعه گزارشات انجام شده قبلی، مطالعه و بررسی روی تصاویر ماهواره‌ای منطقه و بررسی آلتراسیون، خطواره‌ها و واحدهای سنگی منطقه صورت پذیرفت که در فصل دوم به طور کامل شرح داده می‌شود. سپس با توجه به اطلاعات دورسنجی، ژئوفیزیک هوایی، نقشه زمین‌شناسی ۱:۱۰۰۰۰۰، نقشه توپوگرافی ۱:۲۵۰۰۰ و عکس‌های هوایی، طراحی شبکه نمونه‌برداری به منظور برداشت‌های ژئوشیمیایی صورت پذیرفت. در مرحله بعد برداشت‌های صحرایی انجام شد و نمونه‌ها جهت آنالیز شیمیایی و مطالعات میکروسکوپی به آزمایشگاه ارسال گردید.

پس از بررسی و پردازش بر روی اطلاعات حاصل شده، کنترل صحرایی مناطق امیدبخش و نمونه‌برداری مجدد از مناطق کانی‌سازی انجام شد و در نهایت مناطق پر پتانسیل نهایی معرفی گردید.

فصل دوم.....زمین شناسی

فصل دوم

زمین شناسی

۱-۲- مقدمه‌ای بر زمین شناسی عمومی کمربند ارومیه دختر

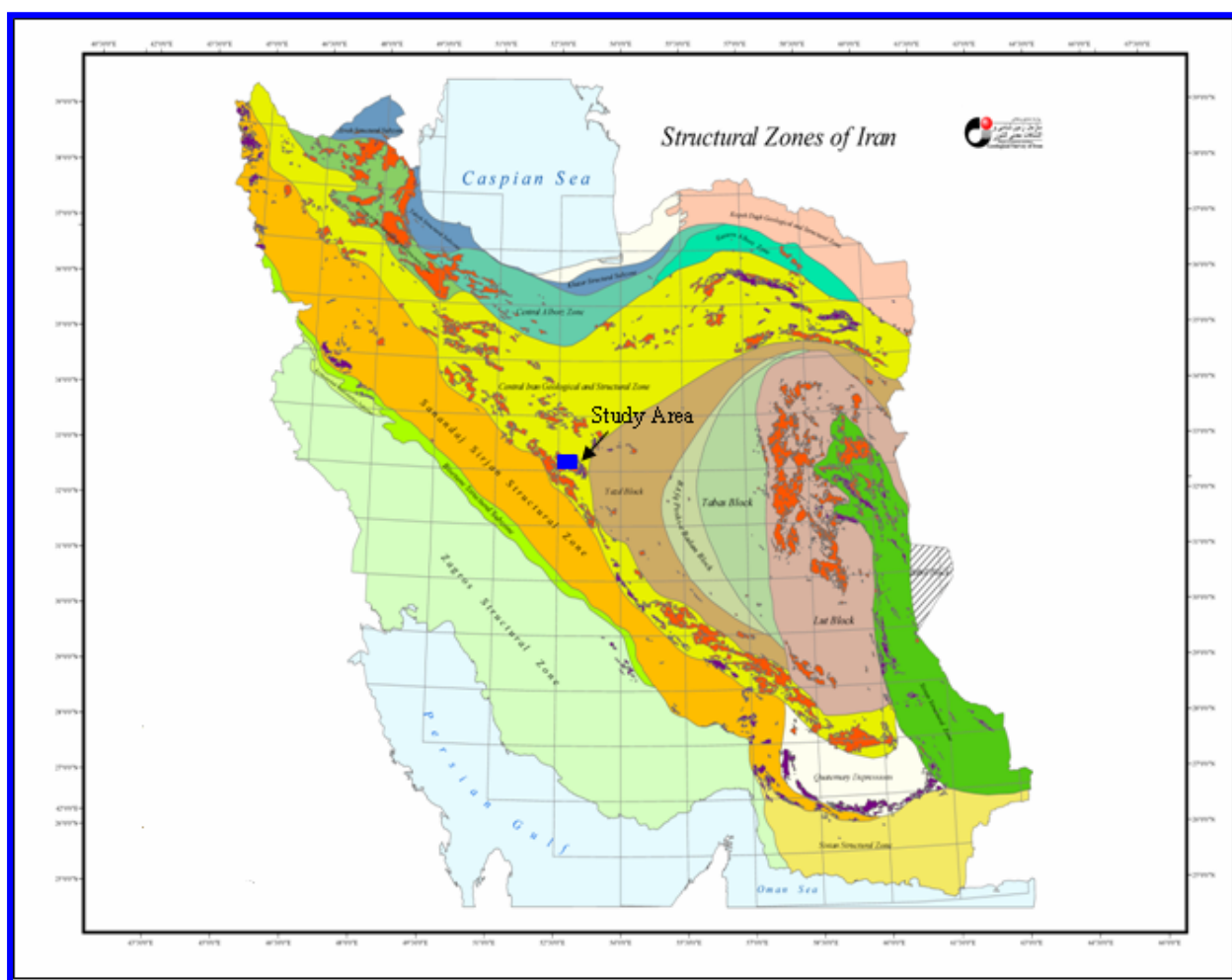
محدوده مورد مطالعه در حاشیه خاوری کمربند ارومیه دختر حد فاصل دشت کویر مرکزی ایران و پیشکوه‌های این کمربند قرار گرفته است (شکل ۱-۲). این کمربند با طول تقریبی ۱۶۰۰ کیلومتر و عرض ۱۰۰ کیلومتر در امتداد تراست زاگرس از باختر دریاچه ارومیه آغاز و در یک راستای شمال باختری - جنوب خاوری تا گسل میناب در شمال بندر عباس ادامه می‌یابد. این منطقه که با توجه به الگوی کمان ولکانیکی حرکات تکتونیکی دوران کرتاسه بالایی از فرورانش و هضم بخش انتهای پیوسته اقیانوسی واقع در بین دو صفحه عربستان و اوراسیا در امتداد گسل معکوس زاگرس تشکیل گردیده است، دارای ترکیب اسیدی تا حد واسط می‌باشد. بنابراین می‌توان انتظار داشت که فعالیت‌های مانگماهی دوران ترشیر بعد از پدیده برخورد دو قاره به وقوع پیوسته است، البته برخی محققین عقیده دارند که این برخورد در طی دوران میوسن رخداده است.

فعالیت‌های مانگماهی دوران ترشیری محدود به حواشی نزدیک دو صفحه نبوده بلکه در داخل نواحی قاره‌ای نیز رخ داده است. وجود فعالیت گسترده ولکانیکی مربوط به دوره ائوسن در ایران مرکزی توسط بسیاری از محققین توضیح داده شده است و علت آن را مربوط به پدیده فرورانش در طول گسل اصلی زاگرس دانسته و شبیه فرورونده را به طرف شمال خاور مشخص نموده‌اند (اشتوکلین، ۱۹۷۴-۱۹۷۷) و (بربریان و دیگران، ۱۹۸۱).

در این مورد گروهی اعتقاد دارند که فرورانش تا زمان پلیوسن وجود داشته و بعضی اعتقاد دارند که فعالیت فرورانش در عهد حاضر نیز ادامه دارد (نوروزی، ۱۹۷۱).

یانگ و دیگران (۱۹۷۶) فرض نموده‌اند که زایش مagma برای آتشفشنان‌های ائوسن در ایران مرکزی در عمق حدود ۱۲۰ تا ۱۵۰ کیلومتر صورت گرفته و عامل زایش نیز فرورانش صفحه عربستان به زیر هسته مقاوم بلوك لوت و ایران مرکزی می‌باشد.

کمربند سهند-بزمان به دلیل پتانسیل معدنی بسیار بالا و داشتن ذخایری در حد کلاس جهانی از گذشته مورد توجه صاحب نظران و مسئولین امر در زمینه اکتشاف بوده است.

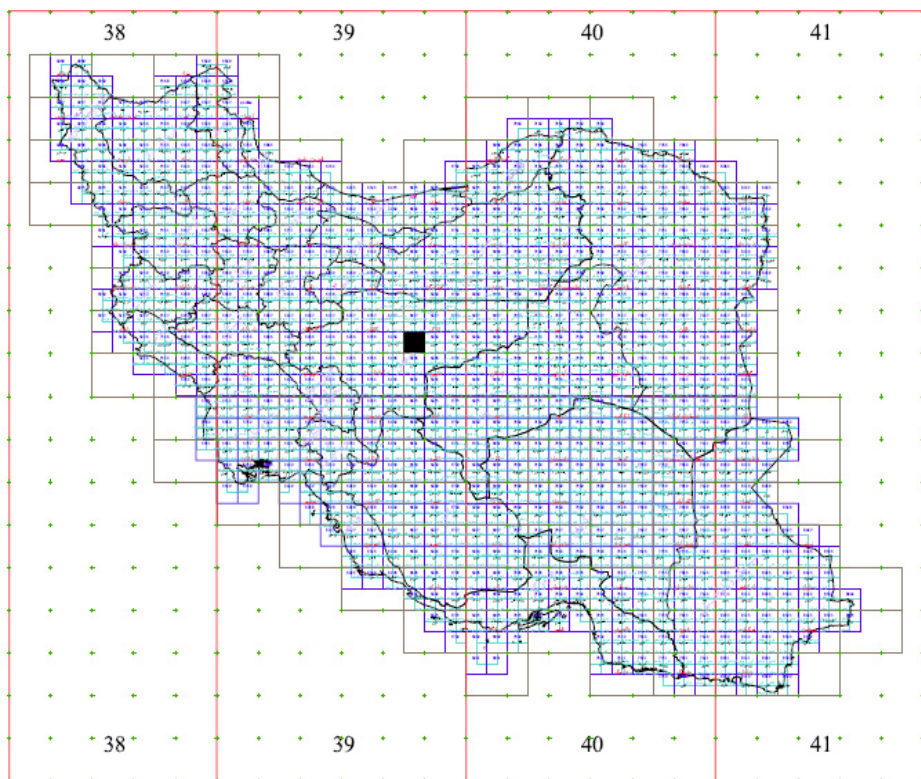


شکل (۱-۲): موقعیت منطقه مورد مطالعه بر روی نقشه تقسیم بندی ساختاری ایران و قرارگیری محدوده مورد مطالعه در بخش میانی مجموعه آتشفشنانی سهند-بزمان

۲-۲- مروری بر زمین شناسی عمومی منطقه

همان طور که اشاره شد محدوده نصرند در ورقه ۱:۱۰۰۰۰۰ شهراب واقع شده است. در شکل (۲-۲)

موقعیت برگه ۱:۱۰۰۰۰۰ شهراب نشان داده شده است.



شکل (۲-۲): موقعیت برگه یکصدهزارم زواره (شهراب) در ایندکس نقشه‌ها

نیمه شمالی چهارگوش شهراب توسط آبرفت و پادگانهای رودخانه‌ای پوشیده شده است و می‌توان آن را دشت بزرگی در نظر گرفت که روستاهای زیادی از جمله شهراب نیز بر روی آن واقع شده است. ولی نیمه جنوبی چهارگوش توسط واحدهای سنگی مختلف پوشیده شده است. به طورکلی شرح خلاصه‌ای از واحدهای سنگی منطقه بر اساس نقشه یکصدهزارم شهراب به منظور ایجاد دیدگاه زمین‌شناسی ناحیه‌ای از

فصل دوم.....زمین شناسی

مزوزوئیک – کرتاسه که قدیمی‌ترین واحدهای منطقه (مجموعه افیولیتی نائین) است تا جدیدترین واحدهای کواترنری گردآوری گردیده است.

۱-۲-۲ مزوزوئیک

۱-۱-۲ کرتاسه

زون آمیزه رنگی (مجموعه افیولیتی نائین) در حاشیه خاوری ورقه شهراب دارای گسترش تقریباً زیادی می‌باشد. این زون شامل مجموعه درهمی از سنگ‌های اولترامافیک، رادیولاریت، گدازه‌های بالشی، آهک پلاژیک کرتاسه بالایی و سنگ‌های دگرگونی می‌باشد که بخشی از مجموعه افیولیتی نائین هستند و با سنگ‌های ترشیر که در زیر قرار دارند دارای همبری تکتونیکی هستند.

۲-۲-۲ سنوزوئیک

۱-۲-۲-۲ پالوسن

واحد آهک ماسه‌ای و ماسه‌سنگ نیز از زیر واحدهای آمیزه رنگی می‌باشد که در یال جنوبی کوه زرد با ستبرای بیش از ۱۰۰ متر قرار دارد. در این ناحیه واحدهای آهک ماسه‌ای بر روی آهک‌های پلاژیک جای گرفته‌اند و از جنوب نیز به بخش آمیزه افیولیتی محدود می‌شوند.

۲-۲-۲-۲ ائوسن

قدیمی‌ترین رخنمون از واحدهای سکانس ائوسن مربوط به واحد ماسه سنگ و کنگلومرایی می‌باشد که در خاور برگه شهراب دارای رخنمون‌های کوچکی می‌باشد و به طور دگرشیب بر روی مجموعه افیولیتی نائین با یک قاعده کنگلومرایی قرار گرفته است. این واحد به صورت چند رخنمون کوچک در امتداد

گسل در بخش‌های شمالی و شمال باختری کوه زرد دیده می‌شود و مرز آن با سنگ‌های آتشفشانی واحد توف برش و گدازه آندزیتی گسلیده شده است.

در بخش‌های میانی ورقه و در امتداد گسل شهراب نهشته‌های آواری، شامل تناوبی از ماسه سنگ، کنگلومرا، شیل، آهک رسی و مارن، رخنمون دارند. در داخل این مجموعه واحدهایی از گدازه آتشفشانی با ترکیب داسیتی و آندزیتی همراه با توف‌های وابسته دیده می‌شود که گسترش چندانی ندارد.

بخش وسیعی از ورقه شهراب را مجموعه ضعیفی از سنگ‌های آذرآواری با ترکیب متوسط به صورت نواری در امتداد خاوری – باختری تشکیل می‌دهد. این مجموعه آواری – آتشفشانی شامل توف‌های سنگی بلورین و توفیت همراه با گدازه‌های داسیتی و آندزیتی است که توسط شبکه‌های دایک دیابازی فراوانی قطع شده است، قسمت اعظم محدوده مورد مطالعه را نیز این واحد اشغال کرده است. زبانه‌هایی از توده کوارتزدیوریت-گرانودیوریتی الیگومن این مجموعه را قطع کرده و دگرگونی مجاورتی درجه پایین در حد کلریتی و اپیدوتی شدن را در آنها ایجاد کرده است. در کوه چالزنگال واحدهای گدازه پرفیر آندزیتی نیز دیده می‌شود. این واحد تقریباً دارای گسترش زیادی در محدوده مورد مطالعه بوده و تقریباً قسمت‌های شمال، شمال خاور و شمال باختر را شامل می‌شود.

واحد نهشته‌های توفی در بخش باختری ورقه شهراب در دامنه شمالی کوه تخت پاچنار با روند عمومی تقریباً خاوری – باختری بر روی واحد مجموعه آتشفشانی – آواری، توف برش و گدازه آندزیتی با مرز همшибیب یا گسلیده قرار گرفته است. این واحد آواری – آتشفشانی تاقدیس‌های کوچک و بسته‌ای را تشکیل داده که در هسته یکی از این تاقدیس‌ها، یکسری گدازه داسیت-ایگنمبریت قرمز رنگ تظاهر دارد. به طرف شمال توسط گدازه‌های ایگنمبریتی صورتی رنگ و نیز نهشته‌های آبرفتی دشت پوشیده می‌شود. گدازه داسیت - ایگنمبریت قرمز رنگ و ایگنمبریتی صورتی رنگ گسترش محدودی داشته و به صورت دو افق در بالا و پایین این واحد رخنمون دارند. واحد نهشته‌های توفی همچنین در خاور چهارگوش شهراب نیز مشاهده می‌شوند. واحد دیگری در بخش باختری ورقه شهراب بر روی واحد قبلی قرار گرفته است که شامل

مجموعه‌ای از گدازه‌های آندزیتی همراه با توف‌های مربوطه می‌باشد و دارای ترکیب آندزیتی و داسیتی است.

این واحد در خاور چهارگوش، در شمال گسل شهراب در داخل دشت نیز گسترش دارد.

بخش وسیعی از ورقه شهراب را ترادف ضخیمی از توف‌ها، گدازه‌های آندزیتی، دیاباز، ماسه‌سنگ و کنگلومرا به صورت یک مجموعه غیر قابل تفکیک تشکیل می‌دهد که با یک روند تقریباً خاوری – باختری بر روی مجموعه توف و گدازه که در بالا شرح داده شد قرار دارد و توسط دایک و سیل‌های فراوان دیابازی مورد هجوم قرار گرفته است. این مجموعه دارای رنگ ظاهری سبز- خاکستری بوده و بخش‌های گدازه‌ای آن دارای ترکیب آندزیت- بازالتی است. این واحد توسط آپوفیزهای فراوانی از گنبدهای نیمه آتشفسانی داسیتی و تراکی آندزیتی پلیوسن قطع شده است. در داخل این واحد بخش‌های کنگلومرا و ماسه‌سنگی در اطراف روستای پنج مشاهده می‌شود که دارای رنگ قرمز تا خاکستری بوده و جورشدگی آنها متوسط است. ستبرای این واحد کنگلومرا و حدود ۷۰ تا ۸۰ متر است.

واحدی با گسترش زیاد در خاور چهارگوش اردستان و باختر محدوده مورد مطالعه گسترش دارد که شامل مجموعه‌ای از آندزیت بازالت، آندزیت، ولکانیک اسیدی (ریولیت - داسیت) و توف برشی می‌باشد، در داخل این واحد ایگنمبیریت‌های خاکستری قهوه‌ای نیز دارای رخنمون می‌باشند، و خاستگاه مناسبی برای کانی‌سازی اپی‌ترمال می‌باشد.

در بخش جنوب باختری ورقه شهراب رخنمون‌های گستردۀای از توف‌های گوناگون، ماسه‌سنگ و دیاباز یافت می‌شود. این مجموعه توسط گدازه‌های آندزیت - بازالتی الیگوسن پوشیده شده و گنبدهای تراکی آندزیت - داسیتی پلیوسن آن را قطع نموده‌اند و به طرف باختر با مرز گسله در مجاورت با توده گرانیتی الیگوسن قرار می‌گیرد.

در بخش جنوب خاوری ورقه شهراب نیز مجموعه گدازه‌های با ترکیب آندزیتی و با بافت پورفیری همراه با توف‌های تیره رنگ دیده می‌شود. این واحد در بخش فوقانی به یک افق لاتیت آندزیتی خاکستری روشن تبدیل می‌شود که احتمالاً آخرین نمود فعالیت آتشفسانی ائوسن در منطقه می‌باشد.

۳-۲-۲) الیگوسن

واحد آندزیت بازالتی به طور محدود بر روی سنگ‌های آتشفسانی ائوسن دارای رخنمون می‌باشد که ترکیب کلی آن آندزیت بازالت است و به سوی باختر دارای گسترش بیشتری است. در قسمتی از محدوده مورد مطالعه (در بخش شمال خاوری) نیز این واحد گسترش دارد.

توده‌های نفوذی موجود در چهارگوش شهراب دارای سن احتمالی اولیگوسن می‌باشند و دارای ترکیب نسبتاً متنوعی بوده و از ریولیت تا توده‌های کم ژرف داسیتی تغییر می‌کنند. بیشترین گسترش توده‌های نفوذی متعلق به توده‌های بزرگ و باتولیتی با ترکیب گرانودیوریتی می‌باشد، پس از آن، واحدهای گنبدی‌شکل و نیمه عمیق داسیتی از اهمیت بعدی برخوردار هستند. در شمال چهارگوش، توده‌های گرانودیوریتی در پیرامون روستای مهرآباد، کوه چنار و نیز در شمال کوه چالزنگال رخنمون دارند، این بخش‌های نفوذی در سنگ‌های آتشفسانی - رسوبی مربوط به ائوسن نفوذ نموده و تاثیرات حرارتی محسوسی را بر روی این سنگ‌ها گذارده‌اند. در اثر نفوذ توده‌های یاد شده و تاثیر شار حرارتی ناشی از آن فرایند دگرگونی مجاورتی باعث گردیده تا سنگ‌های مذکور دچار دگرگونی درجه پایین تا خیلی پایین گردند، این توده‌های نفوذی دارای شکل غیرهم بعد بوده و طول آنها تقریباً خاوری - باختری است. همچنین واحد دیگری با ترکیب دیوریت تا کوارتز مونزونیت در جنوب باختر چهارگوش دارای رخنمون محدودی می‌باشد که دارای توپوگرافی برجسته‌ای بوده و روند شمال باختر - جنوب خاور دارد.

۴-۲-۲-۲) اولیگومیوسن

سنگ‌های آتشفسانی ائوسن را یک سری نهشته‌های آواری - کربناته به گونه‌ای دگرشیب پوشانده است. در این مجموعه سنگی می‌توان به واحدهای مختلفی مثل واحد ماسه‌سنگی در بخش خاوری ورقه شهراب به صورت رخنمون‌های پراکنده و نیز واحد آهکی در خاور چهارگوش و در کنار گسل اصلی شهراب اشاره کرد.

توده‌های نفوذی موجود در برگه ارستان دارای سن الیگومیوسن می‌باشند. واحد دیوریت- مونزوپوریت در جنوب روستای ظفرقند و فاصله چند کیلومتری باخترا محدوده مورد مطالعه با طول تقریبی ۱۶ کیلومتر و روند شمال خاوری - جنوب باخترا دارای گسترش خوبی می‌باشد و رخمنون‌های واحد گرانیت - گرانودیوریت نیز در شمال و جنوب این توده بزرگتر مشاهده می‌شود. همچنین واحد کوچک ایگنمبریتی با رنگ خاکستری قهوه‌ای همراه با کمی توف ریولیتی نیز در داخل واحد آندزیت بازالتی و توف برشی (واحد مربوط به ائوسن با گسترش زیاد) رخمنون دارد.

۲-۴-۵) پلیوسن

سنگهای واپسیه به پلیوسن در ورقه شهراب متشکل از تناب سنگ‌های آتشفسانی و گدازهای است که دارای ترکیب اسیدی تا متوسط بوده و پراکندگی آنها گستره وسیعی را به خود اختصاص می‌دهد. علاوه بر این‌ها مارن‌ها و کنگلومرای پلیوسن از دیگر انواع سنگ موجود برگه شهراب می‌باشند. سنگ‌های آتشفسانی پلیوسن بیشتر در بخش جنوبی ورقه پراکنده بوده و شامل یکسری سنگ‌های آتشفسانی اسیدی است که از گدازهای ریوداسیتی صورتی رنگ تشکیل شده که به همراه برش، پامیس و ایگنمبریت دیده می‌شود. این سنگ‌ها بر روی سنگ‌های کهن و به ویژه انواع آتشفسانی فوران کرده است.

۲-۴-۶) پلیو-کواترنری

رخمنون‌های محدودی از واحدهای کنگلومرای مربوط به زمان پلیوسن و کواترنری در نواحی شمالی ورقه شهراب وجود دارد. روند این واحد تقریباً خاوری - باخترا می‌باشد و دارای توپوگرافی پست بوده و عموماً به وسیله واحدهای جوان و آبرفتی پوشیده می‌شوند و قطعات تشکیل دهنده آن عموماً از سنگ‌های آتشفسانی ائوسن و یا کهن‌تر منشاء گرفته است.

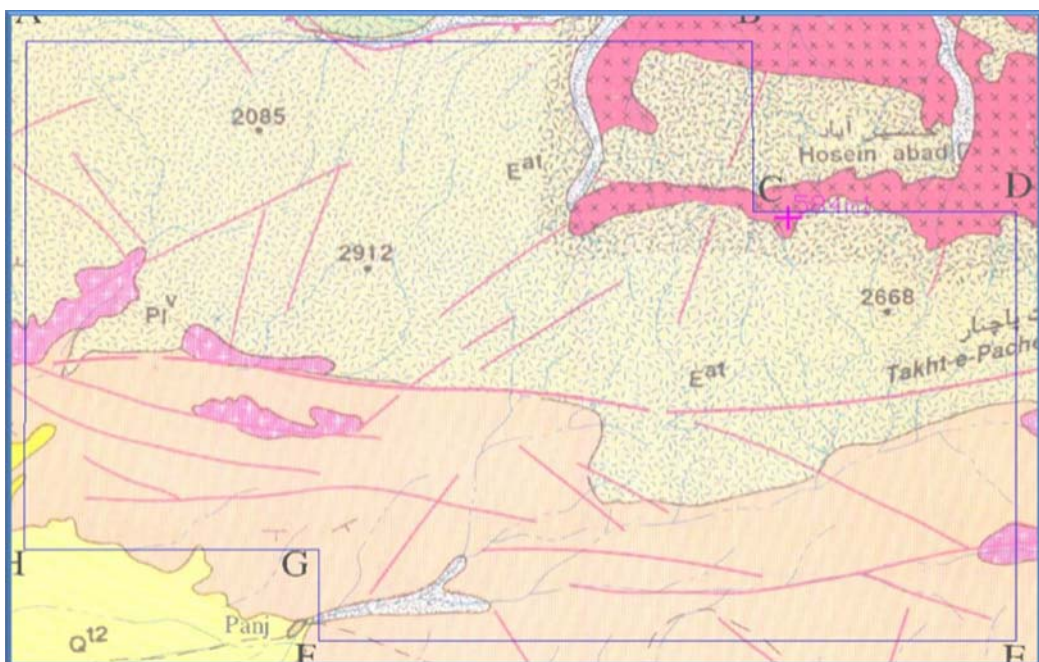
۷-۲-۲) کواترنری

سنگ شناسی و نیز چینه‌نگاری کواترنر در ورقه شهراب بسیار متنوع بوده و به شرح زیر است:

واحد بازالتی در بخش میانی ورقه و نواحی جنوب باختری با رخنمون برجسته و منفردی از سنگ‌های تیله رنگ و با ترکیب بازالت تا آندزی بازالت، واحد آبرفتی با گسترش زیاد به طور عمده در شمال ورقه و در کنار دشت حاشیه‌ای دق سرخ، واحد نهشته‌ای مخروط افکنه و پادگانه‌های جوان با گسترش و پراکندگی بیشتر در نواحی شمالی و جنوبی ورقه (گسترش بسیار کم در جنوب باختر محدوده مورد مطالعه)، واحد دشت آبرفتی در حاشیه جنوبی حوضه دق سرخ در شمال ورقه، واحد آبرفت‌های جوان در نواحی مربوط به مسیر رودخانه‌های اصلی (به صورت اندک و باریک در جنوب خاور محدوده مورد مطالعه)، واحد ماسه بادی قدیمی تنها در شمال ورقه، واحد ماسه بادی جدید با گسترش خوب در بخش‌های شمالی در حاشیه دق سرخ، واحد ماسه رسی نمکدار در دریاچه دق سرخ، واحد رس ماسه‌ای نمکدار به صورت نواری بخش میانی دق سرخ را پوشانده و واحد کفه رسی بخش مرکزی حوضه رسوبی دق سرخ را تشکیل داده و پست‌ترین ناحیه در ورقه شهراب به شمار می‌آید.

۳-۲- چینه شناسی محدوده مورد مطالعه

از لحاظ زمین شناسی در برگه یکصدهزارم زواره (شهراب) ترادفی از سنگهای آذرین، رسوبی و آذراواری از پالئوزوئیک تا عهد حاضر بروند دارند و در این میان فعالیتهای آتشفسانی ائوسن از گسترش چشمگیری برخوردار است. در محدوده مورد نظر که بخش از این برگه میباشد، واحدهای سنگی رسوبی، نفوذی، آذر آواری، ساب ولکانیک و ولکانیک دیده میشود.



شکل (۳-۲): وضعیت زمین شناسی منطقه بر مبنای نقشه زمین شناسی مقیاس یکصدهزارم شهراب

جدول (۱-۲) واحدهای سنگی موجود در منطقه را نشان میدهد.

پلیوسن	واحد $P1^V$: گنبدهایی با ترکیب داسیتی تا ریوداسیتی
الیگوسن(?)	واحد O^{gd} : کوارتز دیوریت - گرانودیوریت
ائوسن	واحد E^{ap} : توف، گدازه آندزیتی، دیاباز، ماسه سنگ و کنگلومرا واحد E^t : توف سنگی بلورین، توف برش، توف ماسه‌ای همراه با گدازه آندزیتی سبز - خاکستری
	واحد E^{at} : تناوب توف سنگی بلورین و توفیت همراه با گدازه داسیتی - آندزیتی

جدول (۱-۲) : واحدهای سنگی موجود در منطقه

توالی چینه نگاشتی محدوده از قدیم به جدید به شرح زیر است:

- واحد توف برش و گدازه آندزیتی (E^{at}):

بخش وسیعی از محدوده را مجموعه ضخیمی از سنگهای آذرآواری و گدازه با ترکیب متوسط به صورت نواری در امتداد خاوری- باختری تشکیل می‌دهد. این مجموعه آواری- آتشفسانی شامل تناوب توفهای سنگی بلورین، توفیت همراه با گدازه‌ای داسیتی و آندزیتی است که توسط شبکه‌های دایک دیابازی فراوانی قطع شده است. زبانه‌هایی از توده کوارتز دیوریت- گرانودیوریتی الیگوسن این مجموعه را قطع نموده و دگرگونی مجاورتی درجه پائین در حد کلریتی و اپیدوتی شدن را در آنها ایجاد نموده است.

- نهشته‌های توفی (E^T):

در دامنه شمالی کوه تخت پاچنار(شرق محدوده) ترادفی از توفهای سنگی بلورین و توف برش و توفهای ماسه‌ای همراه با گدازه‌های آندزیتی به رنگ سبز تا خاکستری با روند عمومی تقریباً خاوری- باختری بر روی واحد مجموعه آتشفسانی- آواری E^{at} با مرز هم شیب یا گسلیده قرار می‌گیرد.

- واحد توف و گدازه (E^{ap}) :

بخش وسیعی از ورقه زواره را ترافق خیمی از توف‌ها، گدازه‌های آندزیتی، دیاباز، ماسه‌سنگ و کنگلومرا به صورت یک مجموعه غیرقابل تفکیک تشکیل می‌دهد که با یک روند تقریباً خاوری- باختری بر روی مجموعه توف و گدازه (E^{at}) قرار داشته و توسط دایک و سیل‌های فراوان دیابازی مورد هجوم قرار گرفته است. این مجموعه دارای رنگ ظاهری سبز- خاکستری بوده و بخش‌های گدازه‌ای آن دارای ترکیب آندزیت- باالتی است. واحد E^{ap} توسط آپوفیزهای فراوانی از گنبدهای نیمه آتشفسانی داسیتی و تراکی آندزیت پلیوسن قطع شده است



شکل(۴-۲): رخنمون سنگی با ترکیب آندزیت- باالت

- واحد گدازه داسیتی (Pl^v) :

در بخش شرقی و غربی محدوده، برونزدهای گستردۀ ای از بخش‌های نیمه عمیق و قطع کننده و نیز توده‌های گنبدی شکل کوچک دیده می‌شود که ترکیب آنها داسیتی تا ریوداسیتی است. روند عمومی رخنمون این واحدها تقریباً شرقی - غربی است. این واحدها روشن رنگ بوده و با رنگ‌های سفید تا کرم و خاکستری روشن دیده می‌شوند. واحدهای یاد شده سنگ‌های آتشفسانی را به صورت دایک و یا توده‌های

گنبدی کوچک قطع می‌کند. رنگ هوازده این سنگها از خاکستری روشن تا قهوه‌ای روشن تغییر می‌نماید. از نظر اندازه دانه‌ای، این سنگها بسیار متنوع بوده و از نظر بافت‌شناسی نیز از انواع پورفیری تا به طور کامل ریزدانه تغییر می‌کنند. علاوه بر این می‌توان بخش‌های به شدت دگرسان شده‌ای را مشاهده کرد که بر روی سنگهای آتشفسانی ائوسن جای می‌گیرند. در بیشتر موارد رخنمونهای وابسته به این سنگها با شکستگی‌های مهم در ناحیه محدود شده‌اند و کنترل می‌شوند

- واحد گرانودیوریت (O^{gd}) :

این واحد به صورت مجموعه‌ای کشیده و با روند شرقی – غربی بوده و در نواحی شمالی محدوده مورد بررسی قابل مشاهده می‌باشند. ترکیب کانی‌شناسی این واحد عبارت است از پلاژیوکلаз، کوارتز، پیروکسن و دیگر کانیهای فرومیزین، کانیهای اوپاک نیز به صورت فرعی در این سنگها قابل مشاهده است. از نظر بافت شناسی این سنگها دارای بافت گرانولار تا میکروگرانولار می‌باشند.



شکل(۲-۵): نفوذ توode گرانودیوریتی در محدوده مورد مطالعه (توode در سمت چپ تصویر و واحدهای ولکانیکی در سمت راست)

۴-۲- زمین‌شناسی ساختمانی

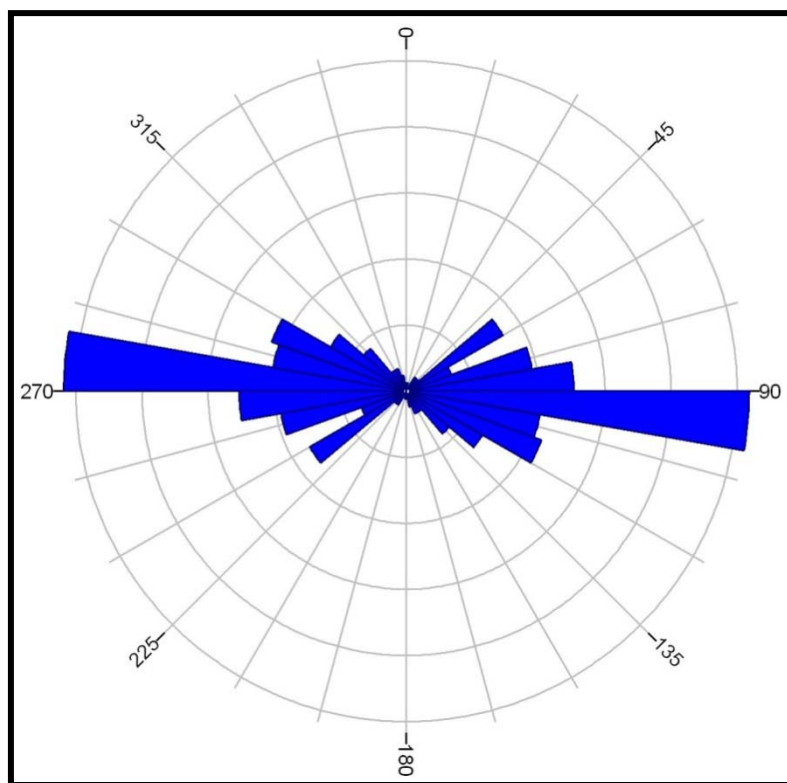
به طور کلی ساختارهای اصلی محدوده نصوند متاثر از ساختارهای کمربند ارومیه - دختر است.

با توجه به گسترش وسیع سنگهای آذرین پلوتونیکی و ولکانیکی در این زون با راستای NW-SE تکوین و تکامل ساختاری این محدوده را می‌توان در ارتباط با بسته شدن اقیانوس نئوتیس در طول خط درز زاگرس و فرورانش لیتوسفر اقیانوسی به زیر صفحه ایران دانست که بیانگر رژیمهای تنشهای فشارشی و امتداد لغز بوده است و در حرکات بعدی متاثر از تکتونیک برشی می‌باشد. در تشکیل کمربند ولکانیکی ارومیه - دختر عملکرد گسلهای امتداد لغز از اهمیت ویژه‌ای برخوردار است (بربریان و کینگ 1981، مجله 2000).

با توجه به سازوکار گسلهای فشارشی و راستالغز در ناحیه مطالعاتی، می‌توان دو سیستم گسلیدگی در ناحیه با تغییر تنشهای اصلی که متاثر از عملکرد گسلهای اصلی از قبیل گسل قم - زفره می‌باشد را تشخیص داد؛ بطوری که سازوکار گسلهای راستالغز چپ بُر منجر به جابجایی راندگیهای نسل اول در منطقه گردیده اند و در اثر عملکرد گسل راستالغز اصلی قم - زفره با سازوکار راست بُر منجر به ایجاد گسلهای مزدوج ریدل (R) با سازوکار چپ بُر گردیده است که این ناشی از گسلهایی از دوسو فشاری راست بر transpression/transtension می‌باشد.

با توجه به رز دیاگرام ترسیم شده (شکل ۲-۳) که بر اساس گسلهای نقشه زمین شناسی شهراب می‌باشد، مشاهده می‌گردد که مولفه اول شکستگی محدوده با روند شرقی- غربی بوده و حجم شکستگی با این روند کاملاً نسبت به روندهای دیگر غالب می‌باشد که با توجه به توصیف ذکر شده در بالا مربوط به امتداد گسل اصلی قم- زفره می‌باشد. مولفه‌های دیگر که با زاویه ۴۵ درجه نسبت به مولفه اصلی قرار دارند در جایگاه بعدی قرار می‌گیرند.

از لحاظ زمین شناسی اقتصادی، کانه‌زایی منطقه کاملاً درگیر با تکتونیک و گسلها می‌باشد. به طوریکه می‌توان روندهای کانه‌زایی به صورت رگه‌ای را همسو با مولفه اول (شرقی- غربی) و دوم (شمال‌غرب- جنوب‌شرق) در محدوده مشاهده نمود.



شکل (۶-۲): شکل رزدیاگرام حاصل از گسلهای زمین شناسی محدوده

رگه سیلیسی کانه‌دار در بخش جنوب غرب در امتداد گسلی با روند تقریبی شرقی – غربی که در بعضی بخش‌ها به صورت محدب نیز می‌باشد رخنمون پیدا کرده است. نفوذ رگه سیلیسی کانه‌دار در امتداد این گسل باعث ایجاد یک رخنمون آئینه گسلی در رگه سیلیسی شده است. این شکستگی واحد گدازه آندزیتی- توفی را قطع کرده است و به همین دلیل جوانتر از سن پلیوسن می‌توان آن را در نظر گرفت.

۲-۵- زمین شناسی اقتصادی از دیدگاه ناحیه‌ای

در ورقه شهراب کانی سازی قابل توجهی گزارش نگردیده است و تنها چند مورد از آثار معدنی مشاهده شده که از جمله آنها می‌توان به آهن در جنوب روستای مهرآباد و نیز جنوب اشکنان در مجاورت توده نفوذی گرانیت‌وئیدی اشاره کرد که آهن به صورت لیمونیت و اولیژیست در یک منطقه دگرسانی دیده شده است که در پیرامون آن نیز آثاری از معدنکاری قدیمی وجود دارد که اخیراً بنام معدن آهن گلشکنان راه اندازی شده است. همچنین مس در جنوب باختر رشته کوه زرد و در میان سنگ‌های آتشفسانی ائوسن که به شدت دچار دگرسانی شده‌اند دیده می‌شود. بررسی‌های دیگری نیز در این منطقه صورت گرفته است که منابع و نشانه‌های کانی‌سازی مس در آن مشاهده نشده است. باریت در شمال روستای مهرآباد و در میان مجموعه سنگ‌های توفی ائوسن به صورت رگه‌ای مشاهده شده که طول آنها چند ده متر و عرض متغیر از نیم متر تا چند دسی متر می‌باشد که به صورت قطع کننده در میان توف‌های ائوسن دیده می‌شوند و نیز پرلیت در جنوب ورقه شهراب و در میان نهشت‌های آتشفسانی و پیروکلاستیک مربوط به پلیوسن، بخش‌هایی از توف‌های شیشه‌ای و پرلیت وجود دارد که کمتر متببور هستند و حجم آنها قابل توجه بوده و می‌توان از آنها در تولید سیمان پوزولانی استفاده کرد، این ماده معدنی با توجه به نزدیکی به جاده اصلی اردستان به نائین می‌تواند مورد توجه قرار گیرد. در ارتباط با املاح معدنی نظیر سولفات سدیم و پتاسیم می‌توان به حوضه فرونژسته دق سرخ اشاره کرد که دارای پتانسیل خوبی می‌باشد و نیاز به مطالعات معدنی و ژئوشیمیایی دارد. در شرق برگه و در ۴ کیلومتری جنوب خاوری کوه شیرخانی محدوده کائولن اکتشاف شده نیز اخیراً فعالیت‌های استخراجی و بهره‌برداری خود را آغاز نموده است. همچنین سنگ تزئینی گرانیت سفید با جنس ریولیت- ریوداسیت در شرق ظفرقد و در کنار جاده اصلی از مهمترین فعالیت‌های معدنی محدوده یکصدهزارم شهراب می‌باشد.

فصل سوم.....دورسنجی

فصل سوم

دورسنجی

امروزه سنجش از دور در زمینه‌های علمی و تحقیقاتی کاربرد گسترده‌ای دارد که از آن جمله می‌توان به علوم زمین شناسی، معدن، جغرافیا، هواشناسی، کشاورزی و ... اشاره کرد. بدون شک استفاده از این فن در مطالعات اکتشافی نه تنها سرعت انجام مطالعات را بیشتر می‌کند، بلکه از لحاظ دقت، زمان، هزینه و نیروی انسانی نیز بسیار باصره‌تر است.

به طور کلی مهمترین ویژگی‌های فن سنجش از دور را می‌توان در موارد زیر بیان کرد:

- ۱- وسعت پوشش تصاویر ماهواره‌ای
- ۲- تصویربرداری در طیف‌های الکترومغناطیسی گوناگون
- ۳- امکان تصویربرداری دوره‌ای مرتب و ارسال بی وقفه تصاویر ماهواره‌ای. از این ویژگی در مطالعاتی چون تغییرات دوره‌ای سطح زمین و عوارض و پدیده‌های متغیر و بلایای طبیعی استفاده می‌شود.
- ۴- تهیه تصاویر در زمان ثابتی از روز، این ویژگی باعث می‌شود در تصاویری که در زمانهای مختلف گرفته شده اند اندازه سایه‌ها یکسان باشد.
- ۵- تهیه تصاویر وارائه اطلاعات از مکانهایی که امکان دسترسی به آنها مشکل و یا غیرممکن است.

۱-۱-۳- اهداف مطالعه

محدوده مورد مطالعه در باخته نقشه زمین‌شناسی ۱:۱۰۰،۰۰۰- ۱:۱۰۰،۰۰۰ شهراب قرار گرفته است و به طور کلی اهداف مطالعه تصاویر ماهواره‌ای در منطقه را می‌توان به صورت زیر خلاصه کرد:

- ۱- تفکیک واحدهای سنگی و بررسی پراکندگی آنها
- ۲- تشخیص و تفکیک نواحی دگرسان شده
- ۳- تشخیص و ترسیم شکستگی‌ها و گسلهای به منظور بررسی وضعیت ساختاری منطقه

۳-۲-مراحل کار:

به منظور دستیابی به اهداف فوق ابتدا مراحل آماده سازی (پیش پردازش) تصویر و سپس پردازش و تفسیر آن را انجام دادیم. در مراحل پردازش و پیشپردازش از نرم افزارهای ERDAS, ENVI, GEOMATICA, ARC VIEW استفاده شد.

۱-۲-آماده سازی داده ها:

به منظور آماده سازی داده ها ابتدا فایل های معرف صحنه ها توسط نرم افزارهای ویژه پردازش تصویر (مانند ENVI و ERDAS) خوانده شد و سپس تصحیحات هندسی و جوی برروی تصاویر اعمال گردید.

۲-۲-پردازش تصویر به منظور آشکارسازی و باز کردن پدیده های مورد نظر:

مرحله پردازش داده ها مرحله ای است برای دستیابی به تصویری با کیفیت بهتر و قابل درک تر، به نحوی که با توجه به مشابهت های بافتی، طیفی، هندسی و ... بتوان پدیده ها را از یکدیگر تفکیک نمود. این مرحله با به کار گیری روش های ویژه ای صورت می گیرد. در این قسمت ابتدا به برخی از روش های متداول پردازش تصاویر ماهواره ای اشاره کرده و سپس مراحل بررسی و پردازش تصویر ماهواره ای منطقه را توضیح داده ایم.

روش های پردازش تصویر عبارتند از:

۱- افزایش کنترast یا تباين (Contrast Stretching)

۲- عملیات ریاضی بین باندها و به کار گیری PCA:

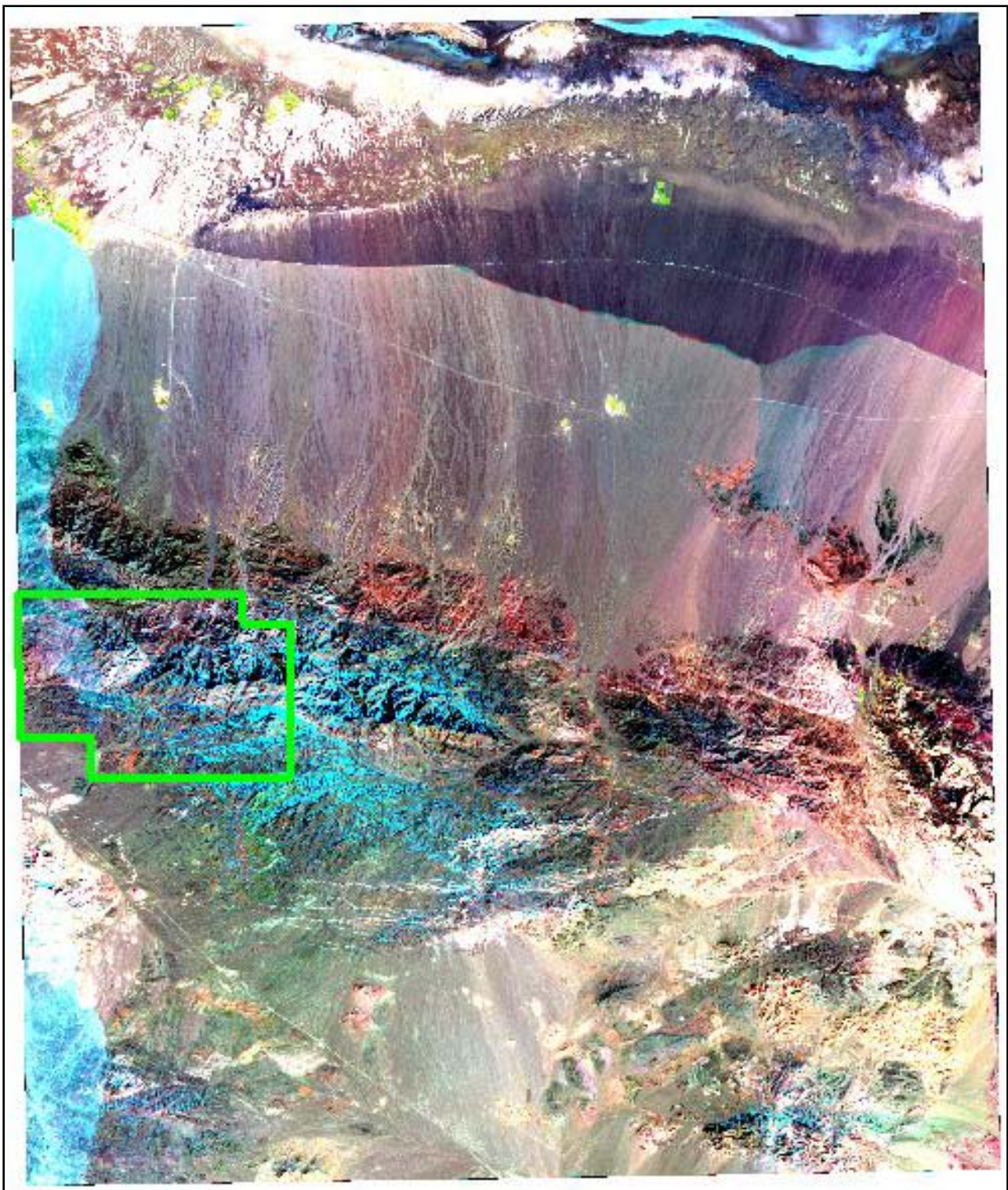
۳- فیلتر گذاری (Filtering)

در این پژوهه استخراج ساختارهای مهم منطقه از قبیل گسلهای اصلی و فرعی، ساختارهای حلقوی واحدهای سنگی قابل تفکیک و همینطور تشخیص دگر سانیها در تصاویر ماهواره ای موجود از جمله اطلاعات به دست آمده می باشد. در پردازش تفصیلی دگر سانیها با استفاده از تصاویر سنجنده

فصل سوم.....دورسنجدی

ASTER زونهای دگرسانی شامل دگرسانیهای اکسید آهن، دگرسانیهای کائولینیتی، ایلیتی و سریسیتی، کلریت و اپیدوتی (پروپلیتیکی) و سیلیسی تفکیک شدند که هریک در اکتشاف، میتوانند راهنمایی کلیدی و موثری باشند. قبل از توضیح در مورد پردازش‌های انجام شده موقعیت محدوده مورد بررسی معرفی می‌شود.

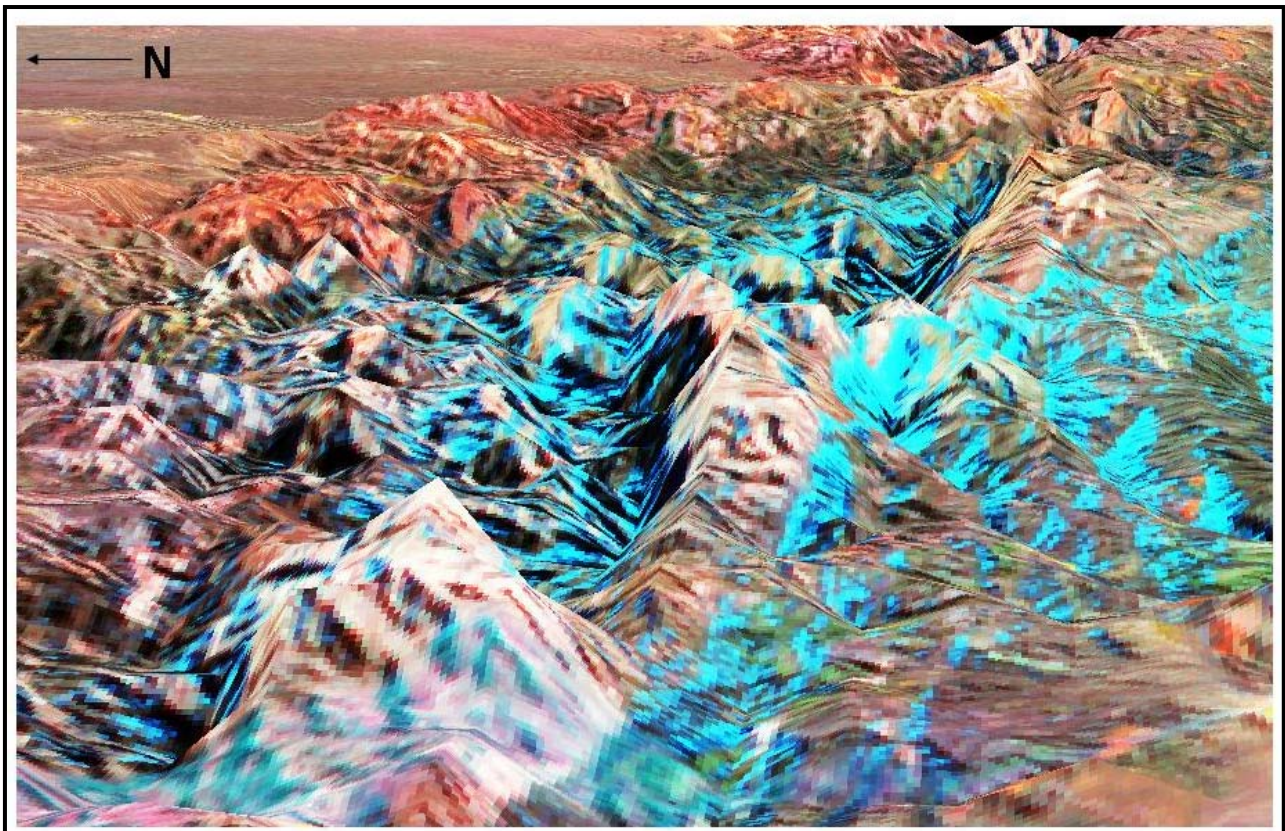
شکل شماره (۱-۳) تصویر ماهواره TERRA با ترکیب باندی 4,3,1 در محیط RGB محدوده ورقه یکصدهزارم شهراب را نمایش می‌دهد. در این تصویر کادر سبز رنگ محدوده مورد مطالعه را نمایش می‌دهد.



شکل شماره (۱-۳): تصویر ماهواره ASTER سنجنده با ترکیب باندی ۴,۳,۱ در محیط RGB در محدوده ورقه یکصدهزارم شهراب (کادر سبزرنگ محدوده مورد مطالعه) مقیاس تصویر: ۱:۳۶۰۰۰

فصل سوم.....دورسنجی

شکل شماره (۲-۳) تصویر سه بعدی تهیه شده از مدل ارتفاعی رقومی (DEM) در محدوده را نمایش می دهد. تهیه مدل ارتفاعی در نرم افزار Geomatica V9.1 انجام شده است.



شکل شماره (۲-۳): مدل سه بعدی تهیه شده با استفاده از داده های رقومی ارتفاعی (DEM) از تصویر سنجنده

با ترکیب باندی 4,3,1 در محدوده مورد مطالعه و اعمال آشکارسازی LINERA در نرم افزار

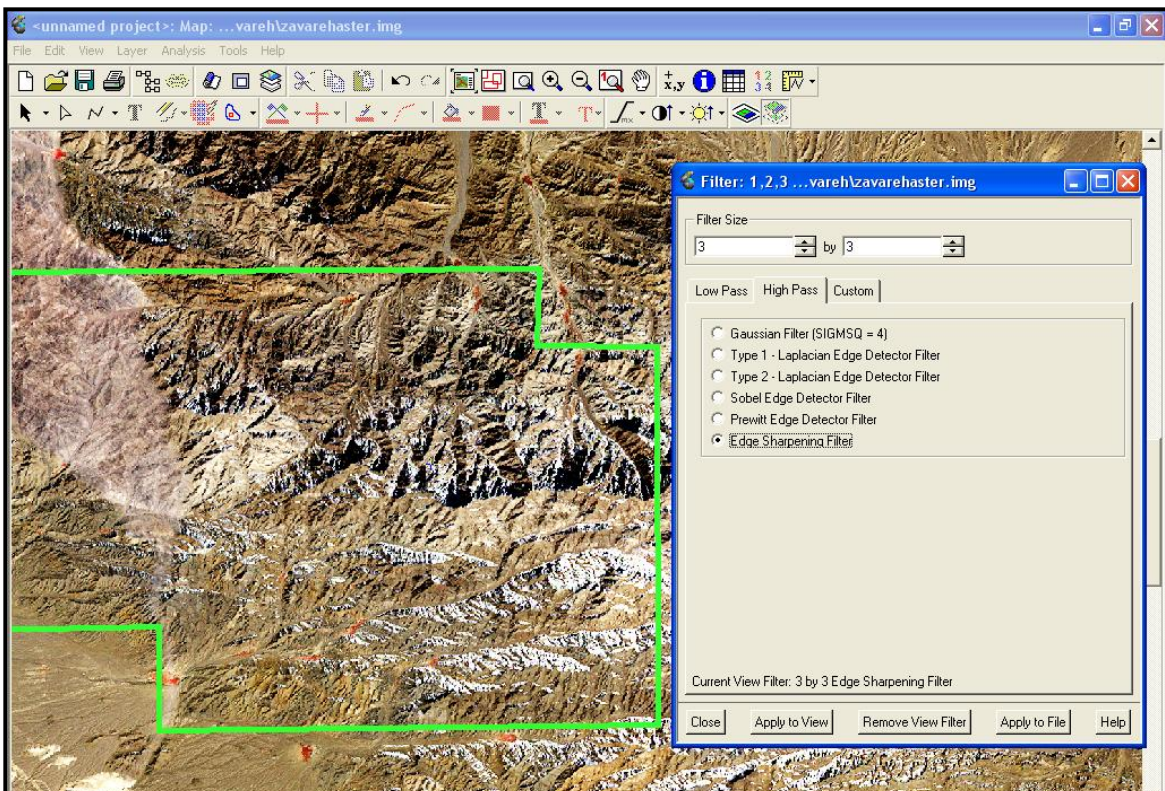
GeomaticaV9.1

۳-۳- بررسی وضعیت ساختارهای زمین شناسی ناحیه (گسلها، ساختارهای حلقوی)

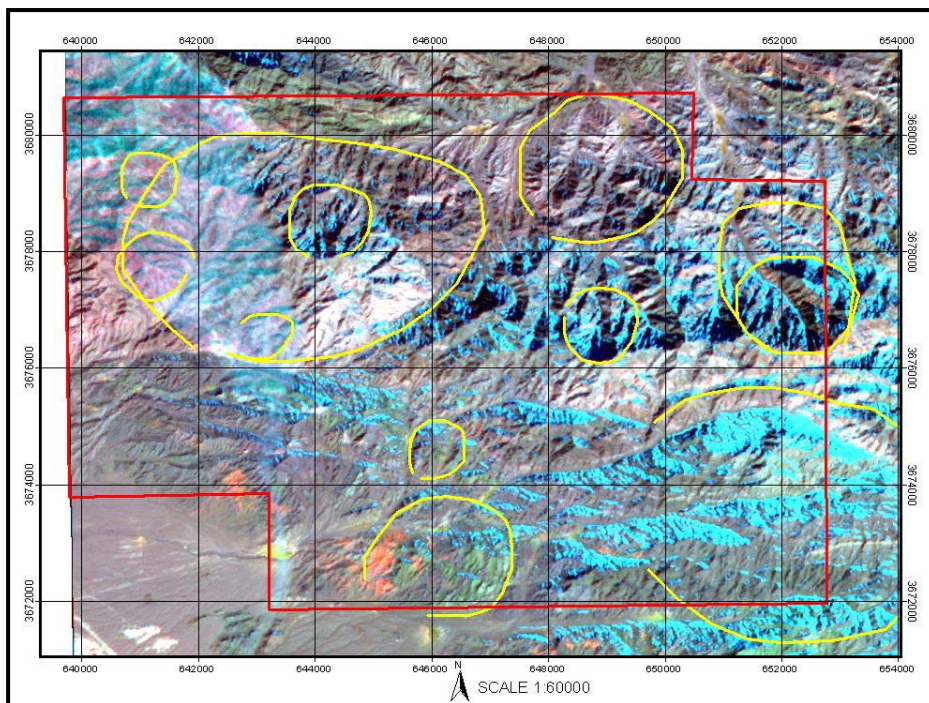
با استفاده از تصاویر ماهواره ای می توان ایده ای از مدل تکتونیکی منطقه، به دست آورده و ارتباط آن را با فازهای مختلف ولکانیکی و نفوذی احتمالی و همینطور نقاط امیدبخش معدنی و نواحی دگرسانی شناسائی کرد. اولین ساختارهای شناسائی شده به وسیله تصاویر ماهواره ای، ساختارهای حلقوی (Ring Structure) بودند. ساختارهای حلقوی می توانند مرتبط با اثر توده های نفوذی باشند که در سطح زمین رخمنون ندارند ولی سبب بروز دگرسانیهایی در سطح شده اند. از سوی دیگر مقایسه ساختارهای حلقوی با داده های ژئوفیزیک می تواند گام موثری در یافتن توده های نفوذی

فصل سوم.....دورسنجی

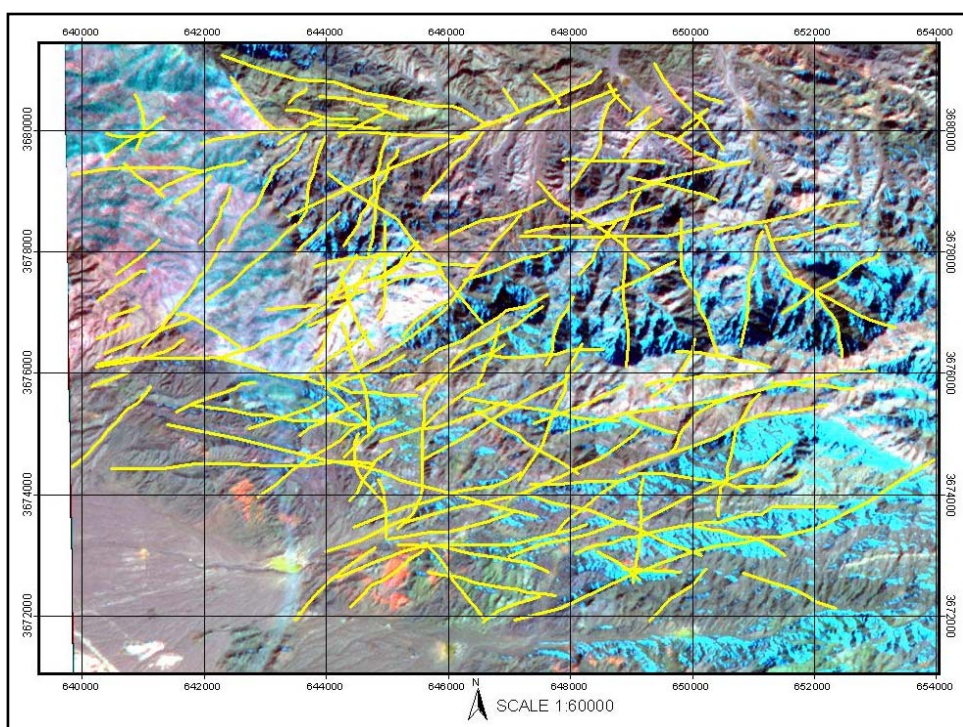
باشند که در سطح رخنمون ندارد. تجربه نشان داده است که بسیاری از دگرسانیهای مهم در محل تقاطع گسلها و ساختارهای حلقوی رخ داده است. بنابراین شناخت و ترسیم آنها در تصویر ماهواره‌ای کمک قابل توجهی به اکتشاف پتانسیلهایمعدنی خواهد کرد. برای تفکیک ساختارهای حلقوی محدوده از تصویر سنجنده ASTER و با ترکیب‌های باندی مختلف و مدل Hill Shade تهیه شده از مدل رقومی ارتفاع استفاده شد. ابتدا تصویر با ترکیب باندی ۱ و ۲ و ۳ در محیط RGB پردازش شد و ساختارها در این ترکیب شناسائی گردید، سپس از ترکیب باندی ۱ و ۴ و ۶ جهت تائید داده‌های استخراج شده استفاده شد و همزمان از فیلترهای Edge Sharpening برای تشخیص مرز ساختارهای حلقوی و گسلها و سپس فیلتر Laplacian Edge detector جهت تفکیک ستیغ‌ها از گسلها استفاده شد. بدیهی است هنگام پردازش این تصاویر آشکارسازیهای مختلفی روی تصویر صورت می‌گیرد که توضیح همگی آنها در این گزارش امکان پذیر نمی‌باشد. تمام آشکارسازی‌ها در نرم افزار Geomatica V9.1 صورت گرفته است. تصاویر (۳-۳) تا (۳-۵) مربوط به این بحث می‌باشد.



تصویر (۳-۳): تصویر سنجنده ASTER محدوده مورد بررسی (کادر سبزرنگ) بعد از اعمال فیلتر Sharpening Edge در محیط نرم افزار Geomatica V9.1 و با ترکیب باندی ۱۰۳ و ۴ در محیط RGB بارزسازی ساختارهای تکتونیکی. مقیاس تصویر: ۱:۶۳۰۰۰



شکل شماره (۴-۳): تصویر ماهواره‌ای سنجنده ASTER با ترکیب باندی ۱, ۳, ۴ در محیط RGB و نمایش ساختارهای حلقوی محدوده مورد بررسی با لایه وکتوری زردرنگ در محدوده مورد بررسی (کادر قرمزرنگ)

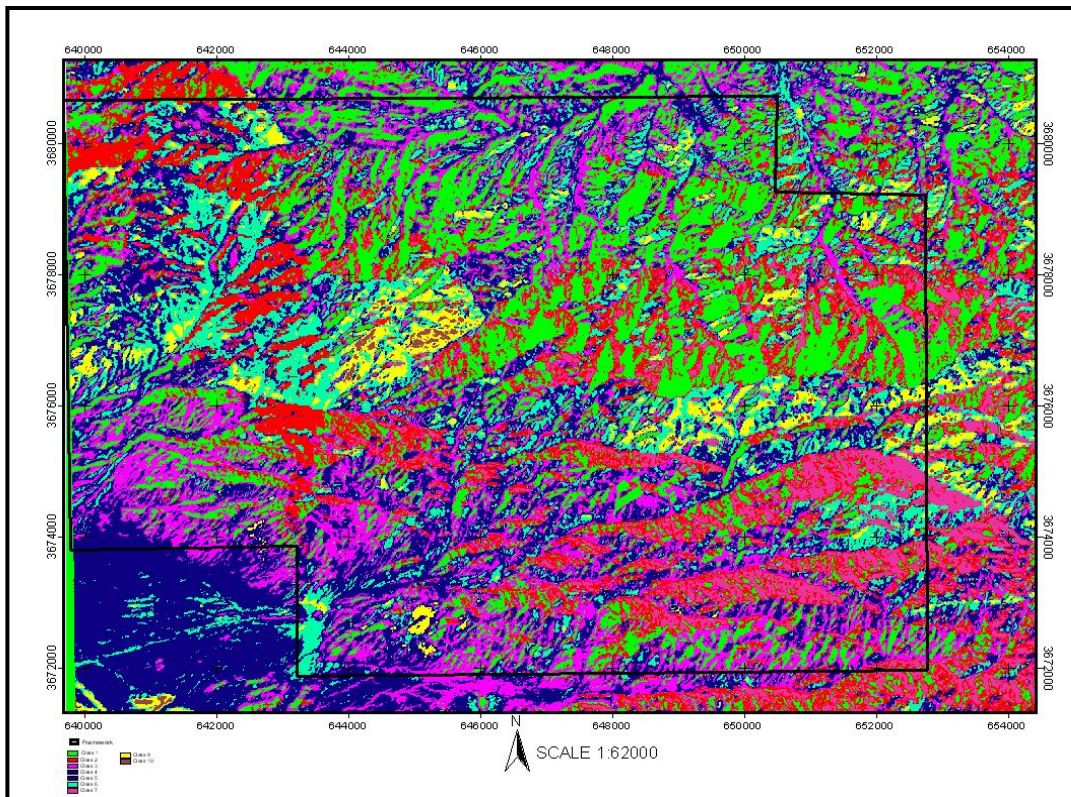
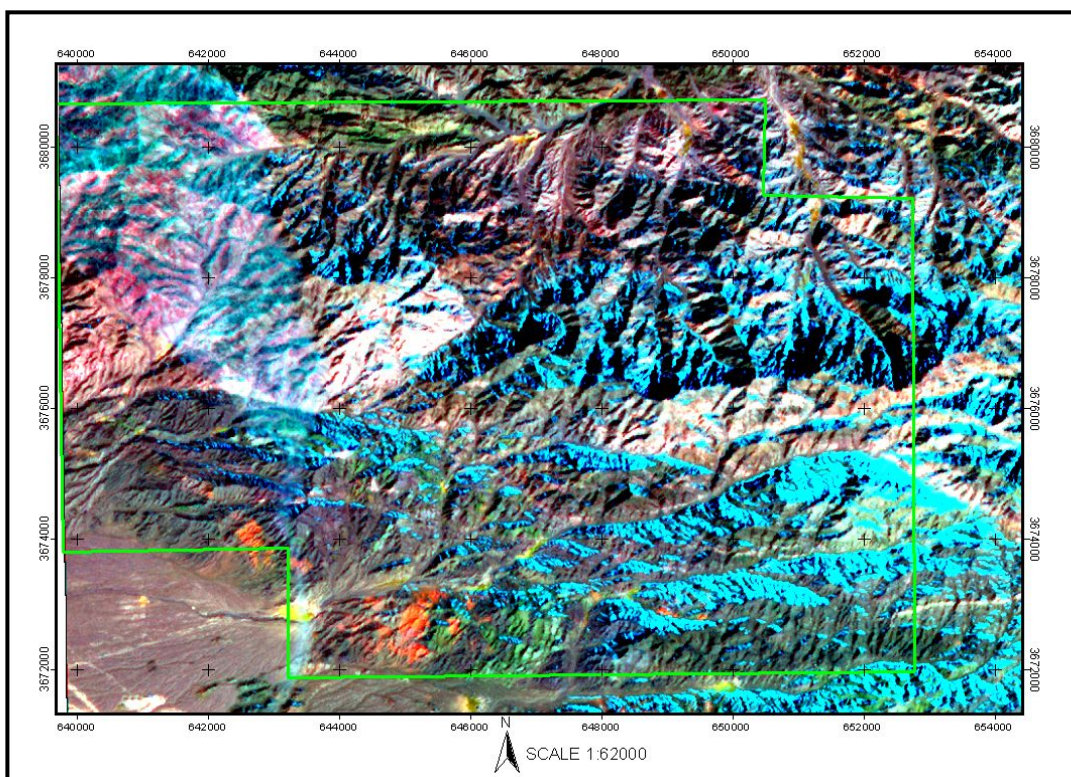


شکل شماره (۴-۵): تصویر ماهواره‌ای سنجنده ASTER با ترکیب باندی ۱, ۳, ۴ در محیط RGB و نمایش گسل‌های محدوده مورد بررسی با لایه وکتوری زردرنگ در محدوده مورد بررسی

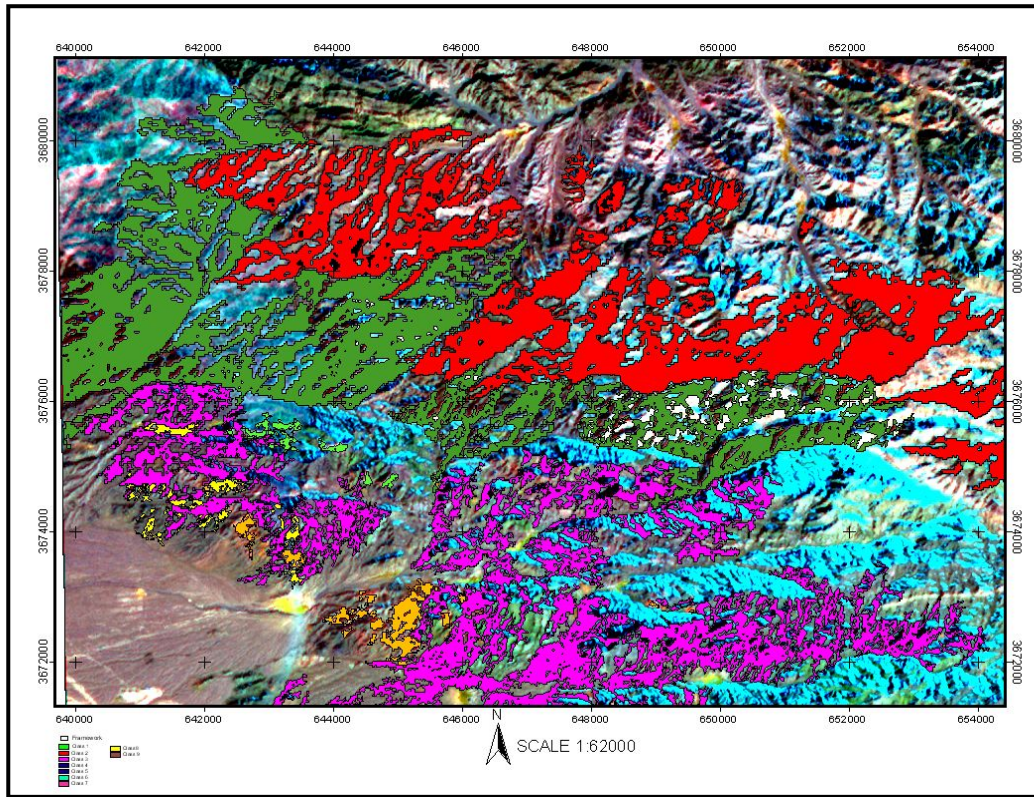
۴-۳- تفکیک واحدهای زمین‌شناسی

در تصاویر ماهواره‌ای با در نظر گرفتن عواملی چون رنگ، تن، بافت، الگوی آبراهه‌ها، توپوگرافی و موقعیت قرارگیری پدیده‌ها و همچنین با شناخت بازتاب طیفی سنگهای مختلف در محدوده طول موج‌های متفاوت می‌توان نوع واحدهای سنگی در یک منطقه را مشخص نمود. برای تفکیک واحدهای سنگی منطقه در مرحله نخست تصاویر رنگی مجازی مختلفی با کنتراست‌های مختلف ایجاد شد که تصویر سنجنده ASTER با آشکارسازی خطی (Linear) با ترکیب‌های باندی که در مورد آنها صحبت خواهیم کرد برای این منظور انتخاب شد.

البته این روش در استخراج دگرسانی‌ها و زونهای مختلف آن نیز به کاربرده می‌شود. در تصویر شماره (۶-۳) نمونه‌ای از اعمال این روش در محدوده مورد بررسی مشاهده می‌شود.



شکل شماره (۳-۶): اعمال روش طبقه‌بندی نظارت شده به روش SMACC در نرم افزار ENVI در ۶ کلاس (شکل پائین) هر کلاس و هر رنگ نمایش دهنده یک واحد زمین‌شناسی است که قابل مقایسه با شکل بالایی است. مثلاً کلاس رنگ آبی واحدهای آبرفتی محدوده (کادر سبز و سیاه) را نشان می‌دهد.



شکل شماره (۷-۳): نقشه نهائی تفکیک واحدهای زمین شناسی با استفاده از تصویر سنجنده ASTER در محدوده مورد بررسی با ترکیب باندی ۱و۳و۴ در محیط RGB و اعمال آشکارسازی LINEAR در نرم افزار GeomaticaV9.1

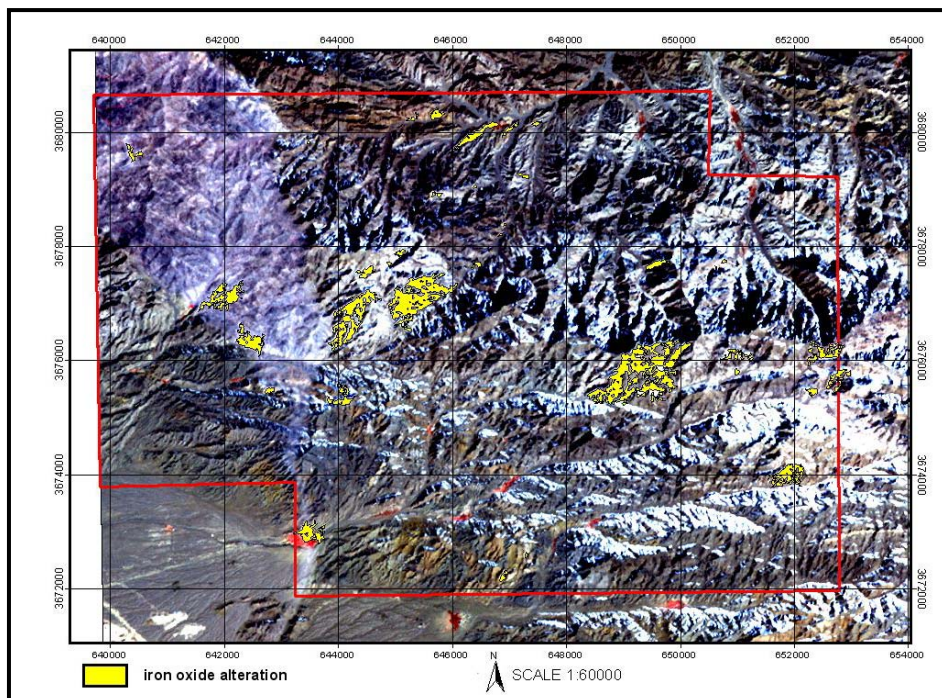
۳-۵- تفکیک زونهای دگرسانی

دگرسانیهای هیدروترمالی یا گرمابی فرآیندی پیچیده درگیر با تغییرات کانی‌شناسی، شیمیایی و بافتی هستند که از واکنش سیالات آبی داغ با منشاء‌های مختلف جوی و یا ماقمائي در سنگها صورت می‌گیرد. مهمترین کانی‌های ایجاد شده طی این دگرسانی، اکسیدهای آهن و کانی‌های رسی با بنیان OH هستند که چنانچه در سطح زمین ظاهر شود به وسیله تصاویر ماهواره‌ای قابل شناسایی هستند.

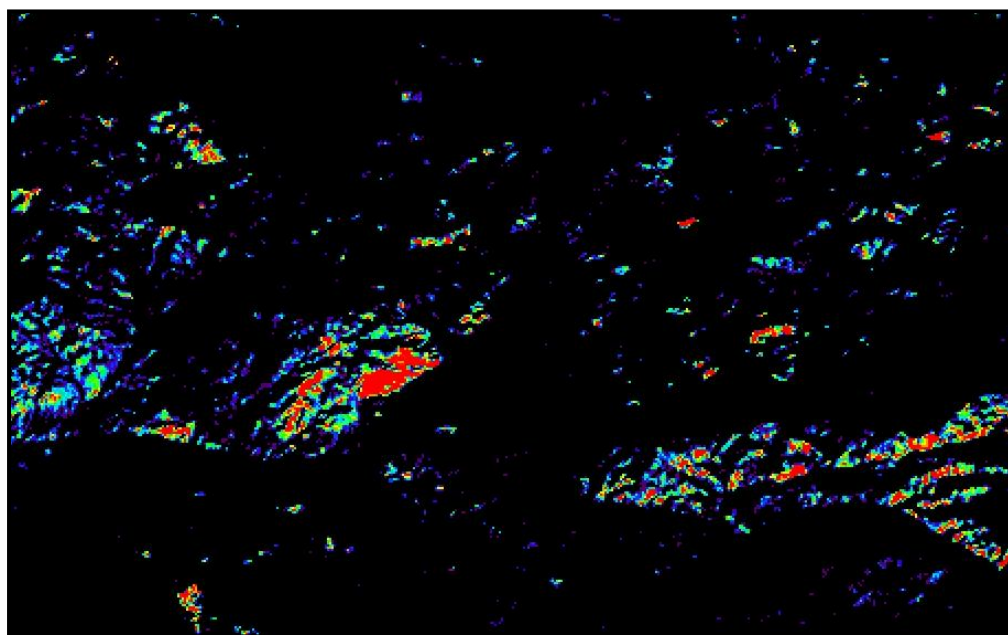
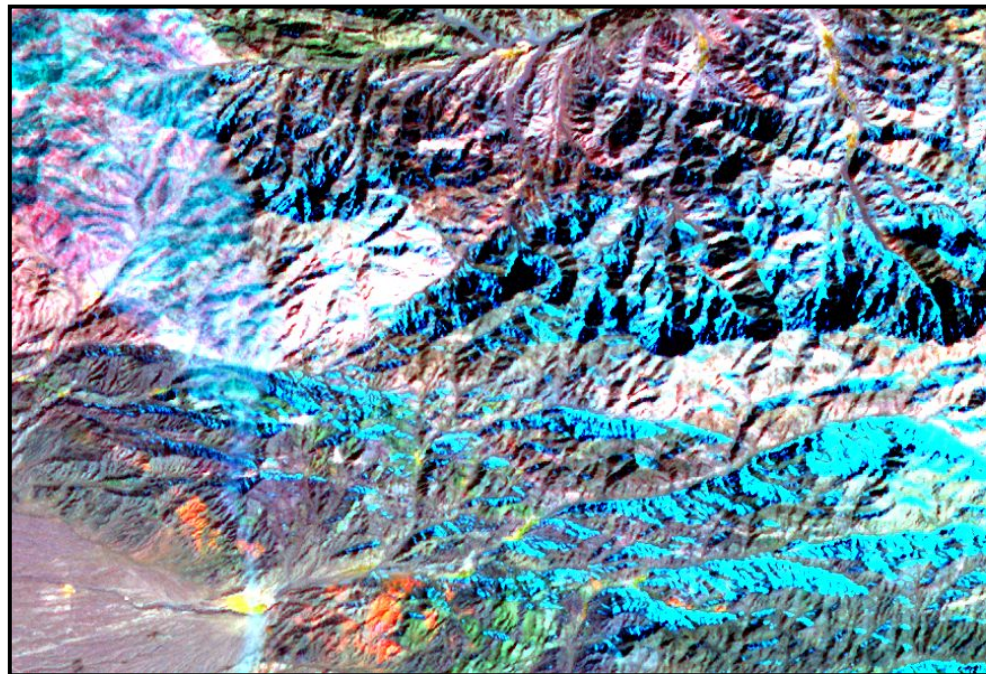
جهت تفکیک نواحی دگرسانی از تصویر سنجنده ASTER که دارای ۱۴ باند طیفی می‌باشد استفاده شد. در این پژوهه نواحی دگرسان شده در قالب زونهای دگرسانی اکسید آهن - ایلیت سریسیت - کائولینیت-کلریت و اپیدوت-سیلیس تفکیک و استخراج شد. حاصل کار تهیه نقشه

فصل سوم.....دورسنجی

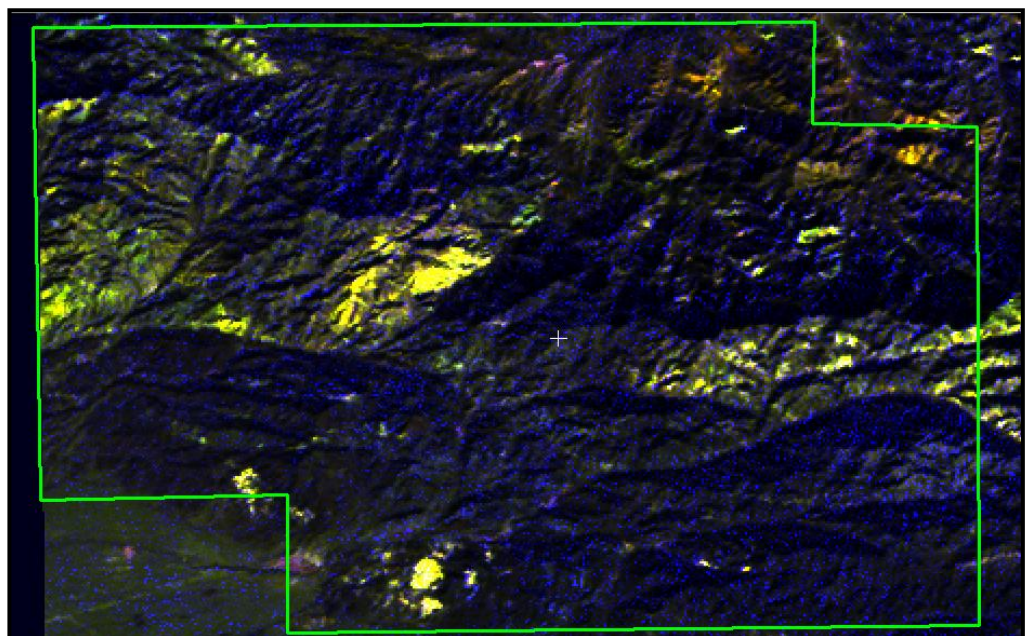
کانی شناسی و دگرسانی محدوده مورد نظر می‌باشد. بدینهی است که نقاط معرفی شده باید مورد بازدیدهای صحرائی قرار بگیرند تا در تهیه نقشه زمین‌شناسی محدوده مورد نظر شباهای وجود نداشته باشد.



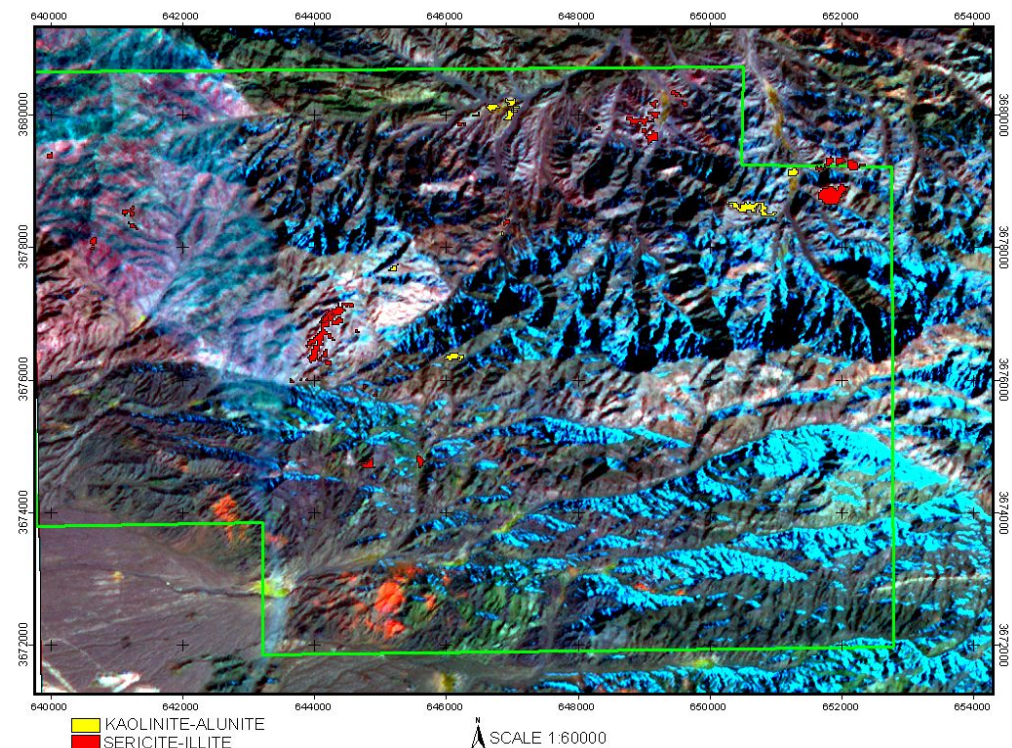
شکل شماره (۳-۸): نقشه نهائی تفکیک دگرسانی اکسید آهن با استفاده از تصویر سنجنده ASTER با ترکیب باندی ۱۰۳ و ۴ در محیط RGB و اعمال آشکارسازی LINEAR در نرم افزار GeomaticaV9.1. لایه‌های وکتوری زردرنگ مناطق دگرسانی اکسید آهن هستند. (کادر قرمز رنگ: محدوده مورد بررسی)



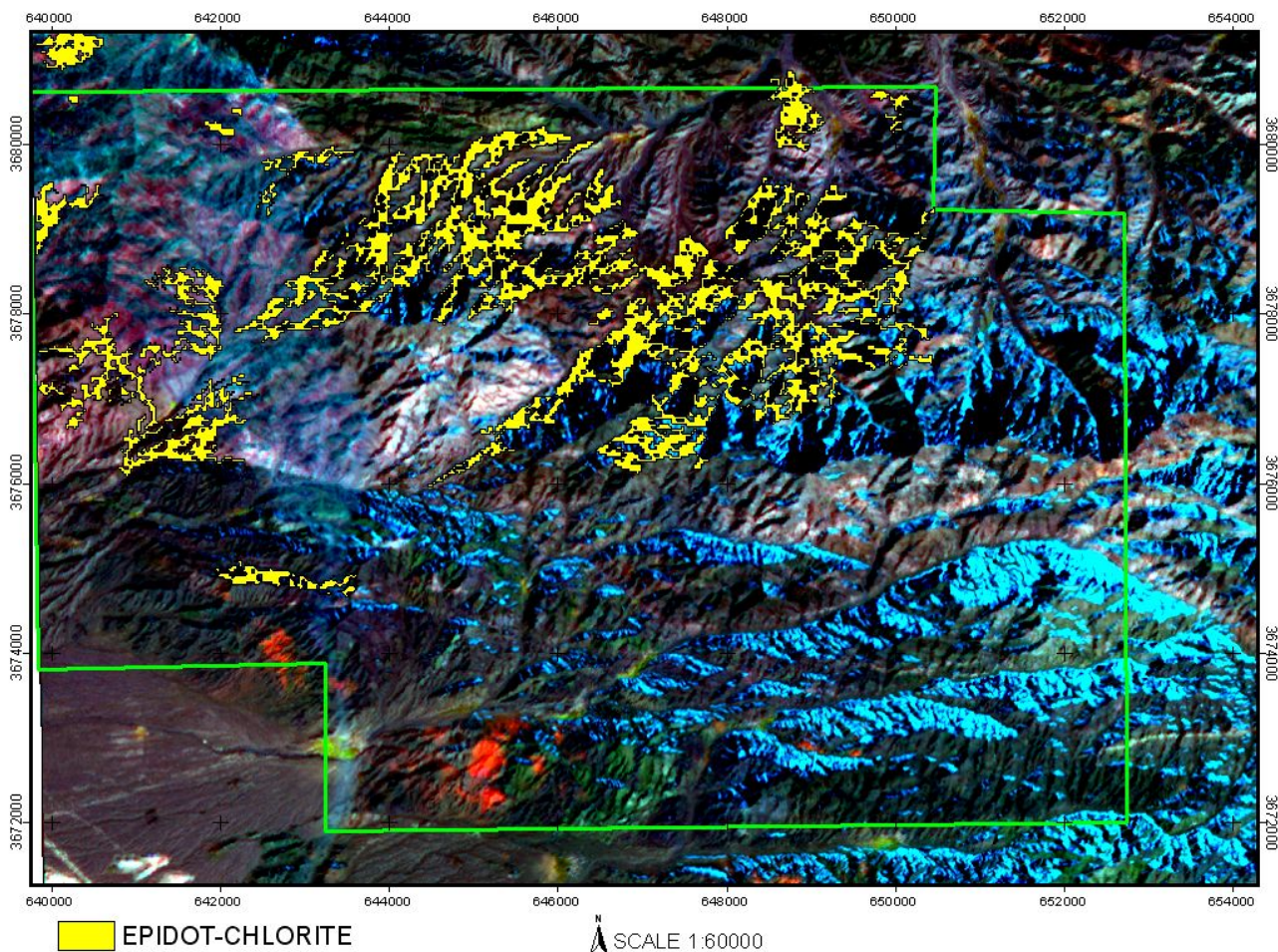
شکل شماره (۹-۳): اعمال الگوریتم LS-FIT در نرم افزار ENVI4.2 و طبقه‌بندی نطرارت شده جهت تفکیک کانی کائولینیت با استفاده از تصویر سنجنده ASTER در محدوده مورد بررسی. در تصویر بالا تصویر سنجنده ASTER با ترکیب باندی ۱ و ۳ و ۴ در محیط RGB مشاهده می‌شود و در شکل پائین همان محدوده پس از اعمال الگوریتم مذکور مشاهد ۵ می‌شود. پراکندگی کانی کائولینیت با رنگ قرمز متمایز شده است.



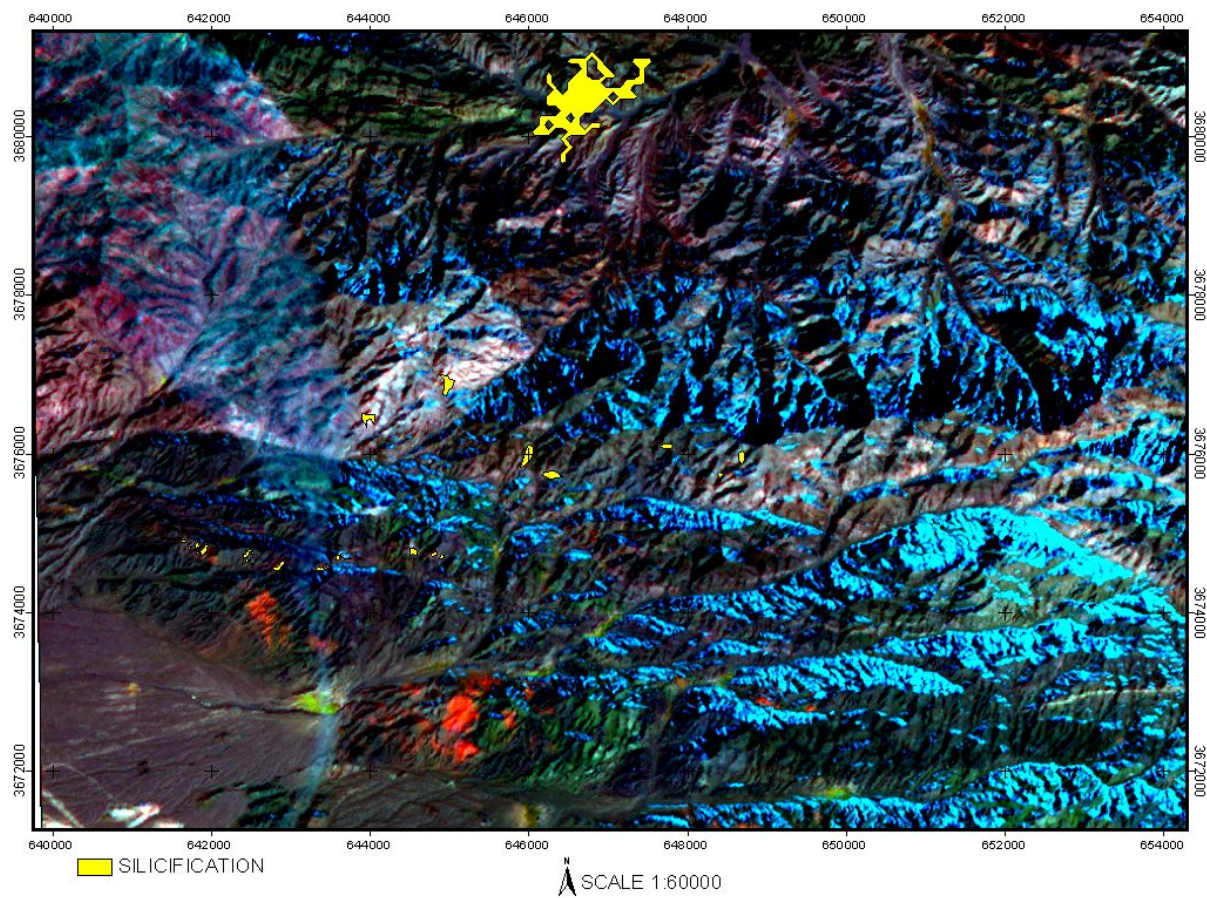
شکل شماره (۱۰-۳): اعمال روش PCA یا تحلیل مولفه‌های اصلی در تصویر سنجنده ASTER با ترکیب باندی PC2(5,6) به منظور تفکیک کانی کائولینیت در زون دگرسانی آرژیلیک که به صورت بخش‌های زرد رنگ از سایر نواحی قابل تفکیک هستند (کادر سبز رنگ محدوده مورد بررسی).



شکل شماره (۱۱-۳): تصویر سنجنده ASTER با ترکیب باندی ۱و۳و۴ در محیط RGB و نمایش کانی‌های کائولینیت و سریسیت روی تصویر که لایه وکتوری قرمز رنگ کانی ایلیت-سریسیت و لایه وکتوری زرد رنگ کانی کائولینیت (زون دگرسانی آرژیلیک) را در محدوده نمایش می‌دهد (کادر سبز رنگ: محدوده مورد بررسی).



شکل شماره (۱۲-۳): تصویر سنجنده ASTER با ترکیب باندی ۱ و ۳ و ۴ در محیط RGB و نمایش کانی‌های کلریت و اپیدوت روی تصویر با لایه وکتوری زرد رنگ (زون دگرسانی پروپیلیتیک). (کادر سبز رنگ: محدوده مورد بررسی)



شکل شماره(۱۳-۳): تصویر ASTER با ترکیب باندی ۱ و ۳ و ۴ در محیط RGB و نمایش بخش‌های سیلیسی شده روی

تصویر با لایه وکتوری زردرنگ.

فصل ششم.....کنترل صحرایی.

فصل چهارم: ژئوشیمی

بخش اول

نمونهبرداری، آمادهسازی، آنالیز و محاسبه خطای آنالیز

مقدمه

نمونهبرداری، تجزیه نمونه‌ها و تفسیر نتایج سه بخش اساسی در ژئوشیمی اکتشافی هستند. در صورتیکه خطای در تجزیه نمونه‌ها رخ دهد باید بار دیگر آنرا تکرار کرد و به تفسیر مجدد داده‌ها پرداخت. ولی در صورت ایجاد خطا در نمونهبرداری نه تنها باید این مرحله را تکرار کرد بلکه باید تجزیه نمونه‌ها و تفسیر داده‌ها را نیز دوباره انجام داد که در مجموع مخارج زیادی را در بر می‌گیرد. بنابراین نمونهبرداری صحیح از اهمیت خاصی برخوردار است.

۴-۱- نمونهبرداری

۴-۱-۱- طراحی شبکه نمونهبرداری

جهت انجام نمونهبرداری ژئوشیمیایی، نیاز به طراحی شبکه نمونهبرداری می‌باشد. برای این کار نقشه توپوگرافی ۱:۲۵۰۰۰۰ مربوطه (به شماره SW III 6556) و عکس‌های هوائی ۱:۲۰۰۰۰ منطقه تهیه گردید. سپس نقشه آبراهه منطقه با نقشه زمین‌شناسی و داده‌های ژئوفیزیک هوایی تلفیق گردید و طراحی شبکه نمونهبرداری بر روی این نقشه طوری انجام گردید که حداکثر سازگاری را با روش مرکز ثقل داشته باشد. درجه مرکز ثقل را عوامل متعددی نظیر چینه‌شناسی، سنگ‌شناسی، آلتراسیون و تکتونیک کنترل می‌کنند.

فصل ششم.....کنترل صحرایی..

۴-۱-۲- عملیات نمونهبرداری

در این عملیات، پس از یافتن محل نمونه‌ها و کنترل آن با نقشه، عکس هوایی و دستگاه GPS از

رسوب آبراهه با الک ۸۰- نمونه برداشت گردید. در برداشت نمونه نکاتی رعایت گردید تا نمونه بطور

کامل معرف حوضه بالادست بوده و عاری از هر گونه آلودگی و خطأ باشد. از آن جمله

۱- وسایلی مانند الک، زیرالکی و فرچه پس از هر بار نمونهبرداری باید تمیز شود.

۲- در محل نمونهبرداری، ابتدا مواد سطحی بستر آبراهه کنار زدهشده، سپس اقدام به نمونهبرداری

گردید.

۳- در آبراهه‌های عریض، جهت برداشت نمونه چند محل در عرض آبراهه انتخاب تا نمونه بطور

کامل معرف حوضه بالادست باشد.

۴- در آبراهه‌های کم عرض، سعی شد تا نمونه از وسط آبراهه برداشت گردد، زیرا واریزه‌های کنار

آبراهه نمی‌توانند معرف ترکیب میانگین رسوبات حوضه بالادست باشند.

۵- از برداشت مواد آلی اجتناب شد، چرا که اغلب به دلیل ارتباط با پدیده جذب، غلظت فلزات در

انها بالاست.

پس از برداشت نمونه، آن را داخل کیسه پلاستیکی ریخته و شماره نمونه روی آن با برچسب زده

شد. در شماره‌گذاری نمونه‌ها از یک کد پنج رقمی استفاده شد. این کد متشکل از دو حرف معرف

نام محدوده(پنج) و یک عدد حداکثر سه رقمی است (برای مثال نمونه ۱۱-ZP-11).

۴-۱-۳- نمونه ژئوشیمیایی

نمونه ژئوشیمیایی متشکل از حدود ۱۰۰ تا ۲۰۰ گرم جزء ۸۰- مش رسوبات آبراهه‌ای می‌باشد که

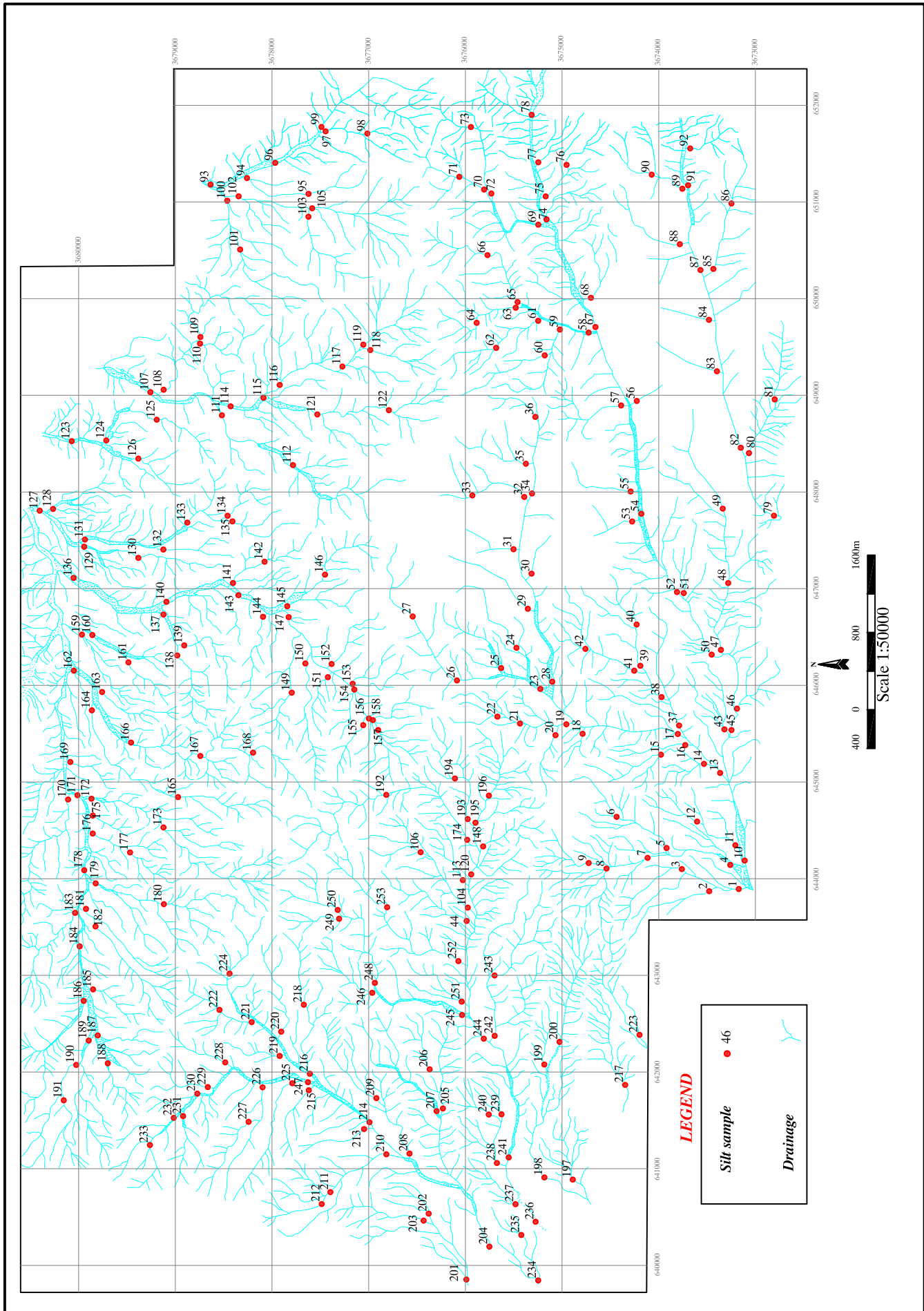
پس از الک کردن رسوب خشک در محل، درون کیسه پلاستیکی ریخته شده و شماره‌گذاری

گردیده است.

فصل ششم.....کنترل صحرایی..

تعداد ۲۵۳ نمونه ژئوشیمیایی، پس از اتمام نمونه برداری و حذف یا اضافه شدن نمونه های لازم به دست آمد. بنابراین تراکم شبکه نمونه برداری برای این محدوده با وسعت تقریبی ۹۴ کیلومتر، ۲/۷ نمونه برای هر کیلومتر مربع می باشد. شکل ۱-۴ موقعیت نمونه های برداشت شده را نشان می دهد.

Fig4-1: Sample location Map of Nasrland



۴-۲-آمادهسازی نمونه‌ها

اهمیت مراحل اکتشافی و صحت هر کدام از آنها در اخذ نتایج نهایی و کشف نهشته‌های پنهان نقش به سزاوی دارد و دقت در حسن اجرای هر مرحله متضمن حصول نتایج واقعی است. پس دقت در تمام مراحل لازمه انجام کار درست می‌باشد.

۲۵۳ نمونه ژئوشیمی، پس از کنترل نهایی جهت آمادهسازی و آنالیز به آزمایشگاه مرکز پژوهش‌های کاربردی سازمان زمین شناسی در کرج منتقل گردید. وزن نمونه‌ها بیش از ۱۰۰ گرم بوده و با توجه به اینکه قطر ذرات کمتر از ۸۰ مش می‌باشد، بیش از ۲۳۸۶۹ ذره در هر گرم آن موجود است. لذا تقسیم نمونه‌ها و برداشت زیر نمونه‌های آزمایشگاهی به وزن ۳۰۰ میلی‌گرم از آن با کمتر از ۸۰۰۰ ذره با خطأ همراه می‌باشد، زیرا دارای کمتر از ۱۰۰۰۰ ذره است.

اگر قطر ذرات نمونه را تا ۲۰۰-مش کاهش دهیم در هر گرم آن بیش از ۳۷۲۹۵۳ ذره موجود خواهد بود. بنابراین در برداشت زیر نمونه‌های ۳۰۰ میلی‌گرمی (که در آن بیش از ۱۰۰۰۰ ذره وجود دارد) با خطای قابل قبولی روبرو خواهیم بود.

۴-۳-آنالیز نمونه‌ها

نمونه‌های ژئوشیمیایی پس از نرمایش در شرکت مربوطه مورد آنالیز قرار گرفت. این نمونه‌ها برای چهل و چهار عنصر Ag, Al, As, Au, Ba, Be, Bi, Ca, Cr, Fe, Hg, K, La, Li, Mg, Mn, Mo, Na, Nb, Ni, P, Pb, Rb, S, Sb, Sc, Sn, Sr, Te, Th, Ti, Tl, U, V, W, Y, Yb, Zn, Zr مورد آنالیز قرار گرفتند. حدسasیت عناصر همراه با روش آنالیز در جدول (۱-۳) آورده شده است.

فصل ششم.....کنترل صحرایی..

جدول (۴-۱): حدساست عنصر همراه با روش آنالیز

Elements	Method	Unit	Detection Limit
Au	ES	ppb	1
Hg	AA	ppm	0.05
Sb	AA	ppm	0.5
Bi	AA	ppm	0.1
Cs	ICP	ppm	0.5
Mo	ICP	ppm	0.3
Co	ICP	ppm	0.5
Ag	ICP	ppm	0.1
Cd	ICP	ppm	0.1
Pb	ICP	ppm	0.5
As	ICP	ppm	1
Rb	ICP	ppm	0.1
W	ICP	ppm	1
P	ICP	ppm	10
S	ICP	ppm	50
Tl	ICP	ppm	0.2
Sn	ICP	ppm	1
Te	ICP	ppm	0.01
U	ICP	ppm	1
Li	ICP	ppm	0.2
Be	ICP	ppm	0.1
Ba	ICP	ppm	0.2

Elements	Method	Unit	Detection Limit
Ti	ICP	ppm	10
Zr	ICP	ppm	1
V	ICP	ppm	2
Cr	ICP	ppm	2
Mn	ICP	ppm	5
Fe	ICP	ppm	50
Ni	ICP	ppm	1
Zn	ICP	ppm	0.5
Al	ICP	ppm	10
Ca	ICP	ppm	10
Ce	ICP	ppm	0.5
Cu	ICP	ppm	0.5
K	ICP	ppm	10
La	ICP	ppm	10
Sc	ICP	ppm	0.1
Th	ICP	ppm	1
Yb	ICP	ppm	0.1
Na	ICP	ppm	10
Mg	ICP	ppm	10
Y	ICP	ppm	0.2
Sr	ICP	ppm	0.1

۴-۴- کنترل نتایج آنالیز نمونه‌ها

قبل از هرگونه عملیات بر روی داده‌ها، میزان خطای آن مورد ارزیابی قرار گرفت. به هر ترتیب بدون آگاهی از میزان خطای آنالیز، نتایج اکتشافی از اعتبار نامعلومی برخوردار خواهد بود. بطورکلی در بررسی خطای همواره با دو مقوله صحت که مقدار تطابق با واقعیت و دقیقت که میزان تکرارپذیری داده‌های استاندارد روبرو هستیم. در بررسی انجام شده مشخص گردید که آزمایشگاه با به کارگیری نمونه‌های استاندارد از صحت آنالیز اطمینان حاصل می‌کند و چون اینگونه استانداردها کمیاب و گران است در زمینه کنترل صحت به کنترل آزمایشگاهی اکتفا شد.

فصل ششم.....کنترل صحرایی..
آنچه که بیشتر متداول است محاسبه دقت آنالیز است. برای این منظور ۱۰ نمونه به طور تصادفی پس از نرمايش انتخاب و با شماره های مخفی تکرار شده و به نمونه ها جهت آنالیز اضافه گردید. پس از اخذ جواب آنالیز، با روش محاسبه خطای نسبی دقت آنالیز مورد بررسی قرار گرفت.
برای محاسبه خطای نسبی عناصر مختلف که مبین نحوه و شکل توزیع داده ها می باشد، ابتدا پراش آنالیز طبق فرمول زیر محاسبه شد:

$$S^2 = \frac{\pi}{4} \left[\frac{\sum |X_1 - X_2|}{n} \right]^2$$

در معادله بالا S^2 مقدار پراش، X_1 مقدار اندازه گیری اول، X_2 مقدار اندازه گیری دوم و n تعداد زوج نمونه های تکراری آزمایش شده می باشد.
با محاسبه پراش می توان ضریب اطمینان (CI) مربوط به آنالیز نمونه ها در سطح اعتماد ۹۵٪ را از طریق فرمول زیر محاسبه نمود.

$$CI(95\%) = Z * S$$

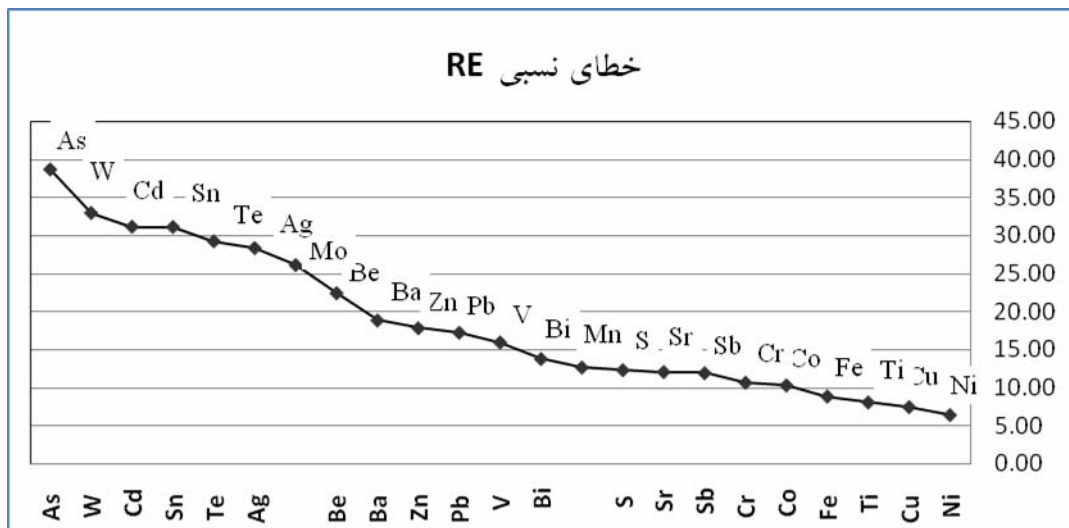
در رابطه بالا، Z (در سطح اعتماد ۹۵٪) برابر ۱/۹۶ و S انحراف معیار مربوط به هر عنصر می باشد و از رابطه $S = \sqrt{S^2}$ به دست می آید. در مرحله بعد برای محاسبه خطای نسبی از فرمول زیر استفاده می شود.

$$RE = \frac{CI}{X} * 100$$

که در این فرمول، \bar{X} میانگین میانگین های دو سری اندازه گیری عنصر می باشد. میزان خطای نسبی مربوط به هر عنصر در جدول (۲-۴) آورده شده است. همچنین شکل (۱-۴) نمودار مربوط به خطای نسبی عناصر مختلف را نشان می دهد. بر طبق این مقادیر خطای نسبی مشاهده می شود که عنصر As با ۳۸٪، دارای بالاترین میزان خطا می باشد و پس از آن به ترتیب W با ۳۲٪، Cd با ۳۱٪ و ... قرار دارند. لازم به ذکر است که عناصر Au, Hg به دلیل داشتن تعداد زیادی سنسور در نمونه های تکراری در محاسبه خطا شرکت داده نشدنند.

Element	V	S	CI	RE%
Sb	0.003	0.05	0.10	11.9
Bi	0.0002	0.02	0.03	13.8
Mo	0.01	0.10	0.19	26.1
Ag	0.0001	0.01	0.02	28.3
Pb	7.61	2.76	5.41	17.2
Zn	75.5	8.69	17.03	17.8
As	6.26	2.50	4.90	38.6
W	0.08	0.28	0.55	32.9
Sn	0.16	0.40	0.78	31.1
Ba	1782	42.2	82.7	18.8
Mn	5595	74.8	146.6	12.6
Fe	9970319	3158	6189	8.85
Cu	2.36	1.54	3.01	7.46
Cd	0.002	0.04	0.09	31.1
Te	0.0001	0.01	0.02	29.2
S	429	20.7	40.6	12.3
Be	0.03	0.16	0.32	22.4
Sr	329	18.1	35.5	12.1
Ti	34692	186	365	8.07
Co	0.68	0.83	1.62	10.3
V	105	10.2	20.0	15.9
Cr	32.93	5.74	11.2	10.7
Ni	2.97	1.72	3.38	6.42

جدول (۲-۴): میزان خطای نسبی مربوط به هر عنصر



شکل (۲-۴): نمودار مربوط به خطای نسبی عناصر مختلف

بخش دوم

پردازش داده‌های ژئوشیمیایی

مقدمه

پردازش داده‌ها مرحله‌ای است که طی آن به حجم زیاد اطلاعات گردآوری شده سامان داده می‌شود و با اعمال محاسبات آماری و زمین‌آماری گوناگون اطلاعات به شکل قابل تفسیر درمی‌آیند. در طی این مراحل کنترلهای مختلفی صورت می‌گیرد تا از بروز خطاهای احتمالی جلوگیری شود. هدف از اکتشافات ژئوشیمیایی، معرفی آنومالیهای ژئوشیمیایی در ارتباط با کانی‌سازی می‌باشد. ولی نباید تصور کرد که منظور از این آنومالی وجود مقادیر بسیار بالای یک یا چند عنصر در محیط نمونه‌برداری رسوبات آبراهه‌ای می‌باشد، بلکه چنین آنومالی براساس میزان انحراف داده‌های ژئوشیمیایی از یک سری مقادیر ناحیه‌ای که تحت عنوان زمینه نامیده‌می‌شود، شناخته و مشخص می‌گردد. وظیفه چنین شناخت و جدایشی بر عهده پردازش آماری داده‌های ژئوشیمیایی است. در واقع در پردازش‌های آماری نتایج حاصل از آنالیز نمونه‌های ژئوشیمیایی تحت عنوان یک جامعه آماری توسط روش‌های مختلف مورد تجزیه و تحلیل قرار می‌گیرند، ارتباط پارازنی عناصر با یکدیگر بررسی می‌گردد، مقادیر زمینه شناسایی شده و بر اساس آن آنومالی معرفی می‌گردد. البته لازم به ذکر است که تعداد زیادی از آنومالی‌های ژئوشیمیایی وجود دارند که در ارتباط با کانی‌سازی نبوده و در نهایت به عنوان آنومالی کاذب معرفی می‌گردند، که یکی از نتایج پردازش ژئوشیمیایی تفکیک آنومالی‌های مرتبط با کانی‌سازی از نوع کاذب می‌باشد.

۴-۵- تخمین مقادیر سنسورد

شرط لازم جهت پردازش‌های آماری داده‌ها، حضور داده‌های عددی و غیر سنسورد است. داده‌های سنسورد به داده‌هایی گفته می‌شود که به دلیل اینکه خارج از محدوده حد حساسیت و قابلیت اندازه‌گیری دستگاه است، به صورت کوچکتر یا بزرگتر حد حساسیت بیان می‌شود. حضور مقادیر

فصل ششم.....کنترل صحرایی..
 سنسورد، پردازش داده‌ها را با خلل مواجه می‌کند، به همین علت عناصری که مقادیر سنسورد آنها بسیار زیاد است از پردازش حذف می‌شوند ولی اگر تعداد داده‌های سنسورد در حد قابل قبول باشد، مقادیر آن باید توسط روش‌های مختلف جایگزین شده و مانند سایر اعداد مورد استفاده قرار گیرد.
 در جدول (۴-۴) عناصر سنسورد به همراه مقدار جایگزینی آمده است. بقیه عناصر همگی به صورت غیر سنسورد گزارش شده‌اند.

جدول (۴-۳): عناصر سنسورد به همراه مقدار جایگزینی

عنصر(ppm)	حد حساسیت	تعداد سنسورد	مقدار جایگزینی
Au	۰/۰۰۱	۵۶	۰/۰۰۰۷۵
Hg	۰/۰۵	۲۲۰	۰/۰۳۷۵
Ag	۰/۰۵	۱۷۰	۰/۰۳۷۵
Se	۰/۱	۶	۰/۰۷۵
Te	۰/۰۲	۹	۰/۰۱۵
W	۰/۱	۲۳	۰/۰۷۵

۴-۶- بررسی داده‌های خام

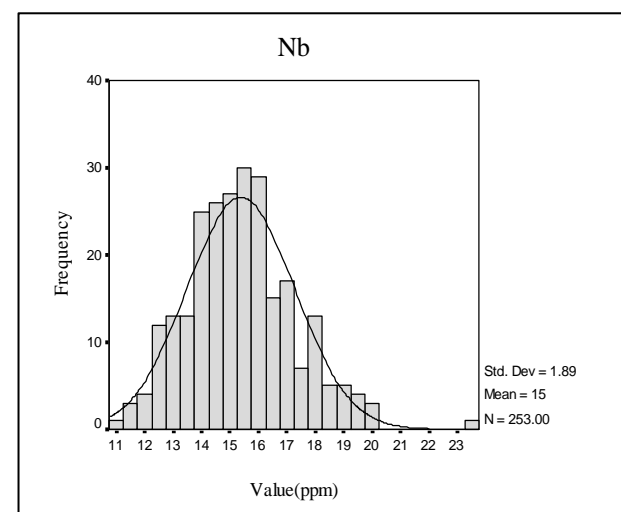
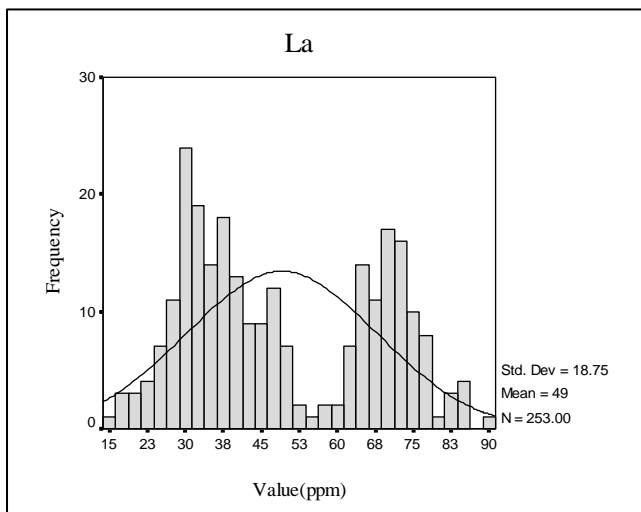
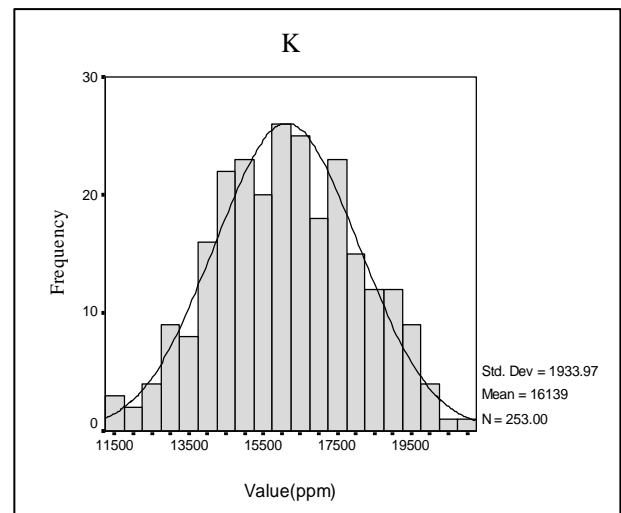
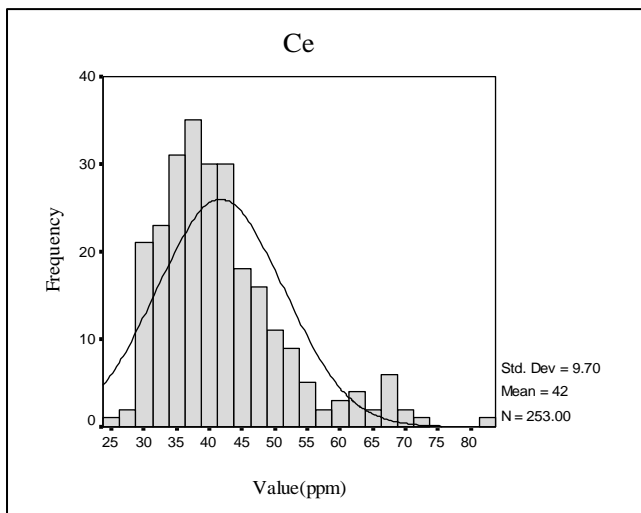
منظور از داده‌های خام، داده‌های اولیه‌ای هستند که هیچ‌گونه پردازشی بر روی آنها صورت نگرفته است. در پردازش‌های آماری داده‌ها، قدم اول شناخت ماهیت تابع توزیع و خصلت‌های آماری مربوط به آنها می‌باشد. چرا که پردازش بر روی داده‌هایی که خصلت ناشناخته دارند، با دید بسته‌ای صورت می‌گیرد و احتمال بروز خطأ در آن بسیار بالا می‌رود. به طور کلی ۴۴ عنصر جهت پردازش مشخص گردیدند. جهت بررسی داده‌های خام ابتدا اقدام به محاسبه پارامترهای آماری مهم نظیر میانگین،

فصل ششم.....کنترل صحرایی..
میانه، انحراف معیار، واریانس، چولگی، کشیدگی، مینیمم مقدار و ماکزیمم مقدار مربوط به هر عنصر به همراه ترسیم هیستوگرام مربوط به آنها گردید که در اشکال (۳-۴) تا (۱۳-۱۴) آمده است.

شکل(۴-۱۲): پارامترهای آماری و هیستوگرام عناصر Ce,K,La,Nb

Statistics

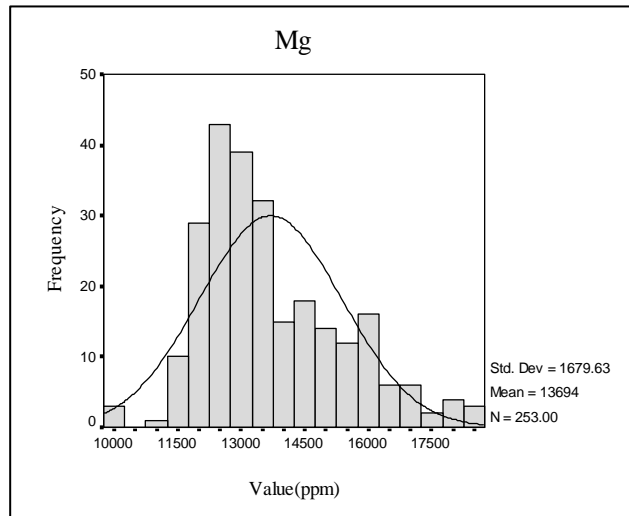
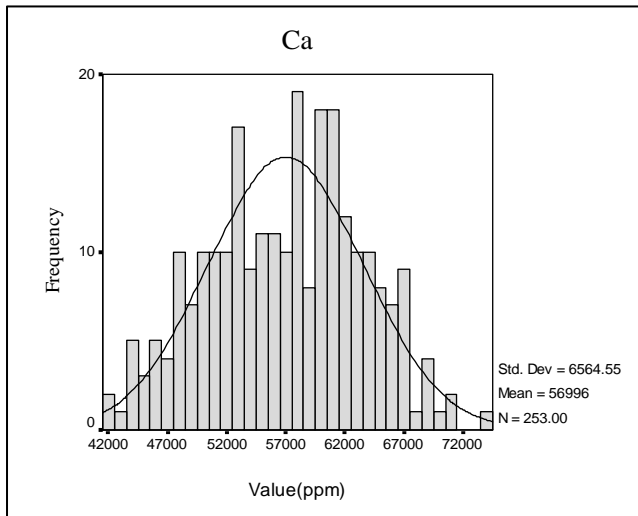
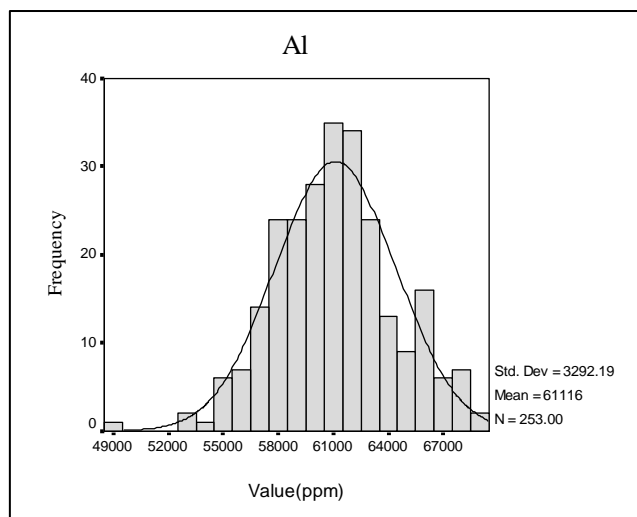
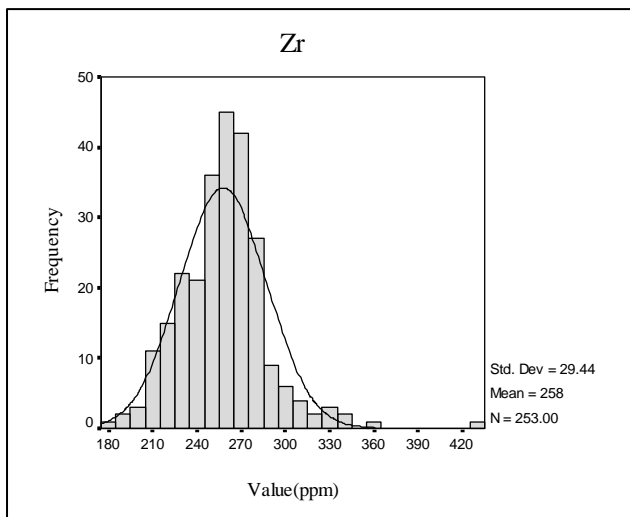
		Ce	K	La	Nb
N	Valid	253	253	253	253
	Missing	0	0	0	0
Mean		41.692	16138.643	49.014	15.378
Median		39.616	16084.760	44.301	15.279
Std. Deviation		9.695	1933.969	18.748	1.895
Skewness		1.289	.011	.283	.514
Std. Error of Skewness		.153	.153	.153	.153
Kurtosis		1.888	-.485	-1.291	.892
Std. Error of Kurtosis		.305	.305	.305	.305
Minimum		25.465	11320.530	14.239	10.960
Maximum		83.177	20817.850	91.017	23.698



شکل(۴-۱۱): پارامترهای آماری و هیستوگرام عناصر Zr, Al, Ca, Mg

Statistics

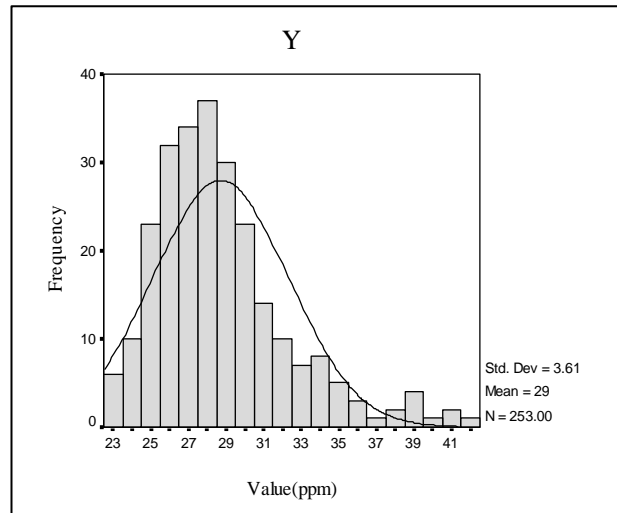
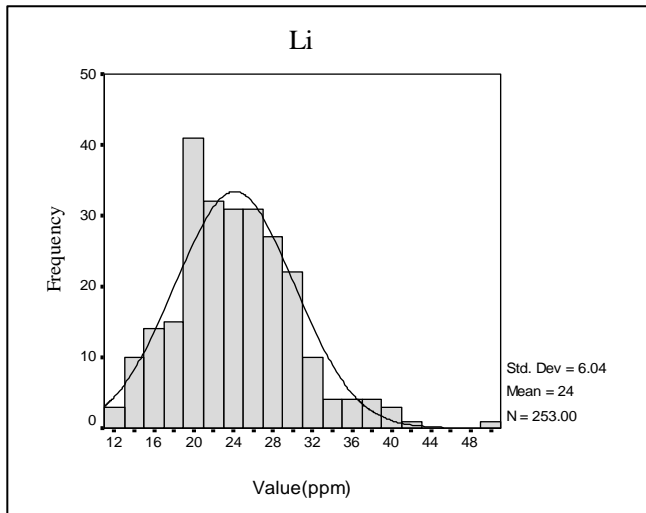
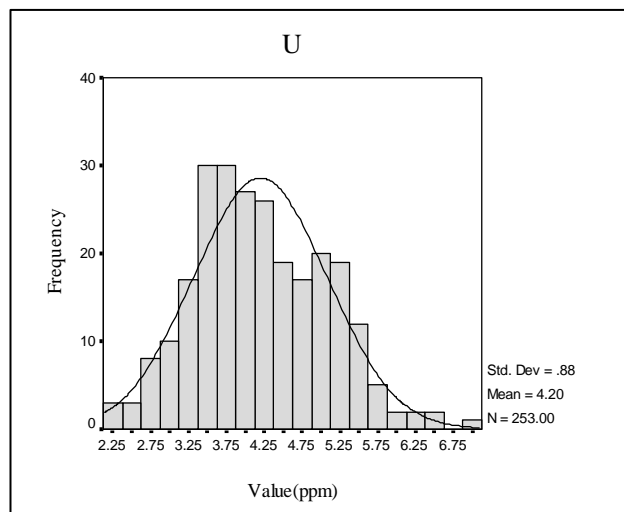
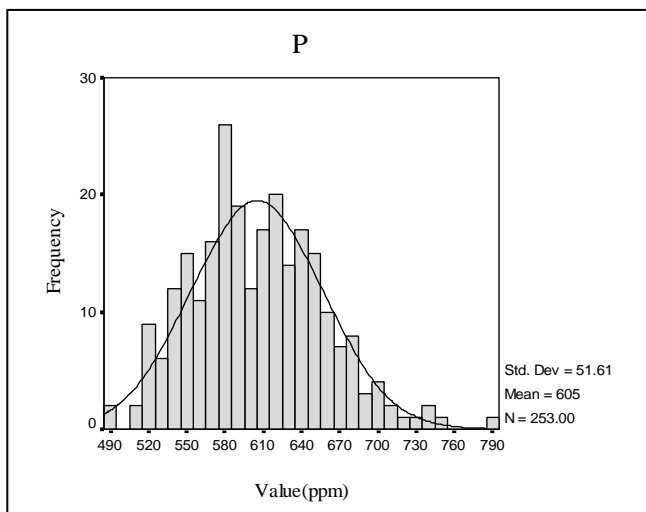
		Zr	Al	Ca	Mg
N	Valid	253	253	253	253
	Missing	0	0	0	0
Mean		257.746	61116.045	56996.066	13693.932
Median		258.799	60949.359	57551.410	13280.957
Std. Deviation		29.437	3292.191	6564.553	1679.632
Skewness		.955	-.035	-.091	.798
Std. Error of Skewness		.153	.153	.153	.153
Kurtosis		4.408	.207	-.642	.300
Std. Error of Kurtosis		.305	.305	.305	.305
Minimum		179.878	48859.004	41744.328	9781.331
Maximum		426.447	68594.461	74082.281	18665.340



شکل (۴-۱۰): یارامترهای آماری و هیستوگرام عناصر P, U, Li, Y

Statistics

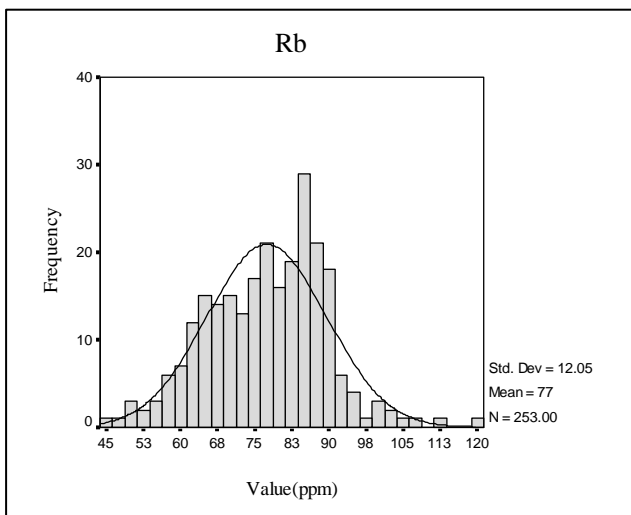
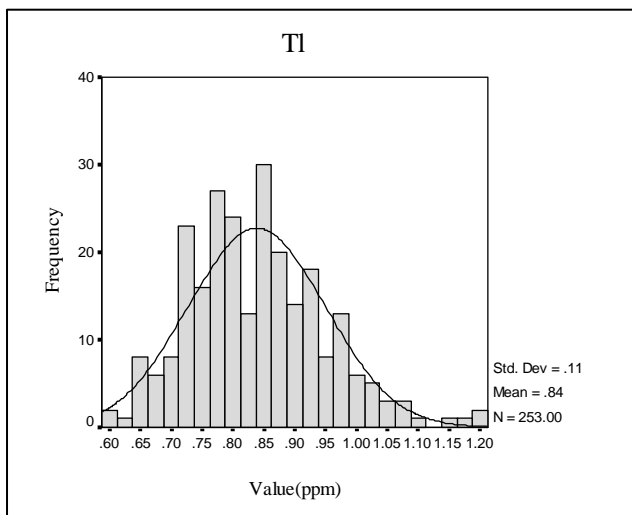
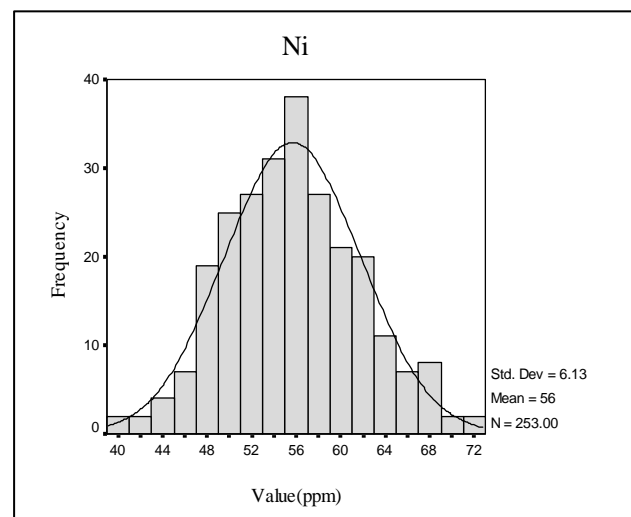
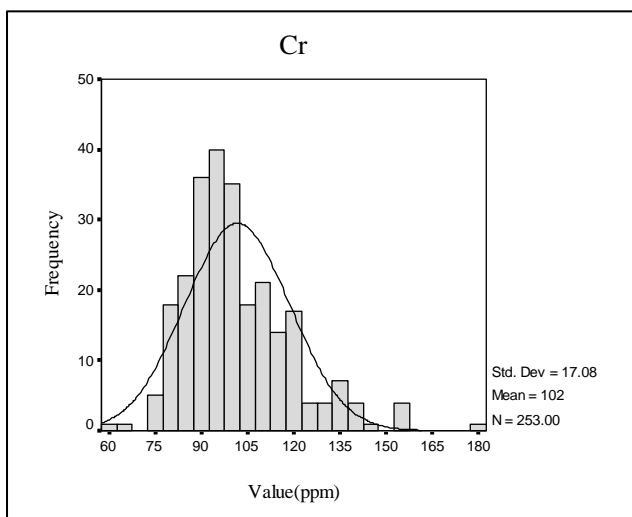
		P	U	Li	Y
N	Valid	253	253	253	253
	Missing	0	0	0	0
Mean		605.062	4.200	24.158	28.714
Median		599.510	4.107	23.546	27.828
Std. Deviation		51.6120	.882	6.037	3.605
Skewness		.385	.310	.636	1.237
Std. Error of Skewness		.153	.153	.153	.153
Kurtosis		.097	-.221	1.089	1.767
Std. Error of Kurtosis		.305	.305	.305	.305
Minimum		488.8	2.161	11.043	22.728
Maximum		786.4	6.875	50.395	41.728



شکل (۴-۹): پارامترهای آماری و هیستوگرام عناصر Cr,Ni,Tl,Rb

Statistics

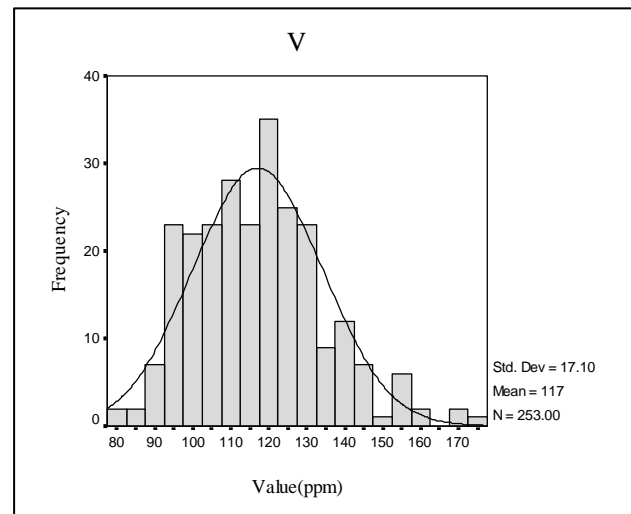
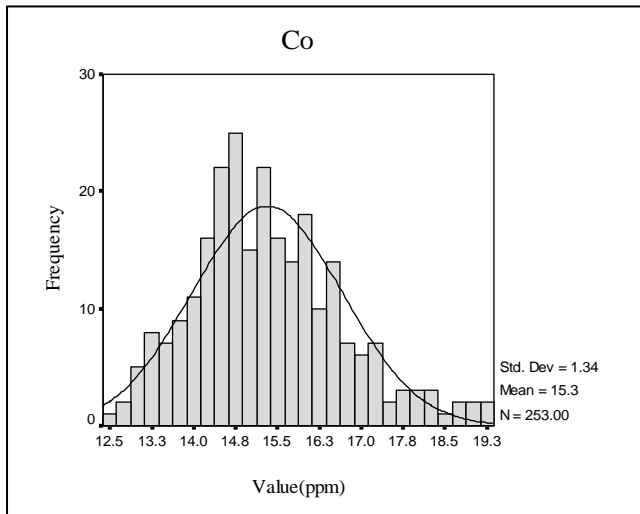
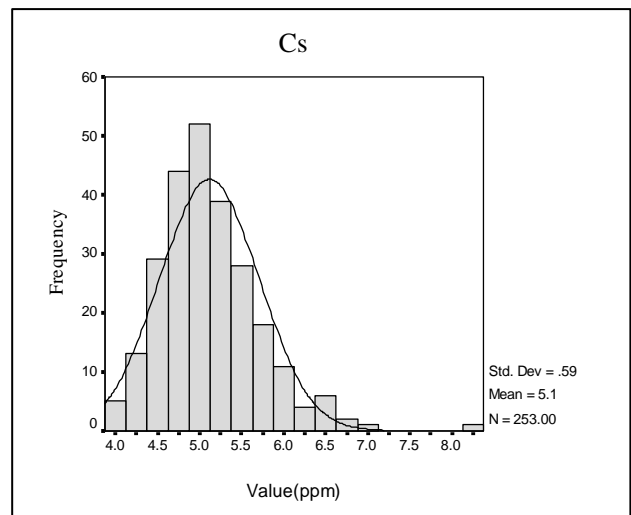
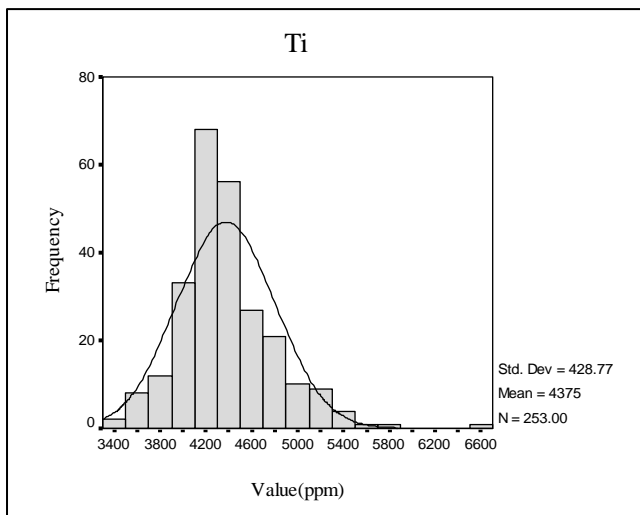
		Cr	Ni	Tl	Rb
N	Valid	253	253	253	253
	Missing	0	0	0	0
Mean		101.638	55.670	.838	77.414
Median		98.374	55.512	.831	78.269
Std. Deviation		17.085	6.128	.111	12.054
Skewness		1.116	.206	.547	-.003
Std. Error of Skewness		.153	.153	.153	.153
Kurtosis		2.158	.016	.462	.197
Std. Error of Kurtosis		.305	.305	.305	.305
Minimum		61.347	39.515	.592	46.213
Maximum		180.444	72.739	1.211	118.890



شکل (۴-۸): پارامترهای آماری و هیستوگرام عناصر V, Co, Cs, Ti

Statistics

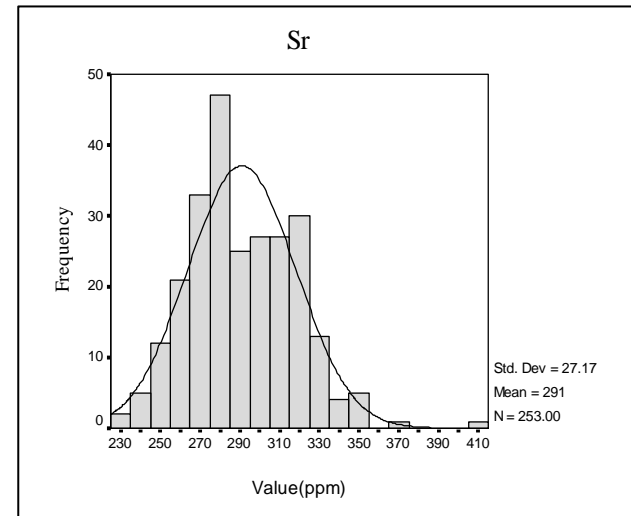
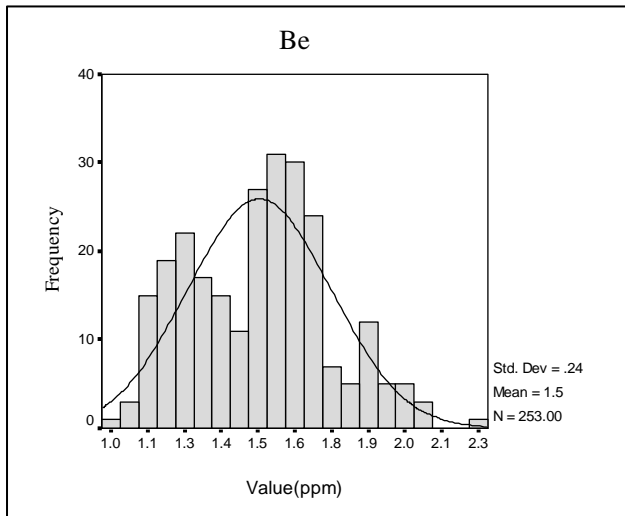
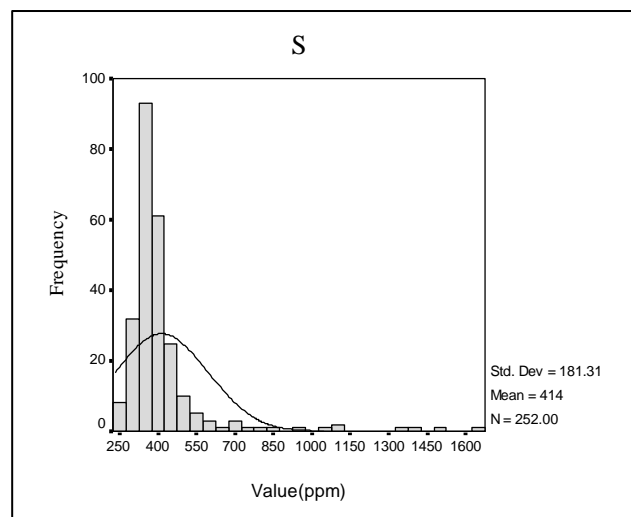
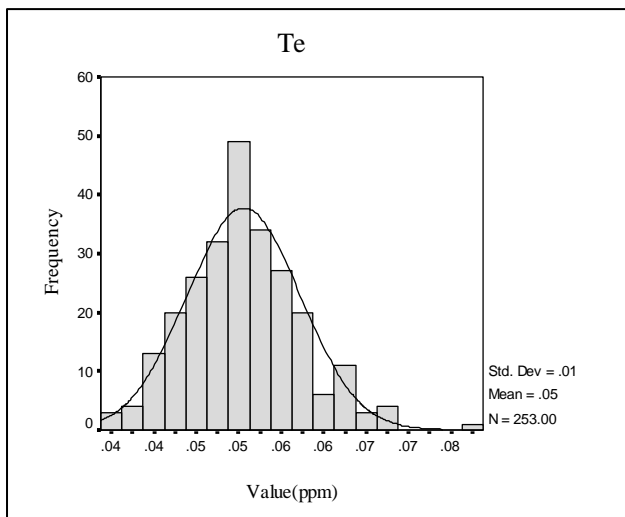
		Ti	Cs	Co	V
N	Valid	253	253	253	253
	Missing	0	0	0	0
Mean		4374.987	5.116	15.316	117.084
Median		4308.570	5.029	15.166	116.435
Std. Deviation		428.766	.591	1.343	17.104
Skewness		1.053	1.100	.535	.534
Std. Error of Skewness		.153	.153	.153	.153
Kurtosis		3.292	3.125	.185	.222
Std. Error of Kurtosis		.305	.305	.305	.305
Minimum		3336.099	3.964	12.483	80.421
Maximum		6656.331	8.288	19.249	172.953



شکل (۴-۷): پارامترهای آماری و هیستوگرام عناصر Te, S, Be, Sr

Statistics

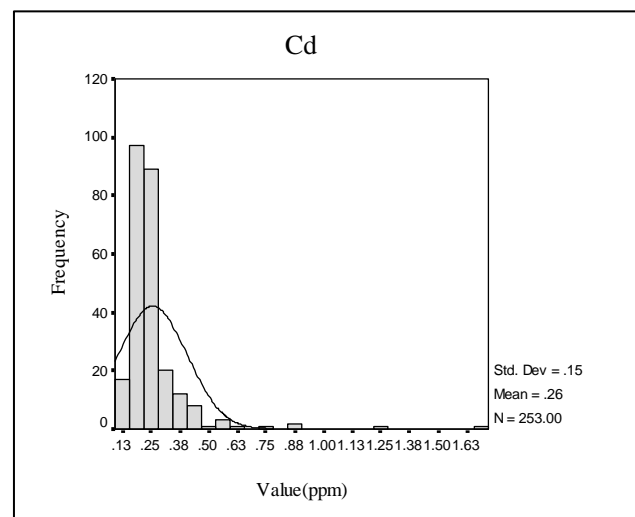
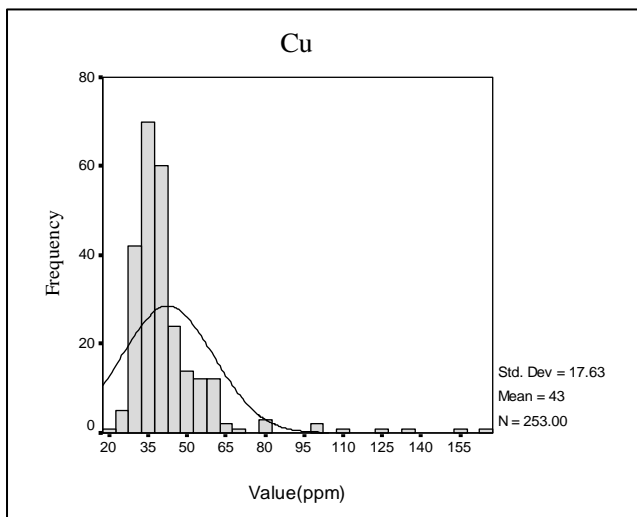
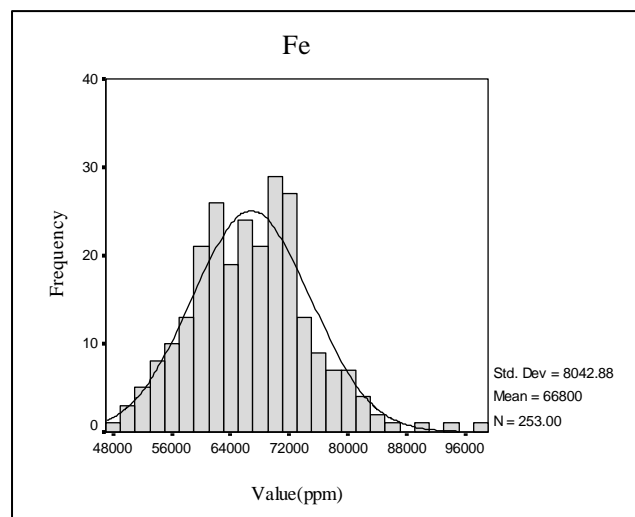
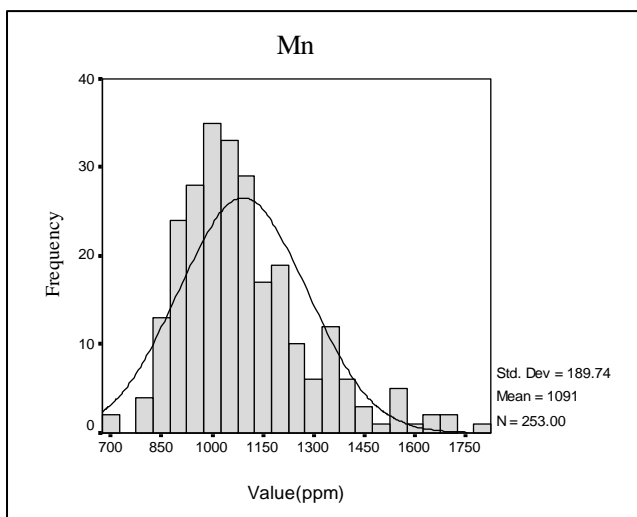
		Te	S	Be	Sr
N	Valid	253	252	253	253
	Missing	0	1	0	0
Mean		.053	414.144	1.505	290.997
Median		.053	371.134	1.524	286.699
Std. Deviation		.007	181.306	.243	27.171
Skewness		.457	4.206	.217	.453
Std. Error of Skewness		.153	.153	.153	.153
Kurtosis		.761	20.817	-.417	.757
Std. Error of Kurtosis		.305	.306	.305	.305
Minimum		.037	254.952	.985	229.223
Maximum		.080	1664.587	2.265	413.083



شکل(۴-۶): پارامترهای آماری و هیستوگرام عناصر Mn,Fe,Cu,Cd

Statistics

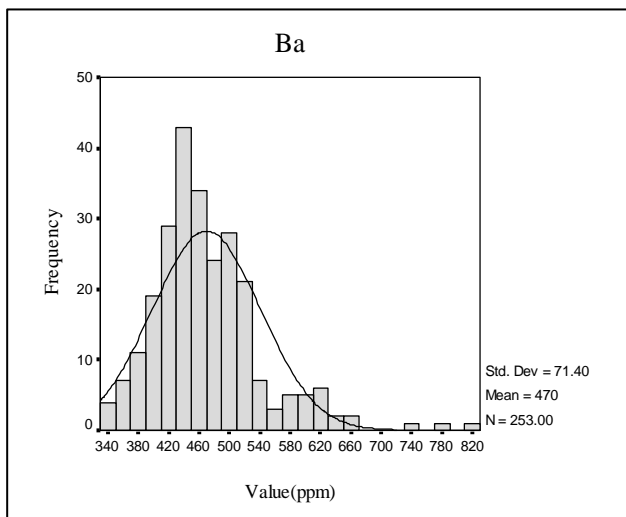
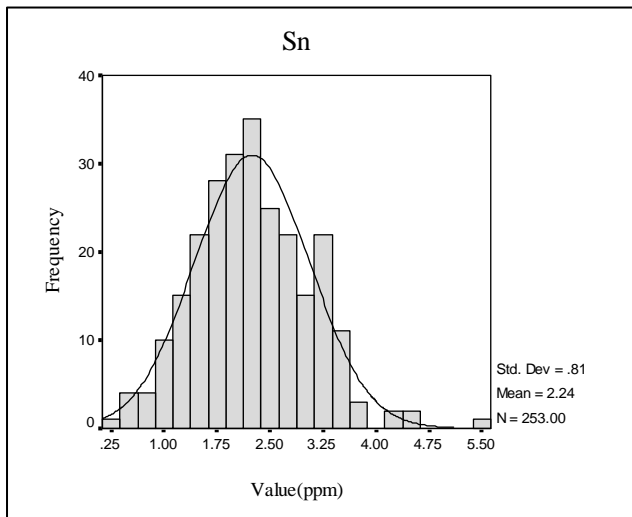
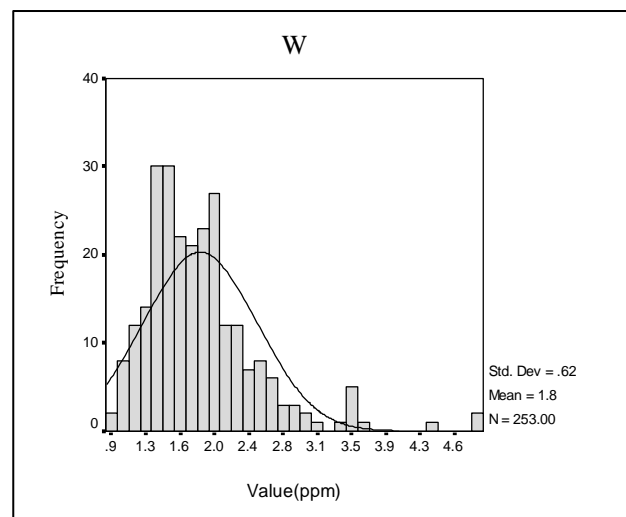
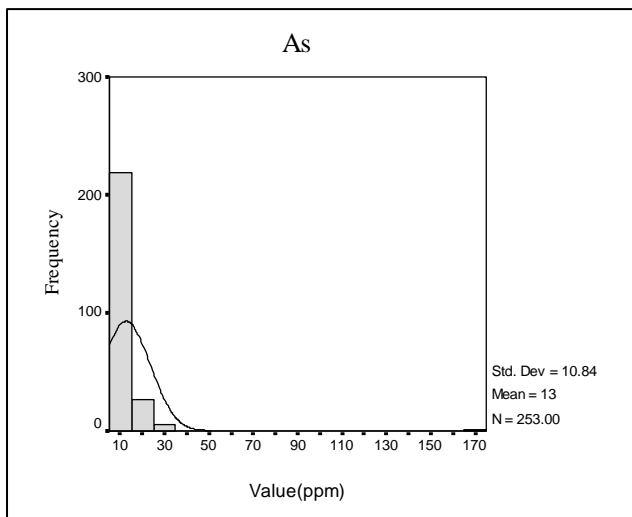
		Mn	Fe	Cu	Cd
N	Valid	253	253	253	253
	Missing	0	0	0	0
Mean		1091.451	66799.669	42.549	.257
Median		1056.214	66782.344	38.198	.226
Std. Deviation		189.740	8042.881	17.631	.150
Skewness		1.028	.434	3.892	5.462
Std. Error of Skewness		.153	.153	.153	.153
Kurtosis		1.147	.793	19.566	41.234
Std. Error of Kurtosis		.305	.305	.305	.305
Minimum		710.638	47793.090	19.923	.102
Maximum		1795.283	97799.961	162.872	1.674



شکل (۴-۵): پارامترهای آماری و هیستوگرام عناصر As,W,Sn,Ba

Statistics

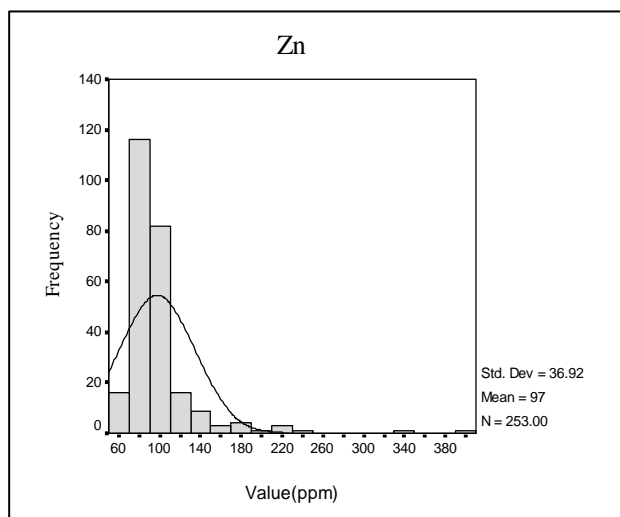
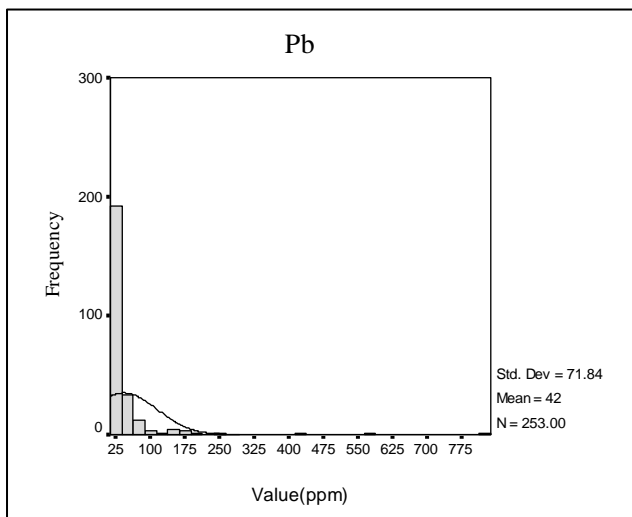
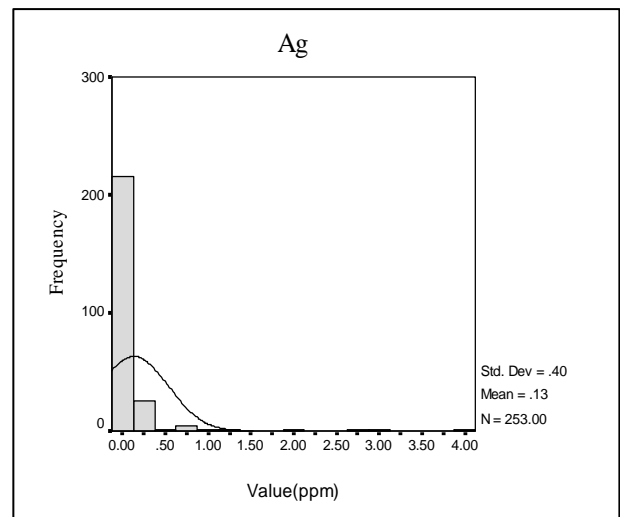
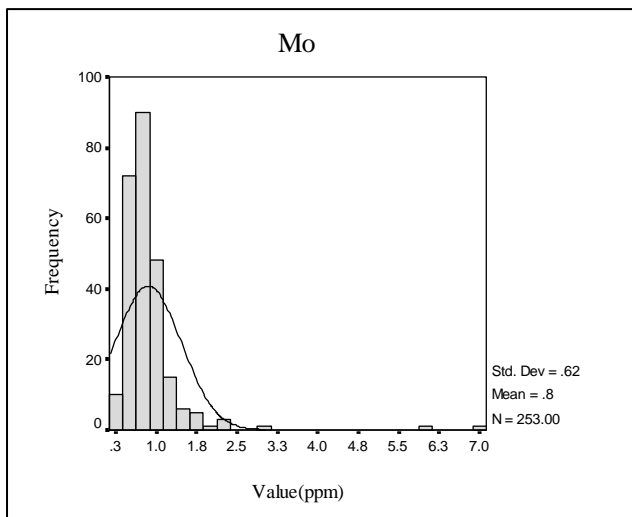
		As	W	Sn	Ba
N	Valid	253	253	253	253
	Missing	0	0	0	0
Mean		12.634	1.844	2.245	469.773
Median		10.767	1.730	2.193	461.056
Std. Deviation		10.836	.620	.813	71.396
Skewness		13.083	1.714	.346	1.427
Std. Error of Skewness		.153	.153	.153	.153
Kurtosis		192.577	4.887	.431	4.057
Std. Error of Kurtosis		.305	.305	.305	.305
Minimum		7.372	.897	.349	341.345
Maximum		173.109	4.858	5.433	829.505



شکل (۴-۴): پارامترهای آماری و هیستوگرام عناصر Mo,Ag,Pb,Zn

Statistics

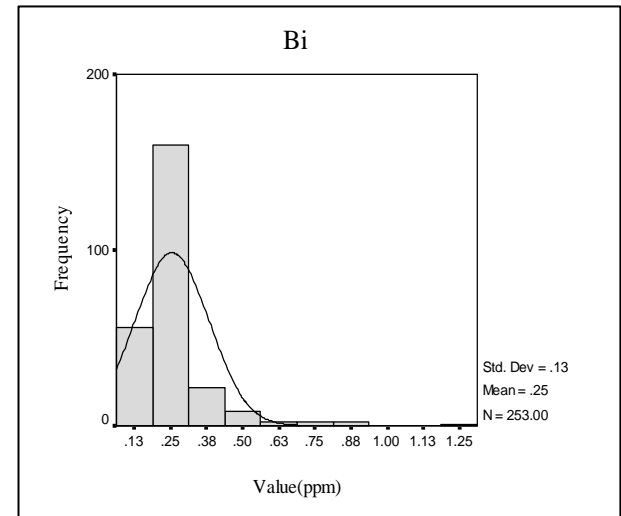
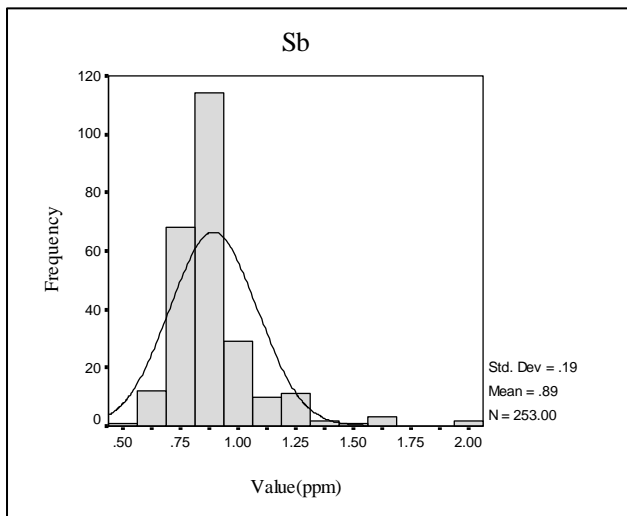
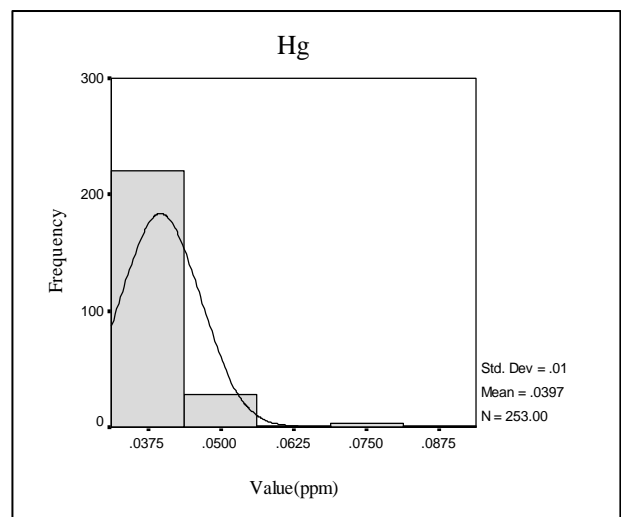
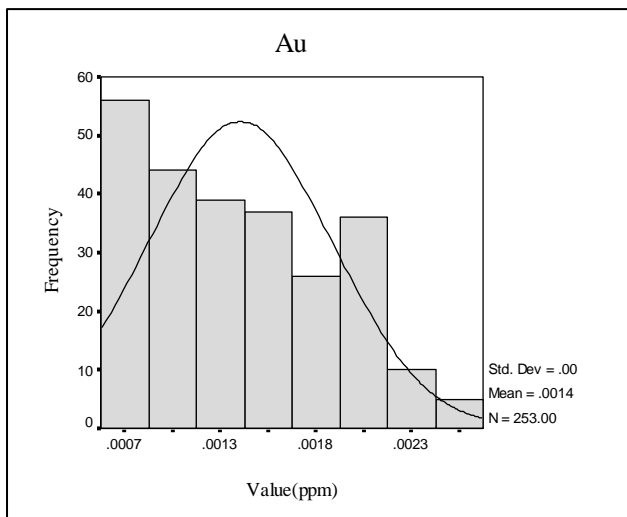
		Mo	Ag	Pb	Zn
N	Valid	253	253	253	253
	Missing	0	0	0	0
Mean		.848	.132	42.241	97.364
Median		.727	.038	24.180	89.230
Std. Deviation		.617	.398	71.836	36.922
Skewness		6.335	7.120	7.515	4.307
Std. Error of Skewness		.153	.153	.153	.153
Kurtosis		54.141	56.302	68.024	26.437
Std. Error of Kurtosis		.305	.305	.305	.305
Minimum		.299	.011	12.700	62.649
Maximum		6.888	3.990	816.517	399.557



شکل (۴-۳): پارامترهای آماری و هیستوگرام عناصر *Au, Hg, Sb, Bi*

Statistics

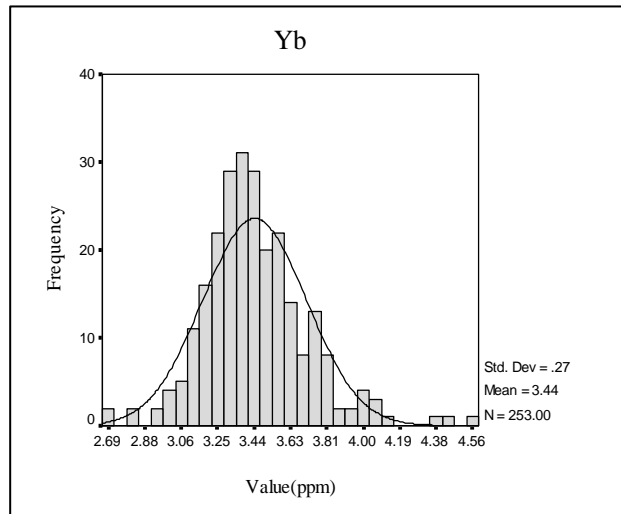
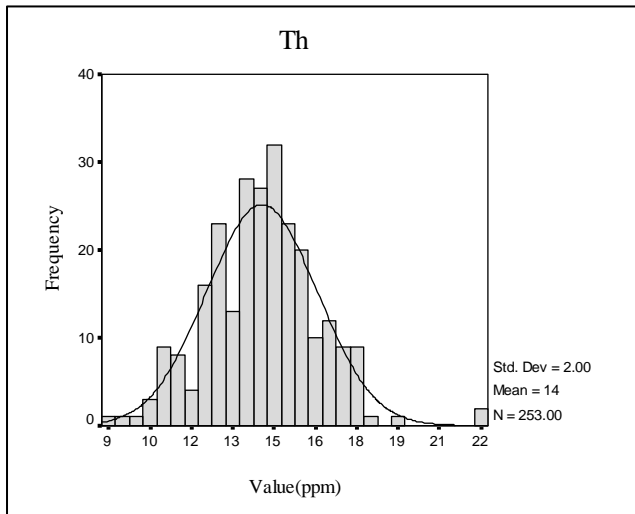
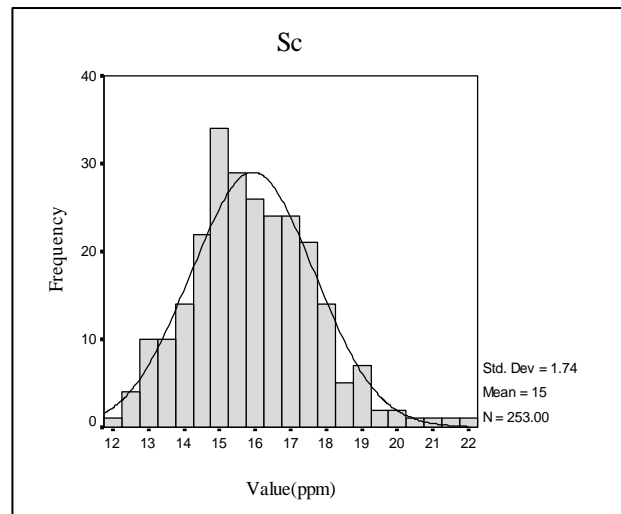
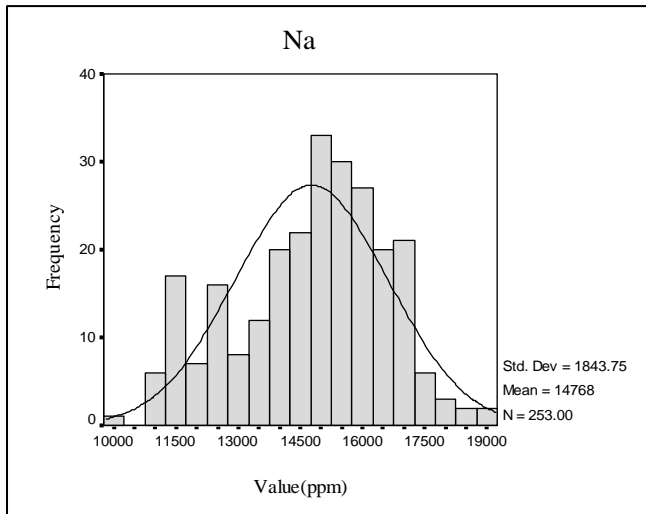
		Au	Hg	Sb	Bi
N	Valid	253	253	253	253
	Missing	0	0	0	0
Mean		.001355	.039684	.8929	.2546
Median		.001300	.037500	.8600	.2300
Std. Deviation		.0004813	.0068573	.18934	.12793
Skewness		.379	4.476	2.623	3.837
Kurtosis		-.914	24.216	10.586	22.326
Minimum		.0008	.0375	.53	.10
Maximum		.0025	.0900	2.00	1.30



شکل (۴-۱۳): پارامترهای آماری و هیستوگرام عناصر *Na, Sc, Th, Yb*

Statistics

		Na	Sc	Th	Yb
N	Valid	253	253	253	253
	Missing	0	0	0	0
Mean		14768.439	15.436	14.059	3.440
Median		15016.894	15.288	14.052	3.412
Std. Deviation		1843.748	1.736	2.004	.267
Skewness		-.356	.454	.300	.745
Std. Error of Skewness		.153	.153	.153	.153
Kurtosis		-.460	.508	1.218	2.226
Std. Error of Kurtosis		.305	.305	.305	.305
Minimum		9776.747	11.550	8.581	2.706
Maximum		19097.232	21.435	22.139	4.556



فصل ششم.....کنترل صحرایی..

نکات مورد توجه در بررسی داده‌های خام به شرح زیر می‌باشد.

- عناصری مانند Hg,Sb,Bi,Mo,Ag,Pb,Zn,As,Cu,Cd,S

شدیداً غیر نرمال می‌باشند.

- عناصری مانند Au,Sn,Fe,Te,Be,Sr,Co,V,Na,Ni,Tl,Rb,P,U,Al,Ca,K,La,Nb,Sc,Th

تابع نرمال فاصله چندانی ندارند.

- بقیه عناصر غیر نرمال می‌باشند.

به طور کلی حالت چند جامعه‌ای که موجب لاغ نرمال شدن توابع می‌گردد یا به دلیل وجود مقادیر

زمینه و آنومالی است (که برای ما حائز اهمیت می‌باشد) و یا به دلیل وجود اثر لیتوژوژی مختلف

می‌باشد که سبب ایجاد این ناهمگنی می‌گردد.

۴-۷-بررسی مقادیر خارج از ردیف:

هنگام بررسی داده‌ها به مقادیری برمی‌خوریم که در کرانه‌های بالا و پائین جامعه داده‌ها قرار دارند و

از جامعه اصلی جدا افتاده‌اند. قبل از انجام هر کاری روی داده‌های شاخص غنی‌شدگی اقدام به

بررسی این مقادیر گردید تا ماهیت و اعتبار آنها شناسایی شود و تصمیم درستی در قبال آنها اتخاذ

گردد.

مقادیر خارج از ردیف به سه حالت مختلف ممکن است به وجود آیند:

حالت اول: ممکن است از یک خطای سیستماتیک به هنگام نمونه‌برداری، آماده‌سازی یا تجزیه

شیمیایی نمونه‌ها ناشی شده باشد که باید از مرحله پردازش داده‌ها حذف یا اصلاح شود.

حالت دوم: مشاهداتی که به صورت یک پدیده فوق العاده، نمود پیدا می‌کند که پس از بررسی اعتبار

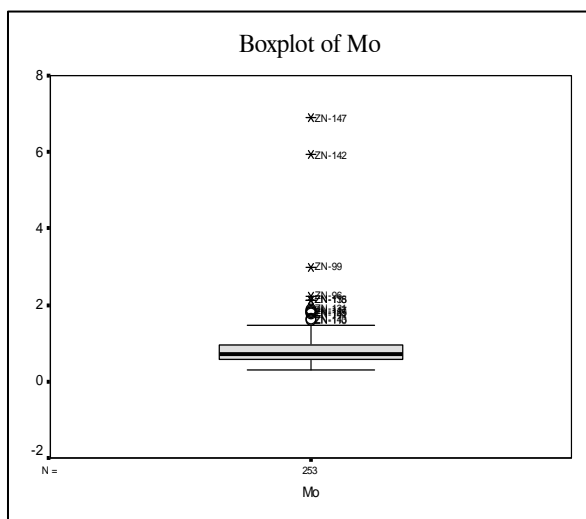
آنها در مورد حفظ یا حذف آن باید تصمیم گرفت.

حالت سوم: مشاهدات فوق العاده‌ای که هیچگونه توضیح مناسبی برای آنها وجود ندارد و کارشناس

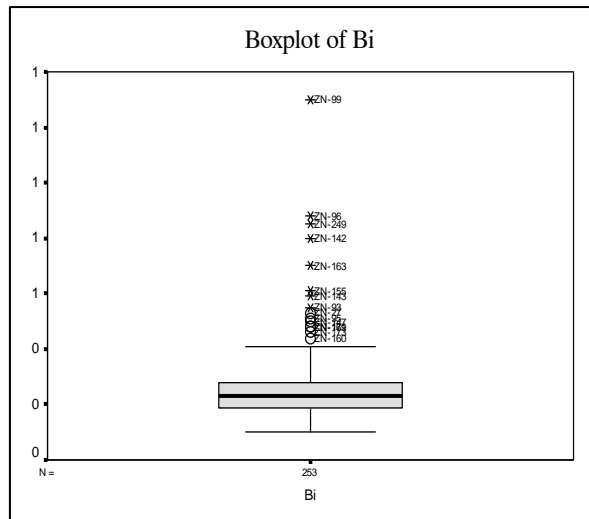
اگر احساس کند که آنها به عنوان گوشه‌ای از جامعه مورد بررسی هستند می‌تواند آنها را حفظ کند.

در این تحقیق جهت نمایش و مشخص شدن این مقادیر، از نمودارهای جعبه‌ای زیر استفاده گردید.

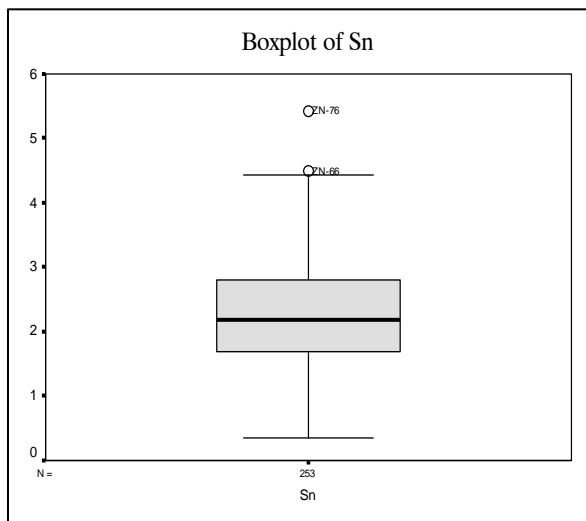
فصل ششم.....کنترل صحرایی..



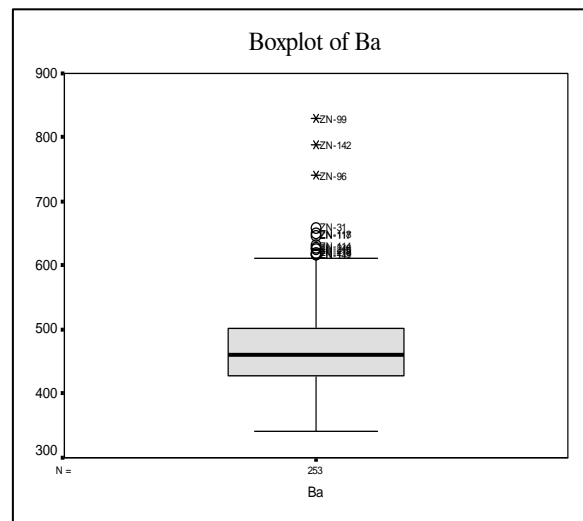
شکل (۱۵-۴): نمودار جعبه‌ای عنصر مولیبден



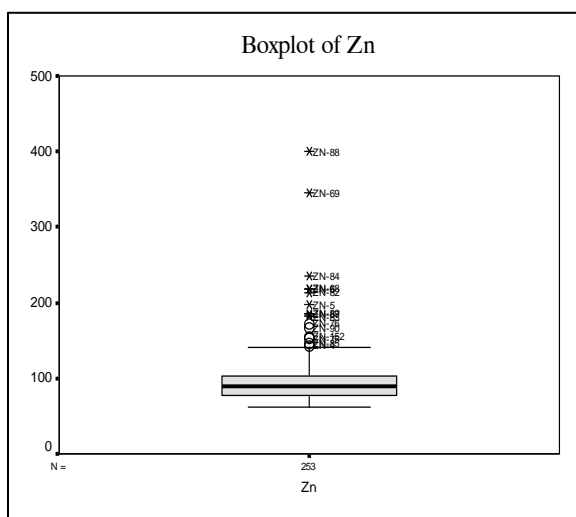
شکل (۱۴-۴) : نمودار جعبه‌ای عنصر بیسموت



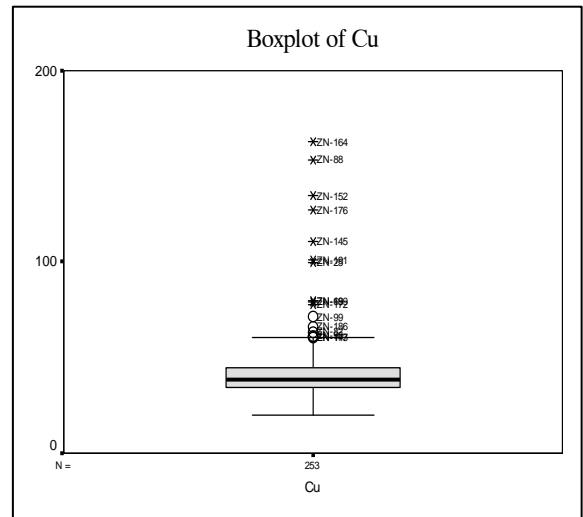
شکل (۱۷-۴): نمودار جعبه‌ای عنصر قلع



شکل (۱۶-۴): نمودار جعبه‌ای عنصر باریم



شکل (۱۹-۴): نمودار جعبه‌ای عنصر روی



شکل (۱۸-۴): نمودار جعبه‌ای عنصر مس

فصل ششم.....کنترل صحرایی..

شایان ذکر است از ۴۴ عنصر، ۶ عنصر دارای مقادیر خارج از رده بوده که در جدول (۳-۴)

نمایش شده است.

عنصر	نمونه‌های خارج از ردیف
Mo	۱۴۲، ۱۴۷
Bi	۹۹
Sn	۶۶، ۷۶
Ba	۹۶، ۹۹، ۱۴۲
Zn	۶۹، ۸۸
Cu	۸۸، ۱۶۴

جدول (۴-۴): نمونه‌های خارج از ردیف

۴-۸- پردازش آماری داده‌ها

از جمله این مراحل اصلی می‌توان از نرمال‌سازی داده‌ها، محاسبه ضریب همبستگی عناصر به روش پیرسن، بررسی‌های آماری چند متغیره مانند تحلیل فاکتوری و تحلیل خوشه‌ای، جداسازی جامعه آنومالی از زمینه، تخمین شبکه‌ای و تشریح آنومالی‌های حاصل از روش ژئوشیمیابی آبراهه‌ای نام برد.

۹-۴- نرمال‌سازی داده‌ها

بسیاری از بررسی‌های آماری فرض نرمال‌بودن داده‌ها را یدک می‌کشند و حضور یک توزیع غیر نرمال انجام پردازش‌های آماری را با اشکال مواجه می‌کند و نتایج درست و قابل قبولی را به دست

فصل ششم.....کنترل صحرایی..

نمی دهد. معیارهای متفاوتی برای تعیین نرمال بودن یکسری داده وجود دارد. از جمله می توان به

موارد زیر اشاره کرد:

۱- تابع نرمال دارای چولگی صفر و کشیدگی ۳ می باشد.

۲- هیستوگرام مربوط به یک توزیع نرمال شکل متقارن دارد.

۳- در نمودار توزیع تجمعی داده های بین فراوانی ۱۶ تا ۸۴٪ در یک خط راست قرار دارند.

همچنین آزمون های مختلفی برای تشخیص نرمال بودن یک تابع وجود دارد که شرح آن ضرورت ندارد.

از جمله روش های آماری که در این پژوهه فرض نرمال بودن داده ها را لازم دارد، عبارتنداز:

- ترسیم نقشه های متغیرهای ژئوشیمیایی (تک متغیره)

- تعیین ضریب همبستگی به روش پیرسن^۱ (دو متغیره)

- تحلیل فاکتوری (چند متغیره)

در اینجا برای نرمال کردن داده ها از روش لگاریتمی سه پارامتری استفاده گردید. این تبدیل به صورت مقابل تعریف می شود.

در عمل برای ساده کردن تبدیل مقدار x را برابر واحد می گیرند. به این ترتیب یک مقدار معین θ را به مقدار داده ها (a) اضافه کرده و از آن لگاریتم می گیریم. مقدار θ هم با روش های ریاضی قابل محاسبه است و هم با روش سعی و خطا به دست می آید. وقتی چولگی داده ها مثبت باشد، θ را از مقدار داده ها کم کرده و وقتی چولگی داده ها منفی باشد، مقدار θ اضافه کرده و سپس آن را نرمال می کنیم.

پس از نرمال کردن داده های شاخص غنی شدگی، هیستوگرام آنها تا حدود زیادی متقارن شده، چولگی و کشیدگی آنها نیز به یک تابع نرمال نزدیک تر شدند.

¹Pearson

۴- محاسبه ضریب همبستگی عناصر

تعیین ضریب همبستگی از روش‌های آنالیز دو متغیره است که جهت بررسی نزدیکی و ارتباط دو متغیر به کار می‌رود. در بررسی‌های ژئوشیمیایی بعضی عناصر نسبت به یکسری از شرایط محیطی رفتار مشابهی دارند و می‌توان آن را در علت‌های خاص جستجو کرد. بنابراین شناخت ارتباط متقابل بین عناصر می‌تواند در درک این شرایط کمک شایانی بنماید و تفسیر دقیق‌تری را از محیط‌های ژئوشیمیایی در اختیار ما قرار دهد. به ویژه عنوان ابزار قدرتمندی جهت درک بهتر کانه‌زایی منطقه و حتی در معرفی مناطق نهایی می‌توان بهره جست.

اصل‌اً تعیین ضرایب همبستگی دو هدف عمده را تعقیب می‌کند:

۱- کشف همبستگی بین عناصر

۲- تخمین مقدار یک متغیر از روی یک یا چند متغیر دیگر

جهت تعیین ضریب همبستگی از روش پیرسن استفاده گردید. در روش پیرسن از داده‌های نرمال استفاده گردید زیرا که این محاسبه به تابع توزیع حساس می‌باشد.

مقادیر ضرایب همبستگی پیرسون بصورت ماتریس ضرایب همبستگی در جدول (۴-۵) آورده شده است.

جدول (٤-٥): ضریب همبستگی پیر مسون

فصل ششم.....کنترل صحرایی..

همانطوریکه مشاهده می‌شود طلا با هیچ عنصری همبستگی نشان نمی‌دهد. در جدول (۹-۴)

همبستگی‌های بالای بین عناصر معدنی نشان داده شده است.

جدول (۶-۴): عناصر با ضریب همبستگی بالا

عناصر پارازیت	روش پیرسن
Mo-Bi	0.63
Pb-Ag	0.57
Pb-Zn	0.60
Zn-As	0.56
Zn-Mn	0.56
Zn-Cd	0.54
As-Sb	0.55
Be-Mo	0.64
Be-Bi	0.63
Be-Ba	0.66
Te-Fe	0.61

لازم به ذکر است که عناصر متاثر از لیتوژی نیز در این منطقه همبستگی‌های زیادی نشان می‌دهند که در جدول (۶-۴) مشخص شده‌اند.

۱۱-۴- بررسی آماری چند متغیره

به تجزیه و تحلیل‌های آماری که بر روی بیش از دو متغیر صورت گیرد بررسی‌های چند متغیره می‌گویند. این بررسی‌ها در واقع بسط و توسعه بررسی‌هایی تک متغیره و دو متغیره می‌باشد.

در مسائل اکتشافی با فضای چندمتغیره (در این پژوهه ۴۴ متغیره) روبرو هستیم که بررسی همزمان متغیرها و تعیین ارتباط بین آنها را دشوار می‌کند. تجربه نشان داده است چنانچه ترکیبی از متغیرها به جای یک متغیر به کار گرفته شود و از نتایج ترکیبی آنها استفاده شود امکان تشخیص روابط پارازیتی عناصر با یکدیگر و تشخیص هاله‌های مرکب به مراتب افزایش یافته، همچنین اثرات خطای تصادفی در بکارگیری ترکیبی متغیرها نسبتاً کاهش می‌یابد. از دیگر مزایای استفاده از روش‌های چند متغیره کاهش تعداد متغیرها در مباحث داده‌پردازی و کاستن از حجم داده‌ها و تفسیر

فصل ششم.....کنترل صحرایی..
راحت‌تر آنها می‌باشد. با این روش امکان مقایسه متغیرها و کسب نتایج، آسانتر می‌باشد. در این تحقیق تجزیه و تحلیل عاملی استفاده گردید.

۱۰-۴- آنالیز خوشه‌ای^۲ و تفسیر آن

چون هر گروه معین از عناصر نسبت به یکسری از شرایط محیطی، رفتار مشابهی نشان می‌دهند، شناخت ارتباط و همبستگی ژنتیکی متقابل بین عناصر مختلف می‌تواند در شناخت دقیق‌تر تغییرات موجود در محیط‌های ژئوشیمیایی بکار گرفته شود. ضمناً تجمع ژنتیکی بعضی از عناصر ممکن است بعنوان راهنمای مستقیم در تفسیر نوع نهشته‌ای که احتمالاً در ناحیه وجود دارد بکار‌رود. آنالیز خوشه‌ای یک روش آماری چند متغیره است که عناصر را بر اساس شباهت تغییرپذیری آنها در قالب دسته‌ها یا گروه‌های طبقه‌بندی می‌کند. به‌این‌ترتیب آنالیز خوشه‌ای در پیدا کردن گروه‌های واقعی کمک شایان توجهی می‌کند و از تراکم داده‌ها می‌کاهد. آنالیز خوشه‌ای مربوط به داده‌های ژئوشیمیایی در شکل (۴-۲۰) آمده است. برای انجام آن از داده‌های نرمال استفاده گردید. بر اساس این نمودار متغیرها در چهار گروه اصلی با درجه همبستگی نسبتاً خوب قرار می‌گیرند که عبارتنداز:

گروه اول: شامل عناصر ایتریم، سریم، بریلیم، بیسموت، مولیبدن، روبيدیم، پتاسیم و تنگستن

گروه دوم: شامل عناصر (لیتیم، سدیم، قلع)، (آنتمیوان، آرسنیک، سرب، روی، کادمیوم، نقره، مس، اورانیوم)

گروه سوم: شامل عناصر (آهن، وانادیوم، اسکاندیوم، کبالت)، (تالیم، نیوبیم، ایتریم، سزیم، تالیم، توریم، تلور)

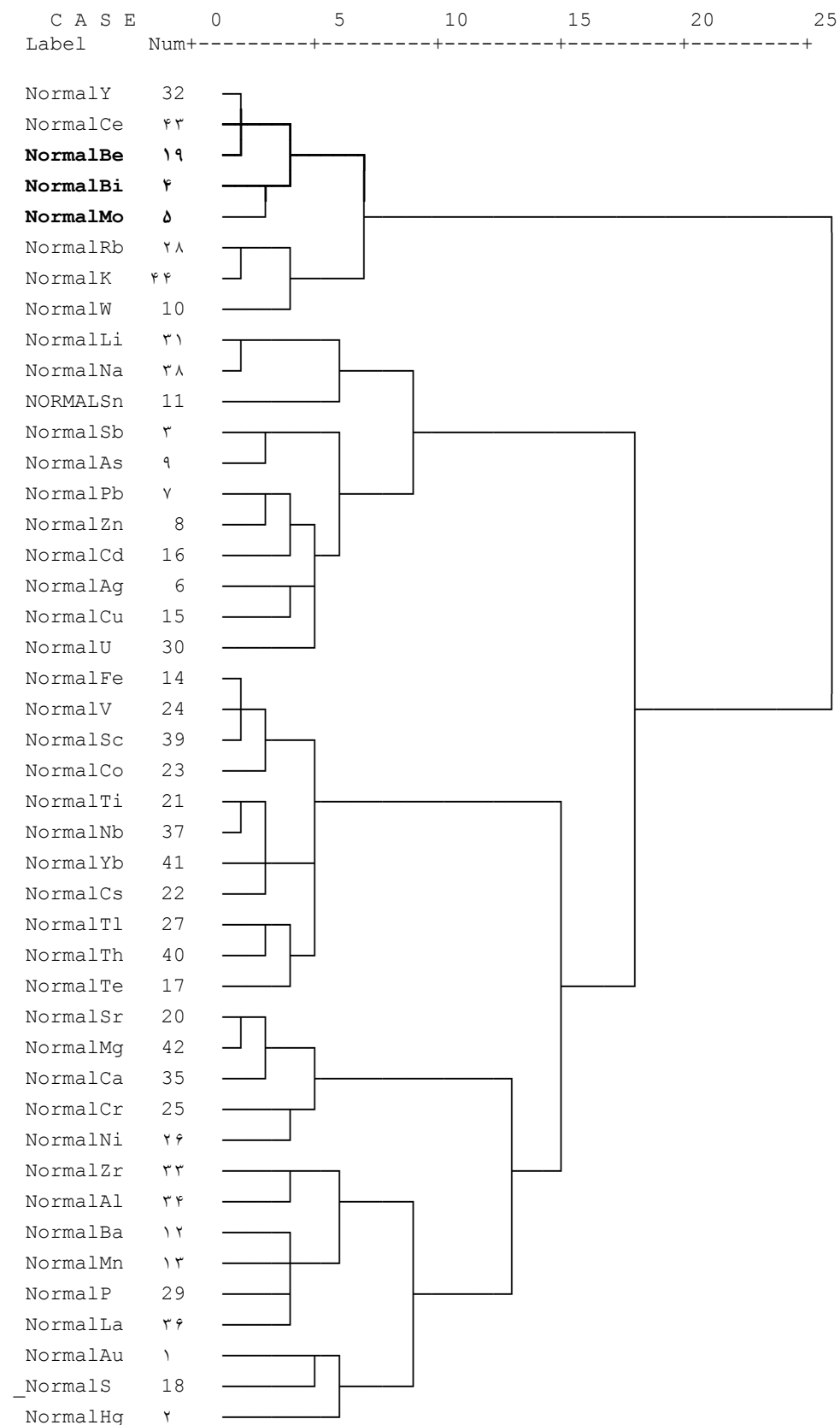
گروه چهارم: شامل عناصر (استرانسیوم، منیزیم، کلسیم، کروم، نیکل)، (زیرکونیم، آلومینیوم، باریم، منگنز، فسفر، لانتانیم)

فصل ششم

کنترل صحرایی ..

شکل (۲۰-۴) : نتایج حاصل از آنالیز خوش‌های

Dendrogram using Ward Method



۴-۲- تجزیه و تحلیل عاملی^۳ (آنالیز فاکتوری)

یکی از مسائل پیچیده و مهم در اکتشافات ژئوشیمیایی بررسی همزمان عناصر مورد مطالعه است.

یکی از روش‌های بسیار قوی در این زمینه تجزیه و تحلیل فاکتوری است. این روش دو مزیت بسیار

بزرگ دارد :

۱- کاهش ابعاد داده‌ها

۲- بیان ارتباط موجود بین عناصر مختلف

به خصوص با تعداد زیاد عناصر مورد بررسی و تعداد زیاد نمونه‌ها نقش تجزیه و تحلیل فاکتوری

بیش از پیش نمایان می‌شود، به طوری که فهم و درک تغییرپذیری داده‌ها را بسیار ساده‌تر می‌کند.

تجزیه و تحلیل فاکتوری بر اساس روش PCA⁴ استوار است. این روش تکنیکی برای پیدا کردن

ترکیب خطی از متغیرهای اولیه همبستراست که تشکیل یک دستگاه محور مختصات جدید بدنهند.

این ترکیبات خطی را مؤلفه‌های اصلی می‌نامند و دارای خواص زیر هستند:

بخش اعظمی از تغییرپذیری توسط تعداد محدودی از متغیرهای جدید قابل توجیه است.

متغیرهای جدید، که محصول ترکیب خطی متغیرهای اولیه هستند، بین خود همبستگی نشان

نمی‌دهند.

قبل از استفاده از روش PCA توجه به دو نکته ضروری است:

اگر متغیرهای اولیه همبسته نباشند (ضریب همبستگی کوچکی داشته باشند)، دلیلی برای کاربرد

این روش وجود ندارد، چرا که نتایج قابل قبولی از آنها به دست نمی‌آید.

تجزیه و تحلیل فاکتوری زمانی صورت می‌گیرد که تعداد متغیرهای اولیه به حد کافی باشد. تجزیه

عاملی شامل، محاسبه ماتریس ضرایب همبستگی بین متغیرها، تعیین متغیرهایی که به نظر

Factor Analysis³
Principal Component Analysis⁴

فصل ششم.....کنترل صحرایی..
 می‌رسد و باستگی ضعیفی با سایر متغیرها دارند (با استخراج عاملها)، تعیین تعداد عاملها و روش محاسبه آنها و بالاخره دوران و اعمال تبدیلاتی خاص بر روی عاملها می‌باشد. در واقع هدف از تجزیه و تحلیل عاملی (فاکتوری) تشخیص اصلی‌ترین متغیرهای کنترل‌کننده (علتی) از متغیرهای با نقش کمتر (فرعی) است. در اینصورت می‌توان با حداقل تعداد متغیرهای فاکتوری، حداقل تغییرپذیری^۵ بین داده‌ها را توجیه کرد و سهم نسبی هریک از متغیرهای فاکتوری را در توجیه تغییرپذیری مشخص نمود.

قبل از انجام آنالیز فاکتوری ابتدا باید میزان اعتبار تجزیه عاملی بر روی مقادیر را بررسی کنیم. برای این منظور از آزمونهای Bartlett و KMO بهره می‌گیریم. هر چه مقدار KMO به یک نزدیکتر باشد دلالت بر تأیید بیشتر تجزیه عاملی دارد. این مقدار برای داده‌های این تحقیق، ۰/۸۱۷ می‌باشد که انجام آنالیز فاکتوری را تأیید می‌کند (جدول ۴-۷).

جدول (۷-۴) : آزمون KMO & Bartlett

Kaiser-Meyer-Olkin Measure of Sampling Adequacy.		.817
Bartlett's Test of Sphericity	Approx. Chi-Square	12259.093
	df	946
	Sig.	.000

جدول (۸-۴) جدول مشارکت‌هاست و نشان‌دهنده برآورد اولیه عاملها و بیانگر میزان مشارکت عناصر در این روش است.

Variance⁵

جدول (۴-۸): جدول مشارکت‌ها

	Initial	Extraction
Normal Au	1	0.29
Normal Hg	1	0.05
Normal Sb	1	0.55
Normal Bi	1	0.69
Normal Mo	1	0.71
Normal Ag	1	0.46
Normal Pb	1	0.65
Normal Zn	1	0.79
Normal As	1	0.58
Normal W	1	0.48
Normal Sn	1	0.40
Normal Ba	1	0.61
Normal Mn	1	0.74
Normal Fe	1	0.92
Normal Cu	1	0.34
Normal Cd	1	0.48
Normal Te	1	0.57
Normal S	1	0.53
Normal Be	1	0.92
Normal Sr	1	0.77
Normal Ti	1	0.89
Normal Cs	1	0.72
Normal Co	1	0.67
Normal V	1	0.93
Normal Cr	1	0.63
Normal Ni	1	0.62
Normal Tl	1	0.75
Normal Rb	1	0.77
Normal P	1	0.51
Normal U	1	0.36
Normal Li	1	0.87
Normal Y	1	0.84
Normal Zr	1	0.54
Normal Al	1	0.84
Normal Ca	1	0.76
Normal La	1	0.81
Normal Nb	1	0.74
Normal Na	1	0.85
Normal Sc	1	0.89
Normal Th	1	0.75
Normal Yb	1	0.72
Normal Mg	1	0.92
Normal Ce	1	0.88
Normal K	1	0.87

Extraction Method: Principal Component Analysis.

فصل ششم.....کنترل صحرایی..

در آنالیز فاکتوری به روش مؤلفه اصلی (PCA)، برآورد ماتریس ضرایب همبستگی به دست می‌آید.

با محاسبه مقادیر ویژه این ماتریس، مقادیر بزرگتر از یک جدا شده و برای آنها بردارهای ویژه ترسیم می‌گردد. در جدول (۴-۹) تحت عنوان جدول توجیه تغییر پذیری کل^۶ مقادیر ویژه، درصد واریانس و درصد تجمعی واریانس متناظر با عوامل محاسبه شده و سپس مقادیر بزرگتر از ۱/۵ (۷ مقدار) استخراج و دوران داده شده‌اند. بر اساس این جدول بیشترین مقادیر ویژه (واریانس) مربوط به مؤلفه‌های اول و دوم به ترتیب با درصد تغییرپذیری ۱۸/۷۵ و ۱۷/۷۳ می‌باشد. با توجه به جدول مذکور مشاهده می‌شود که تعداد ۶ فاکتور می‌توانند تقریباً ۶۷/۴٪ کل تغییر پذیری را توجیه کنند که با توجه به این تعداد فاکتور مقدار قابل قبولی است.

Total variance Explained⁶

Total Variance Explained

Component	Initial Eigenvalues			Extraction Sums of Squared Loadings			Rotation Sums of Squared Loadings		
	Total	% of Variance	Cumulative %	Total	% of Variance	Cumulative %	Total	% of Variance	Cumulative %
1.00	9.44	21.45	21.45	9.44	21.45	21.45	8.25	18.75	18.75
2.00	7.90	17.96	39.41	7.90	17.96	39.41	7.80	17.73	36.48
3.00	5.50	12.50	51.91	5.50	12.50	51.91	4.54	10.32	46.79
4.00	3.24	7.35	59.26	3.24	7.35	59.26	4.47	10.15	56.94
5.00	1.95	4.42	63.68	1.95	4.42	63.68	2.70	6.13	63.08
6.00	1.62	3.69	67.37	1.62	3.69	67.37	1.89	4.30	67.37
7.00	1.37	3.11	70.48						
8.00	1.16	2.63	73.11						
9.00	1.01	2.29	75.39						
10.00	0.95	2.15	77.55						
11.00	0.85	1.94	79.48						
12.00	0.81	1.85	81.33						
13.00	0.79	1.79	83.12						
14.00	0.71	1.61	84.73						
15.00	0.69	1.56	86.29						
16.00	0.63	1.44	87.74						
17.00	0.56	1.28	89.02						
18.00	0.51	1.15	90.17						
19.00	0.46	1.05	91.21						
20.00	0.41	0.94	92.15						
21.00	0.35	0.79	92.94						
22.00	0.33	0.74	93.68						
23.00	0.30	0.68	94.36						
24.00	0.28	0.64	95.00						
25.00	0.26	0.60	95.60						
26.00	0.25	0.58	96.18						
27.00	0.23	0.52	96.70						
28.00	0.22	0.49	97.19						
29.00	0.19	0.43	97.63						
30.00	0.16	0.36	97.98						
31.00	0.14	0.31	98.30						
32.00	0.13	0.29	98.58						
33.00	0.11	0.25	98.83						
34.00	0.11	0.24	99.08						
35.00	0.09	0.20	99.28						
36.00	0.07	0.16	99.44						
37.00	0.05	0.12	99.56						
38.00	0.05	0.11	99.67						
39.00	0.04	0.09	99.76						
40.00	0.03	0.07	99.84						
41.00	0.02	0.05	99.88						
42.00	0.02	0.05	99.93						
43.00	0.02	0.04	99.97						
44.00	0.01	0.03	100.00						

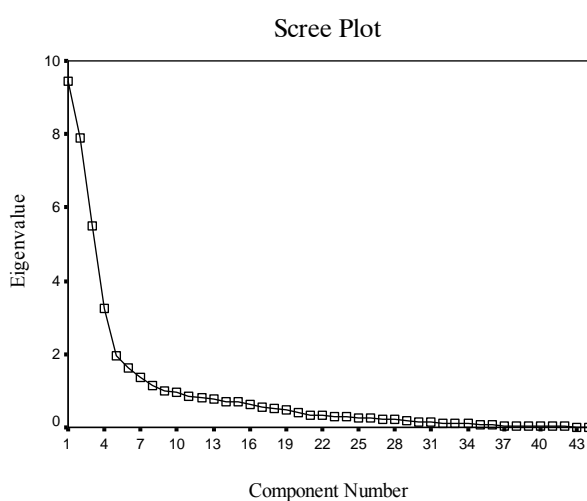
جدول (۹-۴) : جدول توجیه تغییر پذیری کل

فصل ششم.....کنترل صحرایی..

این تعداد فاکتور از روی نمودار صخره‌ای^۷ شکل (۲۱-۴) نیز قابل تأیید است، این شکل مقادیر ویژه محاسبه شده را که بر حسب اهمیت از بزرگترین تا کوچکترین مقدار ردیف شده‌اند، نمایش می‌دهد.

این نمودار به‌وضوح نشان می‌دهد که تعداد عاملهای انتخابی حداقل تغییرپذیری را به خود اختصاص داده‌اند. همانطور که ملاحظه می‌شود این نمودار تا فاکتور ششم شیب تندی دارد و پس از آن به یک حالت ملایم با شیب تقریباً ثابت می‌رسد.

شکل (۲۱-۴): نمودار صخره‌ای



از آنجا که یک عامل چند متغیر را کنترل می‌کند، روش‌هایی به وجود آمده‌اند که بدون تغییر میزان اشتراک، تفسیر عوامل را ساده‌تر می‌سازد. این روش‌ها همان دوران عوامل هستند که به صورت عمود و مایل صورت می‌گیرد. دوران عمود استقلال بین عاملهای را حفظ می‌کند در صورتیکه دورانهای مایل عاملهای را به هم وابسته می‌کند. در اینجا با استفاده از روش دوران متعامد^۸ بر روی ضرایب عاملی دوران صورت می‌گیرد. با استفاده از این روش می‌توان عناصری را که در هر عامل از اهمیت بیشتری برخوردار است تعیین نمود. شکل (۲۲-۴) ماتریس دوران مؤلفه‌ها را نمایش می‌دهد.

Scree Plot^۷
Varimax^۸

شكل (٤-٢٢): ماتریس دوران مؤلفه‌ها

	Rotated Component Matrix					
	Component					
	1	2	3	4	5	6
Normal Be	0.89	0.01	-0.17	0.26	0.16	0.11
Normal Ce	0.88	0.11	-0.23	-0.04	0.19	0.11
Normal Mg	-0.82	0.45	-0.02	0.07	0.15	0.14
Normal Y	0.79	0.26	-0.33	0.05	0.20	0.11
Normal Sr	-0.76	0.20	0.06	-0.07	0.38	0.01
Normal Rb	0.71	-0.14	0.41	-0.14	0.17	-0.17
Normal Bi	0.71	-0.03	0.14	0.01	-0.11	0.39
Normal Mo	0.70	-0.15	0.01	0.04	-0.11	0.42
Normal K	0.62	-0.26	0.36	-0.35	0.41	0.02
Normal Ni	-0.58	-0.04	-0.01	-0.40	-0.02	0.35
Normal Ba	0.57	0.27	-0.03	0.33	0.30	0.10
Normal Ca	-0.55	0.23	-0.21	0.53	0.25	0.08
Normal W	0.53	0.08	0.37	-0.19	-0.07	0.10
Normal Fe	-0.23	0.90	0.04	0.10	0.18	-0.08
Normal Ti	0.24	0.81	0.15	0.23	0.30	-0.12
Normal Sc	-0.36	0.80	0.15	0.13	0.27	-0.01
Normal Th	0.02	0.79	-0.06	-0.31	0.10	-0.09
Normal V	-0.34	0.79	0.18	0.29	0.26	-0.10
Normal Nb	0.15	0.76	-0.09	0.24	0.26	0.05
Normal Co	-0.27	0.70	0.16	0.11	-0.02	0.27
Normal Tl	-0.03	0.69	0.28	-0.44	-0.07	0.01
Normal Te	0.05	0.69	0.08	0.12	-0.25	-0.09
Normal Yb	0.30	0.67	-0.11	-0.12	0.38	-0.06
Normal Cs	0.40	0.62	0.36	-0.20	0.02	-0.10
Normal Cr	-0.47	0.48	-0.16	0.14	-0.13	0.36
Normal Pb	0.07	0.01	0.80	-0.06	0.04	0.08
Normal Zn	-0.21	0.16	0.78	0.15	0.27	-0.09
Normal As	-0.14	0.21	0.66	-0.09	0.20	-0.19
Normal Ag	0.19	-0.11	0.58	-0.22	-0.14	0.05
Normal Sb	0.36	0.07	0.55	0.32	0.04	-0.09
Normal Cd	-0.38	0.01	0.52	-0.03	0.11	0.23
Normal Cu	0.08	0.13	0.45	-0.21	0.07	0.25
Normal U	-0.18	0.28	0.43	-0.21	-0.11	0.00
Normal Na	-0.03	-0.02	0.18	-0.85	0.27	-0.15
Normal La	0.07	0.24	-0.33	0.77	0.20	0.08
Normal Li	-0.43	-0.04	0.33	-0.71	0.25	-0.03
Normal Mn	0.03	0.37	0.37	0.63	0.27	-0.01
Normal P	0.17	0.08	0.23	0.48	0.22	0.37
Normal Sn	0.29	0.19	-0.07	-0.43	0.00	-0.30
Normal Hg	-0.10	-0.06	-0.06	0.16	-0.10	-0.01
Normal Al	0.04	0.29	0.17	-0.16	0.83	0.03
Normal Zr	0.00	0.38	0.13	0.21	0.56	-0.14
Normal S	0.09	-0.36	0.05	0.03	-0.04	0.63
Normal Au	0.15	0.07	0.00	0.21	-0.01	0.47

فصل ششم.....کنترل صحرایی..

مقدار عاملهای مختلف برای هر نمونه محاسبه گردید تا در تخمین نقشه های مربوطه به کار رود.

در نهایت پس از انجام آنالیز فاکتوری طبق جدول زیر هفت فاکتور معرفی گردید که به صورت ذیل

می باشد:

فاکتور اول: شامل عناصر Be ,Ce ,Y ,Rb ,Bi ,Mo ,K ,Ba ,W

فاکتور دوم: شامل عناصر Fe ,Tl ,Sc ,Th ,V ,Nb ,Co ,Tl ,Te ,Yb ,Cs

فاکتور سوم: شامل عناصر Pb ,Zn ,Ag ,As ,Cd ,Cu ,Sb

فاکتور چهارم : شامل عناصر La ,Mn ,Ca ,P

فاکتور پنجم : شامل عناصر Al,Zr

فاکتور ششم : شامل عناصر S,Au,(Mo)

نقشه های (۲۶-۴) تا (۲۲-۴) حاصل از تخمین شبکه ای فاکتورها هستند که در انتهای فصل آورده

شده است.

۴-۱۱- جداسازی آنومالی ها از جامعه زمینه به روش P.N

در برداشت های اکتشافی توزیع فراوانی داده ها به علت چولگی زیاد اغلب لاغ نرمال می باشد. در این

برداشت ها مقدار بزرگ تابع توزیع آنومالی ها را تشکیل می دهند. این مقدار که از بقیه داده ها

(زمینه) قابل تفکیک هستند می توانند معرف مناطق امیدبخش برای پیدایش کانی سازی اقتصادی

باشند.

روش P.N یکی از روش های آماری مختلفی است که جدایش و تشخیص مناطق آنومالی از زمینه

ارائه شده است. در این روش فقط مقدار اندازه گیری شده برای نمونه مورد توجه قرار می گیرد و

موقعیت فضایی نقاط نمونه برداری در نظر گرفته نمی شود. پایه و اساس این روش، حساب احتمالات

فصل ششم.....کنترل صحرایی..

است. منطق روش P.N در جدایش مقادیر آنومالی بر دو اصل بنا شده است: یکی افزایش مقدار

متغیر و دیگری افزایش فراوانی نسبی آن. بنابراین شدت هر آنومالی تابع دو عامل است:

۱- احتمال پیدایش نمونه‌ای با مقادیر مطلوب مورد نظر (P)، که هر چه این احتمال کوچکتر باشد شدت آنومالی در نمونه معرف آن بیشتر خواهد بود.

۲- تعداد نمونه‌های برداشت شده (N)، که هر چه این مقدار کوچکتر باشد شدت آنومالی قوی‌تر است.

بنابراین حاصل ضرب دو عامل فوق یعنی $P \cdot N$ می‌تواند به عنوان معیاری برای انتخاب آنومالی‌ها محسوب گردد، بدیهی است هر چه این مقدار کوچکتر از واحد باشد آنومالی‌ها دارای شدت بیشتری می‌باشند. مقدار P برای هر عنصر در هر نمونه برابر احتمال رخداد عیارهای بزرگتر یا مساوی مقدار متغیر مورد بررسی در نمونه مورد نظر است.

معمولًاً برای آنکه با مقادیر عددی خیلی کوچک برخورد نشود به جای N/P می‌توان از مقدار $1/P$ استفاده کرد. در این صورت هر چه مقدار $1/P$ بزرگتر از واحد باشد آنومالی مورد نظر با اهمیت‌تر است. نکته مهمی که در روش N/P باید به آن توجه نمود این است که این روش نسبت به تابع توزیع بسیار حساس می‌باشد، زیرا مقادیر احتمال پیدایش بر اساس تابع توزیع نرمال محاسبه می‌شود لذا لازم است که یا داده‌ها دارای توزیع نرمال باشند و یا با استفاده از روش‌های تبدیل، به توزیع نرمال تبدیل شوند. نتایج حاصل از روش N/P در جداول (۴-۱۰) آمده است. چنانچه ملاحظه می‌گردد، شدت آنومالی‌ها با معیاری احتمال پذیر محاسبه گردیده است. مقادیر $1/P$ بالاتر از ۱ به عنوان آنومالی در نظر گرفته شده است. همچنین مجموع مقادیر N/P عناصر مختلف برای نمونه‌های آنومال، با عنوان Sum $1/P$ در ستون آخر محاسبه شده است که نقشه شماره (۴-۲۸) حاصل آن است و در انتهای این فصل آورده می‌شود.

جدول (٤ - ١) : انتخاب مناطق أميد بخش بـز اساسی P.N

جدول (٤ - ١) : انتخاب مناطق اميد بخش بر اساس P.N

۱۲-۴- تخمین شبکه‌ای داده‌ها

تخمین شبکه یکی از روش‌هایی است که با استفاده از داده‌های مربوط به نقاط نمونه‌برداری، تخمین‌هایی در مورد نقاطی که از آنها نمونه‌برداری صورت نگرفته انجام می‌دهد. با توجه به گستردگی مناطق تحت پوشش اکتشاف در روش رسوبات آبراهه‌ای و نیز چگالی پایین نمونه‌برداری، روش تخمین شبکه کارایی بسیار خوبی دارد. تخمین شبکه به ژئوشیمیست امکان می‌دهد تا نتایج حاصل از تخمین اطلاعاتی که مستقیماً از سلولها بدست می‌آید را به سایر سلولها نسبت دهد. این اطلاعات از انواع مختلف برای مثال فراوانی عناصر و شاخص‌های غنی‌شدگی مربوط به آنها می‌شود. در چنین حالتی افزایش تعداد سلولهایی که در مورد آنها داده‌ای بدست می‌آید، موجب می‌گردد تا ارتباط منطقی بین فراوانی یک عنصر در سلولها ظاهر گشته و امکان ارزیابی منطقه‌بندی موجود در نقشه توزیع یک عنصر فراهم گردد. برای مثال اگر آنومالی توسط مقادیر زمینه محصور گردد، در اینصورت مدل تغییرات تدریجی از حد زمینه به حد آستانه و از حد آستانه به آنومالی موجب افزایش اعتبار آنومالی خواهد گردید.

تبديل یک شبکه نامنظم نمونه‌برداری به یک شبکه منظم، از امتیازات دیگر تخمین شبکه است. مهمترین ویژگی رسوبات آبراهه‌ای به منظور ارزیابی پتانسیل کانی‌سازی می‌تواند ناشی از این واقعیت باشد که مقدار هر متغیر در رسوبات رودخانه‌ای دارای خاصیت برداری است و جهت این بردار همواره برای ناحیه بالادست خود صادق است. لذا ابتدا باید مرز حوضه‌های آبریز مربوط به نمونه‌ها مشخص گردد، سپس جهت داده‌ها که می‌تواند در تخمین شرکت نماید مشخص شود. بدیهی است بیشترین انطباق بین یک شکل هندسی با حوضه آبریز با یک چندضلعی^۹ امکان‌پذیر است. برای این انطباق و ترسیم چندضلعی از نقشه توپوگرافی و عکس هوایی استفاده می‌گردد.

Polygon^۹

.....کنترل صحرایی..
در روش تخمین شبکه ابتدا نقشه مورد نظر بوسیله شبکه‌ای از سلوهای هم‌بعد پوشانده می‌شود،
که ابعاد شبکه به مقیاس برداشتها و دقت مورد نیاز بستگی دارد. در این تحقیق از شبکه‌های ۵۰
در ۵۰ متر استفاده گردید.

با استفاده از این تکنیک، اقدام به رسم نقشه‌های ژئوشیمیایی مختلف گردید. مشخصات آنومالی‌های
عناصر و نقشه‌های مربوطه در ادامه آورده شده است. در نهایت از تلفیق آنومالی‌های تمام عناصر
نقشه (۴-۳۰) حاصل گردید.

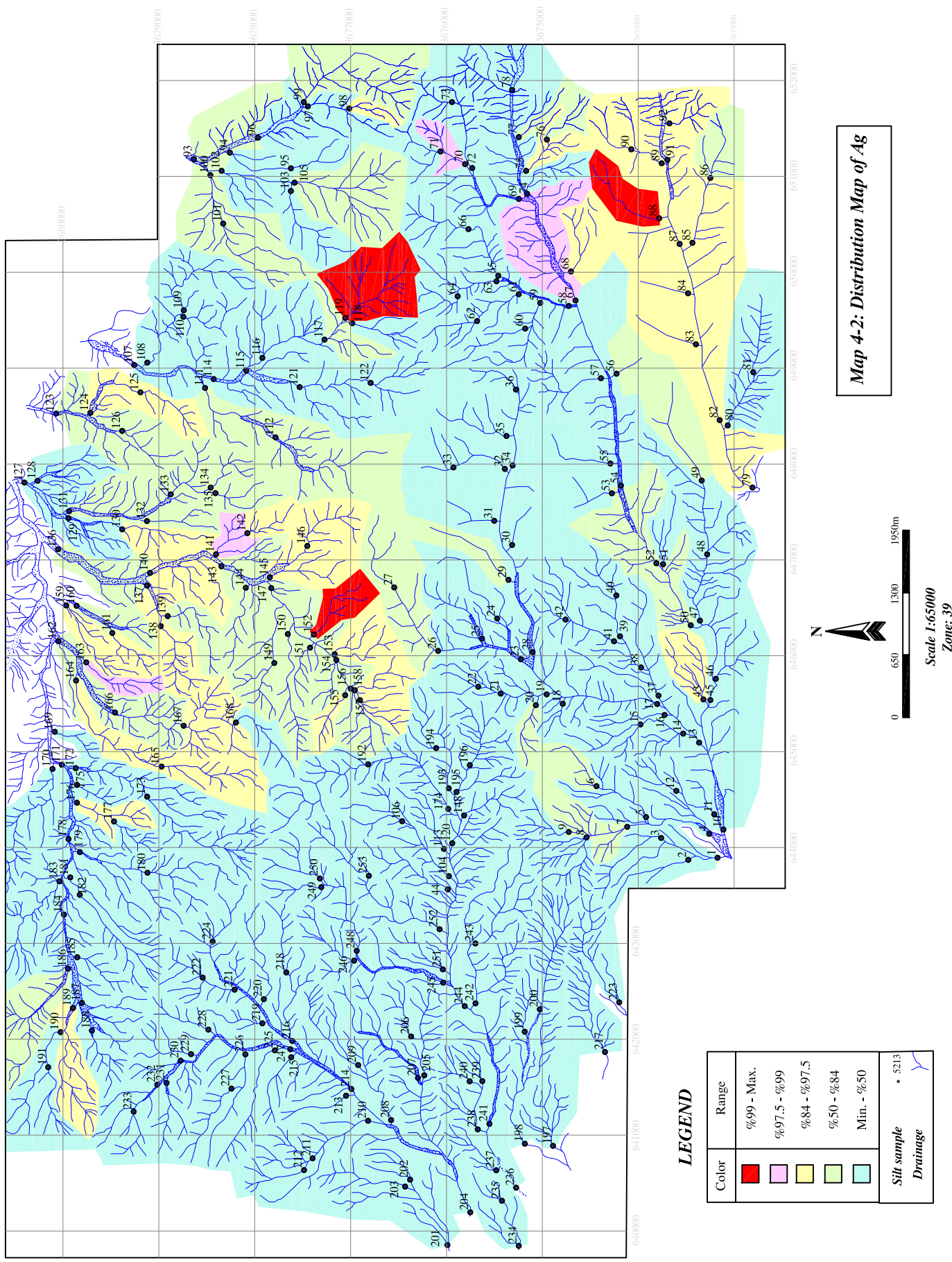
۱۳-۴- تشریح آنومالی‌های ژئوشیمیایی

در این قسمت به شرح آنومالی‌های به دست آمده از عناصر مختلف با استفاده از این روش
می‌پردازیم. در جداول زیر آنومالی‌های درجه اول و دوم داده‌های خام آمده‌است.

۱- عنصر نقره: نقشه (۴-۲)

شماره نمونه	درجه آنومالی	مختصات		سنگ بالادست	میزان داده خام (ppm)
۱۵۲	۱	3677380	646221	توف، توفیت	۲/۹۹
۸۸	۱	3673780	650563	توف، گدازه آندزیتی، دیاباز، ماسه سنگ و کنگلومرا	۲/۱۲
۱۱۹	۱	3677060	649524	توف، توفیت	۲/۸۱
۷۰	۲	3675810	651128	توف، توفیت	۱/۹۵
۶۷	۲	3674650	649706	توف، توفیت، گدازه آندزیتی، دیاباز، ماسه سنگ و کنگلومرا، داسیت تا ریوداسیت	۱/۱۰
۱۴۱	۲	3678400	647059	توف، توفیت، گرانوڈیبوریت، کوارتزدیبوریت	۱/۱۵
۱۶۳	۲	3679760	645931	توف، توفیت	۰/۸۵

NASRAN
(Eastern north of Esfahan)



فصل ششم.....کنترل صحرایی..

۲- عنصر آرسنیک: نقشه (۳-۴)

میزان داده خام (ppm)	سنگ بالادست	مختصات	درجه آنومالی	شماره نمونه
۳۲/۳۸	توف، توفیت	645207	۱	3680086
۳۲/۳۸	توف، گذاره آندزیتی، دیاباز، ماسه سنگ و کنگلومرا	650563	۱	3673780
۳۰/۴۳	توف، توفیت	651384	۱	3674950
۲۶/۸۰	توف، توفیت، گرانودیبوریت، کوارتزدیبوریت	648458	۲	3673150
۲۶/۸۰	توف، گذاره آندزیتی، دیاباز، ماسه سنگ و کنگلومرا	649781	۲	3673480
۲۵/۴۹	توف، گذاره آندزیتی، دیاباز، ماسه سنگ و کنگلومرا	650008	۲	3674700
۲۵/۳۹	توف، گذاره آندزیتی، دیاباز، ماسه سنگ و کنگلومرا	651058	۲	3675170

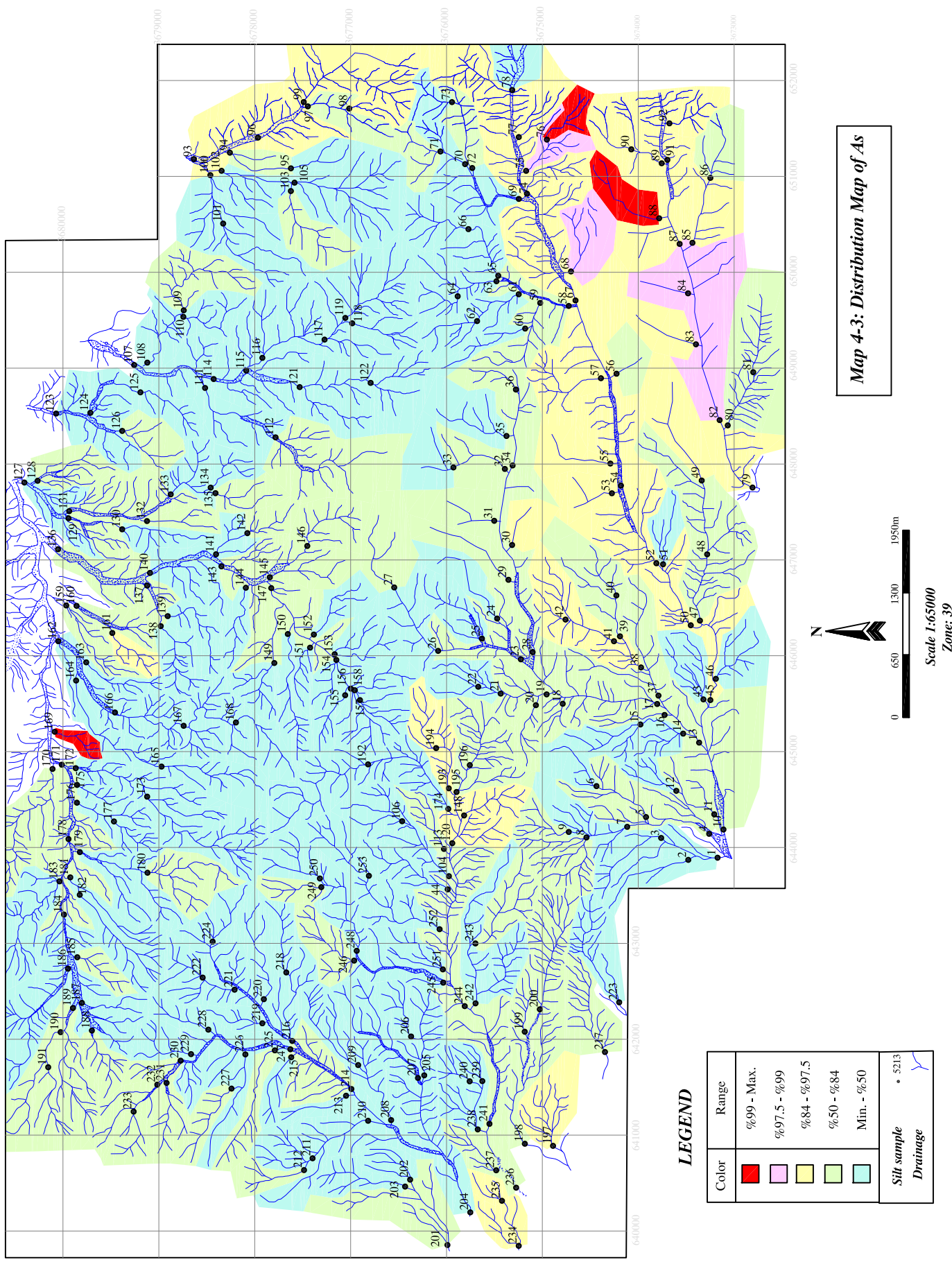
۳- عنصر طلا: نقشه (۴-۴)

میزان داده خام (ppm)	سنگ بالادست	مختصات	درجه آنومالی	شماره نمونه
۰/۰۰۲۵	توف، توفیت، داسیت تا ریوداسیت	639854	۱	3675990
۰/۰۰۲۵	توف، توفیت	644827	۱	3679870
۰/۰۰۲۵	توف، توفیت، گرانودیبوریت، کوارتزدیبوریت	648526	۱	3680070
۰/۰۰۲۴	توف، توفیت، گرانودیبوریت، کوارتزدیبوریت	647405	۲	3679120
۰/۰۰۲۴	توف، توفیت	645409	۲	3679460
۰/۰۰۲۳	توف، توفیت	641884	۲	3677790

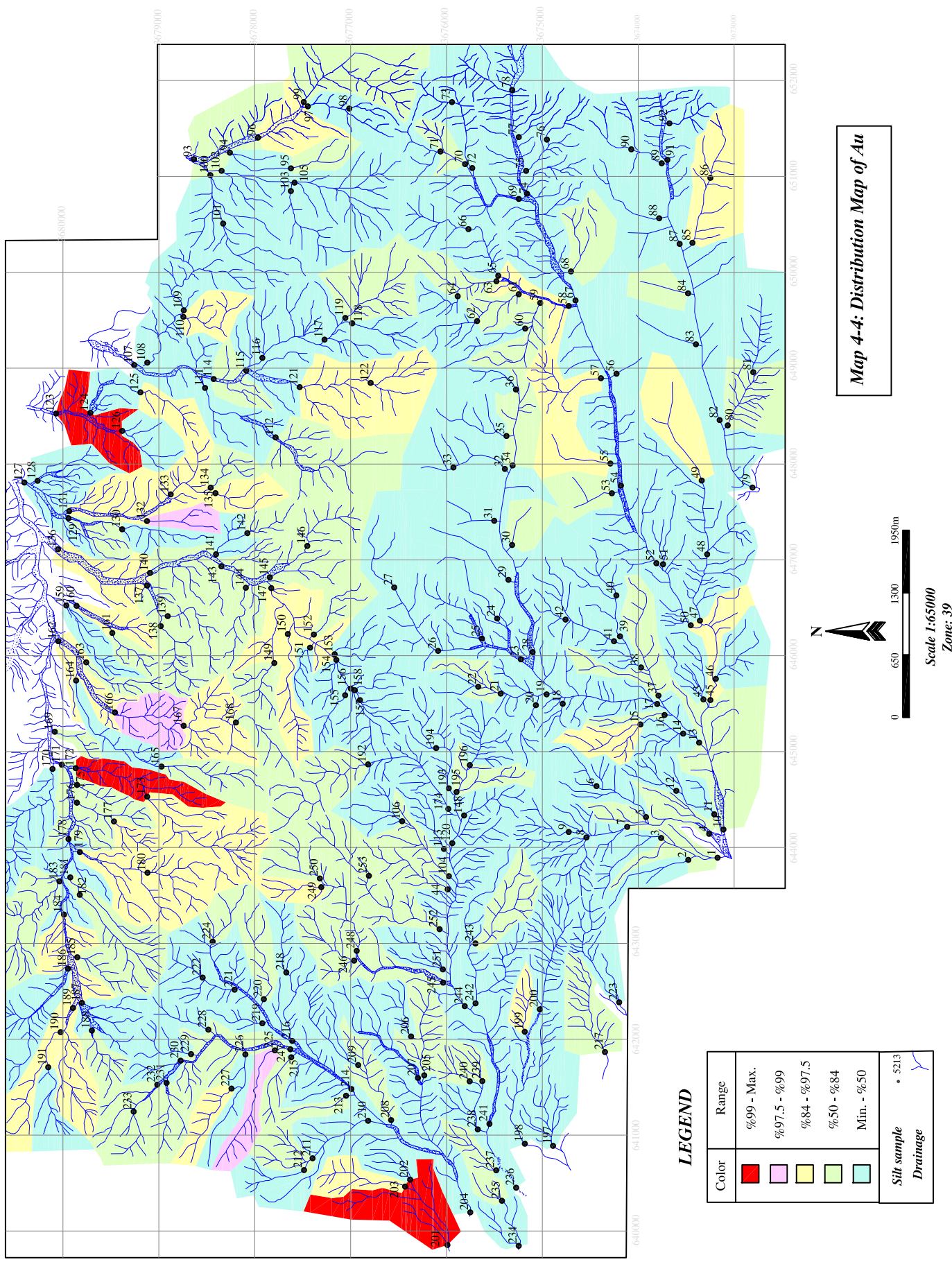
۴- عنصر باریم: (نقشه ۴-۵)

میزان داده خام (ppm)	سنگ بالادست	مختصات	درجه آنومالی	شماره نمونه
۸۲۹	توف، توفیت	651776	۱	3677489
۷۸۷	توف، توفیت، گرانودیبوریت، کوارتزدیبوریت	647279	۱	3678080
۷۴۰	توف، توفیت، گرانودیبوریت، کوارتزدیبوریت	651405	۱	3677967
۶۵۸	توف، توفیت	647408	۲	3675500
۶۵۰	توف، توفیت	649468	۲	3676980
۶۴۶	توف، توفیت	649297.8	۲	3677272
۶۳۱	توف، توفیت، گرانودیبوریت، کوارتزدیبوریت	648886	۲	3678430

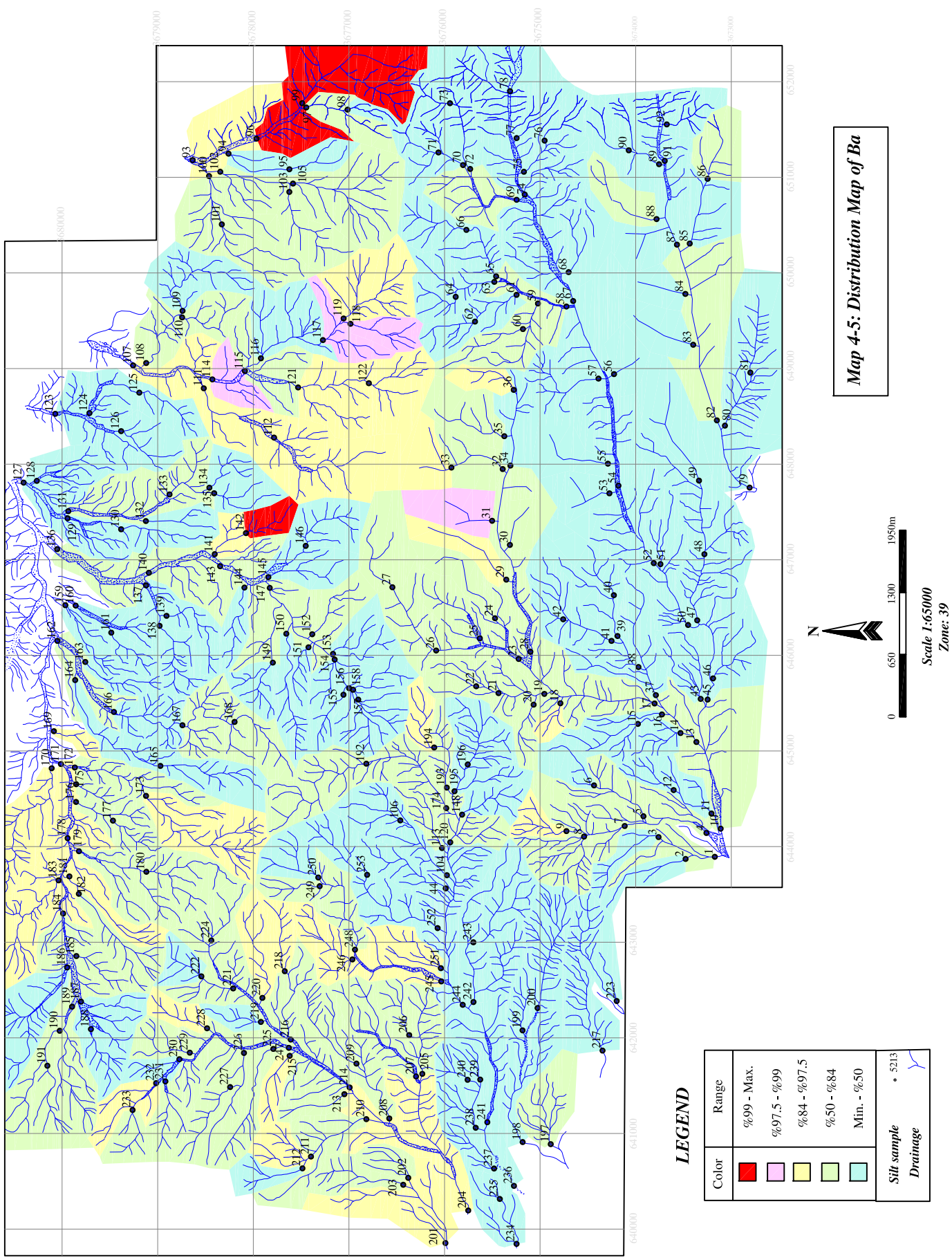
NASRAN
(Eastern north of Esfahan)



NASRAN
(Eastern north of Esfahan)



NASR AND
(Eastern north of Esfahan)



فصل ششم.....کنترل صحرایی..

۵- عنصر بیسموت: نقشه (۶-۴)

میزان داده خام (ppm)	سنگ بالادرست	مختصات	درجه آنومالی	شماره نمونه
۱/۳۰	توف، توفیت	651776	۱	3677489
۰/۸۸	توف، توفیت، گرانودیوریت، کوارتزدیوریت	651405	۱	3677967
۰/۸۵	توف، توفیت	643586	۱	3677310
۰/۸۰	توف، توفیت، گرانودیوریت، کوارتزدیوریت	647279	۲	3678080
۰/۷۰	توف، توفیت	645931	۲	3679760
۰/۶۱	توف، توفیت	645588	۲	3677060
۰/۵۹	توف، توفیت	646933	۲	3678350

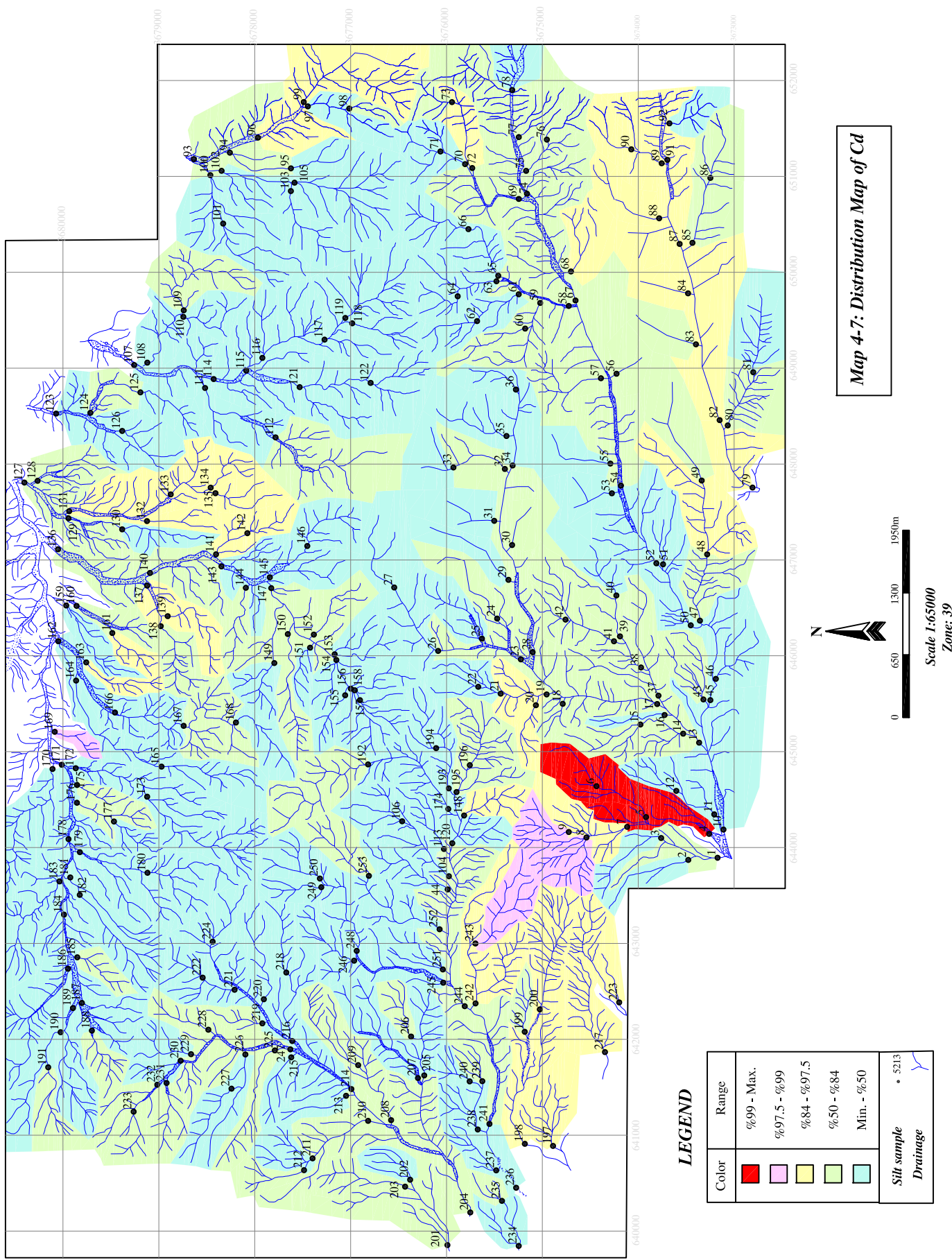
۶- عنصر کادمیوم: نقشه (۷-۴)

میزان داده خام (ppm)	سنگ بالادرست	مختصات	درجه آنومالی	شماره نمونه
۱/۶۷	توف، گدازه آندزیتی، دیاباز، ماسهسنگ و کنگلومرا	644640	۱	3674440
۱/۲۶	توف، گدازه آندزیتی، دیاباز، ماسهسنگ و کنگلومرا	644318	۱	3673920
۰/۸۷	توف، گدازه آندزیتی، دیاباز، ماسهسنگ و کنگلومرا	644142	۱	3673260
۰/۸۵	توف، توفیت، گرانودیوریت، کوارتزدیوریت	642999	۲	3675700
۰/۷۴	توف، گدازه آندزیتی، دیاباز، ماسهسنگ و کنگلومرا	644162	۲	3674720
۰/۶۲	توف، توفیت	645207	۲	3680086
۰/۵۶	توف، توفیت	644105	۲	3674540

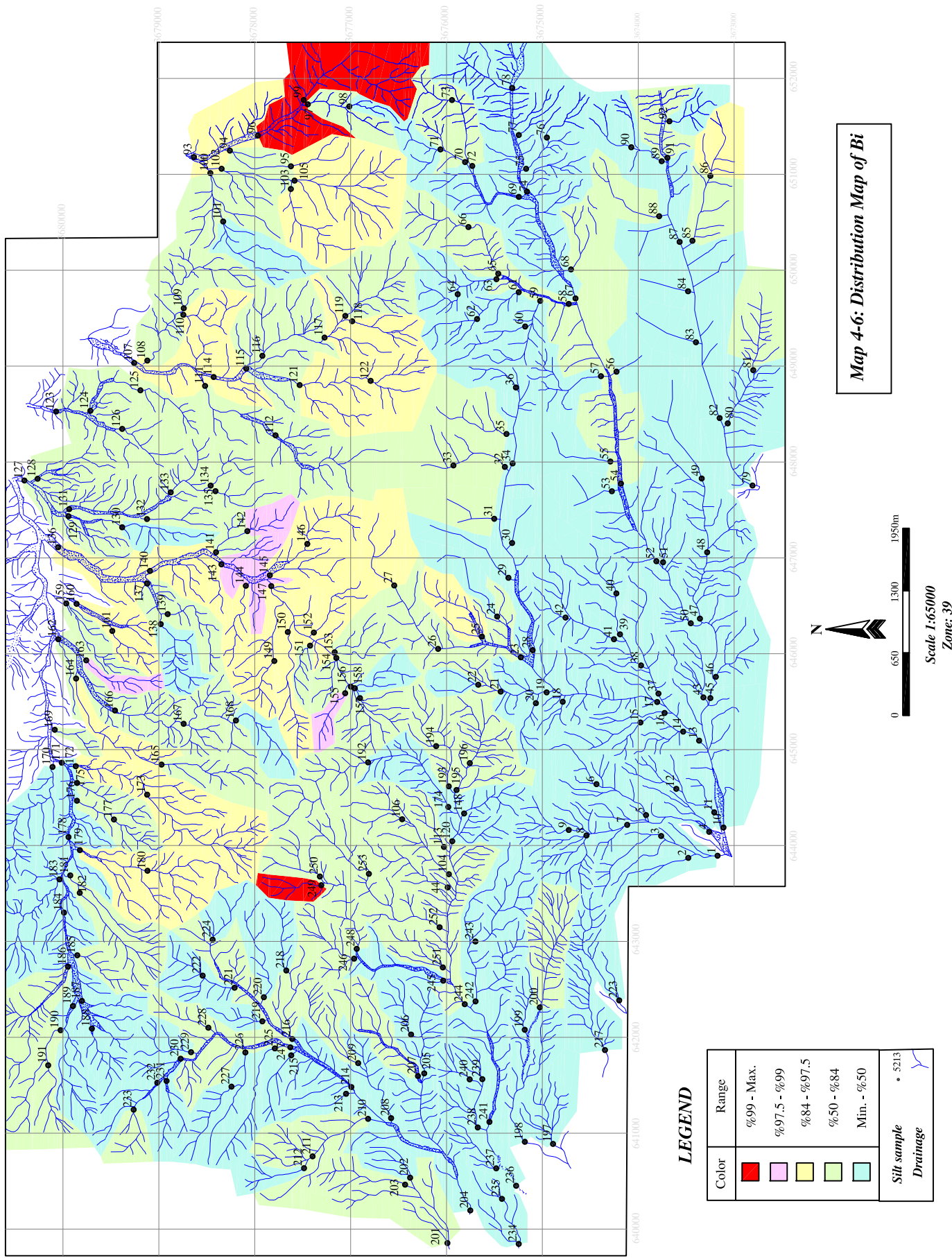
۷- عنصر مس: نقشه (۸-۴)

میزان داده خام (ppm)	سنگ بالادرست	مختصات	درجه آنومالی	شماره نمونه
۱۶۲	توف، توفیت	645742	۱	3679860
۱۵۳	توف، گدازه آندزیتی، دیاباز، ماسهسنگ و کنگلومرا	650563	۱	3673780
۱۳۴	توف، توفیت	646221	۱	3677380
۱۲۶	توف، گدازه آندزیتی، دیاباز، ماسهسنگ و کنگلومرا	644467	۲	3679850
۱۱۰	توف، توفیت، گرانودیوریت، کوارتزدیوریت	646819	۲	3677840
۱۰۰	توف، توفیت	641708	۲	3680154

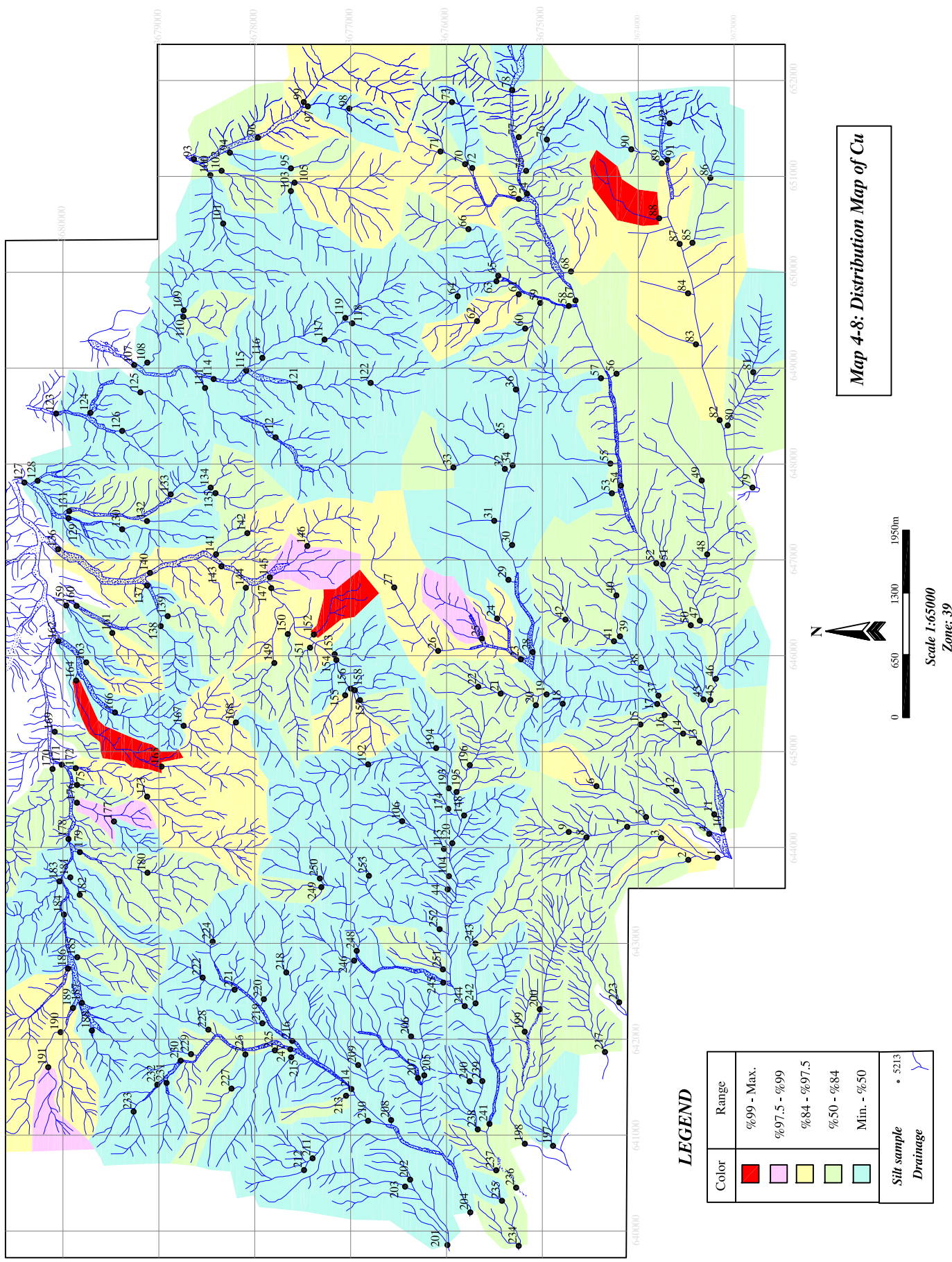
NASRAN
(Eastern north of Esfahan)



NASRAN
(Eastern north of Esfahan)



NASRAN
(Eastern north of Esfahan)



فصل ششم.....کنترل صحرایی..

۸- عنصر جیوه: به دلیل وجود تعداد زیاد سنسورد در نقشه فقط آنومالی درجه ۱ آورده شده است.

((نقشه ۴-۹))

میزان داده خام (ppm)	سنگ بالادست	مختصات	درجه آنومالی	شماره نمونه
۰/۰۹	توف، گدازه آندزیتی، دیباز، ماسه سنگ و کنگلومرا	647695	۱	3674270

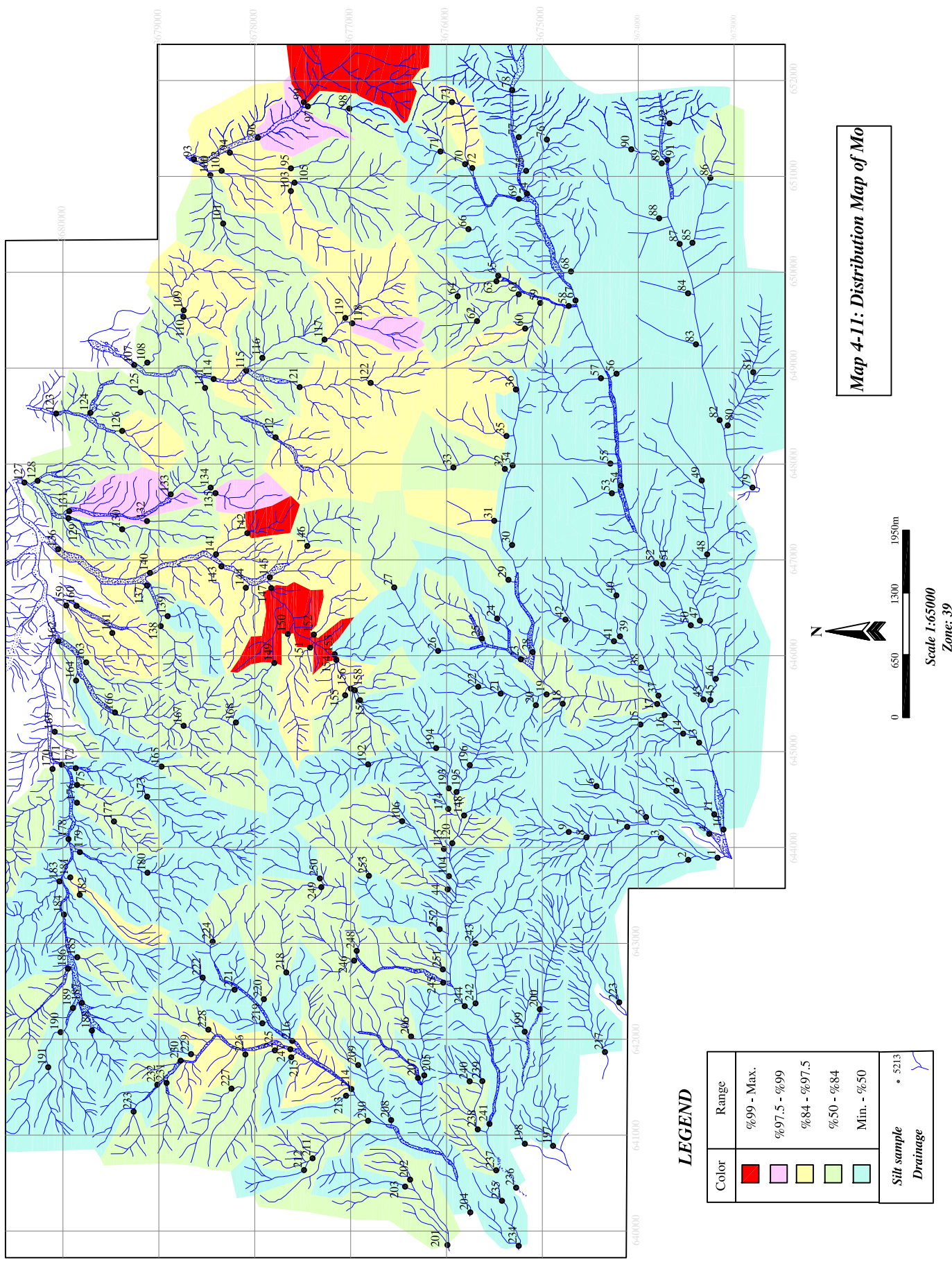
۹- عنصر منگنز: نقشه ((۴-۱۰))

میزان داده خام (ppm)	سنگ بالادست	مختصات	درجه آنومالی	شماره نمونه
۱۷۹۵	توف، توفیت	640758	۱	3677400
۱۷۱۵	توف، گدازه آندزیتی، دیباز، ماسه سنگ و کنگلومرا	649781	۱	3673480
۱۶۷۶	توف، توفیت	645588	۱	3677060
۱۶۳۸	توف، توفیت	645037	۲	3676110
۱۶۳۰	توف، توفیت	651776	۲	3677489
۱۶۰۱	توف، توفیت، داسیت، ریوداسیت	641149	۲	3676820
۱۵۷۳	توف، گدازه آندزیتی، دیباز، ماسه سنگ و کنگلومرا	650765	۲	3675250

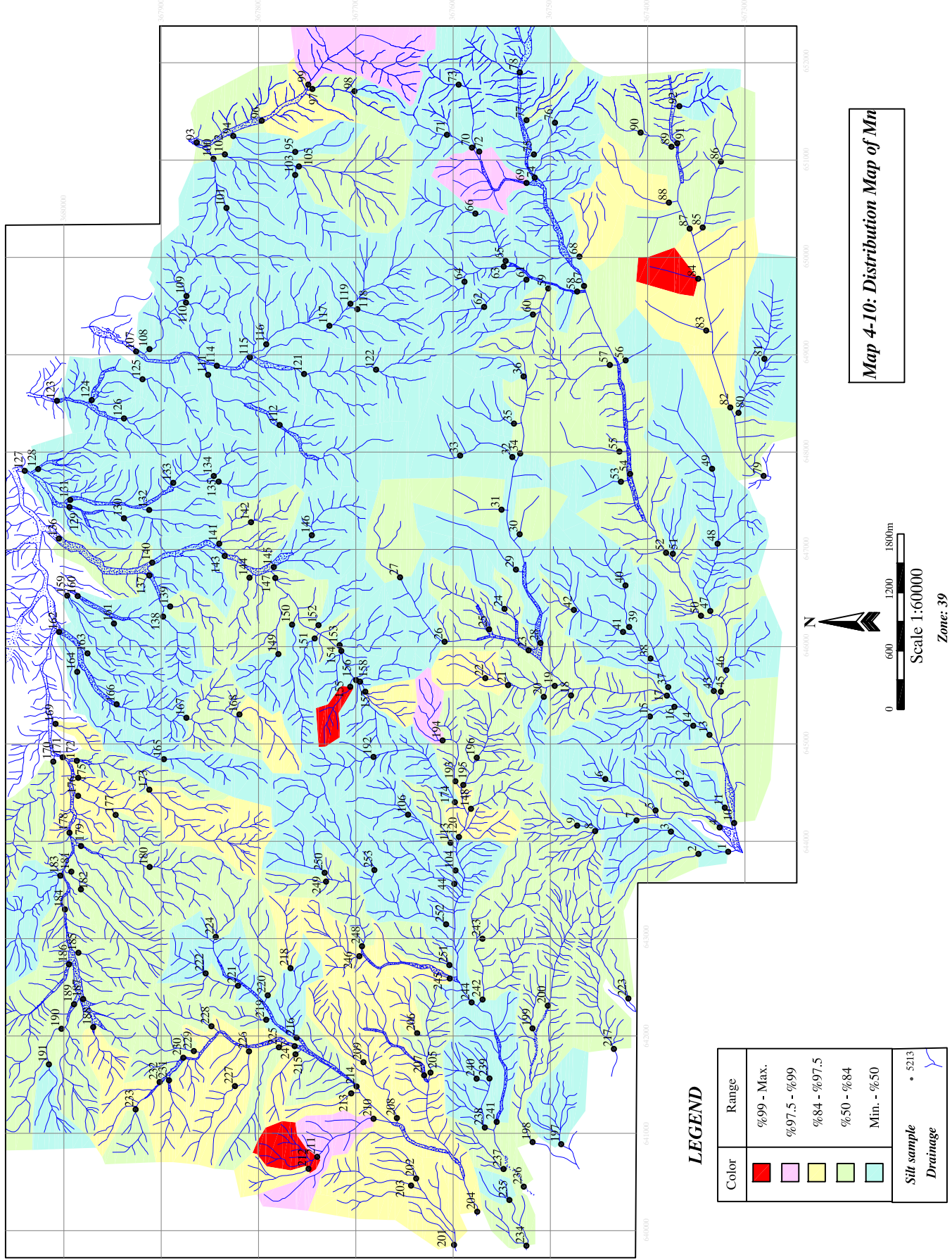
۱۰- عنصر مولیبدن: ((نقشه ۴-۱۱))

میزان داده خام (ppm)	سنگ بالادست	مختصات	درجه آنومالی	شماره نمونه
۶/۸۹	توف، توفیت، گرانودیوریت، کوارتزدیوریت	646706	۱	3677830
۵/۹۲	توف، توفیت، گرانودیوریت، کوارتزدیوریت	647279	۱	3678080
۲/۹۹	توف، توفیت	651776	۱	3677489
۲/۲۴	توف، توفیت، گرانودیوریت، کوارتزدیوریت	651405	۲	3677967
۲/۱۴	توف، توفیت	649468	۲	3676980
۲/۱۳	توف، توفیت، گرانودیوریت، کوارتزدیوریت	647696	۲	3678410
۱/۹۰	توف، توفیت، گرانودیوریت، کوارتزدیوریت	647508	۲	3679940

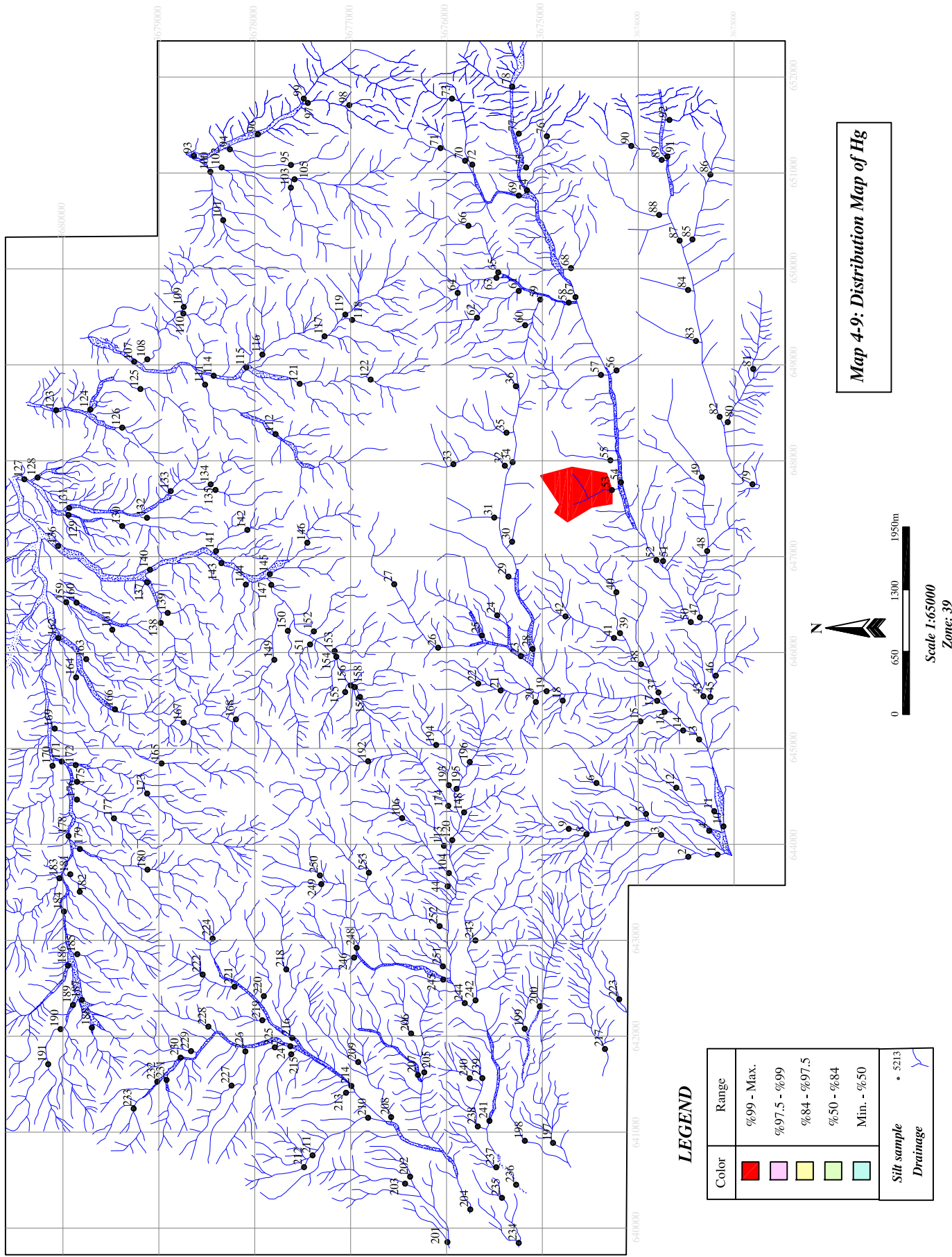
NASRAN
(Eastern north of Esfahan)



NASRAN
(Eastern north of Esfahan)



NASRAN
(Eastern north of Esfahan)



فصل ششم.....کنترل صحرایی..

۱- عنصر سرب: (نقشه (۱۲-۴))

شماره نمونه	درجه آنومالی	مختصات		سنگ بالادست	میزان داده خام (ppm)
۱۸۹	۱	3679900	642326	توف، توفیت	۲۵۱
۱۷۶	۱	3679850	644467	توف، توفیت	۲۵۱
۶۸	۱	3674700	650008	توف، گدازه آندزیتی، دیاباز، ماسه سنگ و کنگلومرا	۲۵۱
۸۸	۱	3673780	650563	توف، گدازه آندزیتی، دیاباز، ماسه سنگ و کنگلومرا	۲۵۱
۸۷	۲	3673570	650296	توف، گدازه آندزیتی، دیاباز، ماسه سنگ و کنگلومرا داسیت، ریوداسیت	۱۹۸
۸۹	۲	3673760	651137	توف، توفیت، گرانودیبوریت، کوارتزدیبوریت	۱۷۲
۱۵۵	۲	3679970	646525	توف، توفیت، گرانودیبوریت، کوارتزدیبوریت	۱۶۴

۱۲- عنصر تالیم: نقشه (۱۳-۴)

شماره نمونه	درجه آنومالی	مختصات		سنگ بالادست	میزان داده خام (ppm)
۹۹	۱	3677489	651776	توف، توفیت	۱/۲۱
۴۲	۱	3674760	646377	توف، گدازه آندزیتی، دیاباز، ماسه سنگ و کنگلومرا	۱/۲۱
۸۲	۱	3673150	648458	توف، توفیت، گدازه آندزیتی، دیاباز، ماسه سنگ و کنگلومرا	۱/۱۷

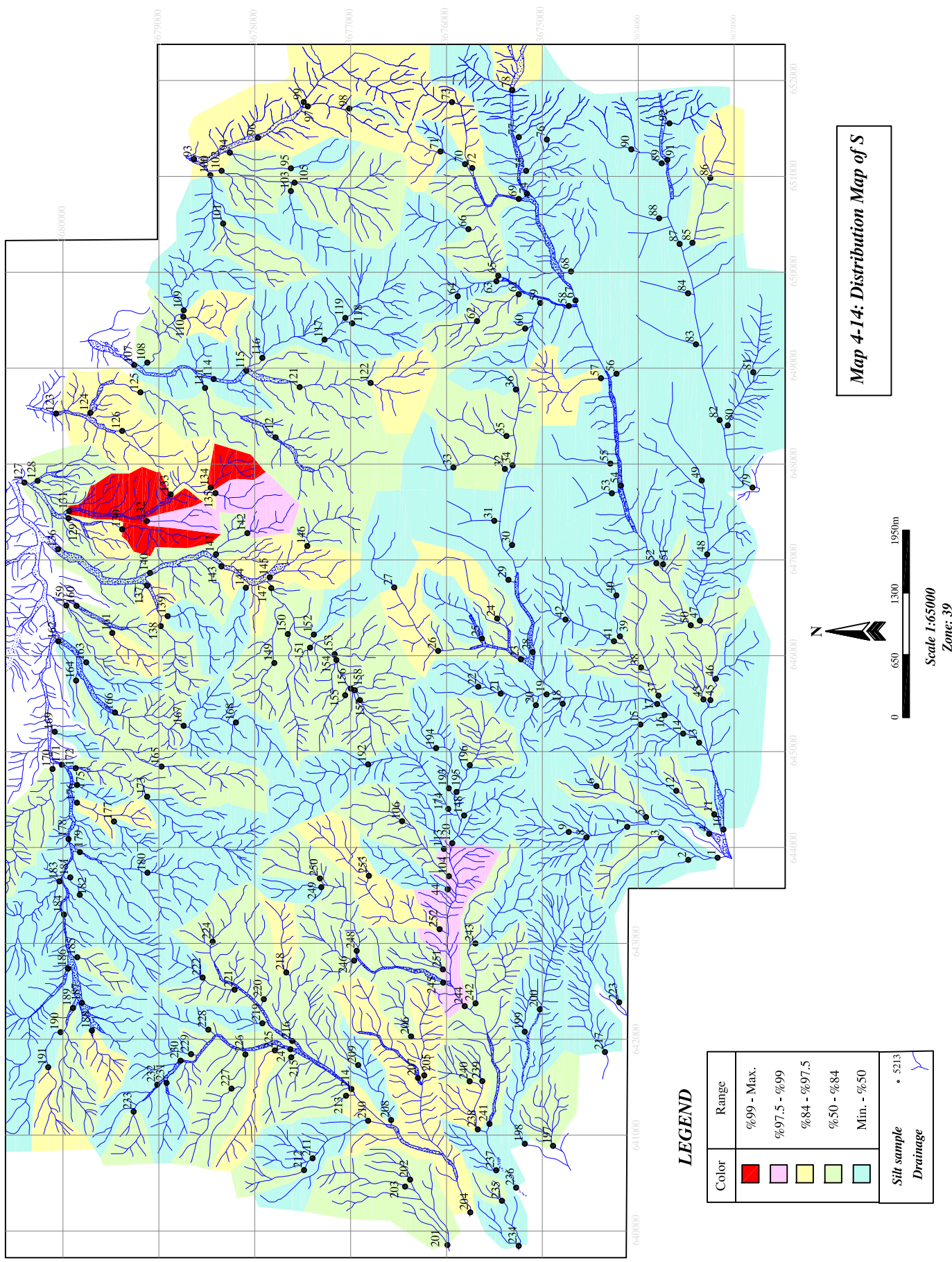
۱۳- عنصر گوگرد: نقشه (۱۴-۴)

شماره نمونه	درجه آنومالی	مختصات		سنگ بالادست	میزان داده خام(ppm)
۱۳۴	۱	3678460	647754	توف، توفیت، گرانودیبوریت، کوارتزدیبوریت	۱۶۶۴
۱۳۱	۱	3679940	647508	توف، توفیت، گرانودیبوریت، کوارتزدیبوریت	۱۴۹۸

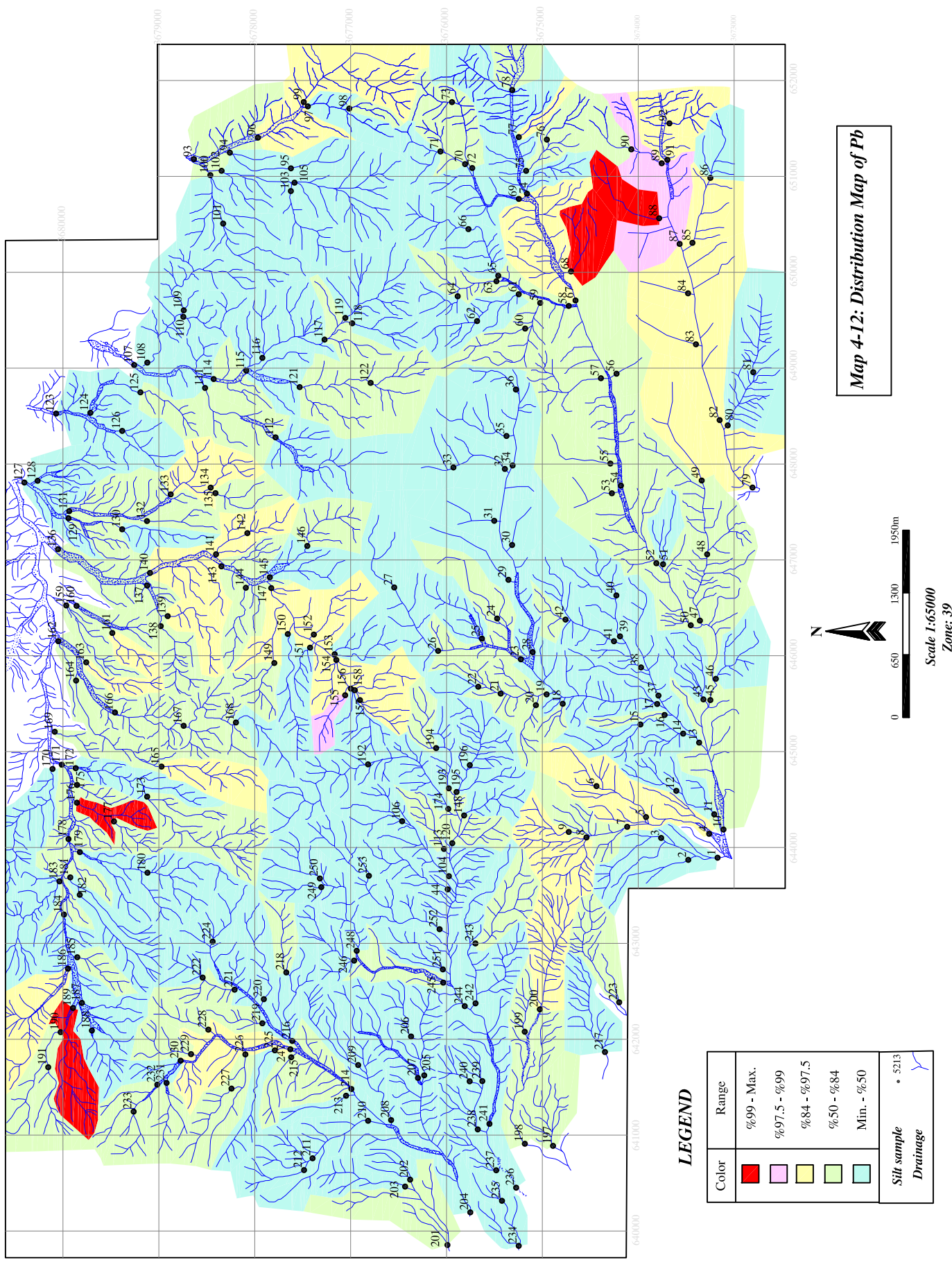
۱۴- عنصر آنتیموان: نقشه (۱۵-۴)

شماره نمونه	درجه آنومالی	مختصات		سنگ بالادست	میزان داده خام(ppm)
۸۸	۱	3673780	650563	توف، گدازه آندزیتی، دیاباز، ماسه سنگ و کنگلومرا	۲
۷۶	۱	3674950	651384	توف، توفیت	۲
۹۹	۲	3677489	651776	توف، توفیت	۱/۶۰
۹۳	۲	3678640	651180	توف، توفیت، گرانودیبوریت، کوارتزدیبوریت	۱/۶۰
۳۰	۲	3675320	647155	توف، توفیت	۱/۶۰
۶۸	۲	3674700	650008	توف، گدازه آندزیتی، دیاباز، ماسه سنگ و کنگلومرا	۱/۵
۱۲۰	۲	3675940	644045	توف، گدازه آندزیتی، دیاباز، ماسه سنگ و کنگلومرا	۱/۴
۷۷	۲	3675250	651410	توف، گدازه آندزیتی، دیاباز، ماسه سنگ و کنگلومرا	۱/۴

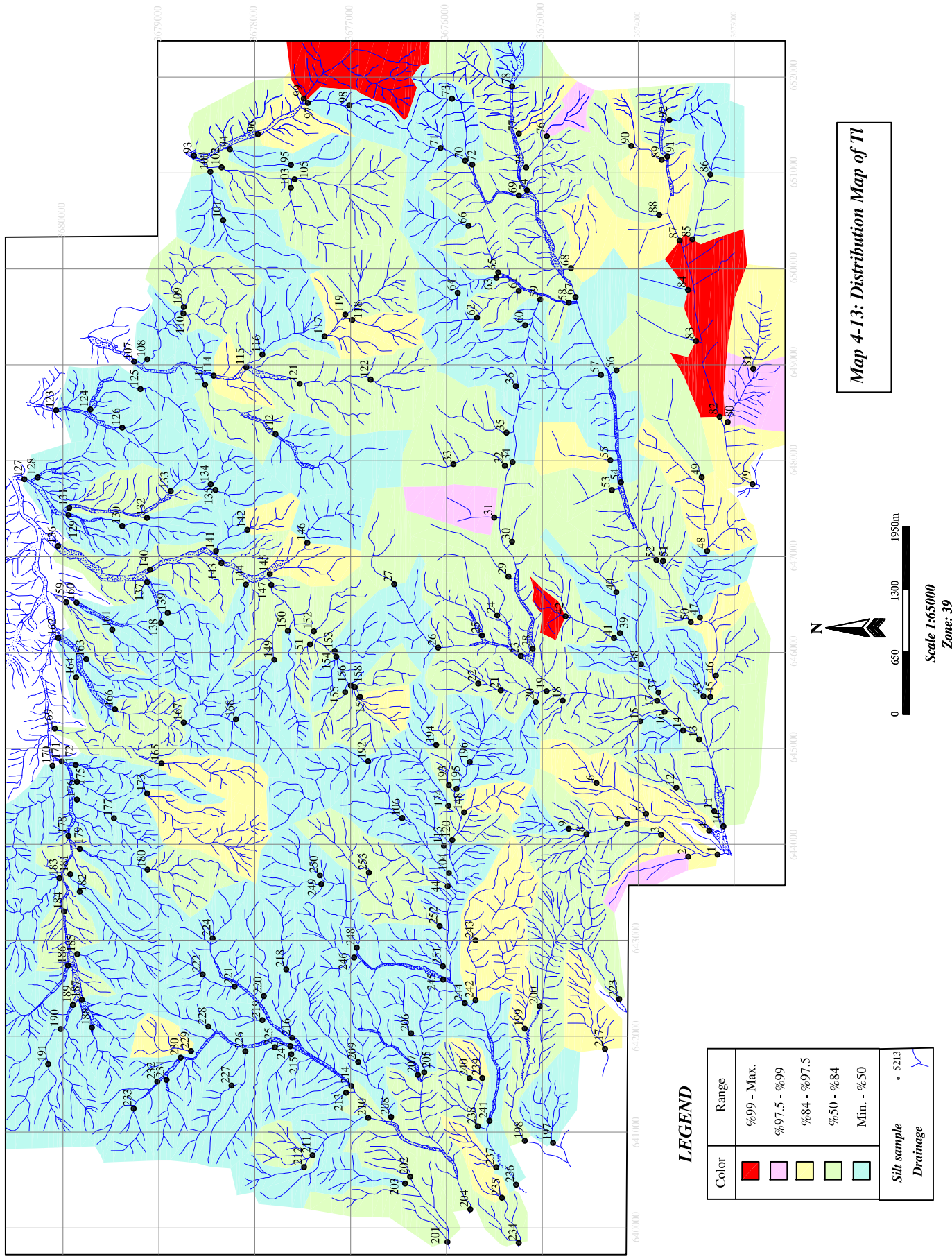
NASRAN
(Eastern north of Esfahan)



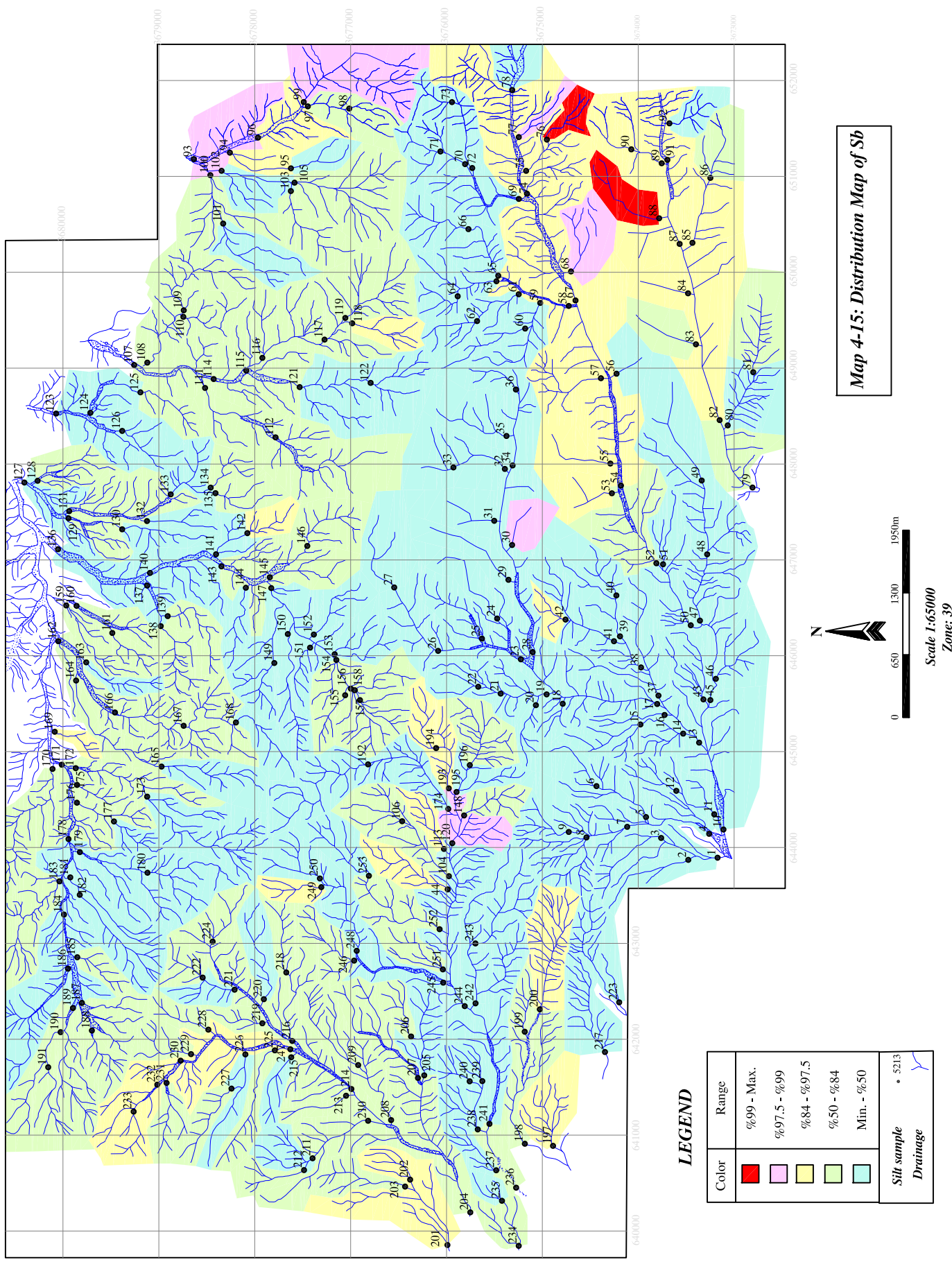
NASRAN
(Eastern north of Esfahan)



NASRAN
(Eastern north of Esfahan)



NASRAN
(Eastern north of Esfahan)



فصل ششم.....کنترل صحرایی..

(۱۶-۴) نقشه عنصر قلع: ۱۵

شماره نمونه	درجه آنومالی	مختصات		سنگ بالادست	میزان داده خام (ppm)
۷۶	۱	3674950	651384	توف، توفیت	۲
۶۶	۱	3675770	650450	توف، توفیت	۲
۶۱	۱	3675250	649771	توف، توفیت	۱/۶۰
۴۴	۲	3675990	643563	توف، توفیت، داسیت، ریوداسیت	۱/۶۰
۱۰۹	۲	3678740	649603	توف، توفیت، گرانوپیوریت، کوارتزپیوریت	۱/۶۰
۵	۲	3673920	644318	توف، گدازه آندزیتی، دیاباز، ماسهسنگ و کنگلومرا	۱/۵
۳۱	۲	3675500	647408	توف، توفیت	۱/۴

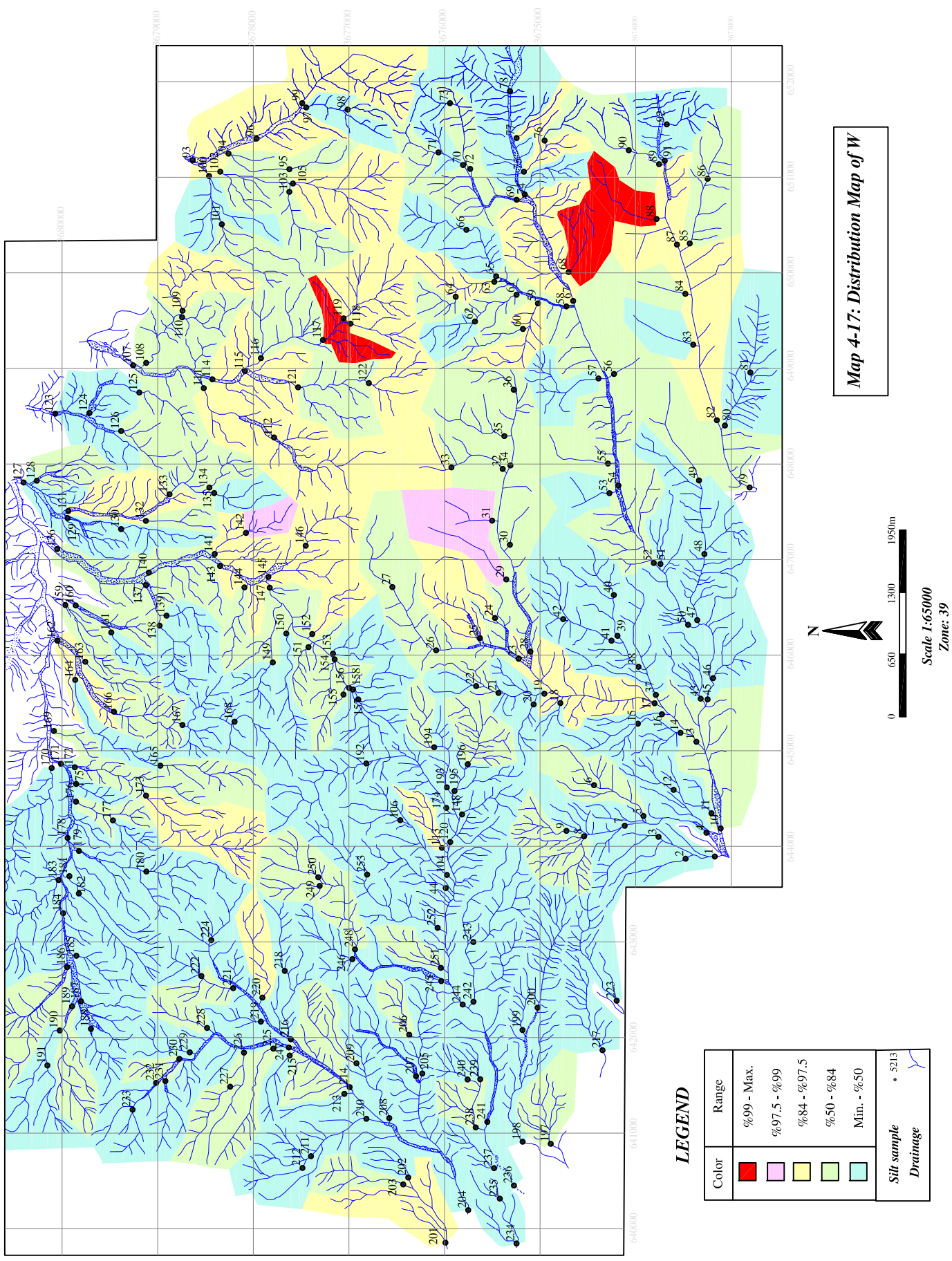
(۱۷-۴) نقشه تنگستن: عنصر ۱۶

شماره نمونه	درجه آنومالی	مختصات		سنگ بالادست	میزان داده خام (ppm)
۸۸	۱	3673780	650563	توف، گدازه آندزیتی، دیاباز، ماسهسنگ و کنگلومرا	۴/۸۶
۶۸	۱	3674700	650008	توف، گدازه آندزیتی، دیاباز، ماسهسنگ و کنگلومرا	۴/۸۶
۱۱۷	۱	3677272	649297	توف، توفیت	۴/۳۹
۲۹	۲	3675350	646792	توف، توفیت، گدازه آندزیتی، دیاباز، ماسهسنگ و کنگلومرا	۲/۶۱
۱۴۲	۲	3678080	647279	توف، توفیت، گرانوپیوریت، کوارتزپیوریت	۲/۵۵
۳۱	۲	3675500	647408	توف، توفیت	۲/۵۱

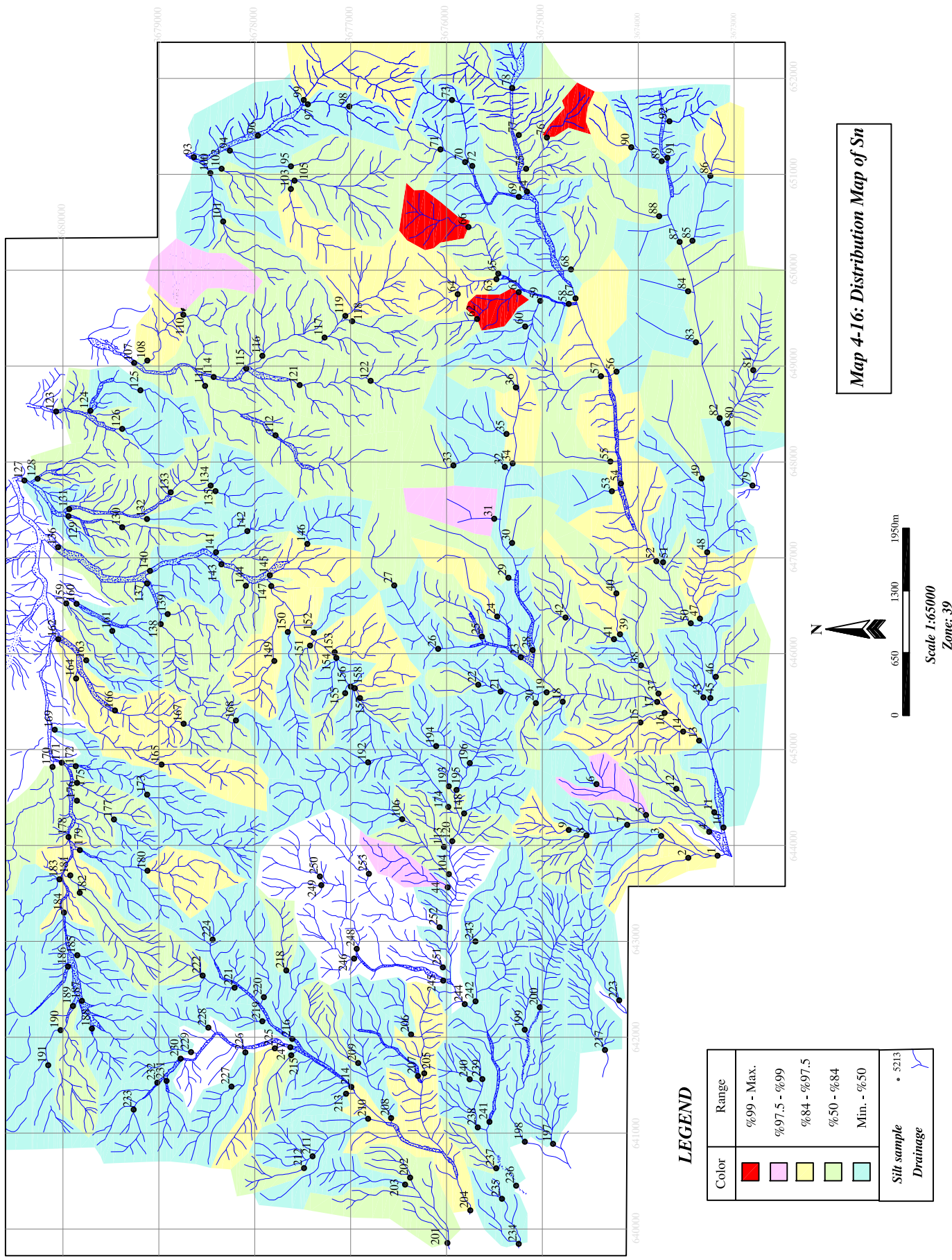
(۱۸-۴) نقشه روی: عنصر ۱۷

شماره نمونه	درجہ آنومالی	مختصات		سنگ بالادست	میزان داده خام (ppm)
۸۸	۱	3673780	650563	توف، گدازه آندزیتی، دیاباز، ماسهسنگ و کنگلومرا	۳۹۹/۵۶
۶۹	۱	3675250	650765	توف، توفیت، گدازه آندزیتی، دیاباز، ماسهسنگ و کنگلومرا	۳۴۴/۹۹
۸۴	۱	3673480	649781	توف، گدازه آندزیتی، دیاباز، ماسهسنگ و کنگلومرا	۲۳۵
۶۸	۲	3674700	650008	توف، توفیت، گدازه آندزیتی، دیاباز، ماسهسنگ و کنگلومرا	۲۱۸
۶	۲	3674440	644640	توف، گدازه آندزیتی، دیاباز، ماسهسنگ و کنگلومرا	۲۱۷
۸۲	۲	3673150	648458	توف، توفیت، گرانوپیوریت، کوارتزپیوریت، گدازه آندزیتی، دیاباز، ماسهسنگ و کنگلومرا	۲۱۳

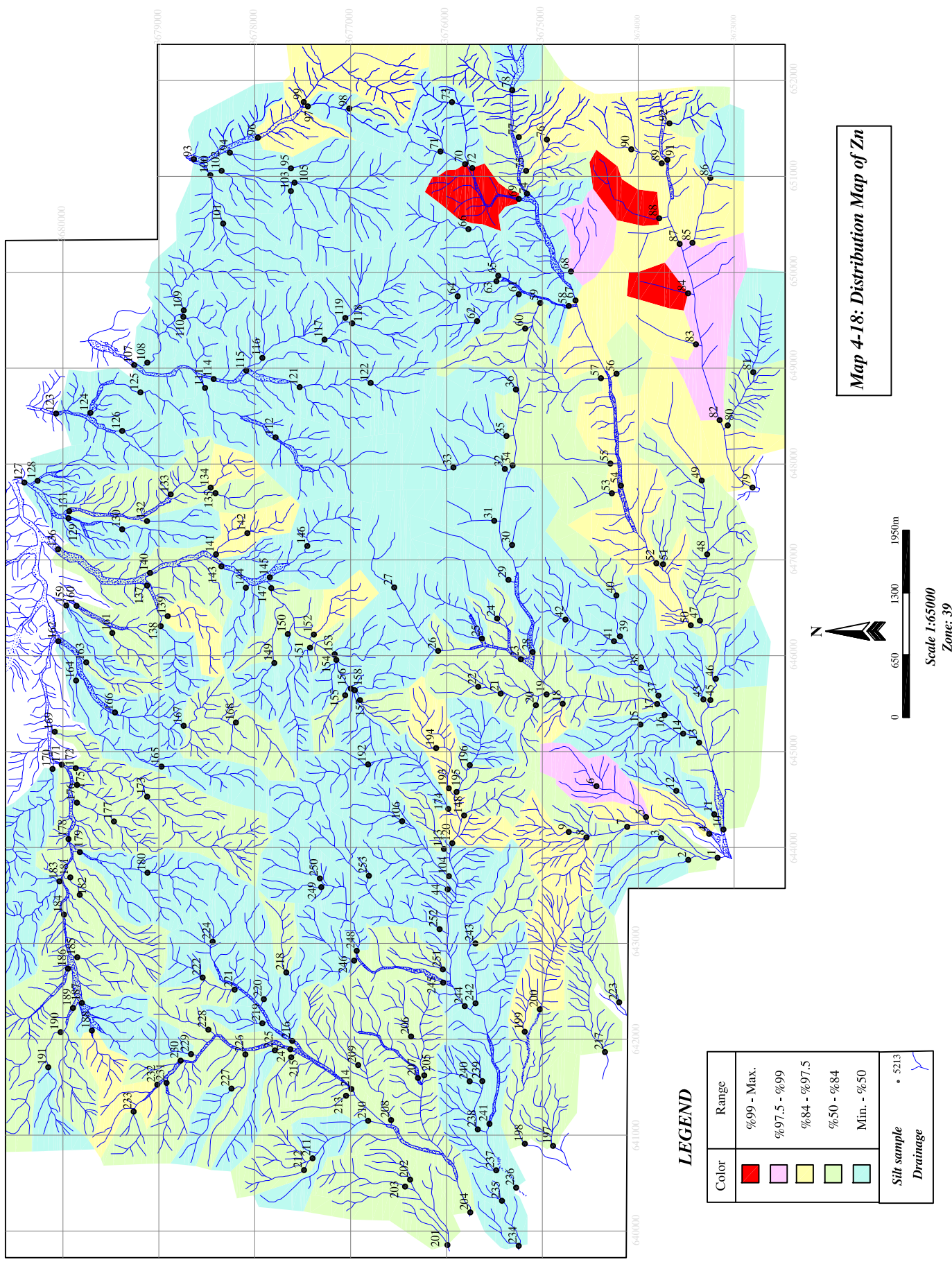
NASR AND
(Eastern north of Esfahan)



NASRAN
(Eastern north of Esfahan)



NASRAN
(Eastern north of Esfahan)



فصل ششم.....کنترل صحرایی..

۱۸- عنصر استرانسیوم: نقشه (۱۹-۴)

شماره نمونه	درجه آنومالی	مختصات		سنگ بالادست	میزان داده خام (ppm)
۱۸۱	۱	3679920	643688	توف، توفیت	۴۱۳
۲۳۷	۱	3675480	640633	توف، گذاره آندزیتی، دیاباز، ماسه سنگ و کنگلومرا	۳۶۶
۸۳	۱	3673400	649249	توف، گذاره آندزیتی، دیاباز، ماسه سنگ و کنگلومرا	۳۴۹

۱۹- عنصر تلور: نقشه (۲۰-۴)

شماره نمونه	درجه آنومالی	مختصات		سنگ بالادست	میزان داده خام (ppm)
۴۲	۱	3674760	646377	توف، گذاره آندزیتی، دیاباز، ماسه سنگ و کنگلومرا	۴۱۳
۹۹	۱	3677489	651776	توف، توفیت	۳۶۶
۳۵	۱	3675370	648293	توف، توفیت	۳۴۹

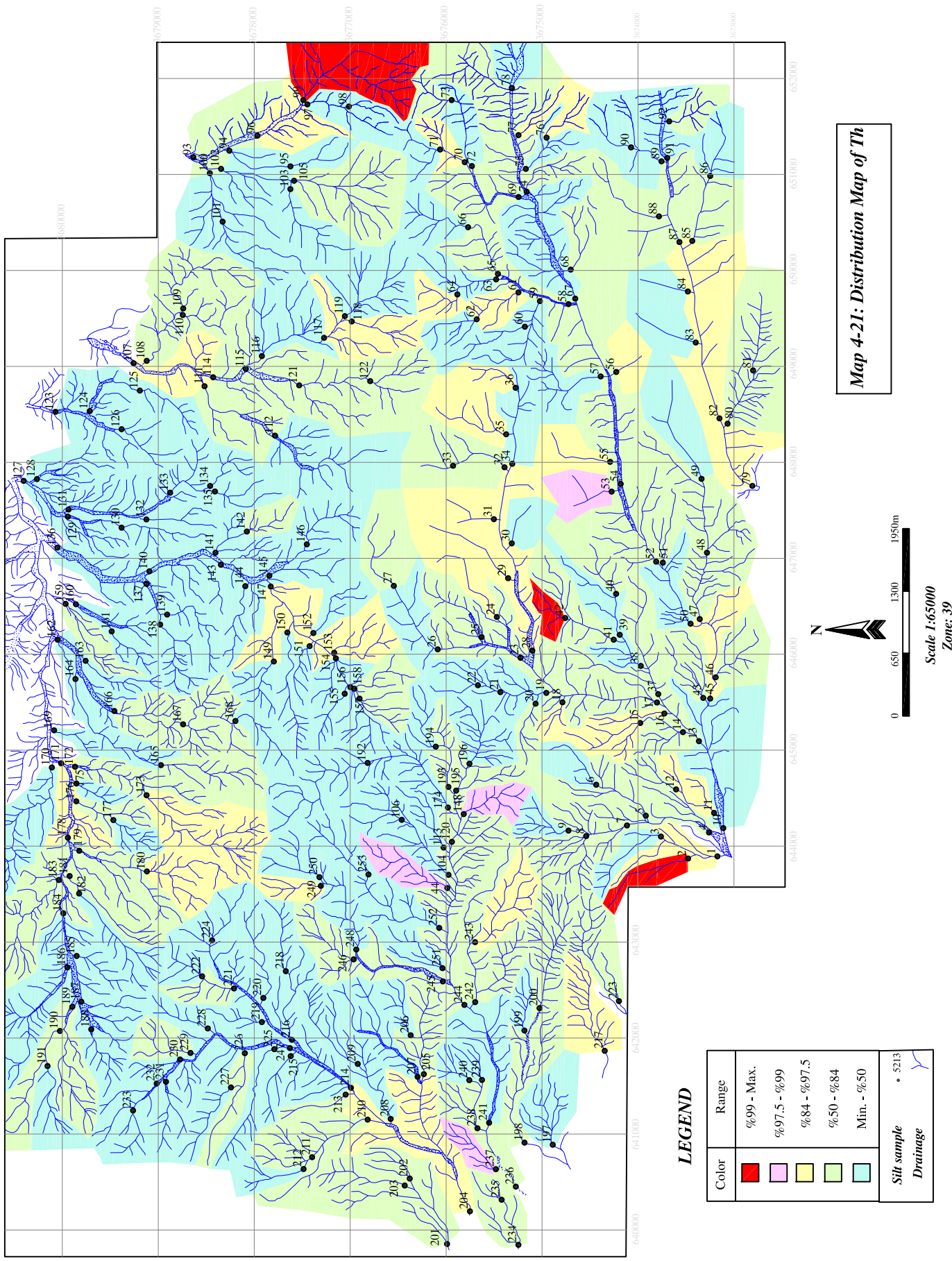
۲۰- عنصر توریوم: نقشه (۲۱-۴)

شماره نمونه	درجه آنومالی	مختصات		سنگ بالادست	میزان داده خام (ppm)
۹۹	۱	3677489	651776	توف، توفیت	۲۲/۱
۴۲	۱	3674760	646377	توف، گذاره آندزیتی، دیاباز، ماسه سنگ و کنگلومرا	۲۱/۸
۲	۱	3673480	643871	توف، گذاره آندزیتی، دیاباز، ماسه سنگ و کنگلومرا	۱۹

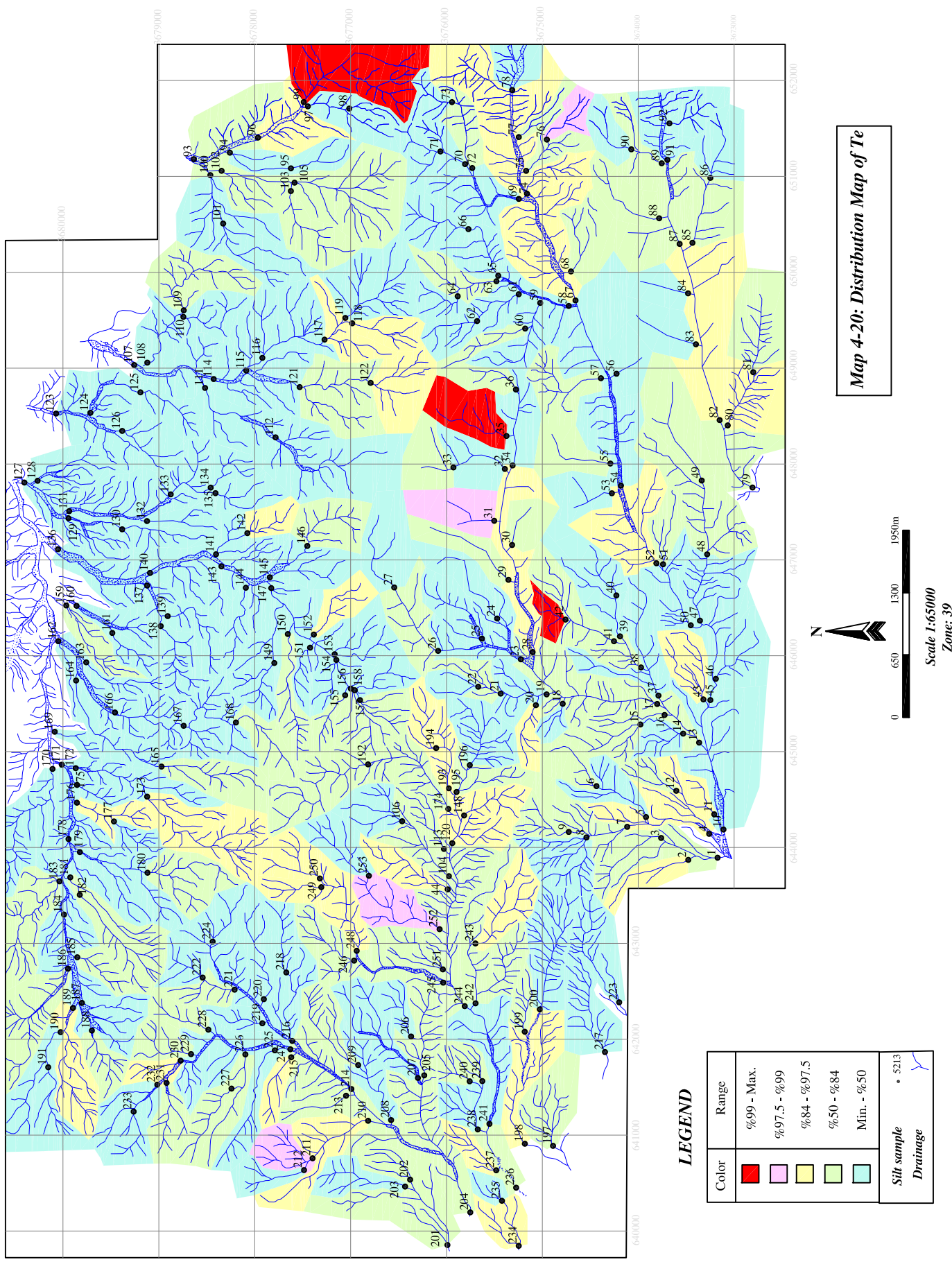
۲۱- عنصر اورانیوم: نقشه (۲۲-۴)

شماره نمونه	درجه آنومالی	مختصات		سنگ بالادست	میزان داده خام (ppm)
۱۴۲	۱	3678080	647279	توف، توفیت، گرانودیوریت، کوارتزدیوریت	۶/۸۸
۸۲	۱	3673150	648458	توف، توفیت، گرانودیوریت، کوارتزدیوریت، گذاره آندزیتی، دیاباز، ماسه سنگ و کنگلومرا	۶/۶۲
۵۵	۱	3674290	648005	توف، گذاره آندزیتی، دیاباز، ماسه سنگ و کنگلومرا	۶/۵۶

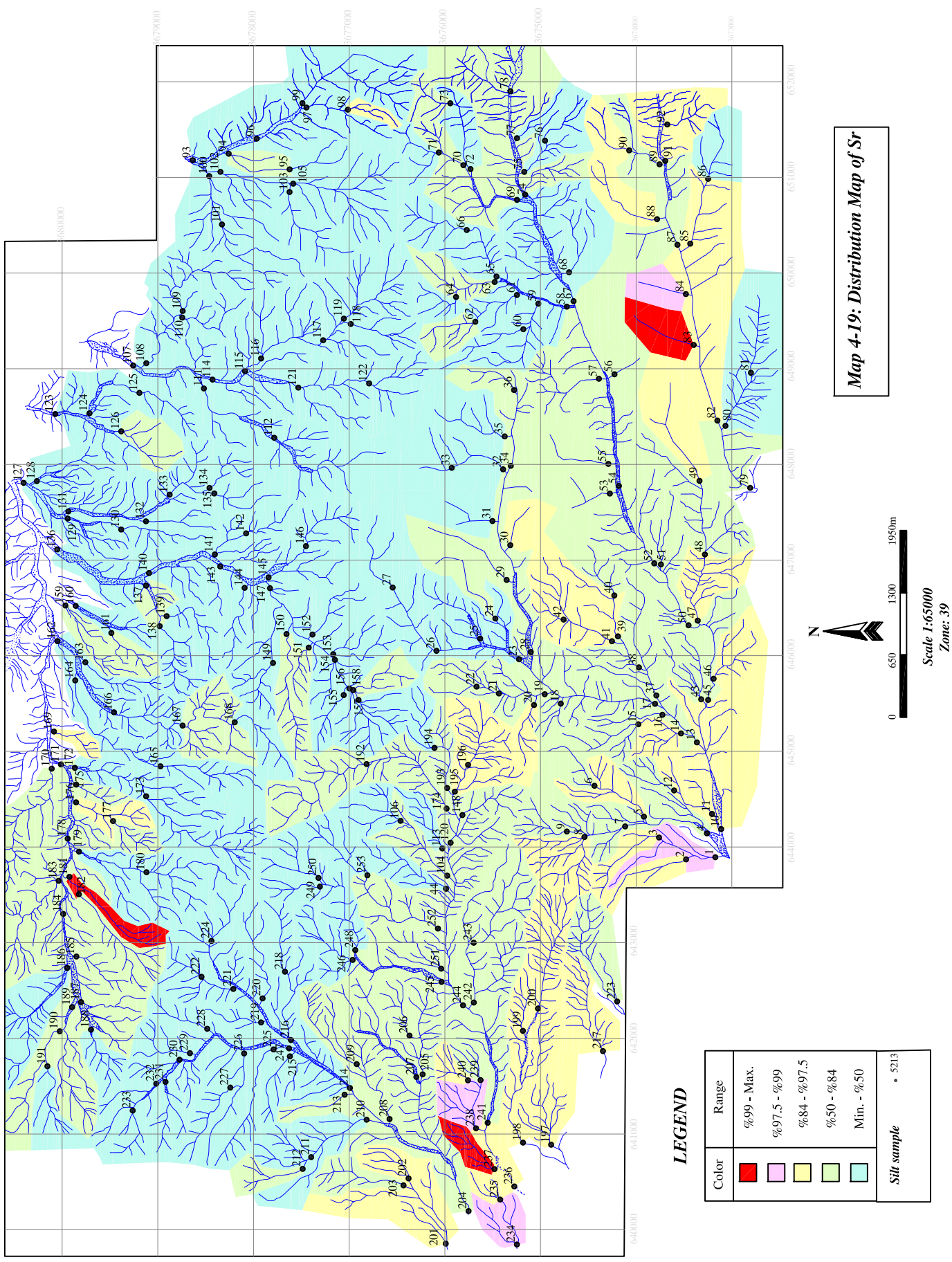
NASRAN
(Eastern north of Esfahan)



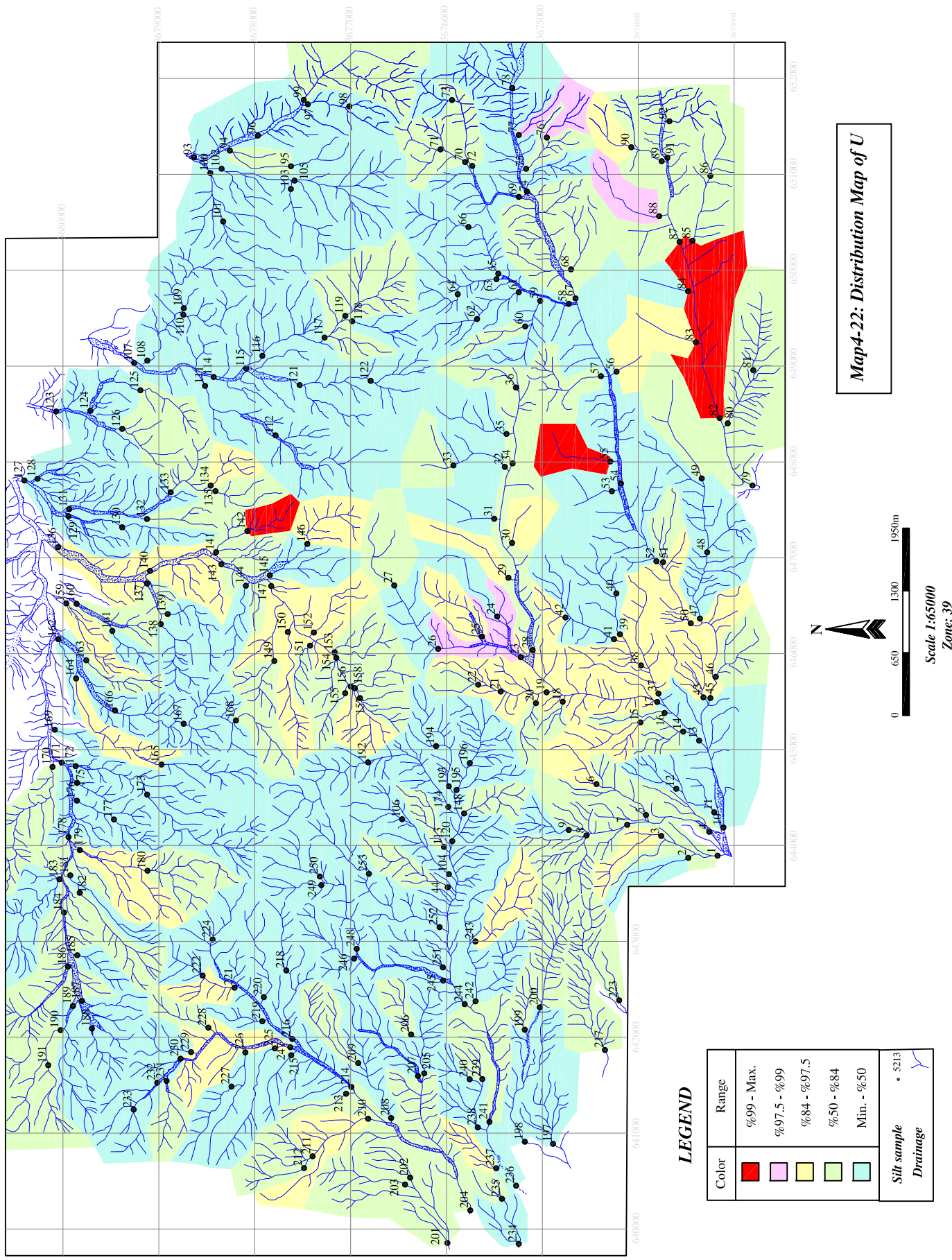
NASRAN
(Eastern north of Esfahan)



NASR AND
(Eastern north of Esfahan)



NASRAN
(Eastern north of Esfahan)



فصل ششم.....کنترل صحرایی..

(نقشه ۴-۲۳) - عنصر آهن: (نقشه ۴-۲۲)

میزان داده خام (ppm)	سنگ بالادرست	مختصات	درجه آنومالی	شماره نمونه
۹۷۸۰۰	توف، توفیت	651776	۱	3677489
۹۴۹۰۶	توف، گدازه آندزیتی، دیاباز، ماسه سنگ و کنگلومرا	646377	۱	3674760
۹۰۴۶۴	توف، گدازه آندزیتی، دیاباز، ماسه سنگ و کنگلومرا	640633	۱	3675480

(نقشه ۴-۲۴) - فاکتور اول (Be,Ce,Y,Rb,Bi,Mo,K,Ba,W)

بار فاکتوری	سنگ بالادرست	مختصات	درجه آنومالی	شماره نمونه
۳/۲۳	توف، توفیت	651776	۱	3677489
۲/۴۸	توف، توفیت	649468	۱	3676980
۲/۴۳	توف، توفیت	649297	۱	3677272

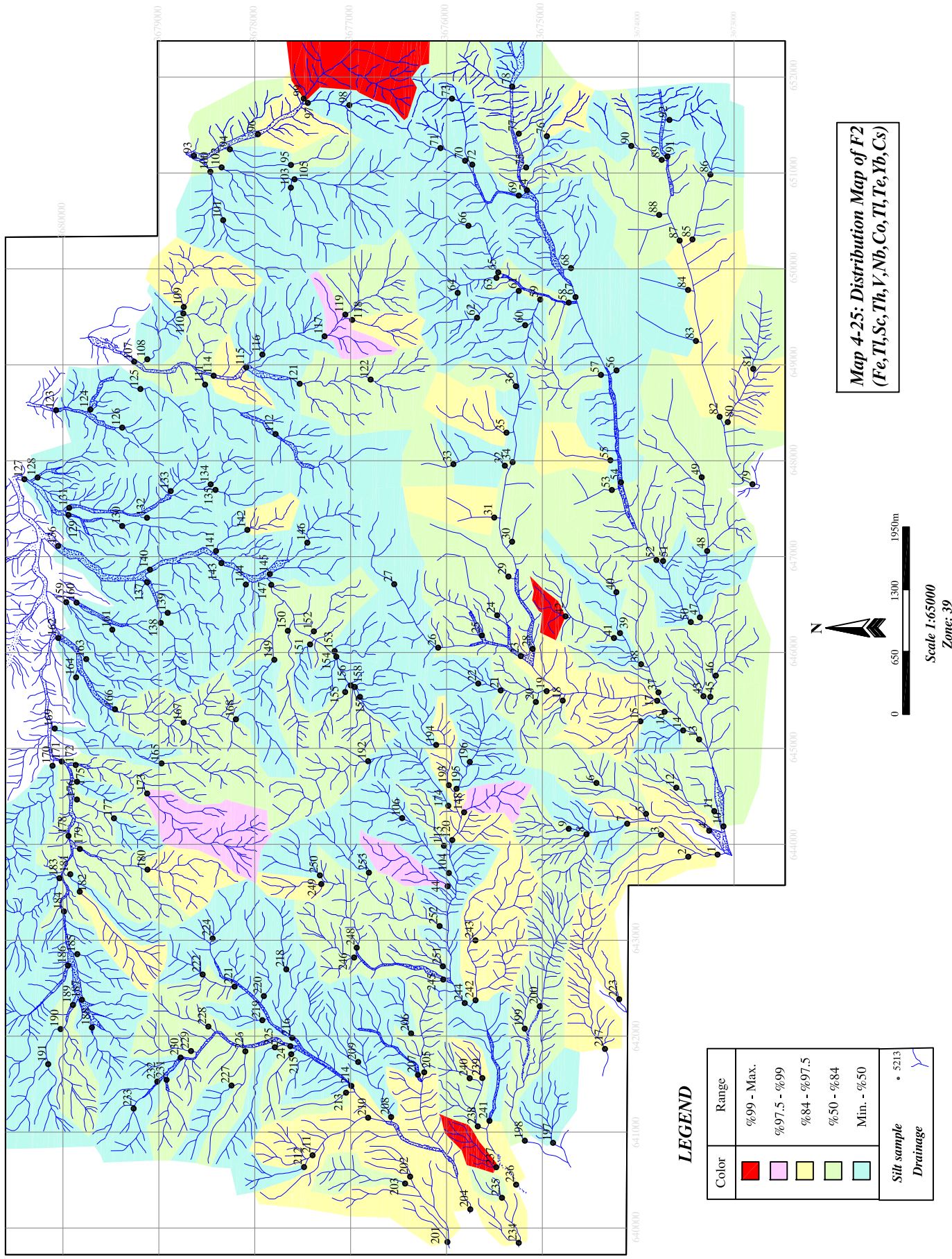
(نقشه ۴-۲۵) - فاکتور دوم: (Fe,Tl,Sc,Th,V,Nb,Co,Tl,Te,Yb,Cs)

بار فاکتوری	سنگ بالادرست	مختصات	درجه آنومالی	شماره نمونه
۳/۹۶	توف، گدازه آندزیتی، دیاباز، ماسه سنگ و کنگلومرا	646377	۱	3674760
۳/۴۹	توف، توفیت	651776	۱	3677489
۲/۹۳	توف، گدازه آندزیتی، دیاباز، ماسه سنگ و کنگلومرا	640633	۱	3675480

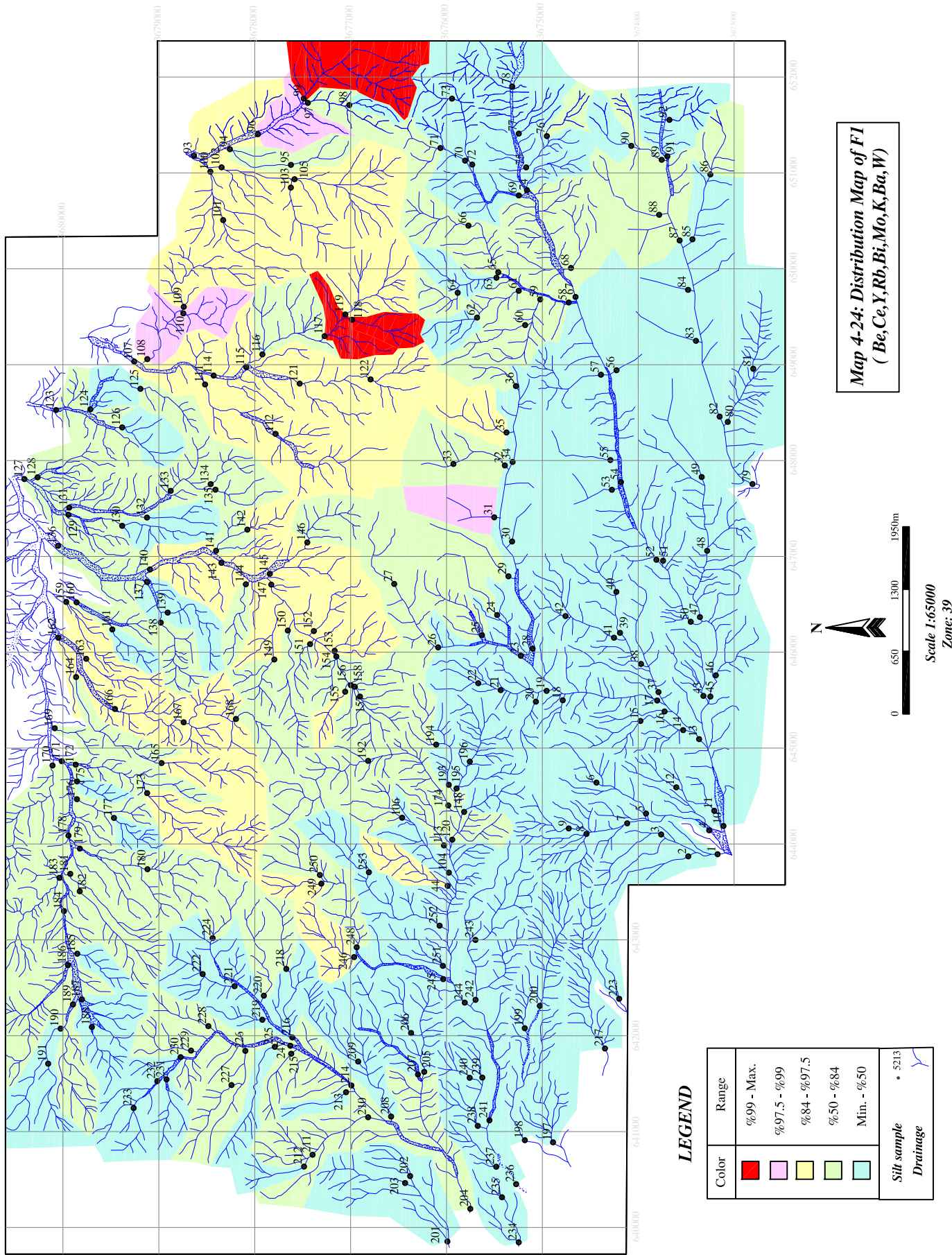
(نقشه ۴-۲۶) - فاکتور سوم: (Pb ,Zn ,Ag ,As ,Cd ,Cu ,Sb)

بار فاکتوری	سنگ بالادرست	مختصات	درجه آنومالی	شماره نمونه
۴/۹۶	توف، گدازه آندزیتی، دیاباز، ماسه سنگ و کنگلومرا	650563	۱	3673780
۳/۶۸	توف، توفیت، گدازه آندزیتی، دیاباز، ماسه سنگ و کنگلومرا	650008	۱	3674700
۳/۲۴	توف، توفیت، گرانودیوریت، کوارتزدیوریت، گدازه آندزیتی، دیاباز، ماسه سنگ و کنگلومرا	648458	۱	3673150

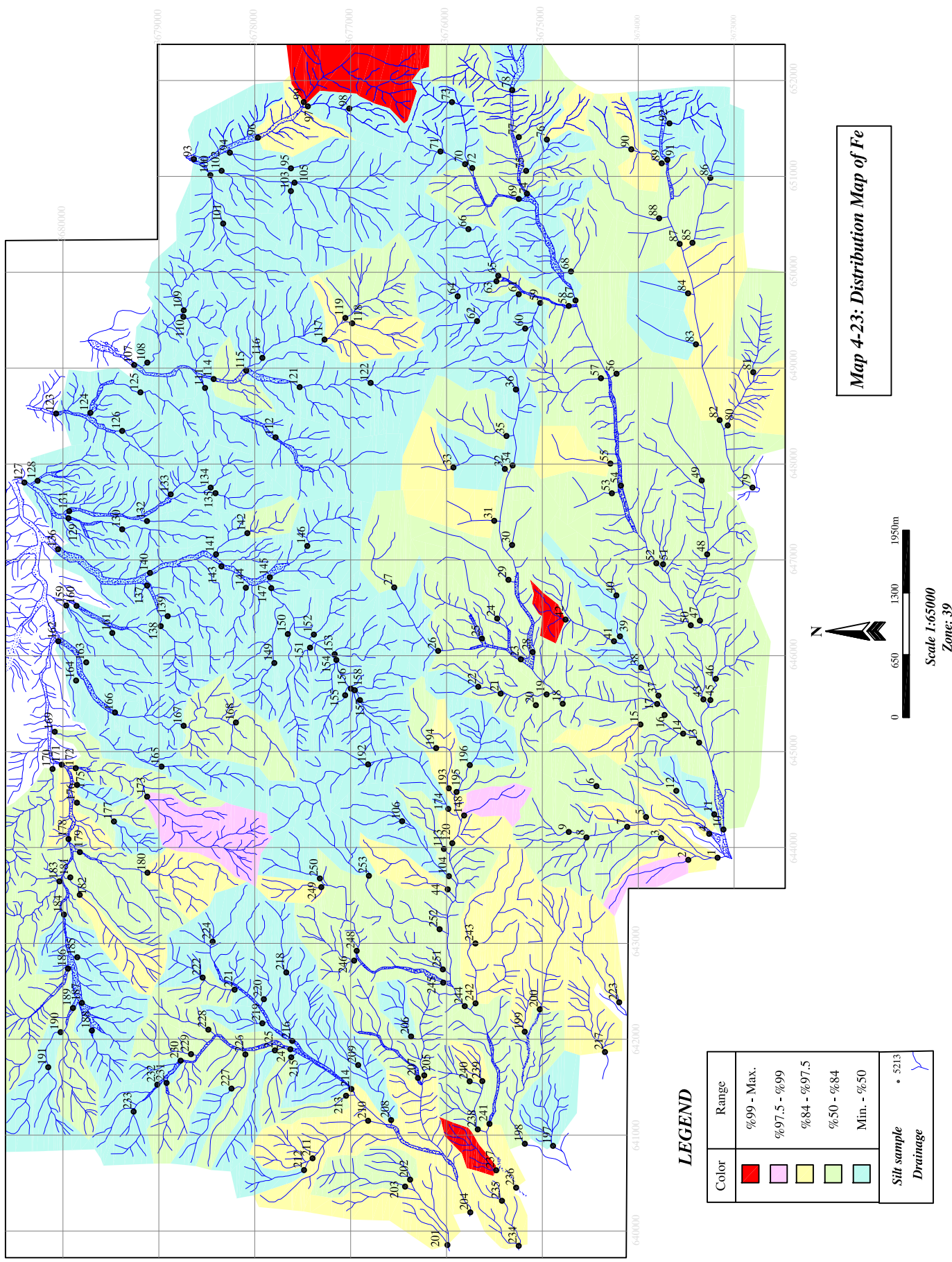
NASRAN
(Eastern north of Esfahan)



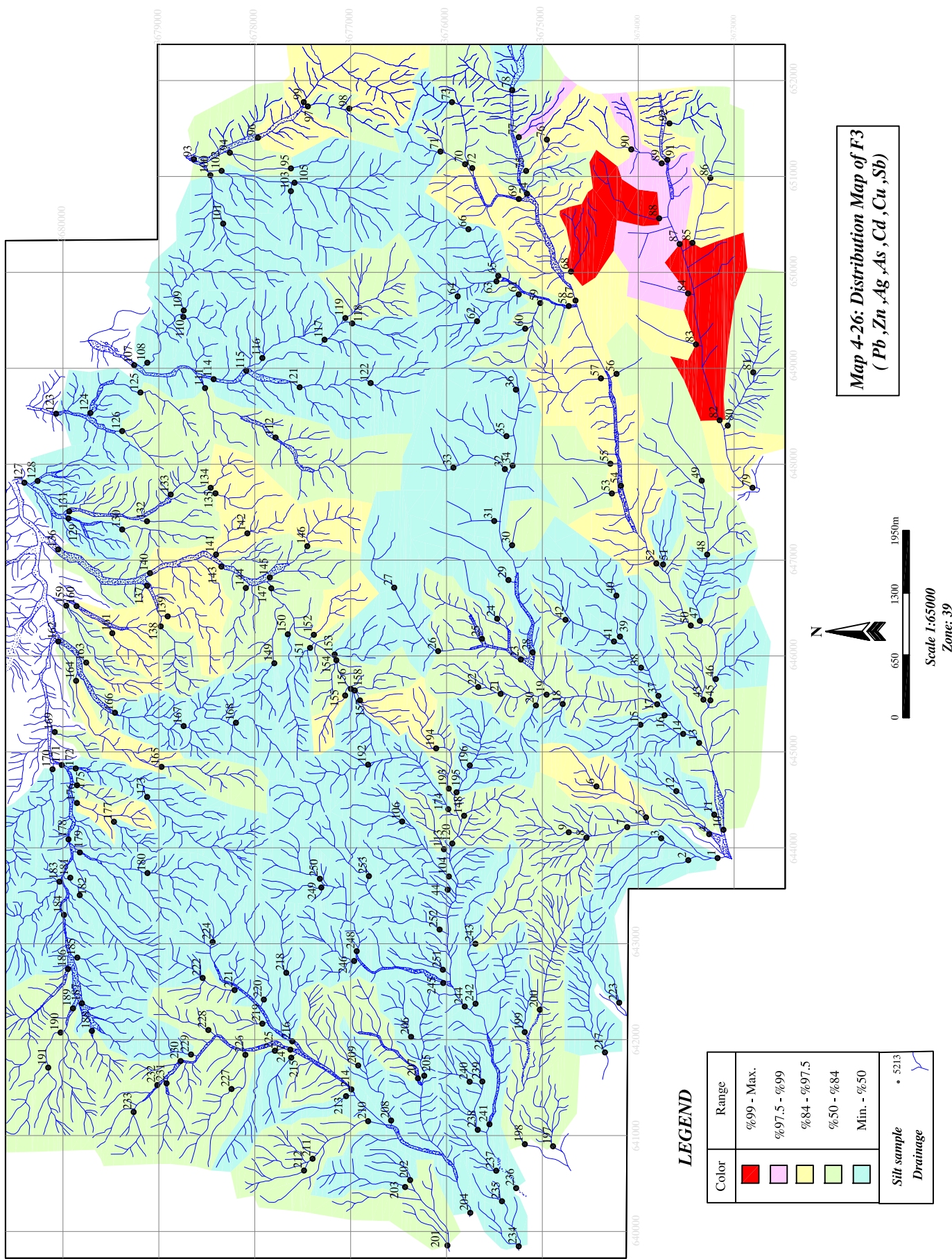
NASRAN
(Eastern north of Esfahan)



NASRAN
(Eastern north of Esfahan)



NASRAN
(Eastern north of Esfahan)



فصل ششم.....کنترل صحرایی..

(۲۷-۴) نقشه فاکتور چهارم (La,Mn,Ca,P)

شماره نمونه	درجه آنومالی	مختصات		سنگ بالادست	بارفاکتوری
۲۱۹	۱	3677920	642167	توف، توفیت	۲/۴۱
۲۴۶	۱	3676960	642820	توف، توفیت	۲/۱۱
۲۰۸	۱	3676578	641156.9	توف، توفیت	۲/۰۷

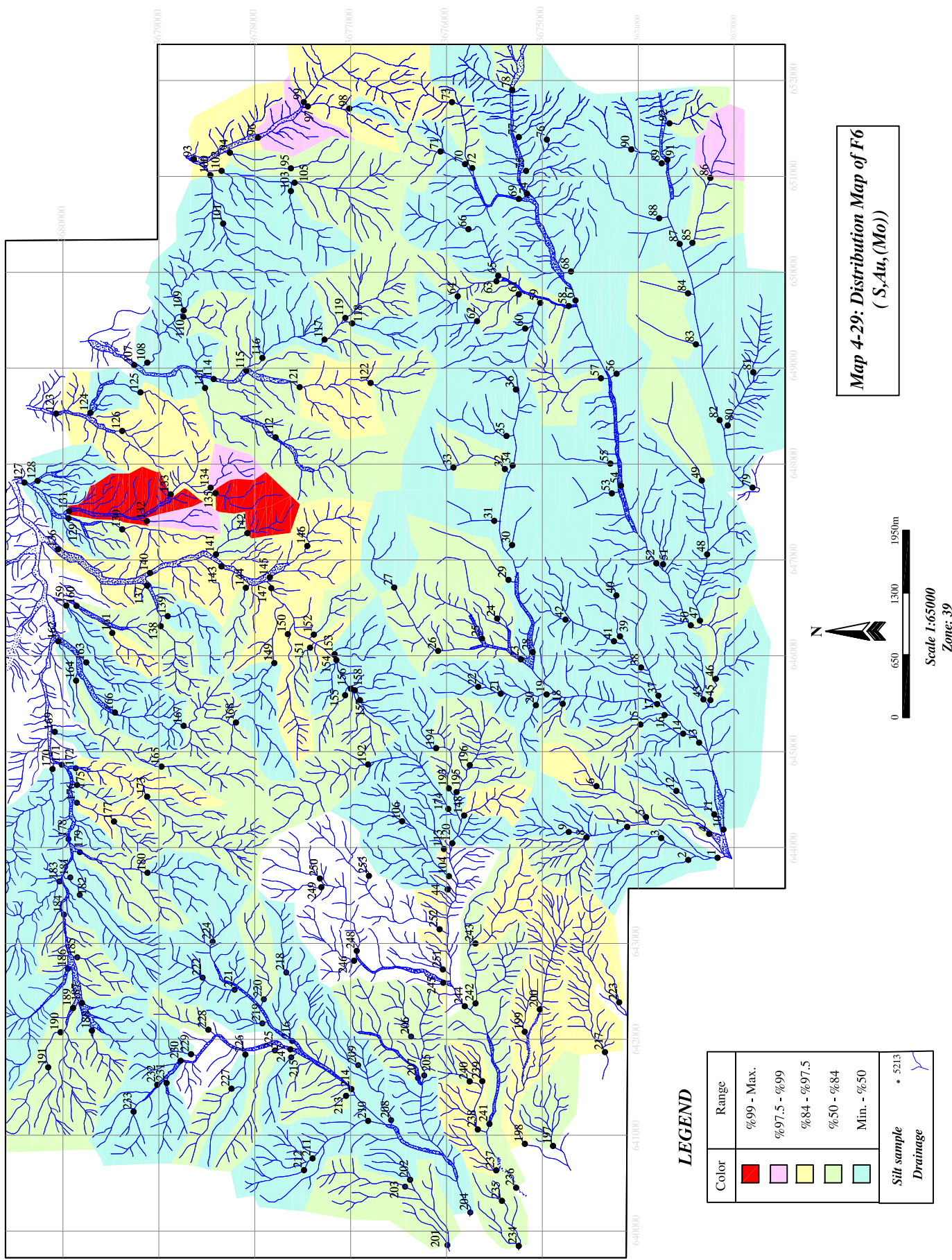
(۲۸-۴) نقشه فاکتور پنجم (Al,Zr)

شماره نمونه	درجه آنومالی	مختصات		سنگ بالادست	بارفاکتوری
۱۷۰	۱	3680109	644819	توف سنگی بلورین، توف برش، توف ماسه‌ای همراه با گدازه آندزیتی	۳/۳۷
۱۶۸	۱	3678200	645304	توف، توفیت	۲/۹۰
۱۷۱	۱	3680010	644864	توفیت، توف سنگی بلورین، توف برش، توف ماسه‌ای همراه با گدازه آندزیتی	۲/۶۸

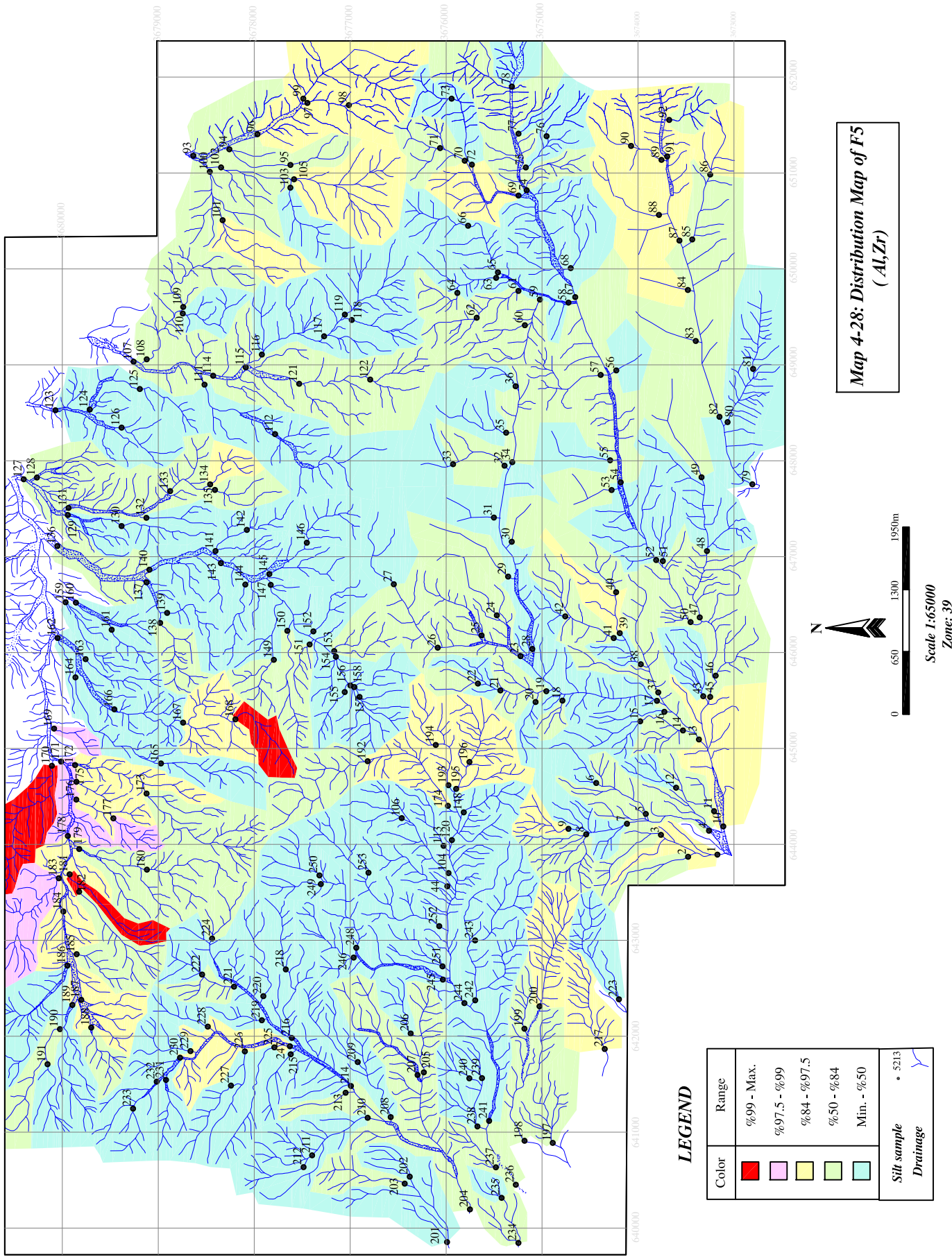
(۲۹-۴) نقشه فاکتور ششم (S,Au,(Mo))

شماره نمونه	درجه آنومالی	مختصات		سنگ بالادست	بارفاکتوری
۱۳۱	۱	3679940	647508	توف، توفیت، گرانودیوریت، کوارتزدیوریت	۳/۳۰
۱۴۲	۱	3678080	647279	توف، توفیت، گرانودیوریت، کوارتزدیوریت	۲/۴۸
۱۳۵	۱	3678410	647696	توف، توفیت، گرانودیوریت، کوارتزدیوریت	۲/۷۹

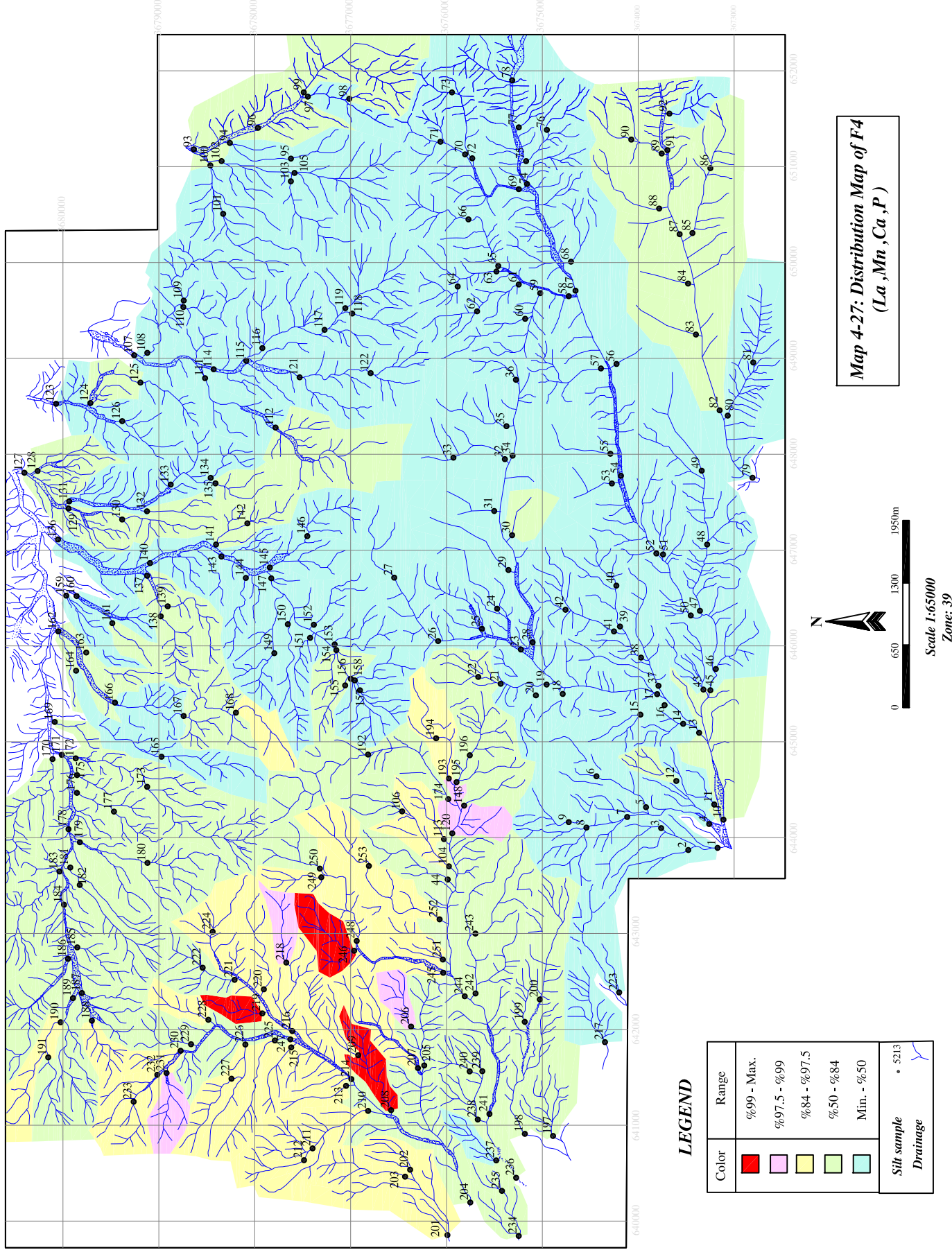
NASRAN
(Eastern north of Esfahan)



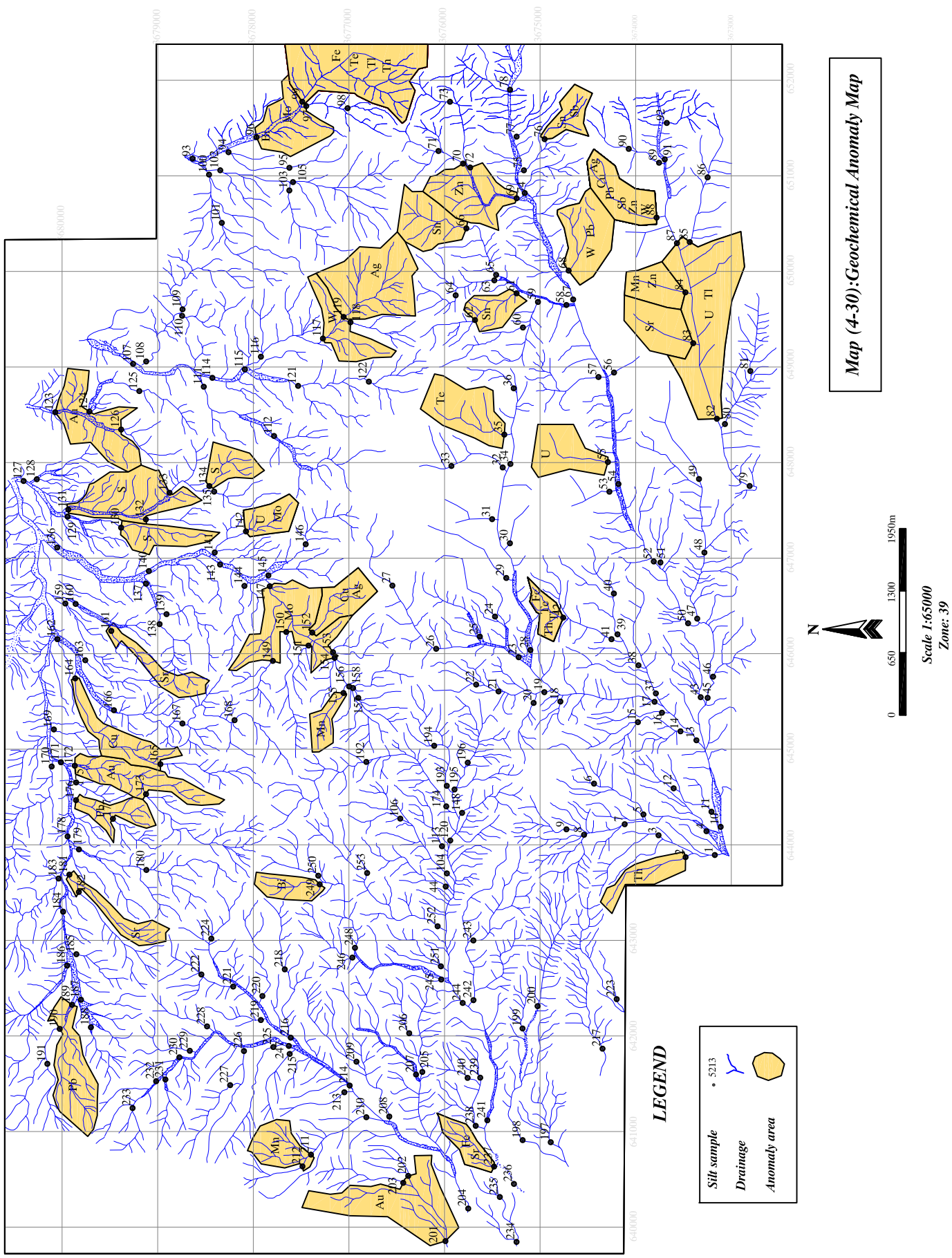
NASRAN
(Eastern north of Esfahan)



NASRAN
(Eastern north of Esfahan)



NASR AND
(Eastern north of Esfahan)



فصل ششم.....کنترل صحرایی.

فصل پنجم
کانی سنگین

۱-۵-مطالعات کانی سنگین

به دلیل اینکه در روش ژئوشیمیایی هر عنصر مستقیماً مورد آنالیز قرار می‌گیرد، توجهی به فاز پیدایش آن نمی‌شود، از اینرو هاله‌های ثانوی کشفشده نمی‌توانند همواره معرف کانی‌سازی باشند. بنابراین برای تمییزدادن آنومالی‌های واقعی (که در ارتباط با پدیده کانی‌سازی بوده و دارای مؤلفه اپی‌زنตیک است)، از انواع کاذب باید کنترل‌های دیگری انجام گردد. بطور کلی آنومالی‌های ژئوشیمیایی از انواع زیر می‌باشند:

۱- تأثیر سنگبالادست (مؤلفه سنگ‌زایی): بعضی از عناصر کانه ساز می‌توانند در شبکه کانی‌های دیگر نیز جای بگیرند. برای مثال Pb می‌تواند در شبکه فلدرسپات، Ni می‌تواند در شبکه الیوین و Zn می‌تواند در شبکه بیوتیت و آمفیبول قرار گیرد. بدین ترتیب در حالت عادی سنگ‌زایی، بیشتر با ورود این عناصر در ترکیب (یا محلول جامد) کانی‌های سازنده سنگ روبرو هستیم.

۲- هاله‌های ثانویه مرتبط با عوامل کانی‌سازی: بعضی از عناصر تشکیل کانی مستقل می‌دهند. برای مثال Pb می‌تواند سروزیت و Zn می‌تواند اسمیت زونیت و W می‌تواند شلیلت را به وجود آورد و حضور آنها در یک منطقه می‌تواند نشانه کانی‌سازی باشد.

۳- آلودگی‌های مختلف محیطی(صنعتی، کشاورزی و....)

۴- آلوده شدن نمونه ضمن نمونه برداری و آماده سازی

۵- ناهمگنی موجود در نمونه آنالیز شده

روش‌های مختلفی برای کنترل آنومالی‌ها وجود دارد که می‌توان به کمک آنها ارتباط این آنومالی‌ها را با کانی‌سازی رد یا تأیید کرد. این روش‌ها عبارتند از:

۱- نمونه برداری کانی سنگین از محدوده آنومالی‌ها

۲- نمونه برداری و بررسی مناطق دگرسان شده، سیستمهای درزه و شکاف پرشده توسط مواد معدنی و زون‌های مینرالیزه احتمالی

۳- بررسی شکستگی‌ها و گسل‌های محدوده

۵-۲- ردیابی کانی سنگین

با پیشرفت علم اکتشاف به ویژه اکتشافات ژئوشیمیایی در کشف کانسارهای ناشناخته و پنهان، روش پیجوبی کانی سنگین به عنوان یکی از کارآمدترین روش‌های اکتشافی مطرح است. ارزش مشاهدات کانی سنگین که جزء کانی‌های فرعی سازنده سنگ هستند و ممکن است در مناطق فاقد کانی‌سازی نیز پیدا شوند به اندازه عناصر ردیاب نیست، ولی می‌تواند معرف محیط و بستر مناسب وقوع کانی‌سازی باشد که برای مثال به چند مورد آن اشاره می‌شود.

- طلا: مشاهده ذرات طلا در کنسانتره کانی سنگین می‌تواند حاکی از مناطق امیدبخش به کانی‌سازی باشد.

- شلیت، کاسیتریت و کانی‌های فلزی دیگر: حضور کانی‌های شاخص این عناصر در نمونه‌های کانی سنگین می‌تواند فاکتور بسیار خوبی برای تأیید و ردیابی کانی‌سازی باشد.

- تورمالین: این کانی ممکن است حاصل آلتراسیون هیدروترمالی باشد. بنابراین راهنمای مناسبی برای تشخیص آلتراسیون و کانه‌زایی است. پیدایش تورمالین در بعضی از مجموعه‌های پاراژنزی مانند مولیبدنیت، آرسنوبیریت و فلوئورین می‌تواند به تعیین دقیق‌تر مناطق امیدبخش کمک کند.

- ایلمنیت: این کانی از نظر پیدایش به همراه مگنتیت در سنگ‌های آذرین بازیک و آلکالن دیده می‌شود. گاهًا نیز در پگماتیت‌ها حضور دارد. این کانی در نتیجه دگرسانی هیدروترمالی سنگ‌های آذرین به لوکوکسن تبدیل می‌شود.

- گارنت: که شامل یک گروه از کانی‌های است که اغلب در شرائط کن tact متوسط تشکیل می‌گردد. انواع گروسولاریت و آندرادیت، سیلیکات‌های کلسیم‌دار (دیوپسید و هدنبرژیت، والستونیت، اکتینولیت و کلریت) را در اسکارنها همراهی می‌کند. اغلب کانسارهای گارنت‌دار در تماس مagma‌های اسیدی با سنگ‌های دگرگونی تشکیل می‌شود، به‌ویژه در شرائطی که دگرگونی مذکور به صورت

فصل ششم.....کنترل صحرایی..
گزنولیت در سنگهای آذرین وجود دارد. با توجه به وجود چنین شرائط زمین‌شناسی در منطقه،
حضور این کانی در نمونه‌های کانی سنگین بعضی آنومالی‌ها به چشم می‌خورد.

۳-۵- طراحی و نمونه‌برداری کانی سنگین

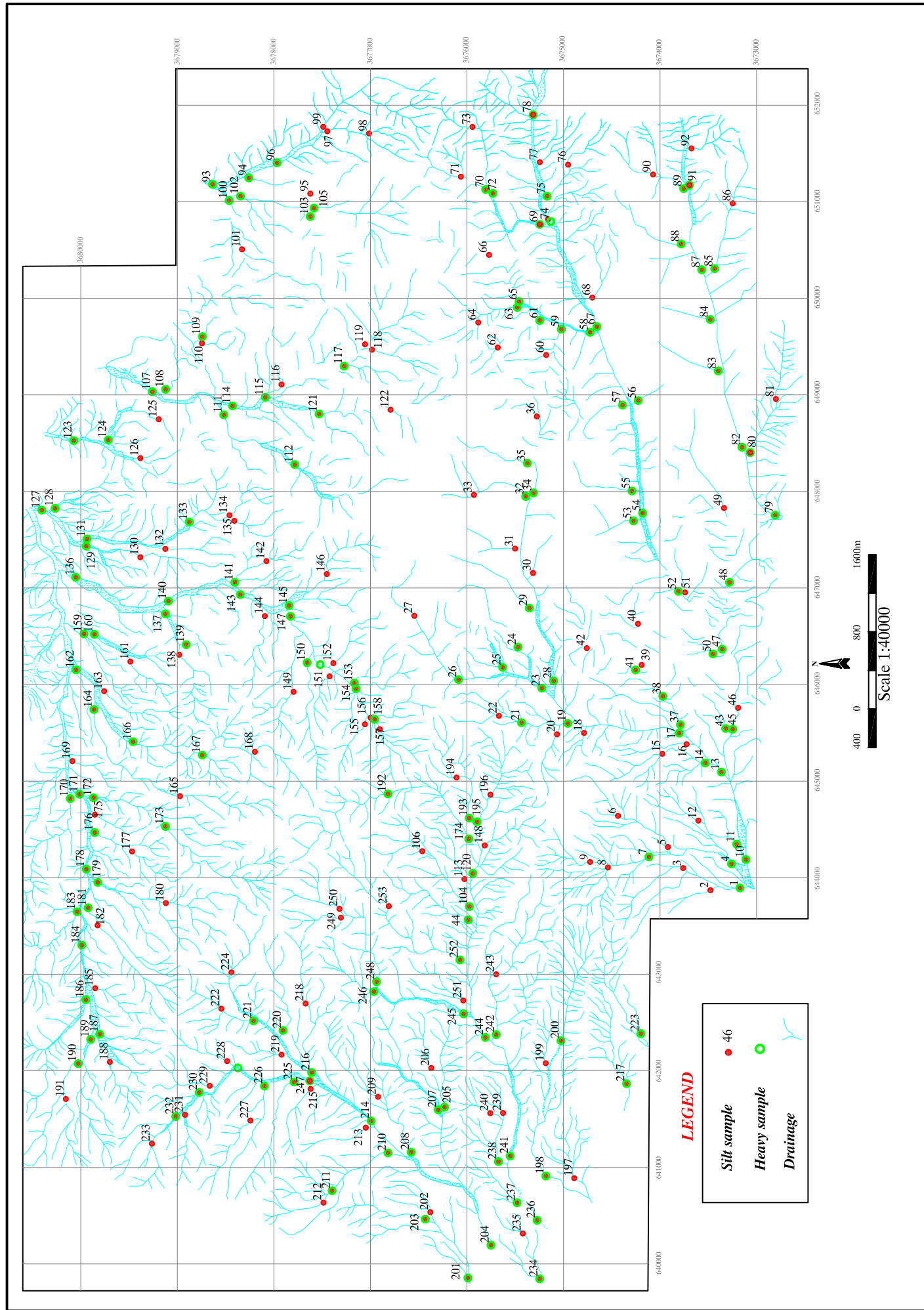
در اکتشافات ژئوشیمیایی مقدماتی به جهت وسعت زیاد منطقه (۲۵۰۰ کیلومتر)، فقط آنومالی‌های ژئوشیمیایی مورد کنترل آنومالی و برداشت نمونه کانی سنگین قرار می‌گیرد. در این محدوده سعی گردید تا کل حوضه آبریز نمونه‌برداری ژئوشیمیایی، تحت پوشش نمونه‌های کانی سنگین قرار گیرد.
بدین ترتیب خطاهای دو نمونه‌برداری توسط هم پوشش داده‌می‌شوند. در همین راستا همزمان با برداشت نمونه‌های ژئوشیمیایی، نمونه‌های کانی سنگین نیز برداشت گردید.

با توجه به وزن مخصوص بالای کانی‌های سنگین، سعی گردید که محل نمونه‌ها در مرز جدایش ارتفاعات با نقاط پست، محل پیچش آبراهه‌ها، محل اتصال آبراهه‌ها، گودال‌های آبراهه‌ای، جبهه مقابل جریان آب و بطور کلی هر محلی که احتمال کاهش سرعت جریان آب و برجای گذاشتن کانی‌های سنگین می‌رود، در نظر گرفته شود. پس از طراحی نمونه‌برداری، نمونه‌ها از عمق ۱۰ الی ۱۵ سانتیمتری به پایین بدون الک و در حجم ۴ الی ۵ لیتر برداشت گردیدند.

در نهایت در این پروژه تعداد ۱۳۹ نمونه کانی سنگین برداشت گردید، که در نقشه شماره (۱-۵)

محل آنها مشخص گردیده است.

Fig5-1: Heavy mineral Sample Location Map



۵-۴-آمادهسازی و مطالعه

در مرحله آمادهسازی، نمونه‌ها ابتدا گل‌شویی و سپس لاوک‌شویی می‌شود. بدین ترتیب بخش عمدۀ کانی‌های رسی و سبک حذف می‌گردد. سپس نمونه‌ها از مایع سنگین بروموفرم عبور داده می‌شوند تا بر اساس وزن مخصوص بخش‌های سبک و سنگین از یکدیگر جدا گردند. بخش‌های سبک با یگانی و بخش‌های سنگین پس از حجم‌سنگی مجدد توسط آهنربای دستی با شدت مغناطیسی‌های مختلف مورد جدایش قرار می‌گیرد که بر این اساس نمونه‌ها به ۳ بخش کانی‌های غیرمغناطیسی (MN)، کانی‌های مغناطیس ضعیف (AV) و کانی‌های مغناطیس قوی (AA) تقسیم‌بندی می‌شوند، که هر کدام جداگانه مطالعه می‌شود.

در مطالعه نمونه‌های کانی‌سنگین با میکروسکوپ بیناکولار تعداد هریک از ذرات کانی‌سنگین شمارش گردیده که با دانستن وزن مخصوص نمونه رسوب و کانی‌سنگین و حجم‌سنگی می‌توان مقدار آنها را طبق رابطه زیر به ppm و درصد تبدیل کرد.

$$= \frac{X.Y.B.D.10^6}{A.C.D'}$$

X: درصد کانی محاسبه شده

Y: حجم کانی سنگین پس از جدایش با بروموفرم

B: حجم نمونه باقیمانده پس از شستشو

D: وزن مخصوص کانی مورد محاسبه

D': وزن مخصوص رسوب آبرفتی

A: حجم اولیه نمونه

C: حجم انتخابی نمونه برای بروموفرم

بدیهی است اندازه دانه های مطالعه شده و نوع گردشده گرددگی کانی های سنگین سهم بسزایی در شناخت کانسارها و موقعیت آنها نسبت به محل نمونه برداری می تواند داشته باشد. جداول (۱-۵) نتایج حاصل از مطالعات کانی سنگین به همراه موقعیت جغرافیایی نمونه ها، مؤلفه آنومال در پردازش ژئوشیمیایی و شدت آنومالی هر نمونه را نشان می دهد.

جدول (۱-۵): مشخصات کانی های سنگین برداشت شده

کانی های مشاهده شده در مطابعه نمونه	سنگ بالادست	مشخصات	شماره نمونه
سرب طیبی، باریت و پیروولوژیت	توف، گیازه آندرزیتی، دیپیار، ماسه‌سنج و کیکلومرا	1 2 1 1	Th Cd Zn Sn
پیرومورفیت، میمیت و باریت	توف، گیازه آندرزیتی، دیپیار، ماسه‌سنج و کیکلومرا	1 2 1	Cd Zn Sn
گالان، سروزیت، پیرومورفیت، میمیت و باریت	توف، گیازه آندرزیتی، دیپیار، ماسه‌سنج، کیکلومرا و داسپیت	1 1 1	Fe Te
سروزیت، پیرومورفیت، میمیت و لفنتیت، ماسپیکوت، باریت و فلوروریت	توف، گیازه آندرزیتی، دیپیار، ماسه‌سنج و کیکلومرا	-	-
میمیت و باریت	توف، گیازه آندرزیتی، دیپیار، ماسه‌سنج و کیکلومرا	1 1	Te Fe
میمیت، لیتاڑ و باریت	توف، گیازه آندرزیتی، دیپیار، ماسه‌سنج و کیکلومرا	-	-
میمیت، باریت و فلوروریت	توف، گیازه آندرزیتی، دیپیار، ماسه‌سنج و کیکلومرا	-	-
میمیت و باریت	توف، گیازه آندرزیتی، دیپیار، ماسه‌سنج و کیکلومرا	-	-
گالان و باریت	توف، گیازه آندرزیتی، دیپیار، ماسه‌سنج و کیکلومرا	2	Cu
سروزیت، میمیت، باریت و فلوروریت	توف، گیازه آندرزیتی، دیپیار، ماسه‌سنج و کیکلومرا	2	Cu
لیتاڑ و باریت	توف، گیازه آندرزیتی، دیپیار، ماسه‌سنج و کیکلومرا	-	-
باریت و مالاکیت	توف، توفیت	-	-
گالان، میمیت، لیتاڑ و سرب طیبی	توف، گیازه آندرزیتی، دیپیار، ماسه‌سنج و کیکلومرا	2 2 2	W Ba Sn
پیرومورفیت، لیتاڑ و باریت	توف، گیازه آندرزیتی، دیپیار، ماسه‌سنج و کیکلومرا	2	W
لیتاڑ، باریت و مالاکیت	توف، توفیت	-	-
میمیت و باریت	توف، گیازه آندرزیتی، دیپیار، ماسه‌سنج و کیکلومرا	1	Te
میمیت، لیتاڑ و باریت	توف، گیازه آندرزیتی، دیپیار، ماسه‌سنج و کیکلومرا	-	-
میمیت و باریت	توف، گیازه آندرزیتی، دیپیار، ماسه‌سنج و کیکلومرا	1 1	Fe Te
باریت	توف، گیازه آندرزیتی، دیپیار، ماسه‌سنج و کیکلومرا	-	-
پیرومورفیت و باریت	توف، گیازه آندرزیتی، دیپیار، ماسه‌سنج و کیکلومرا	1	Fe
میمیت و باریت	توف، گیازه آندرزیتی، دیپیار، ماسه‌سنج و کیکلومرا	-	-
میمیت، باریت و طلا	توف، گیازه آندرزیتی، دیپیار، ماسه‌سنج، کیکلومرا و داسپیت و ریوداسپیت	2	Sn

جدول (۱-۵): مشخصات کانی های سنگین برداشت شده

کانی های مشاهده شده در مطالعه نمونه	سنگ بالادست	درجه آنومالی	عنصر (نموده سیلیت)	نموده های سیلیت	عنصر آنومالی	نموده نمونه	مشخصات نمونه کانی سنگین
بالارت	ترف، گکازه آندرزیتی، دیپار، ماسه سنگ و کلکولورا	-	-	-	-	3673250	645538 ZN-45
میثیت و بالارت	ترف، گکازه آندرزیتی، دیپار، ماسه سنگ و کلکولورا	-	-	-	-	3673360	646366 ZN-47
پیرومورفت و بالارت	ترف، گکازه آندرزیتی، دیپار، ماسه سنگ و کلکولورا	-	-	-	-	3673280	647058 ZN-48
میثیت، لیپاراژ و بالارت	ترف، گکازه آندرزیتی، دیپار، ماسه سنگ و کلکولورا	$\frac{1}{1}$	Hg	$\frac{1}{1}$	Hg	3673450	646318 ZN-50
کال، میثیت، لیپاراژ سرب طبیعی، بالارت، سپیناپر و مالاکیت	ترف، گکازه آندرزیتی، دیپار، ماسه سنگ و کلکولورا	$\frac{1}{1}$	Hg	$\frac{1}{1}$	Hg	3673810	646967 ZN-52
پیرومورفت، میثیت و بالارت	ترف، گکازه آندرزیتی، دیپار، ماسه سنگ و کلکولورا	1	Hg	1	Hg	3674270	647695 ZN-53
میثیت، لیپاراژ، بالارت و فلوروریت	ترف، گکازه آندرزیتی، دیپار، ماسه سنگ و کلکولورا	$\frac{2}{2}$	Ag	$\frac{2}{2}$	Ag	3674180	647775 ZN-54
کال، پیرومورفت، میثیت، سرب طبیعی و بالارت	ترف، گکازه آندرزیتی، دیپار، ماسه سنگ و کلکولورا	$\frac{1}{2}$	Pb	$\frac{1}{2}$	Zn	3674290	648005 ZN-55
سروزیت، پیرومورفت، میثیت، والنیت، ماسیکوت و بالارت	ترف، گکازه آندرزیتی، دیپار، ماسه سنگ و کلکولورا	-	-	-	-	3674230	648942 ZN-56
کال، سروزیت، پیرومورفت، میثیت، سرب طبیعی، والانیت و بالارت	ترف، گکازه آندرزیتی، دیپار، ماسه سنگ و کلکولورا	-	-	-	-	3674390	648895 ZN-57
سروزیت، پیرومورفت، میثیت، سرب طبیعی و والانیت، والنیت، بالارت، پیروزیت و مالاکیت	ترف، گکازه آندرزیتی، دیپار، ماسه سنگ و کلکولورا	1	Sn	1	Sn	3674720	649649 ZN-58
سروزیت، پیرومورفت، میثیت، والانیت، اسفلاریت و بالارت	ترف، تقویت	-	-	-	-	3675020	649680 ZN-59
باریت و مالاکیت	ترف، تقویت	1	Sn	1	Sn	3675250	649771 ZN-61
پیرومورفت، بالارت، طلوزیت و مالاکیت	ترف، تقویت	-	-	-	-	3675480	649907 ZN-63
میثیت و بالارت	ترف، گکازه آندرزیتی، دیپار، ماسه سنگ و کلکولورا	$\frac{1}{2}$	Zn	$\frac{1}{2}$	Zn	3675250	650765 ZN-69
پیرومورفت، میثیت، لیپاراژ و بالارت	ترف، تقویت	$\frac{2}{2}$	Ag	$\frac{2}{2}$	Ag	3675810	651128 ZN-70
میثیت و بالارت	ترف، تقویت	-	-	-	-	3675730	651087 ZN-72
میثیت و بالارت	ترف، گکازه آندرزیتی، دیپار، ماسه سنگ، کلکولورا، داسپیت و ریوداسپیت	-	-	-	-	3675130	650796 ZN-74
پیرومورفت، میثیت و بالارت	ترف، گکازه آندرزیتی، دیپار، ماسه سنگ و کلکولورا	$\frac{1}{1}$	As	$\frac{1}{1}$	As	3675170	651058 ZN-75
کال، سروزیت، پیرومورفت، والنیت و بالارت	ترف، گکازه آندرزیتی، دیپار، ماسه سنگ و کلکولورا	$\frac{1}{1}$	Sn	$\frac{1}{1}$	Sn	3674952	651384 ZN-76
سروزیت، پیرومورفت، بالارت و مالاکیت	ترف، گکازه آندرزیتی، دیپار، ماسه سنگ و کلکولورا	$\frac{1}{1}$	Sb	$\frac{1}{1}$	Sb	3674952	651384 ZN-76
ترف، گکازه آندرزیتی، دیپار، ماسه سنگ، کلکولورا، داسپیت و ریوداسپیت	ترف، گکازه آندرزیتی، دیپار، ماسه سنگ و کلکولورا	-	-	-	-	3675310	651901 ZN-78
ترف، گکازه آندرزیتی، دیپار، ماسه سنگ، کلکولورا، داسپیت و ریوداسپیت	ترف، گکازه آندرزیتی، دیپار، ماسه سنگ، کلکولورا، داسپیت و ریوداسپیت	$\frac{2}{2}$	As	$\frac{1}{1}$	Zn	3672810	647755 ZN-79
ترف، گکازه آندرزیتی، دیپار، ماسه سنگ، کلکولورا	ترف، گکازه آندرزیتی، دیپار، ماسه سنگ، کلکولورا	-	-	-	-	3673070	648403 ZN-80

جدول (۵-۱): مشخصات کانی های سنگین پرداشت شده

نامه نمونه	مشخصات نمونه کانی سنگین	نامه نمونه سیلیت	دروج آنومالی	عنصر آنومالی	نامه نمونه های مسیلت	نامه نمونه کانی های مشاهده شده در مطالعه نمونه
ZN-82	As	2	Zn	1	Zn	توف، گلزاره آندزنتی، دیباخ، ماسه‌سنگ، کنگلومرا، داسپیت و ریو داسپیت
ZN-83	Mn	1	U	1	U	گالان، سرودزت، پیزو و مورفیت، میمیتیت، والنیت، ماسیکوت و باریت
ZN-84	Sr	1	Mn	1	Mn	گالان، پیزو و مورفیت، میمیتیت و باریت
ZN-85	Sr	1	Zn	1	Zn	گالان، پیزو و مورفیت، میمیتیت و باریت
ZN-87	Mn	1	As	2	As	پیزو و مورفیت، میمیتیت، لیتاڑ، سرب طبیعی و باریت
ZN-88	Pb	1	Ag	1	Ag	پیزو و مورفیت، میمیتیت، لیتاڑ، سرب طبیعی و زانادنیت و باریت
ZN-89	Cu	1	Cu	1	Cu	پیزو و مورفیت، میمیتیت، لیتاڑ، سرب طبیعی و زانادنیت و باریت
ZN-91	Sb	1	Zn	1	Zn	پیزو و مورفیت، میمیتیت، لیتاڑ، فلوروریت و باریت
ZN-93	W	1	W	1	W	پیزو و مورفیت، میمیتیت، لیتاڑ و باریت
ZN-96	As	1	As	1	As	پیزو و مورفیت، میمیتیت، لیتاڑ و باریت
ZN-100	Pb	1	As	1	As	پیزو و مورفیت، میمیتیت، لیتاڑ و باریت
ZN-102	Ag	1	As	1	As	پیزو و مورفیت، میمیتیت، لیتاڑ و باریت
ZN-103	Cu	1	As	1	As	پیزو و مورفیت، میمیتیت، لیتاڑ و باریت
ZN-104	Bi	1	Bi	1	Bi	پیزو و مورفیت، میمیتیت، لیتاڑ و باریت
ZN-105	Mo	2	Bi	1	Bi	پیزو و مورفیت، میمیتیت، لیتاڑ و فلوروریت
ZN-106	Mo	2	Mo	2	Mo	پیزو و مورفیت، میمیتیت، لیتاڑ، فلوروریت و پیزو اولوریت
ZN-107	-	-	-	-	-	گراندیبوریت، کوارتز دیورت، توف و توپیت
ZN-108	-	-	-	-	-	گراندیبوریت، کوارتز دیورت، توف و توپیت
ZN-109	-	-	-	-	-	گراندیبوریت، کوارتز دیورت، توف و توپیت
ZN-110	-	-	-	-	-	گراندیبوریت، کوارتز دیورت، توف و توپیت
ZN-111	-	-	-	-	-	گراندیبوریت، کوارتز دیورت، توف و توپیت
ZN-112	-	-	-	-	-	گراندیبوریت، کوارتز دیورت، توف و توپیت
ZN-113	-	-	-	-	-	گراندیبوریت، کوارتز دیورت، توف و توپیت
ZN-114	-	-	-	-	-	گراندیبوریت، کوارتز دیورت، توف و توپیت
ZN-115	-	-	-	-	-	گراندیبوریت، کوارتز دیورت، توف و توپیت

جدول (۵-۱) مشخصات کانی های سنتگین بروداشت شده

شماره نموده	محخصات نموده کانی سنگین	عناصر آنومالی	درجه آنومالی	نموده نموده	نموده نموده
کانی های مشاهده شده در مطالعه نموده					
میهنت، باریت و فلورورت	گراندیدورت، کوارتز دیورت، توپ و توپفت	Sn	2	Sn	ZN-108
میهنت، سرب طبیعی، باریت و فلورورت	گراندیدورت، کوارتز دیورت، توپ و توپفت	Sn	3	Sn	ZN-109
گالن، پیرومورفیت، میهنت، لیتاڑ، باریت، فلورورت، مولیبدنیت و مالاکیت	گراندیدورت، کوارتز دیورت، توپ و توپفت	-	-	3678520	648794 ZN-111
پیرومورفیت، باریت، فلورورت، شناپت و مالاکت	گراندیدورت، کوارتز دیورت، توپ و توپفت	-	-	3677780	648278 ZN-112
گالن، پیرومورفیت، باریت و فلورورت	گراندیدورت، کوارتز دیورت، توپ و توپفت	2	Ba	3678430	648886 ZN-114
پیرومورفیت، میهنت و باریت	گراندیدورت، کوارتز دیورت، توپ و توپفت	2	Ba		
		1	W	3678090	648975 ZN-115
		2	Mo		
		1	Ag		
پیرومورفیت، میهنت و باریت	توپ و توپفت	2	Ba		
		1	W	3677720	649298 ZN-117
		2	Mo		
		1	Ag		
پیرومورفیت، میهنت و فلورورت	توپ و توپفت	-	-	3677540	648805 ZN-121
میهنت باریت و فلورورت	توپ و توپفت	-	-	3679710	648534 ZN-124
باریت و طلا	گراندیدورت، کوارتز دیورت، توپ و توپفت	2	Mo		
میهنت و باریت	گراندیدورت، کوارتز دیورت، توپ و توپفت	2	Au	3680400	647807 ZN-127
سروزت، پیرومورفیت، میهنت، لانادرینیت، ماسکوکوت و باریت	گراندیدورت، کوارتز دیورت، توپ و توپفت	1	S		
پیرومورفیت و باریت	گراندیدورت، کوارتز دیورت، توپ و توپفت	1	S	3680260	647826 ZN-128
پیرومورفیت و لانادرینیت	گراندیدورت، کوارتز دیورت، توپ و توپفت	1	S	3679940	647433 ZN-129
پیرومورفیت و باریت	گراندیدورت، کوارتز دیورت، توپ و توپفت	2	Mo	3679930	647509 ZN-131
پیرومورفیت و لانادرینیت	گراندیدورت، کوارتز دیورت، توپ و توپفت	2	Mo	3678880	647684 ZN-133
پیرومورفیت، میهنت و باریت	گراندیدورت، کوارتز دیورت، توپ و توپفت	1	S		
پیرومورفیت، میهنت، لیتاڑ و باریت	پیرومورفیت، میهنت، لیتاڑ و باریت	-	-	3680050	647111 ZN-136
پیرومورفیت، سرب طبیعی، باریت و فلورورت	پیرومورفیت، سرب طبیعی، باریت و فلورورت	-	-	3679120	646733 ZN-137
گالن، سروزت، پیرومورفیت، میهنت، لیتاڑ، باریت، فلورورت و مالاکت	گالن، سروزت، پیرومورفیت، میهنت، لیتاڑ، باریت، فلورورت و مالاکت	2	Ag		
		2	W		
		1	U	3678400	647059 ZN-141
		1	Mo		
		1	Ba		
		1	Cu		
		1	Mo	3678350	646931 ZN-143
		1	Ag		

جدول (۵-۱): مشخصات کانی های سنگین برداشت شده

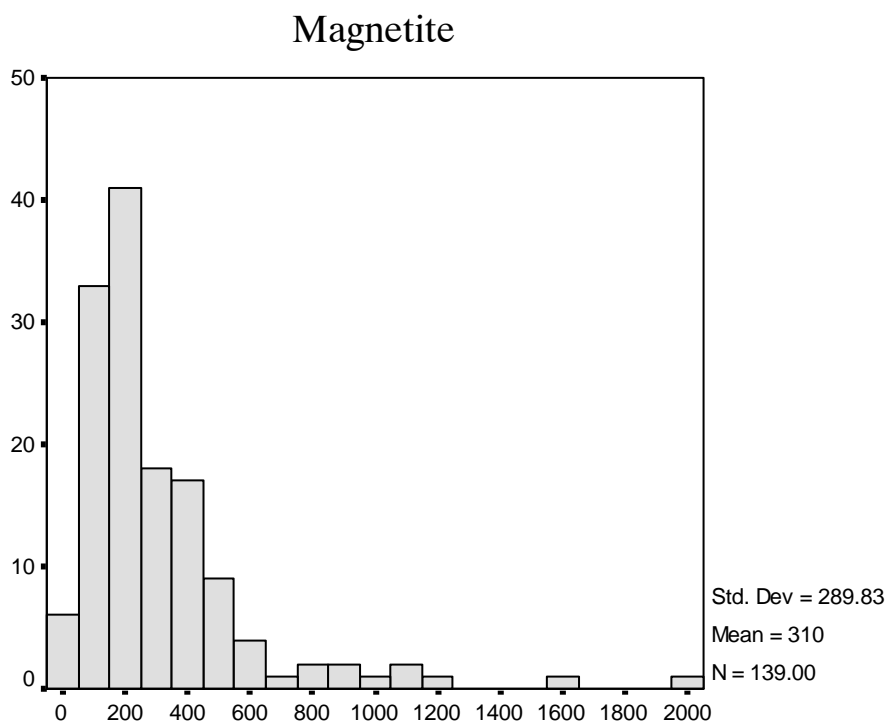
کانی های مشاهده شده در مطالعه نمونه	سنگ بالادست	مشخصات نمونه کانی سنگین	نموده های سپلیت	درجه انomalی	عنصر (نمونه سپلیت)	نامهار آنومال	شماره نمونه
کانی، سروزیت، پیرومورفیت، میمیتیت، و اندانیت، ماسیکوت، باریت، پیرومولوزیت و مالاکیت	گراندیدورت، کوارتز دیدورت، توپ و توپیت	گراندیدورت، کوارتز دیدورت، توپ و توپیت	2	Cu	3677840	646819	ZN-145
کانی، سروزیت، پیرومورفیت، میمیتیت، ایتاڑا، باریت، فلوئوریت و مالاکیت	بیرونیورفت، میمیتیت، باریت و فلوئوریت	گراندیدورت، کوارتز دیدورت، توپ و توپیت	1	Cu	3677830	646703	ZN-147
باریت	توپ و توپیت	توپ و توپیت	1	Mn	3677055	645590	ZN-155
بیرونیورفت، میمیتیت، ایتاڑا و باریت	توپ و توپیت	توپ و توپیت	1	Pb	-	3679970	646525
پیرومورفیت، میمیتیت، باریت و فلوئوریت	توپ و توپیت	توپ و توپیت	-	-	-	3679860	646521
کانی، سروزیت، باریت، پیرومولوزیت و مالاکیت	توپ و توپیت	توپ و توپیت	1	Cu	3679460	645409	ZN-160
بیرونیورفت، میمیتیت و مالاکیت	توپ و توپیت	توپ و توپیت	2	Au	3680050	646142	ZN-162
باریت	بیرونیورفت، میمیتیت و باریت	بیرونیورفت، میمیتیت و باریت	1	Cu	3679860	645746	ZN-164
پیرومورفیت، میمیتیت و باریت	بیرونیورفت، میمیتیت و باریت	بیرونیورفت، میمیتیت و باریت	2	Au	3678740	645270	ZN-167
پیرومولوزیت و باریت	توپ	توپ	-	-	3680110	644819	ZN-170
پیرومولوزیت، باریت و پیرومولوزیت	توپ و توپیت	توپ و توپیت	1	Au	3680010	644864	ZN-171
کانی، سروزیت، پیرومورفیت، میمیتیت، اندانیت و باریت	بیرونیورفت، میمیتیت، اندانیت و باریت	بیرونیورفت، میمیتیت، اندانیت و باریت	2	Cu	3679870	644827	ZN-172
میمیتیت، ایتاڑا و باریت	توپ و توپیت	توپ و توپیت	-	-	3679120	644530	ZN-173
کانی، پیرومورفیت و باریت	توپ و توپیت	توپ و توپیت	-	-	3675980	644402	ZN-174
پیرومولوزیت و باریت	توپ و توپیت	توپ و توپیت	1	Pb	3679850	644467	ZN-176
میمیتیت و باریت	توپ و توپیت	توپ و توپیت	1	Sr	3679940	644088	ZN-178
پیرومورفیت، میمیتیت و باریت	توپ و توپیت	توپ و توپیت	2	Cu	3679820	643952	ZN-179
پیرومورفیت و باریت	توپ و توپیت	توپ و توپیت	1	Sr	3679920	643688	ZN-181
پیرومولوزیت و باریت	توپ و توپیت	توپ و توپیت	-	-	3680040	643647	ZN-183
سروزیت، پیرومورفیت و مالاکیت	توپ و توپیت	توپ و توپیت	1	Pb	3679980	643275	ZN-184
پیرومورفیت، میمیتیت و باریت	توپ و توپیت	توپ و توپیت	-	-	3679950	642720	ZN-186
باریت و فلوئوریت	توپ و توپیت	توپ و توپیت	1	Pb	3679900	642326	ZN-189
پیرومورفیت، میمیتیت و باریت	توپ و توپیت	توپ و توپیت	-	-	3676820	644867	ZN-192

جدول (۵-۱) مشخصات کانی های سنتگین پرداشت شده

شماره نموده	محضهات نموده کانی سنگین	نمودهای سلیمان	عناصر آنومال	درجه آنومالی	سک با الادست	کانی های مشاهده شده در مطالعه نموده
ZN-193	-	-	-	3675980	644617	پیزومورفیت و باریت
ZN-195	-	-	-	3675900	644579	پیزومورفیت، میهنت و لئینت و باریت
ZN-198	-	-	-	3675180	640902	پیزومورفیت، میهنت و باریت
ZN-200	-	-	-	3675030	642312	پیزومورفیت، میهنت و باریت
ZN-201	Au	3675990	639854	توف و توفیت	گازه آنارشی دیابار ماسه سنگ و کگالومرا	پیزومورفیت، میهنت و باریت
ZN-203	-	3676430	640463	توف و توفیت، داسیست و ریودا داسیست	گازه آنارشی دیابار ماسه سنگ و کگالومرا	پیزومورفیت، میهنت و باریت
ZN-204	-	3675750	640194	توف، گازه آنارشی، دیابار ماسه سنگ، کگالومرا داسیست و ریودا داسیست	گازه آنارشی دیابار ماسه سنگ، کگالومرا داسیست و ریودا داسیست	پیزومورفیت، میهنت و باریت
ZN-205	-	3676230	641619	توف، گازه آنارشی، دیابار ماسه سنگ، کگالومرا داسیست و ریودا داسیست	گازه آنارشی دیابار ماسه سنگ، کگالومرا داسیست و ریودا داسیست	پیزومورفیت، میهنت و باریت
ZN-207	-	3676300	641595	توف و توفیت	گازه آنارشی دیابار ماسه سنگ و کگالومرا	پیزومورفیت، میهنت و باریت
zn-208	-	3676580	641157	توف، توفیت، داسیست و ریودا داسیست	گازه آنارشی دیابار ماسه سنگ و کگالومرا	پیزومورفیت، میهنت و باریت
zn-210	Mn	3676820	641149	توف، توفیت و ریودا داسیست	گازه آنارشی دیابار ماسه سنگ و کگالومرا	پیزومورفیت، میهنت و باریت
ZN-211	Mn	3677400	640758	توف و توفیت	گازه آنارشی دیابار ماسه سنگ و کگالومرا	پیزومورفیت، میهنت و باریت
ZN-212	-	3677486	640633	توف و توفیت	گازه آنارشی دیابار ماسه سنگ و کگالومرا	پیزومورفیت، میهنت و باریت
ZN-214	-	3676990	641481	توف، توفیت، داسیست و ریودا داسیست	گازه آنارشی دیابار ماسه سنگ و کگالومرا	پیزومورفیت، میهنت و باریت
ZN-217	-	3674350	641864	توف و توفیت	گازه آنارشی دیابار ماسه سنگ و کگالومرا	پیزومورفیت، میهنت و باریت
ZN-220	-	3677900	642418	توف و توفیت	گازه آنارشی دیابار ماسه سنگ و کگالومرا	پیزومورفیت، میهنت و باریت
ZN-221	-	3678210	642517	توف و توفیت	گازه آنارشی دیابار ماسه سنگ و کگالومرا	پیزومورفیت، میهنت و باریت
ZN-223	-	3674200	642385	توف و توفیت	گازه آنارشی دیابار ماسه سنگ و کگالومرا	پیزومورفیت، میهنت و باریت
ZN-225	Au	367790	641884	توف و توفیت	گازه آنارشی دیابار ماسه سنگ و کگالومرا	پیزومورفیت و باریت
ZN-228	-	3678370	642030	توف و توفیت	گازه آنارشی دیابار ماسه سنگ و کگالومرا	پیزومورفیت و باریت
ZN-230	-	3678770	641777	توف و توفیت	گازه آنارشی دیابار ماسه سنگ و کگالومرا	پیزومورفیت و باریت
ZN-232	-	3679020	641526	توف و توفیت	گازه آنارشی دیابار ماسه سنگ و کگالومرا	پیزومورفیت، میهنت و باریت
ZN-234	-	3675250	639841	توف، گازه آنارشی دیابار ماسه سنگ و کگالومرا	گازه آنارشی دیابار ماسه سنگ و کگالومرا	پیزومورفیت، میهنت و باریت
ZN-236	Sr	3675270	640449	توف، گازه آنارشی دیابار ماسه سنگ و کگالومرا	گازه آنارشی دیابار ماسه سنگ و کگالومرا	پیزومورفیت، میهنت و باریت
ZN-237	Fe	3675480	640633	توف، گازه آنارشی دیابار ماسه سنگ و کگالومرا	گازه آنارشی دیابار ماسه سنگ و کگالومرا	پیزومورفیت، میهنت و باریت
ZN-238	-	3675670	641054	توف، گازه آنارشی دیابار ماسه سنگ و کگالومرا	گازه آنارشی دیابار ماسه سنگ و کگالومرا	پیزومورفیت، میهنت و باریت
zn-241	-	3675550	641110	توف، گازه آنارشی، دیابار ماسه سنگ، کگالومرا داسیست و ریودا داسیست	گازه آنارشی دیابار ماسه سنگ، کگالومرا داسیست و ریودا داسیست	پیزومورفیت، میهنت و باریت
ZN-242	-	3675700	642375	توف، گازه آنارشی، دیابار ماسه سنگ، کگالومرا داسیست و ریودا داسیست	گازه آنارشی دیابار ماسه سنگ، کگالومرا داسیست و ریودا داسیست	پیزومورفیت، میهنت و باریت
ZN-244	-	3675810	642345	توف، گازه آنارشی، دیابار ماسه سنگ، کگالومرا داسیست و ریودا داسیست	گازه آنارشی دیابار ماسه سنگ، کگالومرا داسیست و ریودا داسیست	پیزومورفیت، میهنت و باریت
ZN-245	-	3676030	642590	توف، گازه آنارشی، دیابار ماسه سنگ، کگالومرا داسیست و ریودا داسیست	گازه آنارشی دیابار ماسه سنگ، کگالومرا داسیست و ریودا داسیست	پیزومورفیت و باریت
ZN-246	-	3677040	642690	توف و توفیت	گازه آنارشی دیابار ماسه سنگ و کگالومرا	پیزومورفیت، میهنت و باریت
ZN-247	Au	3677630	641895	توف و توفیت	گازه آنارشی دیابار ماسه سنگ و کگالومرا	پیزومورفیت، میهنت و باریت
ZN-248	Bi	3676960	642947	توف و توفیت، داسیست و ریودا داسیست	گازه آنارشی دیابار ماسه سنگ، کگالومرا داسیست و ریودا داسیست	پیزومورفیت، میهنت و باریت
ZN-252	-	3676070	643148	توف و توفیت	گازه آنارشی دیابار ماسه سنگ و کگالومرا	پیزومورفیت و باریت

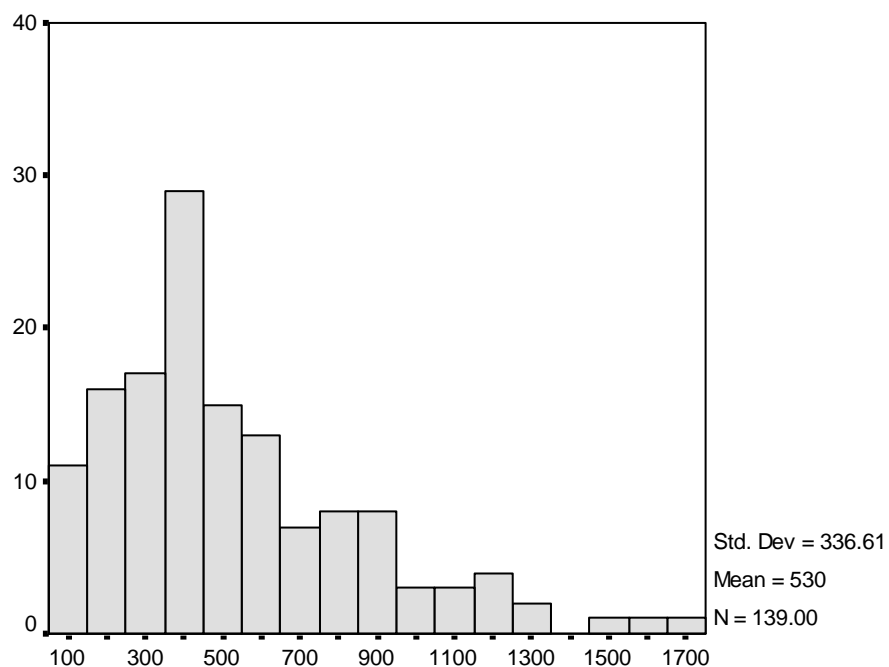
۵-۵- پردازش داده‌های کانی سنگین

نمونه‌های کانی سنگین این محدوده پس از مطالعه مورد پردازش آماری قرار گرفت. در مطالعه این نمونه‌ها کانی‌های مگنتیت، هماتیت، ایلمنیت، گارنت، پیروکسن، آمفیبول، اپیدوت، پیریت، پیریت اکسید، پیریت لیمونیت، الیژیست، لیمونیت، زیرکن، آپاتیت، روتیل، اسفن، آناتاز، باریت، طلای خالص، پیرولوسیت، نیگرین، گالن، سروزیت، فلورئیت، مالاکیت، شلیلت، سینابر، پیرومورفیت، میمیتیت، سرب خالص، لیتارژ، بیوتیت، اولیوین، کرونالوم، تورمالین، لوکوکسن، کلریت، وانادینیت، ولفنیت، ماسیکوت، اسفالریت، آندالوزیت، سیلیمانیت، مولیبدنیت و نیز مقادیری کانی‌های سبک و آلترا مشاهده شدند. هیستوگرام کانیهایی که تعداد کافی برای نمایش داشتند در اشکال (۱-۵) تا (۹-۵) ترسیم شده‌اند.



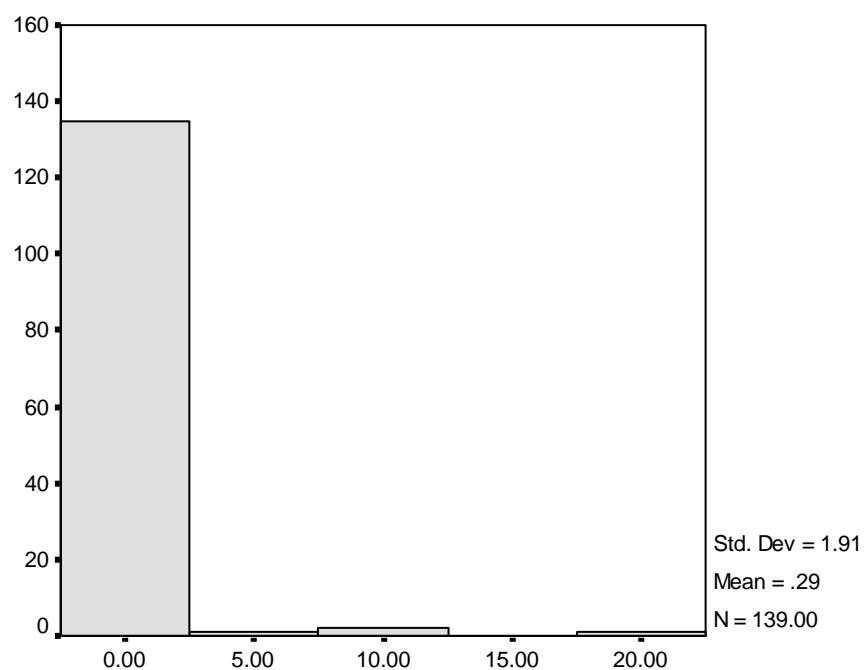
شکل (۱-۵): هیستوگرام توزیع فراوانی مگنتیت

Hematite



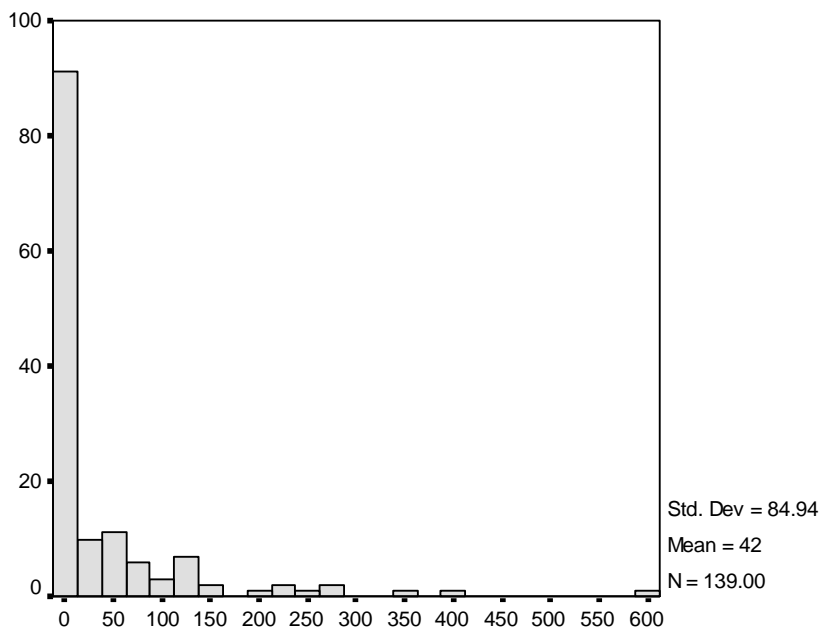
شكل (۳-۵): هیستوگرام توزیع فراوانی هماتیت

Ilmenite



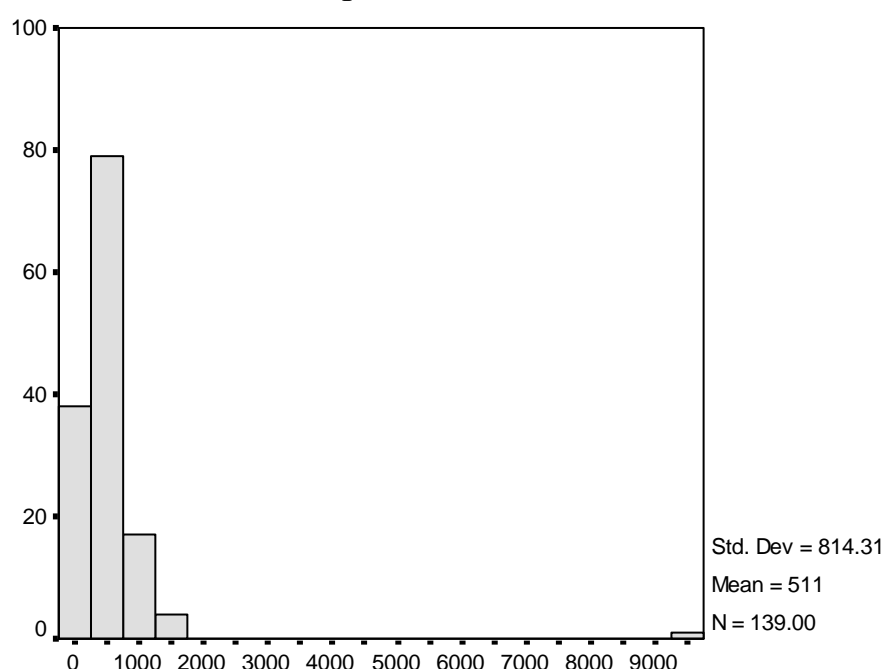
شكل (۳-۵): هیستوگرام توزیع فراوانی ایلمینیت

Amphibole



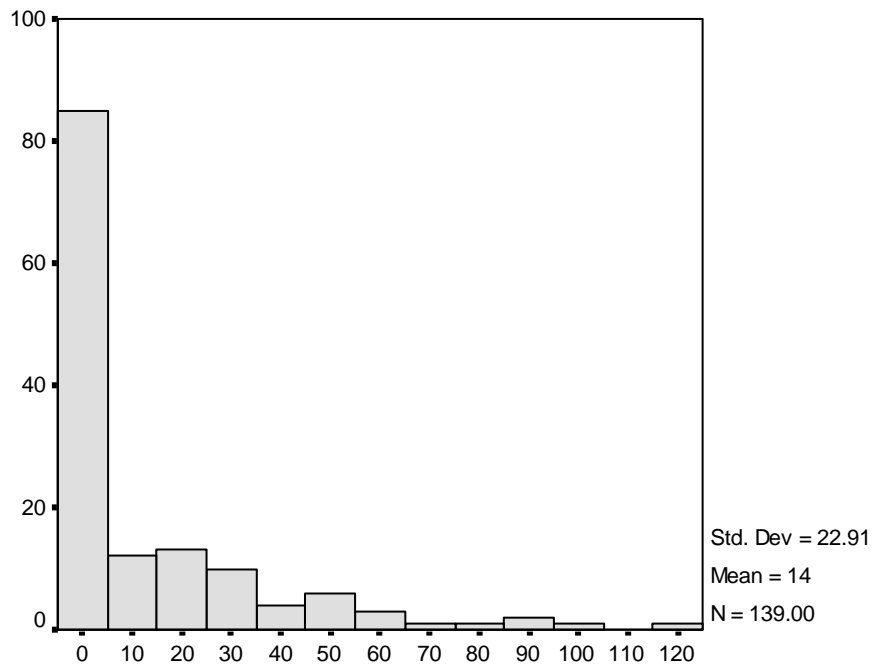
شکل (۴-۵): هیستوگرام توزیع فراوانی آمفیبول

Epidote



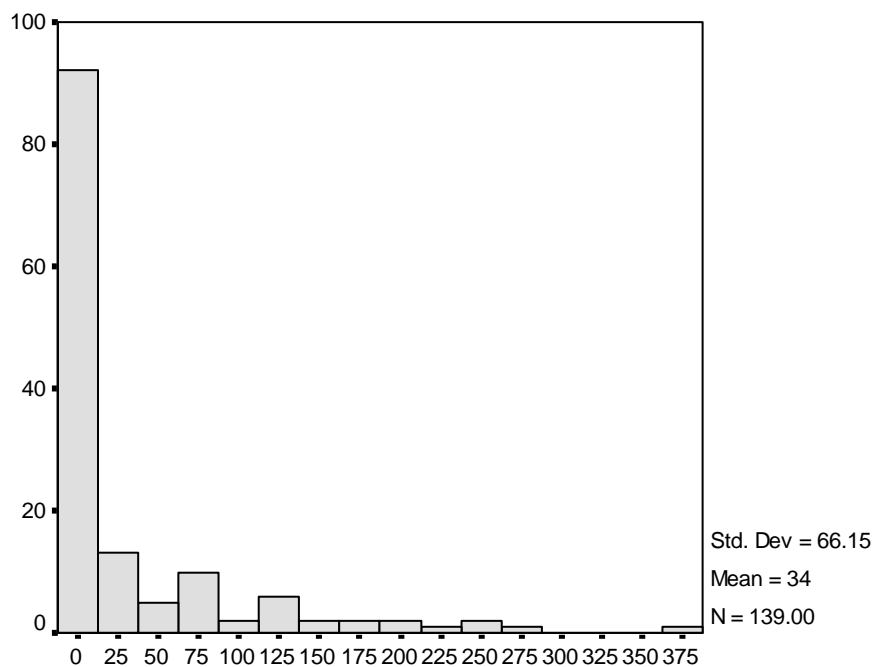
شکل (۶-۵): هیستوگرام توزیع فراوانی اپیدوت

Zircon



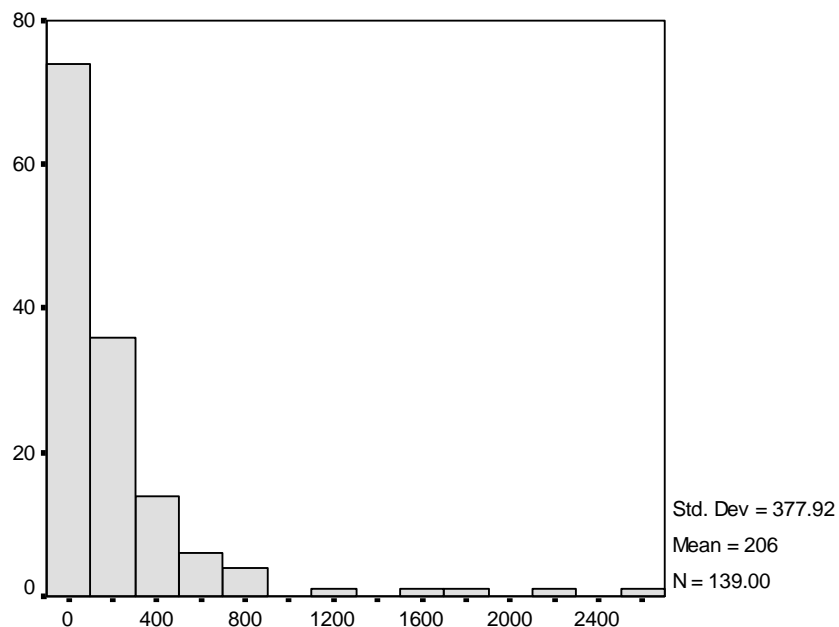
شکل (۷-۵): هیستوگرام توزیع فراوانی زیرکن

Pyrite Oxide



شکل (۸-۵): هیستوگرام توزیع فراوانی پیریت اکسید

Oligiste



شکل (۹-۵): هیستوگرام توزیع فراوانی الیژیست

۵-۶- متغیرهای کانی سنگین

با توجه به نتایج مطالعات انجام گرفته بر روی نمونه های کانی سنگین منطقه مورد مطالعه، کانی های سنگین به ۹ گروه دسته تقسیم می شوند که عبارتند از :

متغیر اول: کانی های سنگ ساز

متغیر دوم: کانی های اقتصادی

متغیر سوم: کانی های گروه پیریت

متغیر چهارم: کانی های گروه سرب و روی

متغیر پنجم: کانی های گروه آهن

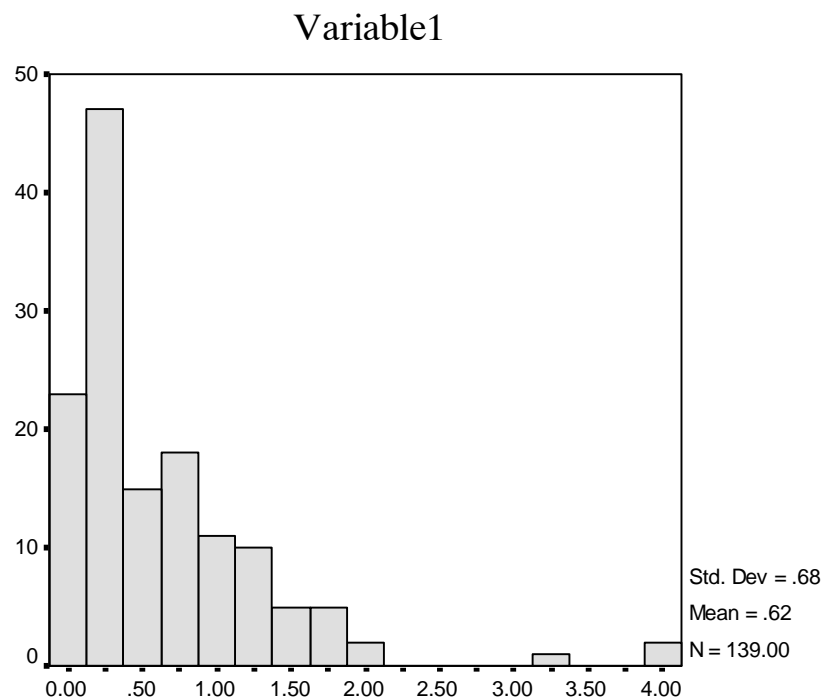
متغیر ششم: کانی های گروه تیتان

متغیر هفتم: کانی های دگرسانی

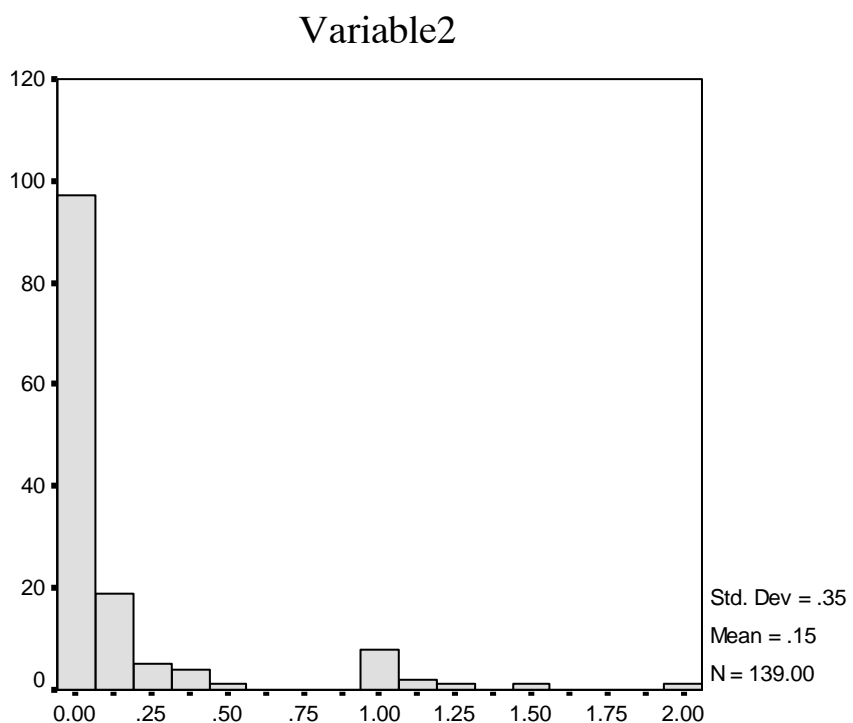
متغیر هشتم: کانی های دگرگونی

متغیر نهم: طلا

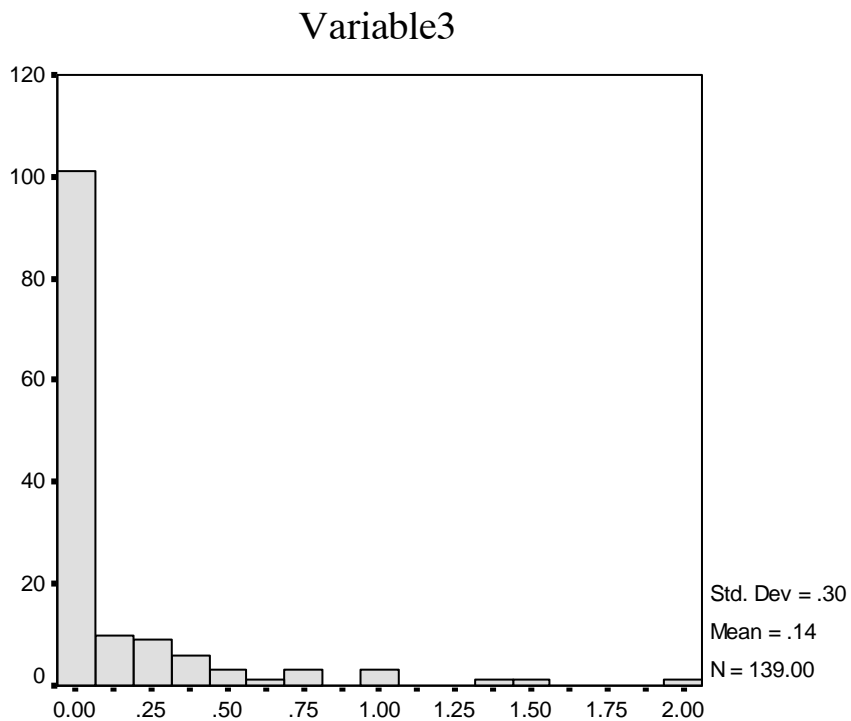
فصل ششم.....کنترل صحرایی..
پارامترهای آماری این متغیرها (به جز طلا) در اشکال (۱۰-۵) تا (۱۷-۵) آورده شده است .



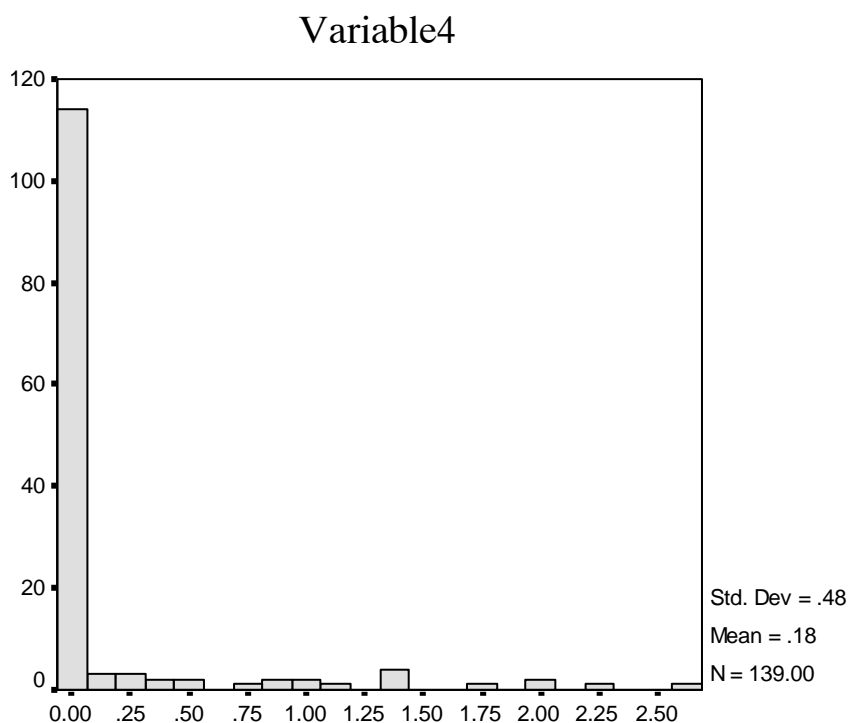
شکل (۱۰-۵): هیستوگرام توزیع فراوانی متغیر اول (کانه‌های سنگساز)



شکل (۱۱-۵): هیستوگرام توزیع فراوانی متغیر دوم (کانه‌های اقتصادی)

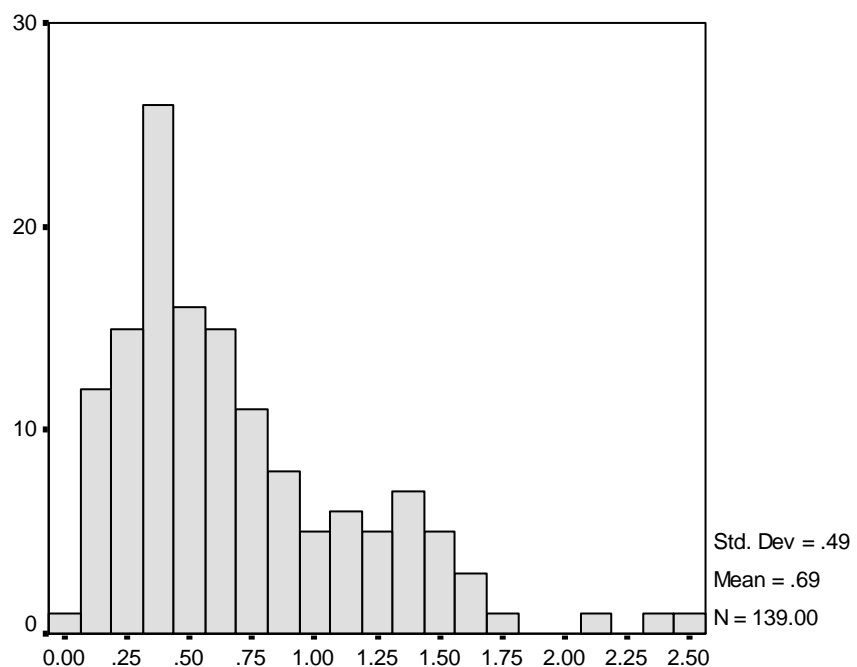


شکل (۱۲-۵): هیستوگرام توزیع فراوانی متغیر سوم (کانی‌های گروه پیریت)



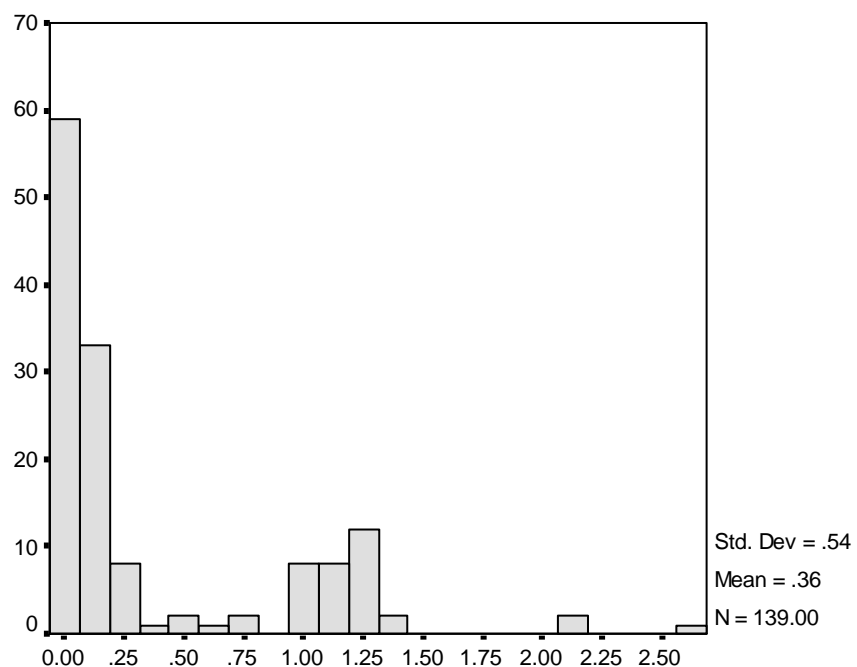
شکل (۱۳-۵): هیستوگرام توزیع فراوانی متغیر چهارم (کانی‌های گروه سرب و روی)

Variable5



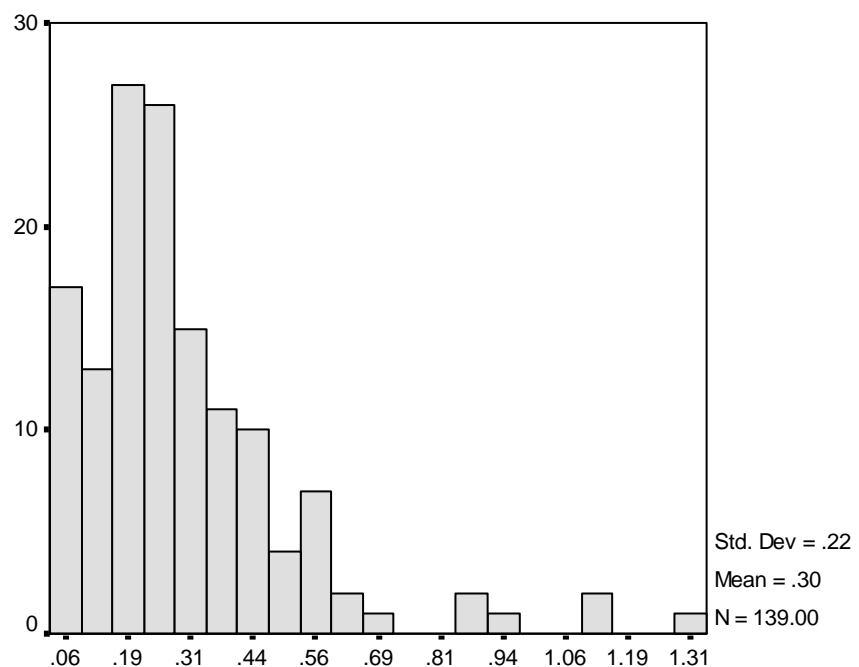
شکل (۱۴-۵): هیستوگرام توزیع فراوانی متغیر پنجم (کانی‌های گروه آهن)

Variable6



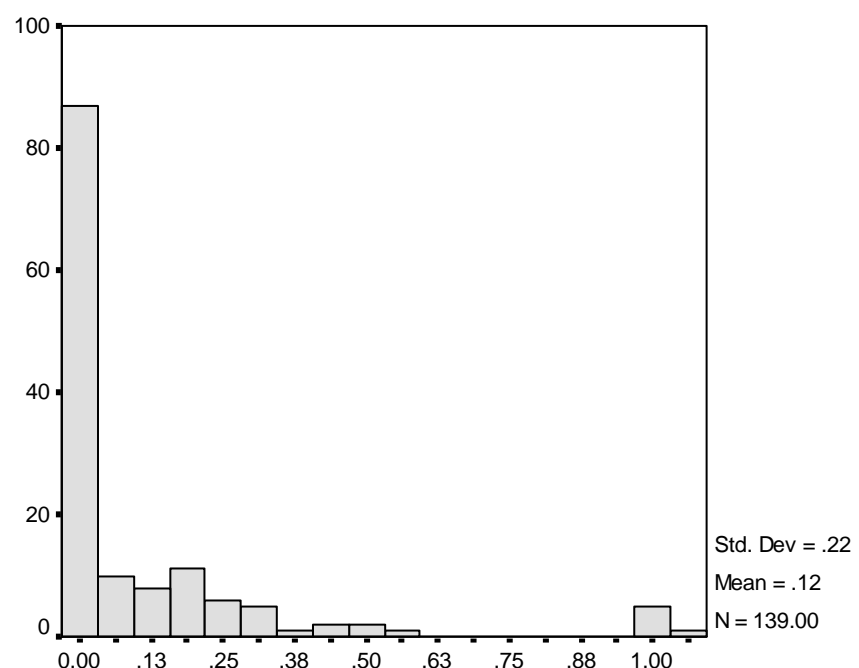
شکل (۱۵-۵): هیستوگرام توزیع فراوانی متغیر ششم (کانی‌های گروه تیتان)

Variable7



شکل (۱۶-۵): هیستوگرام توزیع فراوانی متغیر هفتم (کانی‌های دگرسانی)

Variable8



شکل (۱۷-۵): هیستوگرام توزیع فراوانی متغیر هشتم (کانی‌های دگرگونی)

فصل ششم.....کنترل صحرایی..
نقشه تخمین شبکه‌ای آن‌ها در نقشه‌های (۵-۲) تا (۵-۹) آورده شده است که شرح آن در ذیل آورده می‌شود.

کانی‌های سنگ ساز شامل: پیروکسن، آمفیبول، بیوتیت، اولیوین، زیرکن، کلسیت، آپاتیت، کرونودوم و تورمالین. کانی‌های این گروه به دلیل آنکه در ارتباط با لیتولوژی منطقه می‌باشند. (نقشه شماره

(۵-۲)

کانه‌های اقتصادی: این گروه شامل کانی‌های پیرولوزیت، مالاکیت، باریت، فلوئوریت، شلیت، سینابر و مولیبدنیت هستند. نقشه شماره (۵-۳) تخمین شبکه‌ای مربوط به این گروه را نشان می‌دهد. همانطوریکه در نقشه مشاهده می‌گردد، در محل نمونه‌های ۹۶، ۲۴۵، ۱۴۵، ۱۷۳ ناهنجاری دیده می‌شود.

کانی‌های گروه پیریت: این گروه شامل کانی‌های پیریت، پیریت اکسید و پیریت لیمونیت هستند. نقشه تخمین شبکه‌ای این گروه در نقشه شماره (۵-۴) آورده شده است. ناهنجاری در محل نمونه‌های ۷۵، ۱۰۳، ۱۷۳ مشاهده می‌شود.

کانی‌های گروه سرب و روی: این گروه شامل کانی‌های گالان، سروزیت، پیرومorfیت، میمیتیت، وانادینیت، ولفنیت، ماسیکوت، اسفالریت، سرب طبیعی و لیتارژ هستند. نقشه شماره (۵-۵) نقشه تخمین شبکه‌ای کانی‌های این گروه را نشان می‌دهد. ناهنجاری در محل نمونه‌های ۱۷۳، ۵۹، ۱۰۳، ۱۴۱ مشاهده می‌شود.

کانی‌های گروه آهن: این گروه شامل کانی‌های مگنتیت، هماتیت، الیٹیست و لیمونیت، گوتیت و مارتیت هستند. نقشه تخمین شبکه‌ای کانی‌های این گروه در نقشه شماره (۵-۶) نشان داده شده است. در محل نمونه‌های ۱۱۱، ۱۴۵، ۳۲، ۱۰ ناهنجاری مشاهده می‌شود.

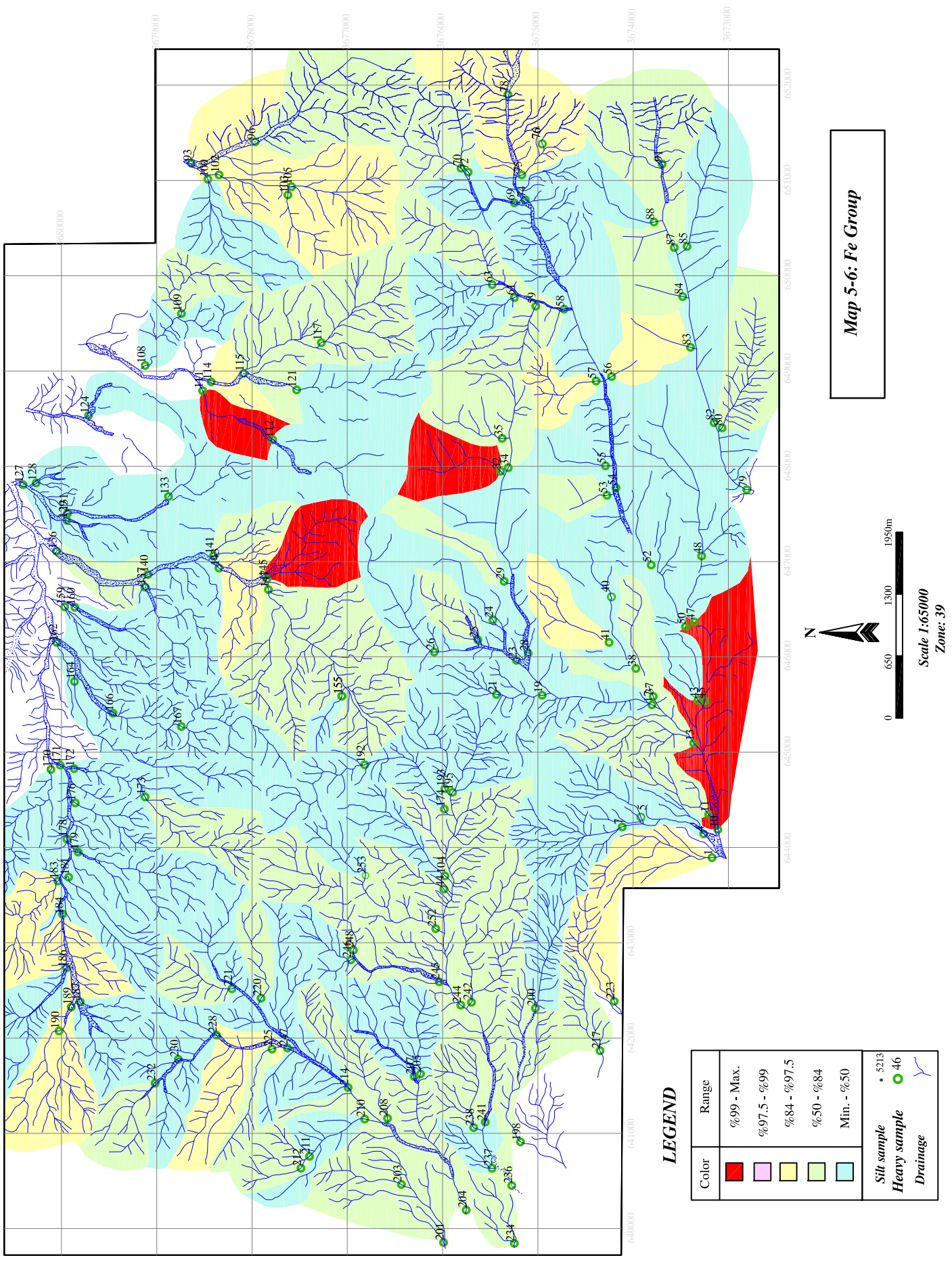
کانی‌های گروه تیتان: این گروه شامل کانی‌های ایلمنیت، روتیل، آناتاز، لوکوکسن، اسفن و نیگرین هستند. تخمین شبکه‌ای کانی‌های این گروه در نقشه شماره (۵-۷) نشان داده شده است. در محل نمونه‌های ۵۸، ۱۹۳، ۱۷۲، ۱۸۴ ناهنجاری مشاهده می‌شود.

فصل ششم.....کنترل صحرایی..
کانی‌های دگرسانی : این گروه شامل کانی‌های اپیدوت، کلریت و کانی‌های آلتره هستند. تخمین شبکه‌ای کانی‌های این گروه در نقشه شماره (۵-۸) نشان داده شده است. در محل نمونه‌های ۱۸۳، ۱۹۵، ۶۹ ناهنجاری مشاهده می‌شود.

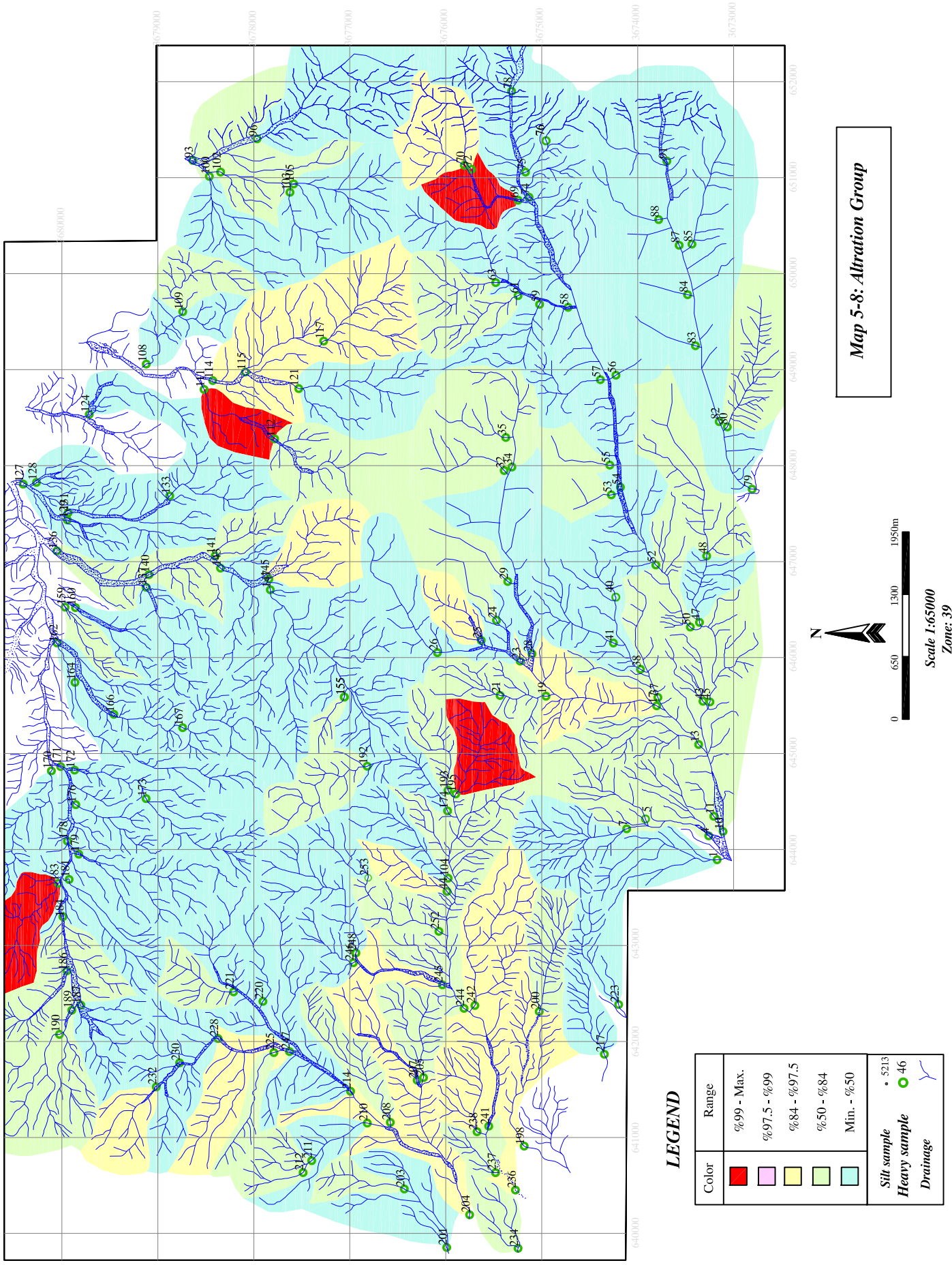
کانی‌های دگرگونی: این گروه شامل کانی‌های آندالوزیت، سیلیمانیت و گارنت هستند. تخمین شبکه‌ای کانی‌های این گروه در نقشه شماره (۵-۹) نشان داده شده است. در محل نمونه‌های ۱۶۴، ۱۰، ۵۶ ناهنجاری مشاهده می‌شود.

گروه طلا: که به دلیل اهمیت در گروه جداگانه‌ای قرار داده می‌شود. در این محدوده در سه نمونه طلا دیده شده که همراه با نقشه کانه‌های اقتصادی به صورت نمادین نمایش داده شده است.
از تلفیق نقشه‌های مربوط به متغیرهای کانی سنگین نقشه (۵-۱۰) حاصل شده است.

NASRAND Heavy Mineral (Variable 5)

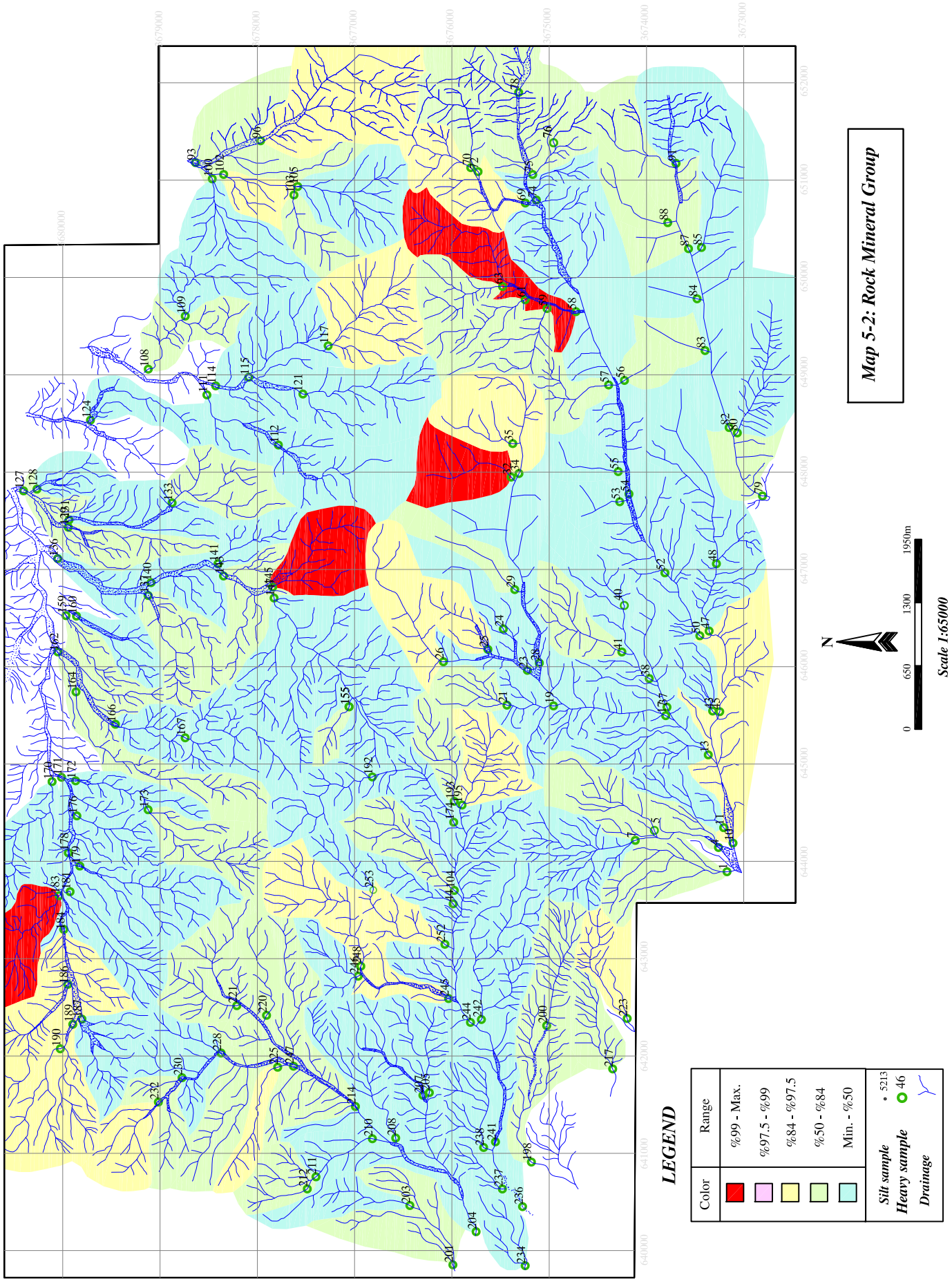


NASRAND Heavy Mineral Variable 7)

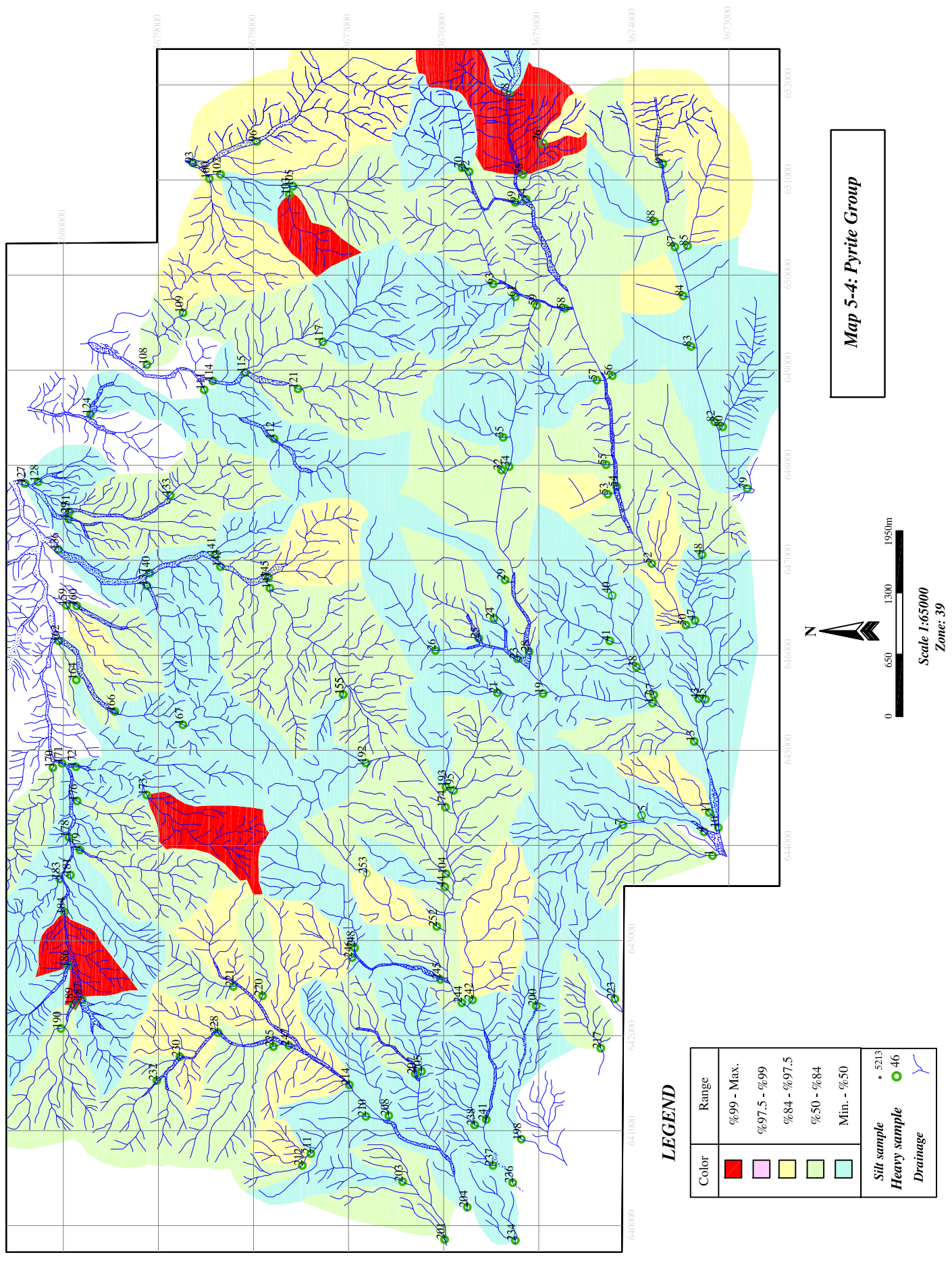


NASRAND

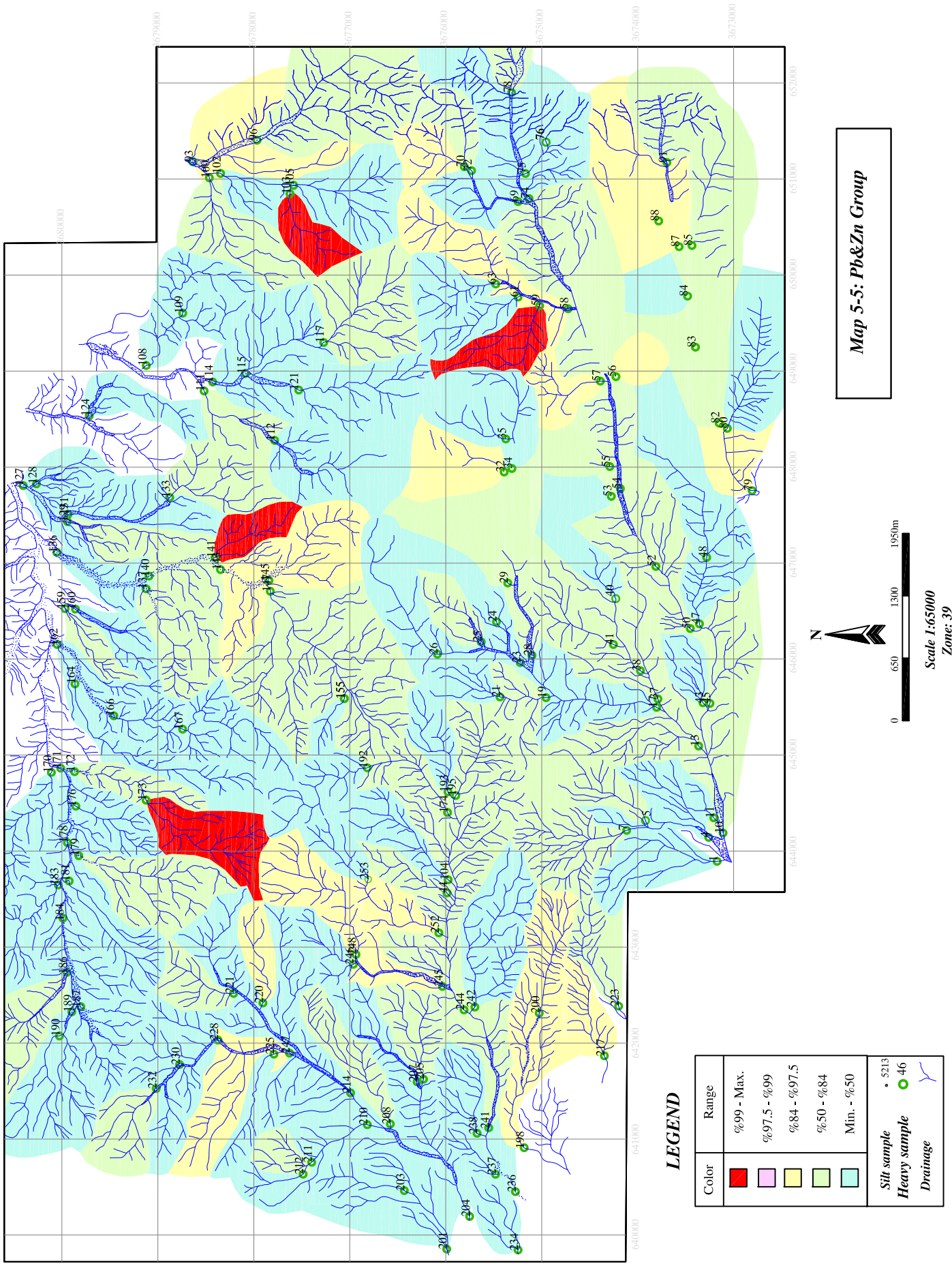
Heavy Mineral Variable 1)

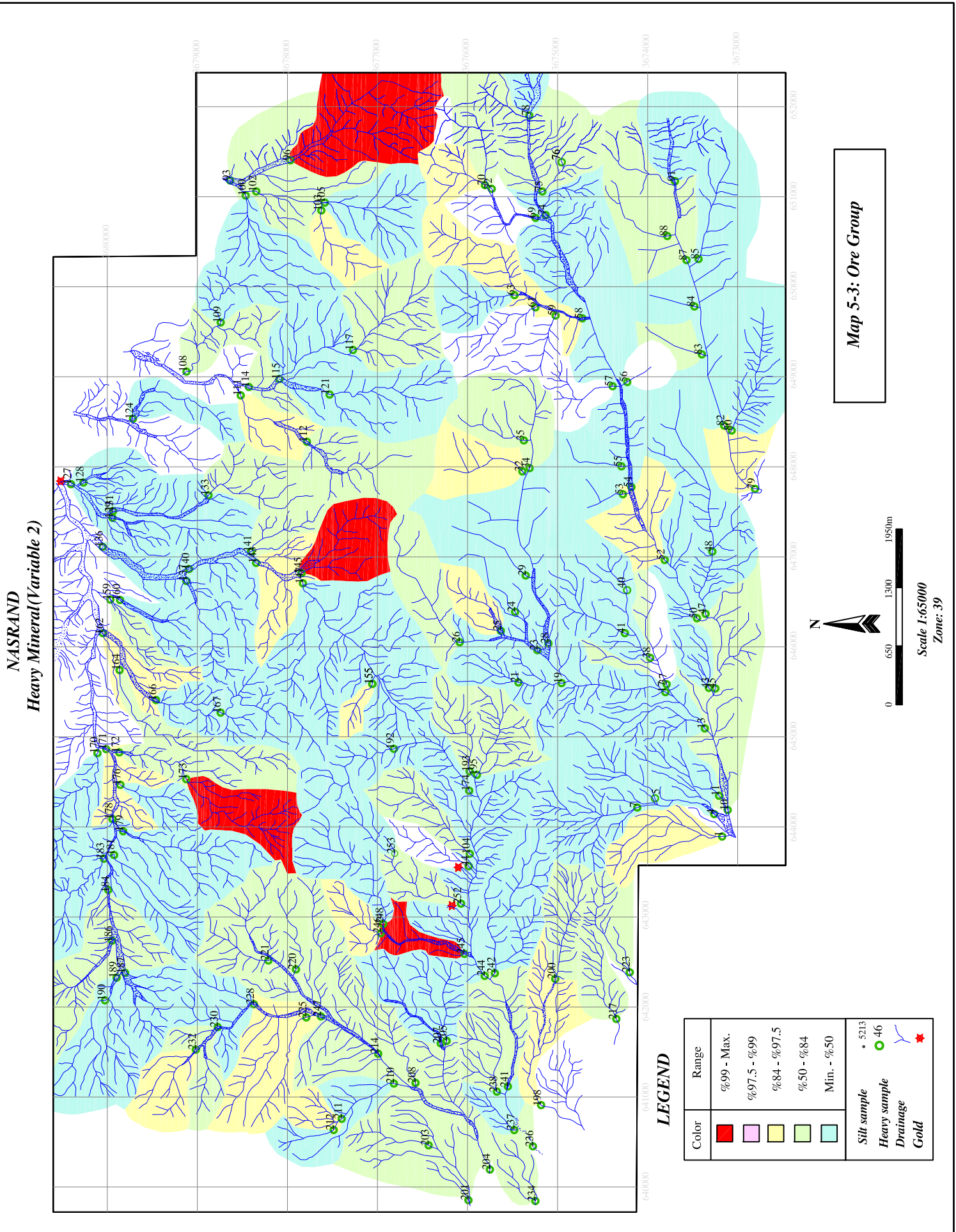


NASRAND
Heavy Mineral/Variable 3)

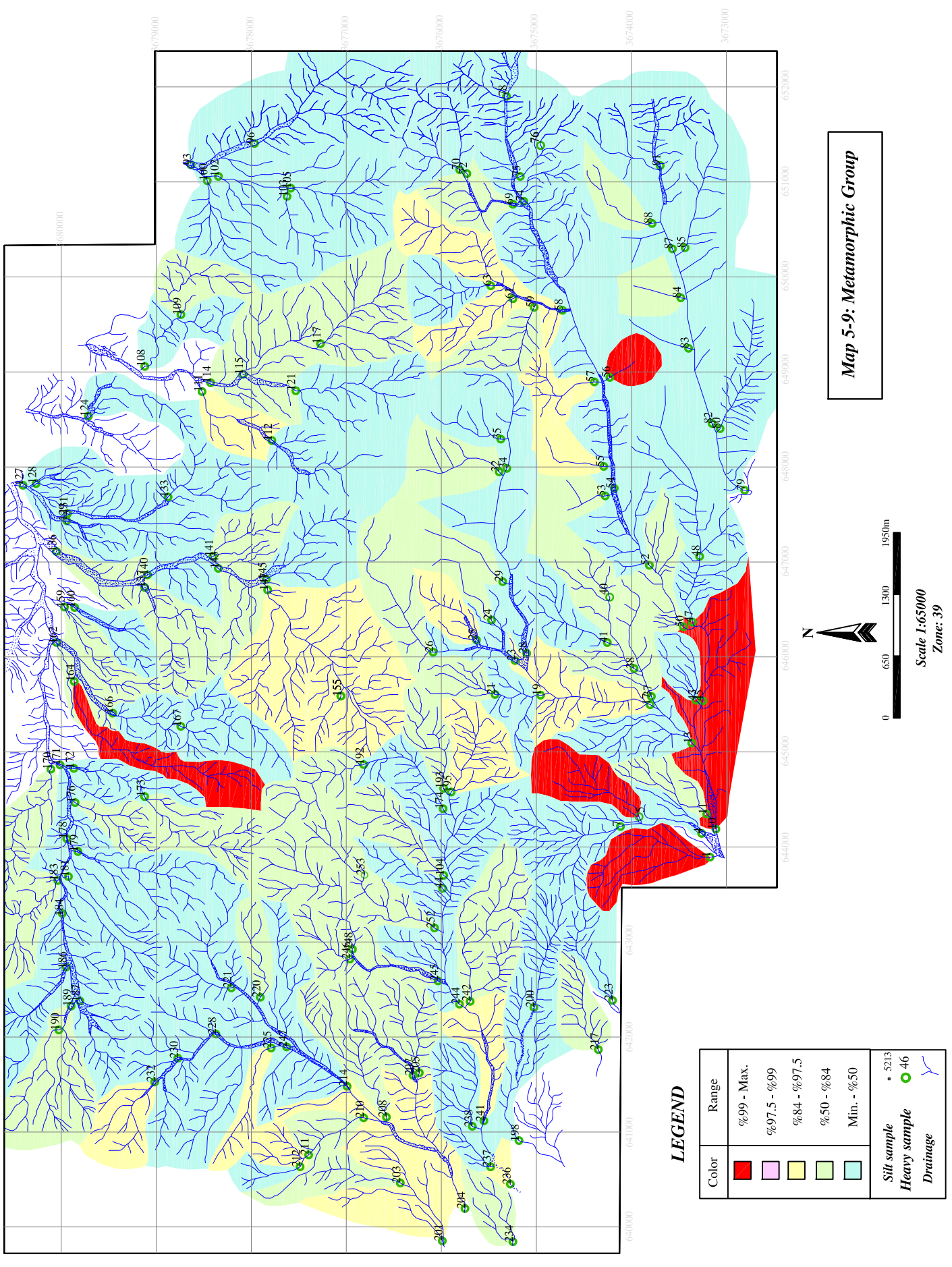


NASRAND Heavy Mineral(Variable 4)

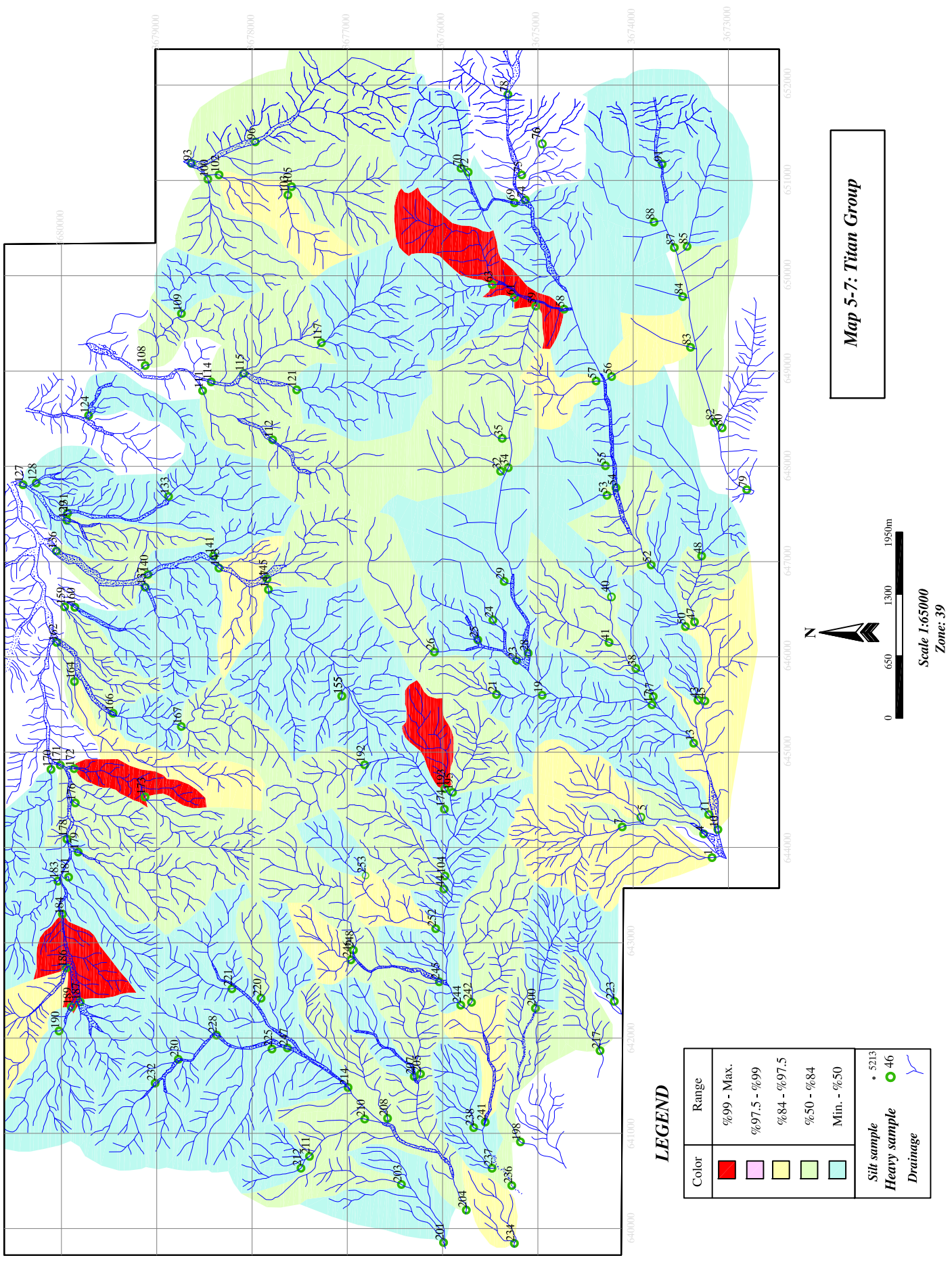




NASRAND
Heavy Mineral (Variable 8)

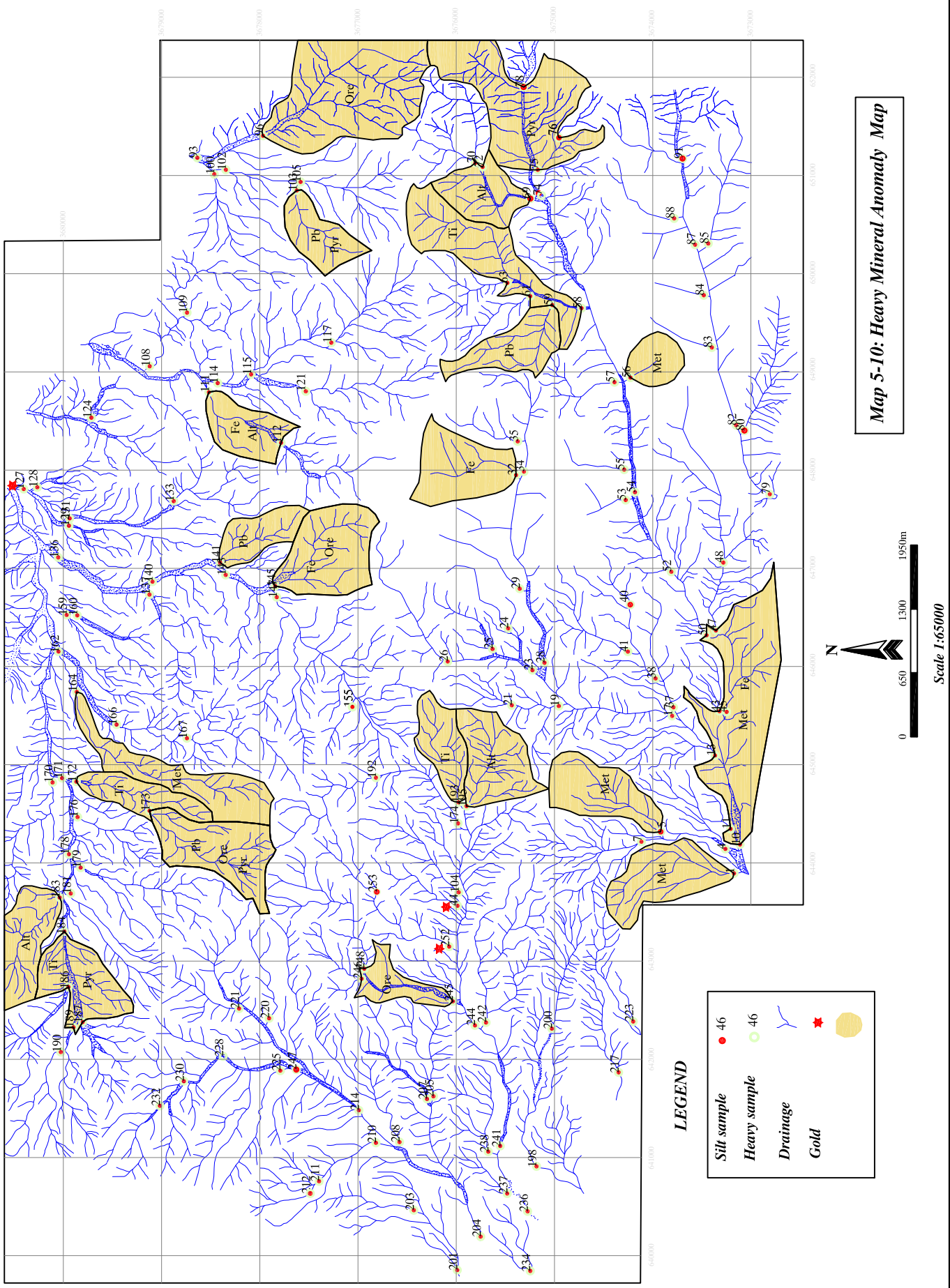


NASRAND Heavy Mineral(Variable 6)



NASRAND
Eastern north of Esfahan

(*Eastern north of Esfahan*)



فصل ششم

کنترل صحرایی آنومالی‌های ژئوشیمی و کانی سنگین

۱-۶ - مقدمه

همچنانکه در فصل قبل مشاهده شد آنومالی‌های ژئوشیمیایی و کانی سنگین تلفیق و پس از حذف آنومالی‌های کم‌اهمیت، تعداد ۱۲ محدوده آنومالی مشخص شد که در نقشه (۱-۶) آمده است و جهت کنترل صحرایی از آن استفاده شد. همچنین شرح نتایج این ۱۲ آنومالی در جدول (۱-۶) آمده است. هر یک از این محدوده‌ها مورد بازدید صحرایی قرار گرفت و در صورت مشاهده کانه‌زایی و علائم مشکوک به کانه‌زایی، نمونه مینرالیزه برداشت گردید.

۲-۶ - برداشت نمونه‌های مینرالیزه

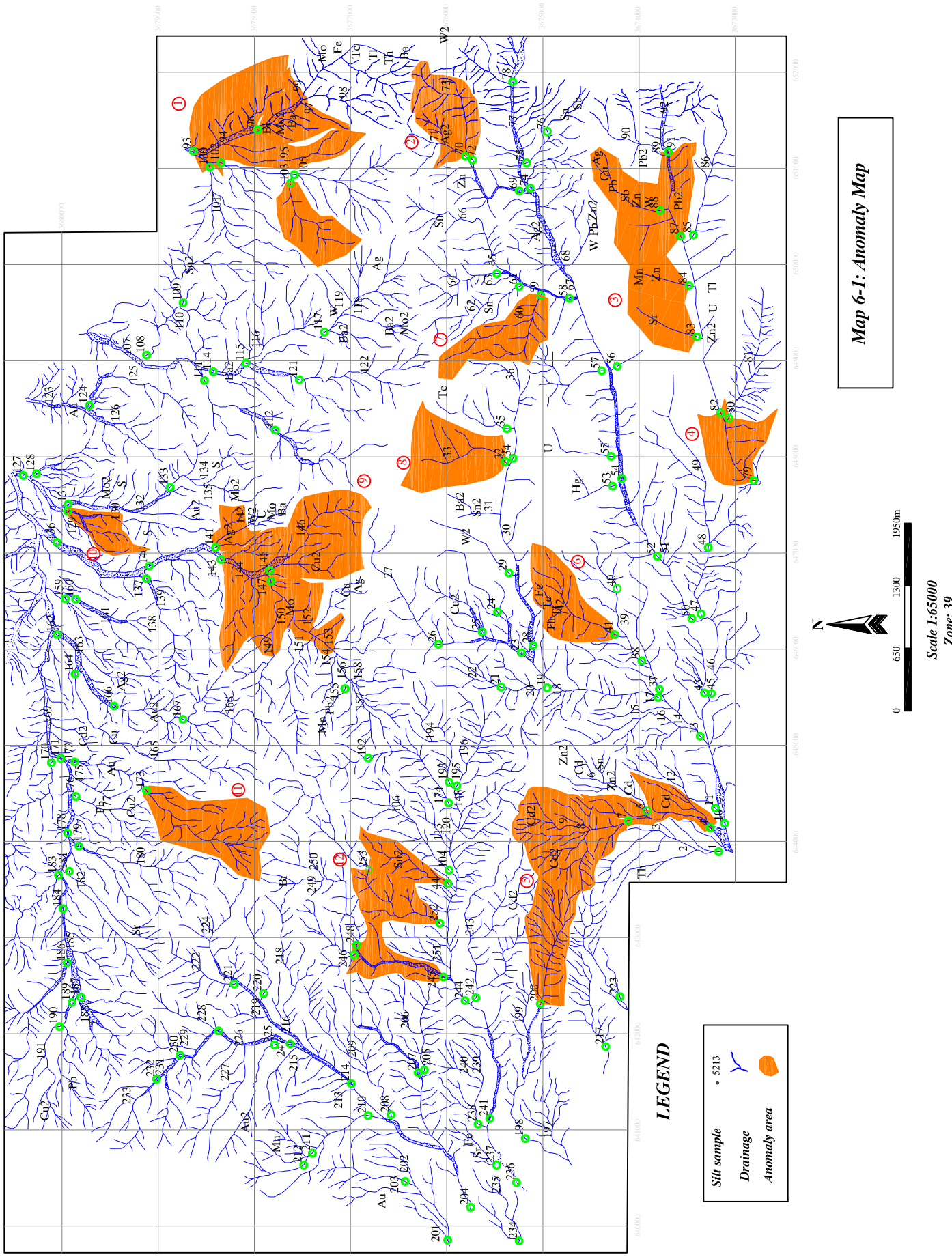
در این راستا تعداد ۲۸ نمونه مینرالیزه برداشت شد که شرح مختصری شامل مختصات، سنگ میزبان، آلتراسیون و توصیفات مربوط به رخداد مشاهده شده در جدول (۲-۶) آمده است. همچنین نتایج آنالیز این نمونه‌ها در جدول (۳-۶) آورده شده است. برخی از تصاویر مربوط به نمونه‌های برداشت شده در صفحات بعد آمده است.



شکل (۱-۶): قطعه سنگ سیلیسی کف آبراهه، حاوی کانه فلزی گالن، کالکوپیریت و ملاکیت(نمونه ۵۸m1)

NASR AND

(Eastern north of Esfahan)



جدول (۶-۳): مشخصات کامل نمونه های میز اپیر برداشت شده از مناطق آنومالی

Row	S.No	X	Y	Host Rock	Alteration	Description
1	ZN-27m 1	646767	3676703	توف، اندریت	همانیتی	شکستگی‌های حاوی مالاکیت بصورت محدود
2	ZN-29m 1	646911	3675484	توف، اندریت	-	رازبید و تیند های البریستی کف ابراهاه
3	ZN-33m 1	648082	3676058	توف، اندریت	همانیتی	قطعات سیلیسی حاوی کالکوپیریت و مالاکیت کف ابراهاه
4	ZN-34 m1	648058	3675244	توف، اندریت	همانیتی- آرژیلی	زون گسله به ضخامت حداکثر ۱۰ متر و طول ۱۰۰۰ متر ، توف سیلیسی حاوی پیریت اکسید
5	ZN-34 m2	648645	3675147	توف، آندریت	همانیتی- آرژیلی	هائنت توضیح فوق در از بخش شرقی زون برداشت شد
6	ZN-58 m1	649675	3674876	توف، آندریت	همانیتی- آرژیلی	قطعه سنگ سیلیسی کف ابراهاه، حاوی کانه فلزی گالن، کالکوپیریت و مالاکیت
7	ZN-61m1	649574	3675424	توف، آندریت	همانیتی- آرژیلی	بخش غربی زون گسله به ضخامت حداکثر ۲۰ متر و طول ۱۰۰۰ متر ، توف سیلیسی حاوی پیریت اکسید و همانیت
8	ZN-61m2	649669	3675405	توف، آندریت	همانیتی- آرژیلی	بخش غربی زون گسله به ضخامت حداکثر ۲۰ متر و طول ۱۰۰۰ متر ، توف سیلیسی حاوی مالاکیت، پیریت اکسید و همانیت
9	ZN-63 m1	649923	3675586	توف، آندریت	همانیتی- آرژیلی	شرق نمونه فوق برروی زون گسله به تو صیف بالا، توف سیلیسی حاوی پیریت اکسید، البریست و همانیت
10	ZN-65 m1	650063	3675600	توف، آندریت	همانیتی- آرژیلی	شرق نمونه فوق برروی زون گسله به تو صیف بالا، توف سیلیسی حاوی پیریت اکسید و همانیت
23	ZN-65 m2	650043	3675590	توف، آندریت	همانیتی- آرژیلی	شرق نمونه فوق برروی زون گسله به تو صیف بالا، توف سیلیسی حاوی پیریت اکسید، البریست و همانیت
11	ZN-69 m1	650799	3675386	توف، آندریت	همانیتی	قطعات سیلیسی اکبیدی حاوی کالکوپیریت و مالاکیت کف ابراهاه
12	ZN-79 m1	647832	3672942	آرژیلی- لمپونیتی	-	پلیپن سمت مزرعه اکبر آباد، پیچ اثرا اسپیون به وسعت کم
13	ZN-88 m1	650613	3674032	توف، آندریت	-	رنگ سیلیسی با روند N65W به ضخامت حداکثر ۱۰ متر و طول ۴۰ متر همراه با اثار کنده کاری، حاوی مالاکیت، ازوریت، گالن.
14	ZN-88 m2	650613	3674032	توف، آندریت	-	توضیح فوق
15	ZN-89 m1	651210	3673855	توف، آندریت	-	قطعه سنگ سیلیسی بزرگ کف ابراهاه مریبوط به رگ سیلیسی کانه دار (نمونه ۸۸۳۷)
16	ZN-91 m1	651239	3673758	پر و پلیتی- همانیتی	توف، آندریت	از کنکاتک همانیتی یک دایک حداسط شرقی- غربی
17	ZN-91m2	651390	3673683	توف، آندریت	همانیتی	واحدهای ولکانیک شیدیدا اکسیدی
18	ZN-99 m1	651888	36773406	توف، آندریت	همانیتی	از بخش هائی همانیتی نر محوده کنکاتک با نوده نفوذی
19	ZN-191m1	641525	3680073	توف، آندریت	همانیتی	شکستگی‌های حاوی مالاکیت و کالکوپیریت بصورت محدود
20	ZN-200 m1	642647	3675000	توف، آندریت	همانیتی	شکستگی‌های حاوی مالاکیت بصورت محدود
21	ZN-223 m1	642673	3674356	توف، آندریت	همانیتی	شکستگی‌های حاوی مالاکیت بصورت محدود
22	ZN-245 m1	642701	3676235	توف، آندریت	همانیتی	قطعات اکبیدی کف ابراهاه برداشت شد
24	ZN-71 m1	651253	3676026	توف، آندریت	همانیتی- سیلیسی- همانیتی	توف سیلیسی همانیتیت حاوی پیریت اکسید که در روند گسله های شرقی- غربی که در حوضه وجود دارد
25	ZN-95 m1	651125	3677437	توف، آندریت	آرژیلی	قطعات اکبیدی کف ابراهاه برداشت شد
26	ZN-95 m2	651125	3677437	توف، نفوذی	آرژیلی	در محل فوق از توده نفوذی ارزشی برداشت شد
27	ZN-154 m1	646097	3677391	توف، آندریت	آرژیلی	از شکستگی های مالاکیتی در کنکاتک با توده نفوذی ارزشی برداشت شد
28	ZN-251 m1	642816	3676221	توف، آندریت	همانیتی- آرژیلی	در روند شرقی- غربی از توف سیلیسی- همانیتی- آرژیلی

جدول (۳-۶): آنالیز نمونه‌های مبتنی بر لیزه

Row	S.No	Au	Cu	Pb	Zn	Ag	Mn	Fe(%)	Mo	W	Hg	Sb	Bi	As	Cs	Co	Cd	U	Sn	Ba	Ni	
1	ZN-27 m1	0.0025	3100	45.0	135	1.00	1894	3.44	1.06	3.36	<0.05	0.78	1.30	2.40	1.35	5.47	0.87	4.70	0.92	32	10.10	
2	ZN-29 m1	0.0018	87.0	12.0	35.0	0.47	146	56.19	11.3	1625	<0.05	2.00	2.10	20.0	0.50	11.65	0.32	44.24	70.46	32	2.58	
3	ZN-33 m1	0.031	1.70%	64.0	45.0	1.7	357	8.16	14.2	0.72	<0.05	1.20	1.30	15.7	0.72	37.62	0.20	9.29	3.81	24	5.29	
4	ZN-34 m1	0.002	160	40.0	35.0	0.13	65	2.71	1.25	7.90	<0.05	1.20	0.56	7.00	1.99	25.81	0.14	1.29	4.68	1328	2.63	
5	ZN-34 m2	0.0033	150	80.0	45.0	0.31	118	6.09	48.5	5.50	<0.05	0.50	0.76	7.40	2.78	12.95	0.08	3.54	5.27	3291	2.32	
6	ZN-58 m1	3.8	2.10%	4.20%	280	18.0*	555	3.73	1400	0.65	<0.05	1.20	1.20	23.0	0.50	2.12	3.62	6.73	0.52	125	2.93	
7	ZN-61m1	0.0052	100	80.0	64.0	0.25	321	7.31	4.05	<0.50	<0.05	0.77	0.40	8.50	3.72	11.83	0.19	3.68	0.79	748	5.51	
8	ZN-61m2	0.022	1.30%	10.06	99.1	2.65	715	5.52	13.6	3.48	<0.05	0.30	0.55	11.0	5.66	12.51	0.39	3.25	6.06	20.7	2.87	
9	ZN-63 m1	0.021	125	75.0	100	0.83	818	21.76	245	63.0	<0.05	3.70	5.70	120	0.50	4.12	0.32	18.81	13.61	43	4.63	
10	ZN-65 m1	0.0029	160	60.0	71.0	0.41	703	11.44	12.0	2.20	<0.05	0.92	1.50	30.0	5.22	360.59	0.24	5.10	3.09	3629	12.47	
11	ZN-65m2	0.0030	4707	12.84	44.2	<0.1	449	9.90	0.98	215	<0.05	0.70	0.35	6.50	12.20	16.62	0.70	7.81	17.53	14.3	1.88	
12	ZN-69 m1	0.011	2.20%	130	55.0	2.00	423	6.21	4.36	7.59	<0.05	1.90	1.60	12.5	0.50	7.15	0.18	12.72	3.89	419	5.35	
13	ZN-71m1	0.0033	47.3	25.47	15.4	<0.1	427	6.59	280	2.83	<0.05	0.90	0.90	5.00	110	8.55	9.26	0.14	5.50	15.01	980	<1
14	ZN-79 m1	0.0013	190	100	55.0	0.38	55	4.62	4.05	0.65	<0.05	0.90	0.27	7.20	3.14	3.87	0.12	2.07	1.08	375	1.84	
15	ZN-88 m1	0.056	2.00%	20.50%	620*	-	0.00	8.20	63.0	4.10	4.30	29.0	6.50	-	-	-	-	-	-	-	-	
16	ZN-88 m2	0.037	1.20%	17.00%	240	180*	103	6.30	75.0	60.0	0.08	3.30	8.70	13.6	0.50	6.72	0.98	7.19	1.41	126	2.69	
17	ZN-89 m1	0.020	1.60%	4.40%	1.20%	1050*	786	5.96	2.24	22.6	0.05	16.0	0.30	16.9	0.50	14.78	42.15	5.69	0.95	52	1.85	
18	ZN-91 m1	0.0036	470	3875*	250	1.50	331	6.10	6.22	1.84	0.08	1.80	0.37	75.0	3.13	6.82	12.41	5.29	5.79	1115	3.17	
19	ZN-91 m2	0.0011	300	45.0	45.0	0.18	1290	8.78	1.32	4.45	<0.05	3.80	0.40	65.0	5.86	7.18	0.23	5.29	1.06	1341	0.28	
20	ZN-95m1	0.0042	29.3	19.21	14.4	<0.1	212	2.66	3.70	3.10	0.05	0.15	0.65	20.0	2.79	10.14	0.52	<1	12.96	32.8	2.29	
21	ZN-95m2	0.0022	13.2	24.47	20.6	<0.1	225	1.59	<0.50	<0.05	0.15	0.10	3.00	1.76	4.02	0.31	1.72	22.41	457	1.74		
22	ZN-99 m1	0.0025	530*	120	50.0	0.44	314	16.69	7.50	11.3	<0.05	6.10	0.85	25.0	0.50	6.93	0.11	10.60	2.65	6326	2.19	
23	ZN-154m1	0.0070	4296	19.64	94.0	0.35	1663	8.25	29.2	22.5	<0.05	0.40	1.50	43.0	11.86	21.65	0.77	7.71	12.38	43.9	4.16	
24	ZN-191 m1	0.15	5.30%	80.0	55.0	20.0*	991	15.19	23.7	2.09	<0.05	0.68	5.00	79.0	1.88	30.19	0.27	9.27	8.59	81	4.79	
25	ZN-200 m1	0.045	9300	1025*	100	4.60*	63	2.90	90.0	0.65	<0.05	1.40	2.30	18.6	0.68	4.84	0.88	4.27	0.72	24	0.50	
26	ZN-223 m1	0.046	1875	310	1490*	5.00*	135	1.27	4.51	<0.50	0.11	6.30	0.55	12.0	0.92	7.38	17.29	2.54	0.29	34	2.78	
27	ZN-245 m1	0.029	110	130	90.0	3.50*	1096	11.38	16.1	12.4	0.07	2.30	1.80	19.9	0.99	16.88	0.14	6.69	6.27	696	0.65	
28	ZN-251m1	0.0065	23.8	40.46	136	<0.1	2236	15.18	11.3	6.82	<0.05	1.50	1.00	63.0	18.12	35.71	<0.1	<1	11.39	703	6.03	



شکل (۲-۶): نمایی از آبراهه‌های محدوده نصرند



شکل (۳-۶): توف سیلیسی حاوی پیریت اکسید، مالاکیت، الیثیست و هماتیت (نمونه ۱m63)



شکل (۶-۶): توف سیلیسی حاوی پیریت اکسید، الیثیست و هماتیت (در زون گسله با روند شرقی- غربی) (نمونه ۲,65m1)



شکل (۵-۶): توف سیلیسی حاوی پیریت اکسید، الیثیست و هماتیت (در زون گسله با روند شرقی- غربی) (نمونه ۱,۲) (65m)



شکل (۶-۶): پایین دست مزرعه اکبرآباد، پچ آلتراسیون آرژیلی- لیمونیتی به وسعت کم (نمونه ۱,۷) (79m)



شکل (۷-۶): رگه سیلیسی با روند N65W به ضخامت حداقل ۱۰ متر و طول ۴۰۰ متر همراه با آثار کنده کاری (نمونه ۱,۲) (88m1,2)



شکل (۸-۶): دپوی خاک باطله در پایین دست آثار کنده کاری (نمونه ۱,۲) (88m1,2)



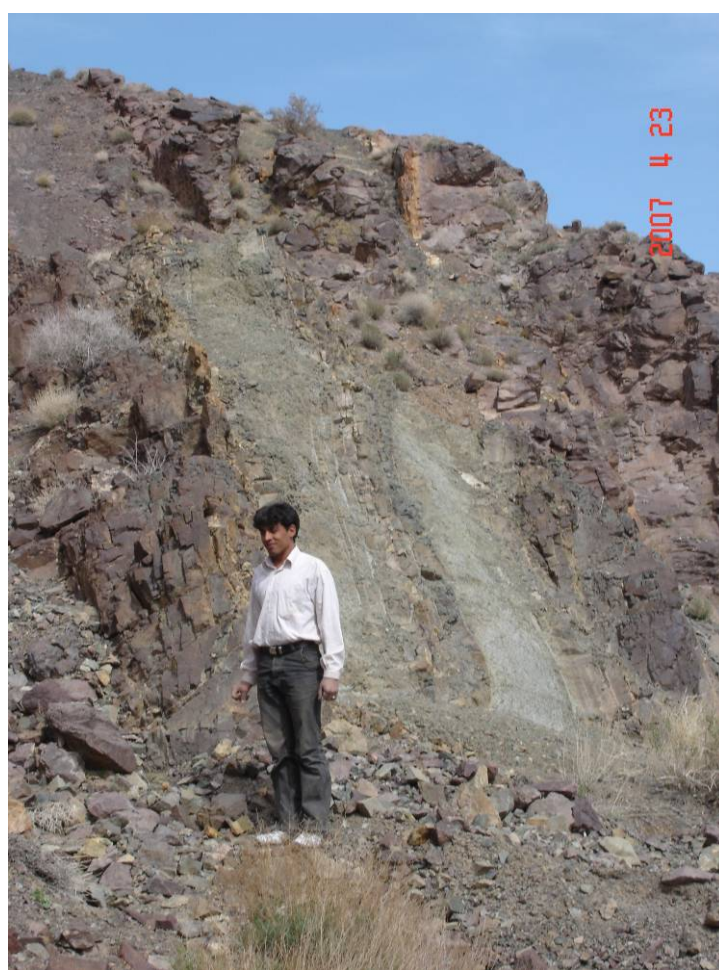
شکل (۹-۶): رگه سیلیسی مذکور همراه با آثار کنده کاری و حاوی مالاکیت، آزوریت، گالن (نمونه ۱,۲) (88m)



شکل (۶-۱۰): نمایی از آثار برداشت در محل نمونه ۱,288m



شکل (۱۱-۶): آبراهه شرقی رگه سیلیسی کانه دار (محل نمونه ۸۸m1) قطعه سنگ سیلیسی بزرگ کف آبراهه (نمونه ۸۹m1)



شکل (۱۲-۶): کنتاکت هماتیتی یک دایک حدوداً با روند شرقی-غربی (نمونه ۹۱m1)



شکل (۱۳-۶): واحدهای ولکانیکی شدیداً اکسیدی (نمونه ۹۱m²)



شکل (۱۴-۶): نمایی از کن tact توده (سمت چپ شکل) با واحدهای ولکانیکی حاوی شکستگی های مالاکیتی (نمونه ۱۵۴m¹)



شکل (۱۵-۶): شکستگی‌های مالاکیتی محل نمونه ۱۵۴m

همچنین در بازدید صحرایی که با حضور آقایان مهندس عابدیان، مهندس برق، مهندس سودی شعار و مهندس محمدی از محدوده بعمل آمد، رگه سیلیسی پلی متال واقع در محدوده آنومالی شماره ۵(جنوب غرب محدوده مورد مطالعه) مورد بازدید قرار گرفت و جهت بدست آوردن عیار متوسط و واقعی از کانه‌زایی مذکور، نمونه‌برداری لب‌پری از پروفیل‌های تعیین شده بر روی رگه معدنی در دستور کار قرار گرفت که شرح عملیات صورت گرفته در صفحات بعد آمده است.



شکل (۶-۱۶): تصویر مربوط به بازدید محدوده نصرند

۶-۲-۱- نمونه برداری سیستماتیک از رگه معدنی محدوده آنومالی شماره ۵

همچنانکه در ابتدای فصل اشاره شد ۱۲ محدوده آنومالی جهت کنترل صحرایی مشخص گردید که در محدوده آنومالی شماره ۵، رگه سیلیسی پلی متال با ضخامت متغیر از چند متر تا حداقل ۴۰ متر (در پروفیل شماره ۵) رخنمون یافته که طول رگه در رخنمون قابل مشاهده حدود $\frac{2}{3}$ کیلومتر است که در بخش‌های شاخه‌های فرعی از آن منشعب می‌گردد. در نمونه‌برداری مینرالیزه در فاز کنترل آنومالی برگه یکصدهزارم شهراب از این رگه تعداد ۶ نمونه از بخش‌های پرعيار برداشت گردید که عيار بالايی از عناصر سرب، روی و طلا نشان داد. جدول (۶-۴) نتایج مربوط به اين نمونه‌ها می‌باشد (مقادير جدول به ppm و درصد می‌باشد).

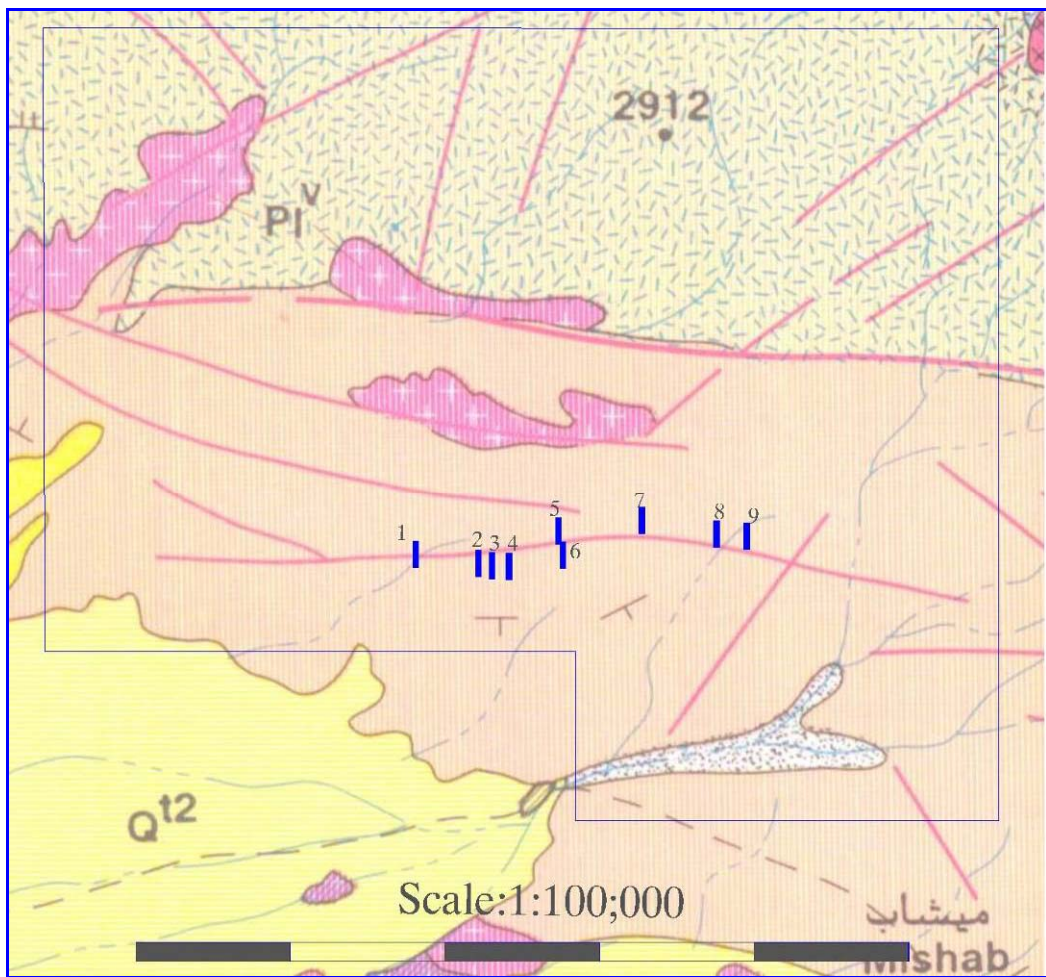
فصل ششم

.....کنترل صحرایی..

جدول (۴-۶): نتایج آنالیز نمونه‌های مینرالیزه برگه شهراب مربوط به رگه سیلیسی محدوده

Row	Field No.	Au	Cu	Pb	Zn	Hg
1	ZM-412X1	0.0600	1015	7.49%	130	0.0375
2	ZM-412X2	0.31	1975	0.535	1580	0.82
3	ZM-412X3	0.12	1945	3.60%	3605	0.91
4	ZM-412X4	0.0060	1520	0.426	700	0.29
5	ZM-412X5	0.50	3875	11.10%	3.47%	6.22
6	ZM-412X6	0.20	1560	26%	9500	7.95

طی صور تجلسه مربوط به بازدید از رگه مذکور، تعداد ۹ محل جهت برداشت سیستماتیک نمونه به صورت پروفیل انتخاب گردید. انتخاب محل پروفیل به دلیل ضخامت زیاد رگه و یا شواهد کانی‌سازی بوده است و همچنین سعی گردید بخش‌های مختلف رگه را پوشش دهد. در شکل زیر وضعیت پروفیلهای نمونه‌برداری بر روی نقشه زمین شناسی ۱:۱۰۰،۰۰۰ شهراب آمده است. همچنانکه مشاهده می‌شود رگه سیلیسی بر روندهای گسله محدوده منطبق می‌باشد. مشاهدات صحرایی نیز گسله بودن رخداد کانه‌زایی را تایید می‌کند.



شکل (۱۷-۶): نمایش پروفیلهای نمونهبرداری بر روی رگه معدنی

در مجموع تعداد ۱۰۸ نمونه از پروفیلهای جهت آنالیز عناصر معدنی (۹ عنصر^{۱۰}) و تعداد ۴ نمونه مقطع صیقلی جهت بررسی کانی‌های فلزی و تسلسل مربوطه از رگه برداشت گردید که در زیر به شرح آنها پرداخته خواهد شد.

۱- پروفیل شماره ۱:

در مشاهدات صحرایی، بخش غربی رگه مذکور با کاهش ضخامت همراه و ناپدید می‌گردد. مختصات پروفیل شماره یک (۶۴۲۷۱۸، ۳۶۷۴۵۶۵) می‌باشد. طول رگه در محل پروفیل ۲۸ متر می‌باشد و

^{۱۰} در آن مقطع به دلیل خرابی دستگاه، آنالیز طلا مقدور نبود

فصل ششم.....کنترل صحرایی..

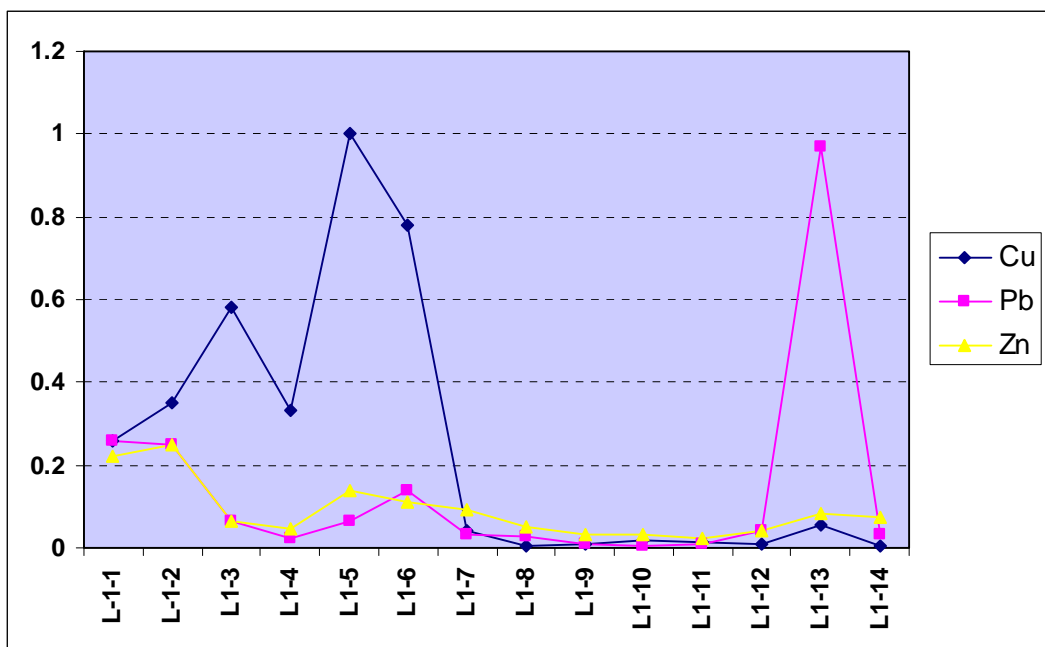
تعداد ۱۴ نمونه به صورت لب پری (Chip Sampling) و به طوریکه تمام طول متراز نمونه برداری را پوشش دهد از رگه برداشت شد. جدول (۵-۶) مربوط به نتایج آنالیز این پروفیل می باشد.

همچنین نمودار عیار - نمونه این پروفیل برای عناصر دارای عیار اقتصادی (مس، سرب و روی) ترسیم شده است.

جدول (۵-۶): نتایج آنالیز عناصر معدنی پروفیل شماره ۱ (مقادیر به ppm)

S.No	Ag	Cu	Pb	Zn	W	Mo	As	Sb	Hg
L-1-1	3	2600	2600	2200	23	90	31.3	0.375	2.18
L-1-2	6	3500	2500	2500	21	35	14.1	0.375	2.42
L1-3	2	5800	625	650	21	66	28.4	0.375	1.27
L1-4	2	3300	220	450	25	213	50.5	0.82	0.40
L1-5	4	10000	650	1400	20	30	50.7	0.375	0.24
L1-6	2	7800	1400	1100	19	24	55.5	0.375	0.22
L1-7	2	426	330	910	18	34	15.1	0.375	0.075
L1-8	3	59	287	500	-	21	44.2	0.375	0.075
L1-9	1	87	109	315	16	64	17.1	0.375	0.21
L1-10	1	176	54	325	13	28	36.1	0.375	0.33
L1-11	2	125	85	225	16	41	19.3	0.375	0.075
L1-12	2	113	406	425	17	243	38.4	0.375	0.27
L1-13	18	570	9700	820	15	28	21.7	0.375	1.56
L1-14	2	66	312	755	17	45	25.9	0.375	0.075
L1-M1	10	5400	14300	435	18	39	38.0	0.86	0.41

شکل (۱۸-۶): نمودار عیار - نمونه پروفیل شماره ۱ (مقادیر به درصد)



فصل ششم

کنترل صحرايی.



شکل (۱۹-۶): بخش غربی رگه سیلیسی، محل پروفیلهای ۱، ۲، ۳، ۴



شکل (۲۰-۶): انتهای غربی رگه، محل پروفیل ۱

فصل ششم.....کنترل صحرایی..
همچنین در بالادست رگه اصلی، رگچه های نازک به ضخامت حداقل ۲۰ Cm حاوی کانه های فلزی
گالن، کالکوپیریت و ملاکیت مشاهده شد که نمونه L1-M1 (جدول ۶-۵) جهت آنالیز و نمونه
L1-Os1 جهت بررسی کانه نگاری فلزی برداشت گردید که شرح مطالعه آن در زیر آمده است.

کانه های فلزی موجود در این نمونه عبارتند از:

۱- پیریت: به شکل ذرات ساب اتمورف با ابعاد حدود یکصد الی هزار میکرون به تعداد کم و

به طور پراکنده تشکیل شده است. فاقد ویژگی خاص است. بعضی از دانه ها تحت تاثیر

آلتراسیون سوپرژن قرار گرفته و به اکسیدهای ثانویه و آبدار آهن تبدیل شده است. عیار

این کانی حدود یک درصد تخمین زده می شود.

۲- کالکوپیریت : به شکل ذرات غیرهندسی با ابعاد حدود دویست الی هزار میکرون به تعداد

انگشت شمار و به طور پراکنده تشکیل شده است. کالکوپیریت تحت تاثیر آلتراسیون

سوپرژن قرار گرفته و به مقدار کم به ذرات کوچک کوولیت و به اکسیدهای ثانویه و آبدار

آهن تبدیل شده است. عیار آن کمتر از یک درصد است.

۳- اسفالریت : به شکل ذرات غیرهندسی با ابعاد حدود بیست الی ۶۰۰ میکرون با عیار یک

درصد تشکیل شده است.

۴- مس طبیعی : به شکل ذرات غیرهندسی با ابعاد حدود ده الی صد میکرون در درون گانگ

مخصوص به خود به طور مجتمع تشکیل شده است. در این گانگ کانی مس را کریستالهای

کشیده و باریک و دوکی شکل مارکاسیت همراهی می کنند. فراوانی مارکاسیت بیشتر از

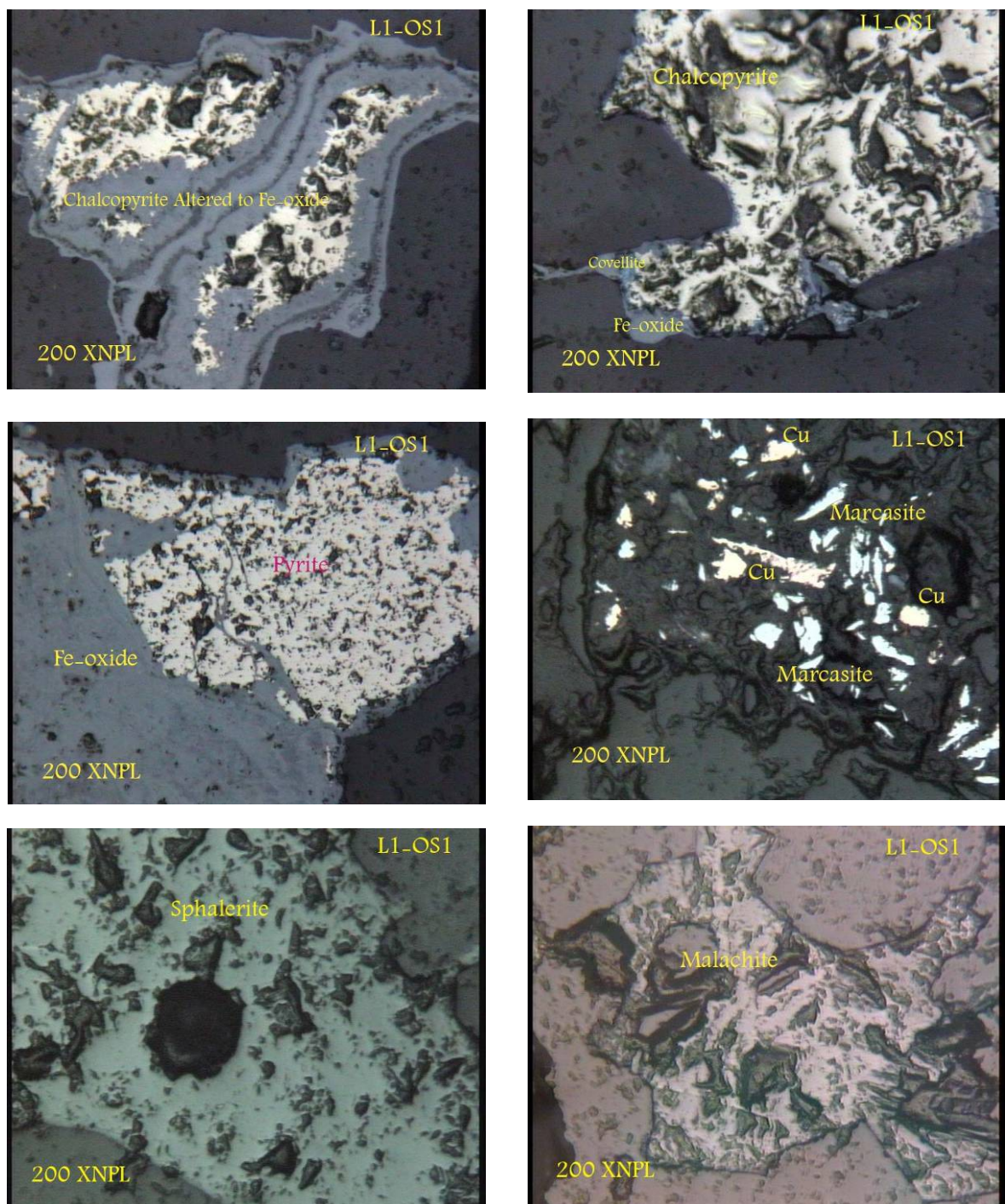
مس بوده و عیار مس حدود ۵/۰ درصد می باشد.

۵- ملاکیت : به شکل آغشتگی گانگ غیرفلزی و ندرتاً تجمع درون درز و شکافهای گانگ

دیده می شود.

۶- اکسیدهای آبدار و ثانویه آهن به صورت لکه های نسبتاً کوچک در فضاهای خالی سنگ

دربرگیرنده به مقدار کم مستقر شده اند.



شکل (۲۱-۶): تصاویر مربوط به کانه‌های فلزی مشاهده شده در نمونه L1-Os1

فصل ششم.....کنترل صحرایی..

۲- پروفیل شماره ۲

این پروفیل در فاصله ۴۰۰ متری شرق پروفیل ۱(شکل ۱۷-۶) واقع شده است. مختصات پروفیل شماره دو (۶۴۳۱۲۴.۳۶۷۴۵۳۹) می باشد. طول رگه در محل پروفیل ۱۶ متر می باشد و تعداد ۸ نمونه به صورت لب پری و بطوریکه تمام طول متراز نمونه برداری را پوشش دهد از رگه برداشت شد.

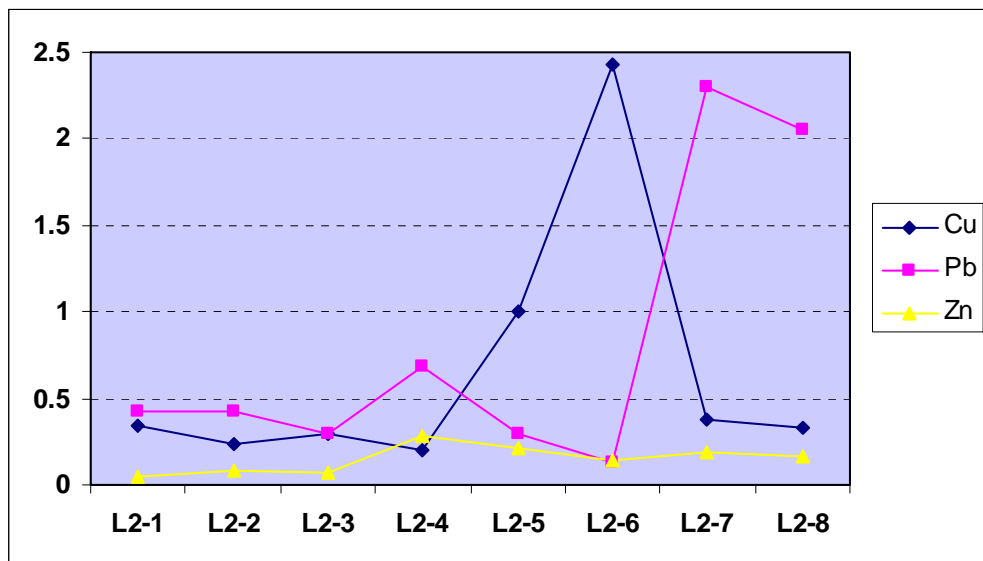
جدول (۶-۶) مربوط به نتایج آنالیز این پروفیل می باشد.

همچنین نمودار عیار- نمونه این پروفیل برای عناصر دارای عیار اقتصادی (مس، سرب و روی) ترسیم شده است.

جدول (۶-۶): نتایج آنالیز عناصر معدنی پروفیل شماره ۲ (مقادیر به ppm)

S.No	Ag	Cu	Pb	Zn	W	Mo	As	Sb	Hg
L2-1	1	3400	4200	510	15	38	12.7	0.60	0.32
L2-2	2	2400	4300	825	-	55	21.7	1.13	0.73
L2-3	3	3000	3000	725	13	92	53.4	1.55	0.26
L2-4	2	2000	6800	2800	13	72	42.5	1.38	0.075
L2-5	2	10000	3000	2100	13	42	34.3	0.57	0.075
L2-6	1	24300	1300	1400	15	30	20.0	0.375	0.23
L2-7	8	3800	23000	1900	13	27	8.3	0.78	1.11
L2-8	5	3300	20500	1600	15	41	10.3	0.81	1.37
L2-M1	2	6800	425	115	14	27	66.0	2.43	0.45
L2-M2	1	1600	2400	320	15	22	8.7	0.375	0.24

شکل (۶-۶): نمودار عیار- نمونه پروفیل شماره ۲ (مقادیر به درصد)





شکل (۶-۲۳): تصویر رگه سیلیسی در محل پروفیل ۲

همچنین در بالادست رگه، رگچه‌های نازک به ضخامت حداقل 20 Cm حاوی کانه‌های فلزی پیریت، مالاکیت و اکسید آهن مشاهده شد که نمونه‌های L2-M1, L2-M2 (جدول ۶-۶) جهت آنالیز و نمونه L2-Os1 جهت بررسی کانه‌نگاری فلزی برداشت گردید که شرح مطالعه آن در زیر آمده است:

۱- پیریت: به شکل ذرات غیرهندسی با ابعاد حدود بیست الی دویست میکرون به تعداد انگشت‌شمار و به طور پراکنده تشکیل شده است و تحت تاثیر آلتراسیون در حال تبدیل به اکسیدهای ثانویه و آبدار آهن است.

۲- کالکوپیریت: به شکل ذرات غیرهندسی با ابعاد حدود پنجاه الی دویست میکرون به تعداد انگشت‌شمار و پراکنده تشکیل شده است و تحت تاثیر آلتراسیون در حال تبدیل به کالکوسیت و کوولیت و اکسیدهای ثانویه و آبدار آهن است. کانیهای پیریت و کالکوپیریت با یکدیگر کنتاکت ندارند.

۳- گالن: به شکل ذرات و لکه‌ای غیرهندسی با ابعاد حدود صد الی هزار میکرون و بر اثر تجمع آنها در بعضی قسمتها لکه‌های با ابعاد چند میلیمتر تشکیل شده است. آلتراسیون سوپرژن

فصل ششم.....کنترل صحرایی..

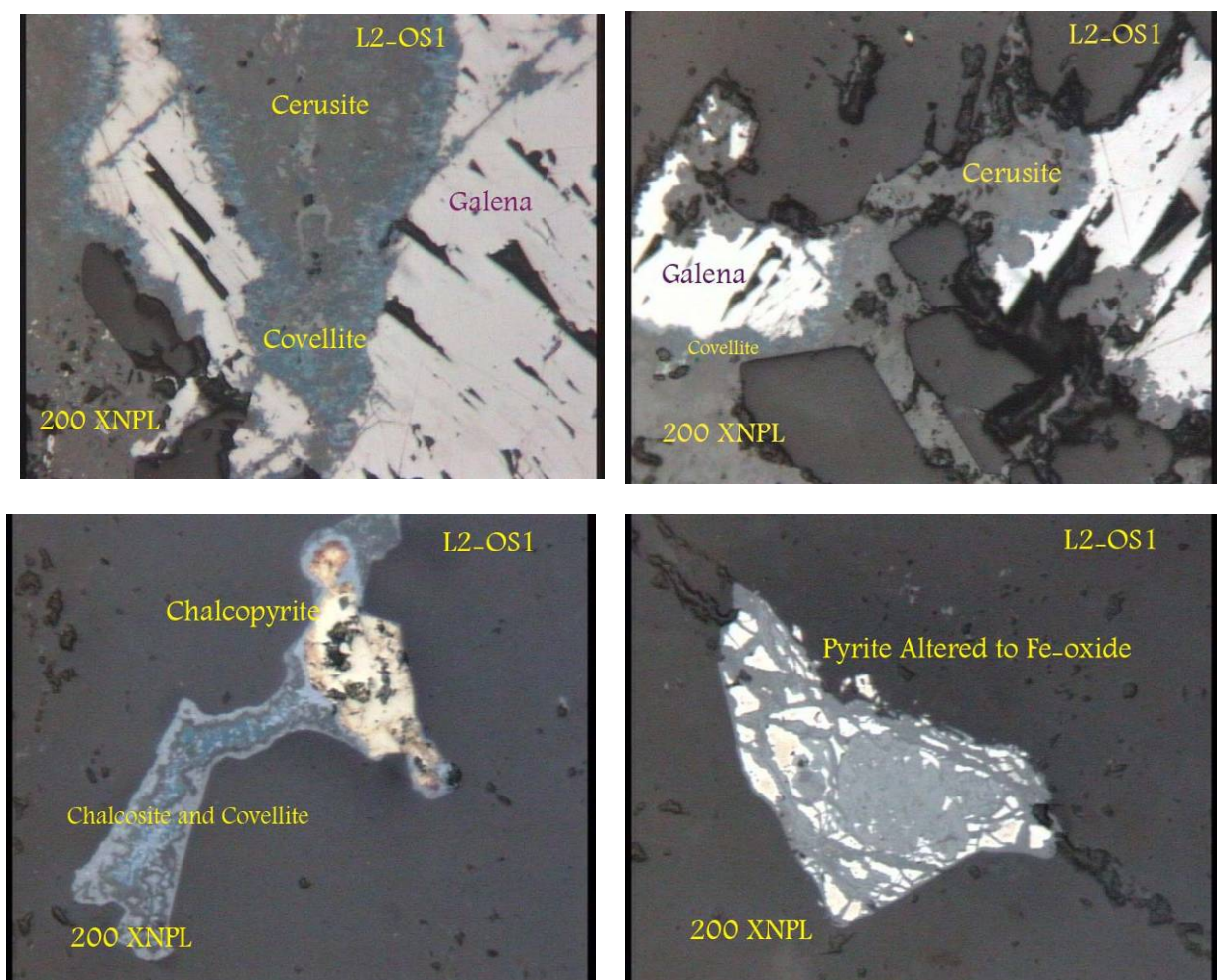
بخش عمده‌ای از گالان را به سروزیت تبدیل نموده است. در قسمتهای آلتره ذرات

کالکوسیت و کوولیت ثانویه نیز با با جانشینی بودن مس با سرب تشکیل شده است. عیار

گالان و سروزیت مجموعاً حدود ده درصد تخمین زده می‌شود.

۴- مالاکیت: به شکل پرشدگی درز و شکافها و حفرات گانگ غیرفلزی و آغشتنگی گانگ غیر

فلزی تشکیل شده است. عیار آن کمتر از یک درصد است.



شکل (۶-۲۴): تصاویر مربوط به کانه‌های فلزی مشاهده شده در نمونه L2-Os1

۳- پروفیل شماره ۳

این پروفیل در فاصله ۹۰ متری شرق پروفیل ۲ (شکل ۱۷-۶) واقع شده است. مختصات این پروفیل صورت لب‌پری و بطوریکه تمام طول متراز نمونه برداری را پوشش دهد از رگه برداشت شد. جدول (۶-۶) مربوط به نتایج آنالیز این پروفیل می‌باشد. همچنین نمودار عیار- نمونه این پروفیل برای عناصر دارای عیار اقتصادی (مس، سرب و روی) ترسیم شده است.

جدول (۶-۶): نتایج آنالیز عناصر معدنی پروفیل شماره ۳ (مقادیر به ppm)

S.No	Ag	Cu	Pb	Zn	W	Mo	As	Sb	Hg
L3-1	1.2	219	600	2100	17	61	26.9	0.88	0.58
L3-2	1.6	890	1200	1900	16	62	51.7	7.19	0.53
L3-3	2.4	1900	2100	4300	16	81	41.1	7.60	0.82
L3-4	11	10500	8600	2900	3	64	52.7	9.72	2.74
L3-5	0.8	850	765	915	12	83	16.8	3.98	0.21
L3-6	1	825	900	1100	12	47	18.6	7.87	0.32
L3-7	3	585	1900	1800	11	33	13.1	5.45	1.07
L3-8	2.8	440	925	2400	13	33	8.0	0.92	1.05

شکل (۶-۶): نمودار عیار- نمونه پروفیل شماره ۳ (مقادیر به درصد)



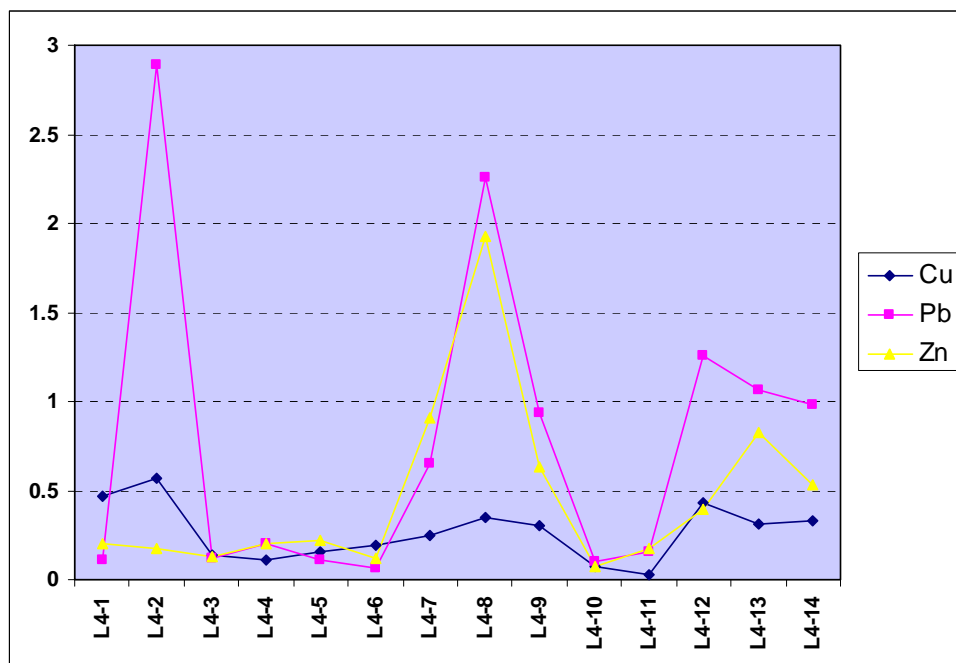
۴- پروفیل شماره ۴:

این پروفیل در فاصله ۱۱۰ متری شرق پروفیل ۳ (شکل ۶-۱۷) واقع شده است. مختصات این پروفیل (۶۴۳۳۲۱، ۳۶۷۴۵۱۹) می‌باشد. طول رگه در محل پروفیل ۲۸ متر می‌باشد و تعداد ۱۴ نمونه به صورت لب پری و بطوریکه تمام طول متراز نمونه‌برداری را پوشش دهد از رگه برداشت شد. جدول (۶-۸) مربوط به نتایج آنالیز این پروفیل می‌باشد. همچنین نمودار عیار- نمونه این پروفیل برای عناصر دارای عیار اقتصادی (مس، سرب و روی) ترسیم شده است.

جدول (۶-۸): نتایج آنالیز عناصر معدنی پروفیل شماره ۴ (مقادیر به ppm)

S.No	Ag	Cu	Pb	Zn	W	Mo	As	Sb	Hg
L4-1	7	4700	1100	2000	16	97	5.2	1.63	1.77
L4-2	2	5700	28900	1700	6	117	18.0	4.59	22.82
L4-3	3	1400	1200	1300	14	60	21.0	4.87	1.18
L4-4	3	1100	2000	2000	17	61	22.4	3.89	1.03
L4-5	4	1600	1100	2200	15	28	44.2	2.92	0.97
L4-6	3	1900	675	1200	3	47	4.9	0.61	1.50
L4-7	6	2500	6500	9100	15	70	40.8	20.20	10.91
L4-8	3	3500	22600	19300	14	81	15.0	2.34	9.76
L4-9	4	3000	9400	6300	14	77	13.5	1.39	0.74
L4-10	2	700	975	720	14	54	17.4	0.375	0.39
L4-11	2	317	1600	1700	15	69	4.3	0.375	0.46
L4-12	6	4300	12600	3900	13	58	27.2	1.93	5.83
L4-13	6	3100	10600	8300	13	22	2.5	1.58	1.22
L4-14	7	3300	9800	5300	15	51	12.9	3.13	8.08

شکل (۶-۲۶): نمودار عیار- نمونه پروفیل شماره ۴ (مقادیر به درصد)





شکل (۲۷-۶): تصویر رگه سیلیسی در محل پروفیل ۴ (دید به سمت غرب)



شکل (۲۸-۶): تصویر رگه سیلیسی در محل پروفیل ۴ (دید به سمت شرق)

فصل ششم.....کنترل صحرایی..
همچنین نمونه L4-081 جهت بررسی کانه‌نگاری فلزی برداشت گردید که شرح مطالعه آن در زیر آمده است.

۱- پیریت: به شکل کریستالهای اتومورف و ساب اتومورف با ابعاد حدود بیست الی هشتاد

میکرون به تعداد کم و بطور پراکنده تشکیل شده است. بعضًا تحت تاثیر آلتراسیون سوپرژن در حال تبدیل به اکسیدهای ثانویه و آبدار آهن است. عیار آن کمتر از یک درصد است.

۲- کالکوپیریت: به شکل ذرات غیرهندسی با ابعاد حدود بیست الی ۴۰۰ میکرون به تعداد

نسبتاً کم و بطور پراکنده تشکیل شده است. کالکوپیریت در بعضی قسمتها باعث تکشیل هاله اکسید آهن ثانویه در اطراف آن شده است. عیار کالکوپیریت حدود یک درصد تخمین زده می‌شود. این کانی اغلب در کن tact با گالن مشاهده می‌شود.

۳- اسفالریت: به شکل ذرات غیرهندسی با ابعاد حدود ده الی ۸۰۰ میکرون تشکیل شده‌اند.

ذرات کوچکی از گالن به صورت انکلوژیون در متن این کریستالها مشاهده می‌شود عیار اسفالریت کمتر از ۱ درصد است.

۴- گالن: به شکل ذرات غیرهندسی با ابعاد حدود صد الی هزار میکرون و ندرتاً کریستالهای اتومورف با ابعاد حدود پنجاه میکرون تشکیل شده است. تجمع ذرات در بعضی قسمتها لکه‌ای با ابعاد بزرگتر از یک میلیمتر را بوجود آورده است. در بعضی قسمتها ذرات ریزدانه پیریت و کالکوپیریت به شکل انکلوژیون درون آن وجود دارد. آلتراسیون گالن باعث تشکیل سروزیت در اطراف آن شده و در بعضی قسمتها درون سروزیت و در حاشیه گالن جابجائی یونی صورت گرفته و ذرات کوولیت و کالکوسیت ثانویه بوجود آمده است. عیار مجموعه گالن و سروزیت حدود پنج درصد تخمین زده می‌شود.

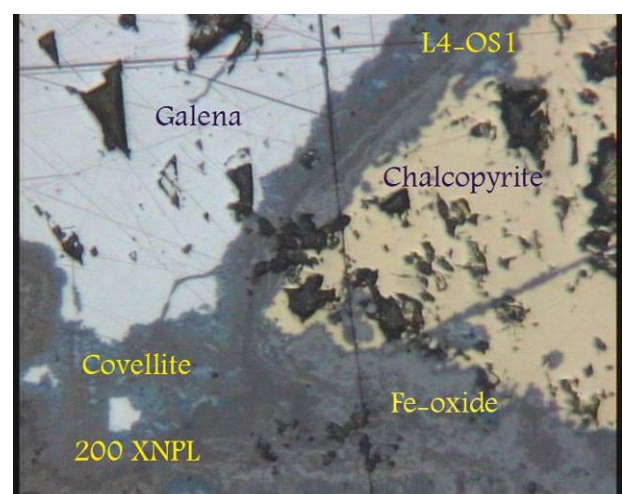
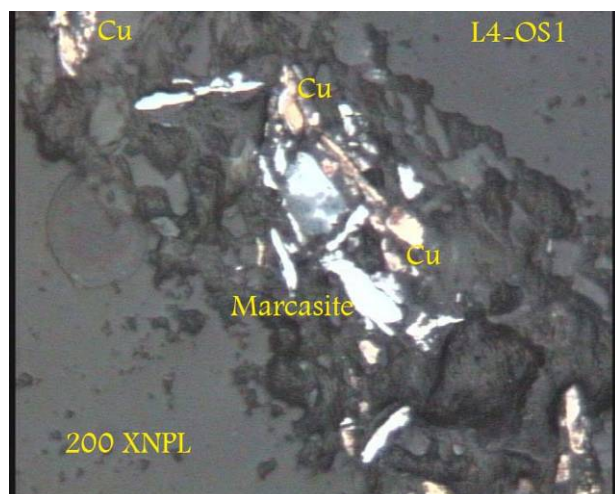
۵- مس طبیعی: به شکل ذرات غیرهندسی با ابعاد حدود ۵ الی ۵۰ میکرون در درون گانگ مخصوص به درز و در داخل شکاف موجود در نمونه که با چشم غیرمسلح قابل رویت است

فصل ششم.....کنترل صحرایی..

کانی سازی کرده است. این گانگ علاوه بر مس حاوی مارکاسیت به شکل باریک و کشیده و دوکی شکل است که این گانگ به تعداد سه عدد در محدوده سطح مقطع در قسمتهای مختلف قرار دارد. در این گانگ به ندرت شاهد حضور تک کریستال کوچکی از کانی گالن و دو کریستال کوچک اسفالریت هستیم فراوانی مارکاسیت در این محدوده به مراتب بیشتر از مس است. فراوانی مس حدود ۰/۵ درصد می‌باشد.

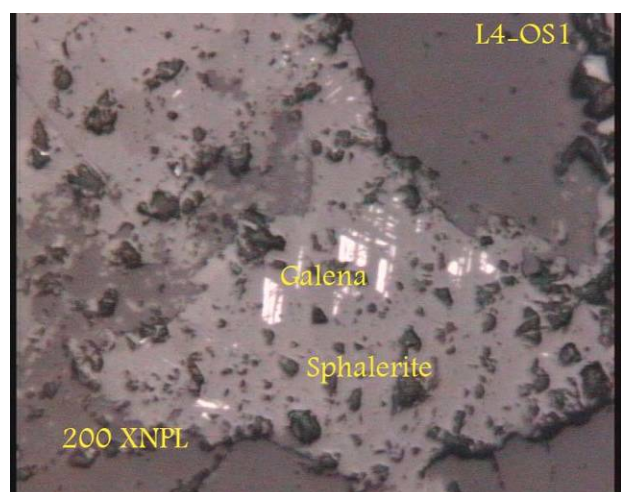
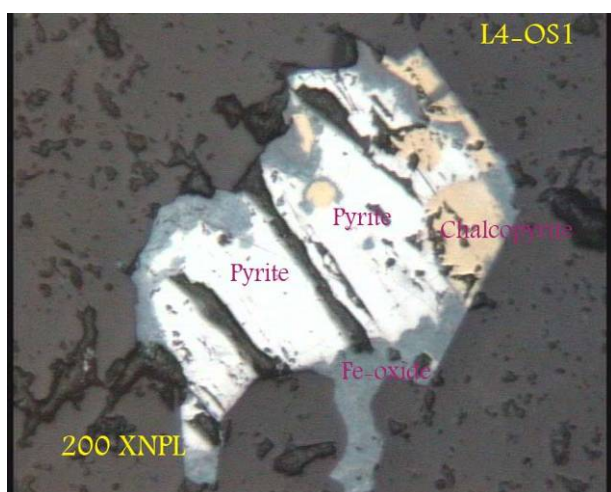
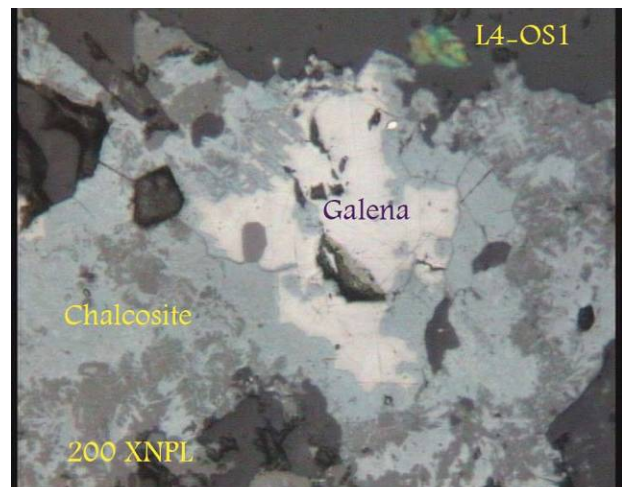
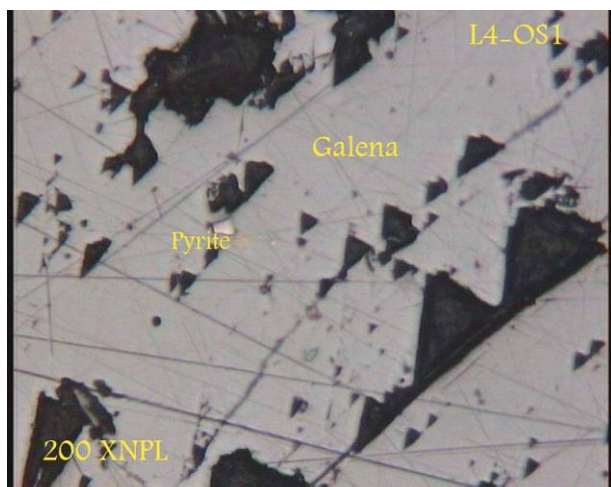
۶- مالاکیت و اکسیدهای ثانویه و آبدار آهن به عنوان آخرین محصولات فاز آلتراسیون سوپرژن به شکل تجمع درون درز و شکافها و آغشته‌گی گانگ غیرفلزی در قسمتهای مختلف سطح مقطع صیقلی وجود دارد.

۷- روتیل: به شکل کریستالهای ساب اتومورف در ابعادی مابین ۲ الی ۱۰ میکرون در متن نمونه پراکندگی غیریکنواخت دارند.



فصل ششم

کنترل صحرایی..



شکل (۲۹-۶): تصاویر مربوط به کانه های فلزی مشاهده شده در نمونه L4-Os1

۵- پروفیل شماره ۵:

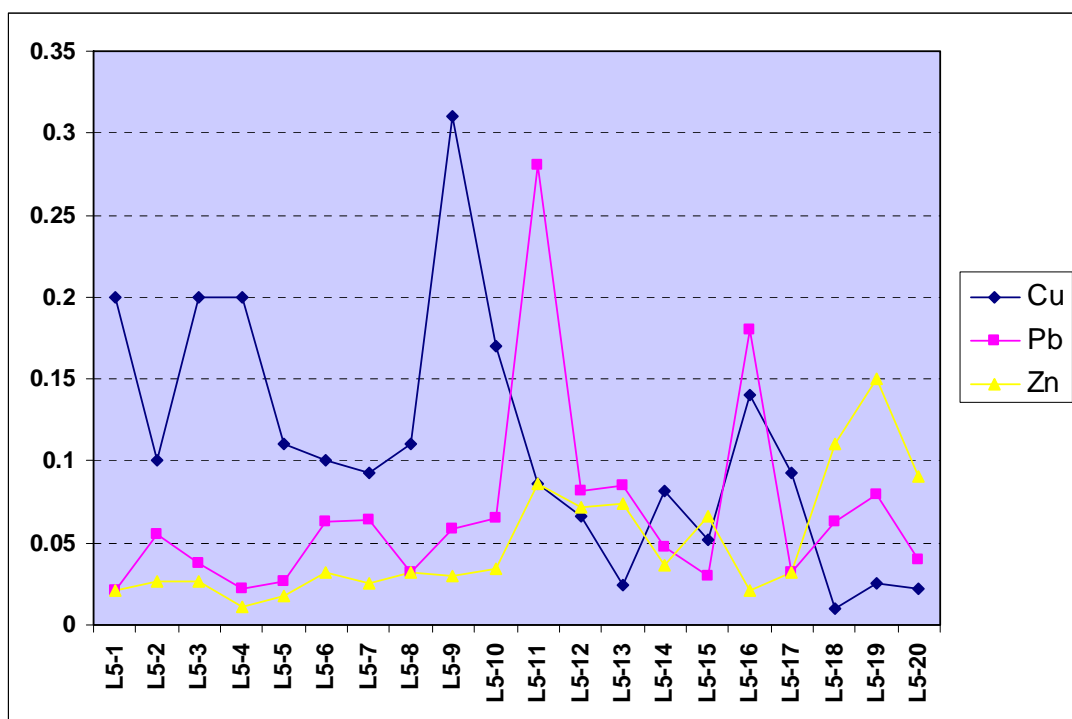
این پروفیل در فاصله ۳۷۰ متری شمال شرق پروفیل ۴ (شکل ۱۷-۶) واقع شده است. مختصات این پروفیل (۶۴۳۶۰ ۲، ۳۶۷۴۷۶۳) می باشد. طول رگه در محل پروفیل ۴۰ متر می باشد و تعداد ۲۰ نمونه به صورت لب پری و به طور یکه تمام طول متراز نمونه برداری را پوشش دهد از رگه برداشت شد. جدول (۹-۶) مربوط به نتایج آنالیز این پروفیل می باشد. همچنین نمودار عیار- نمونه این پروفیل برای عناصر دارای اقتصادی (مس، سرب و روی) ترسیم شده است.

فصل ششم.....کنترل صحرایی..

جدول (٦-٩): نتایج آنالیز عناصر معدنی پروفیل شماره ٥(مقادیر به ppm)

S.No	Ag	Cu	Pb	Zn	W	Mo	As	Sb	Hg
L5-1	2	2000	207	215	12	43	32.7	2.14	0.28
L5-2	1.4	1000	550	265	13	49	32.0	1.42	0.45
L5-3	1.6	2000	376	270	11	46	24.5	2.52	0.49
L5-4	1.4	2000	217	110	3	23	17.0	1.37	0.32
L5-5	2	1100	260	180	8	33	24.7	1.03	0.19
L5-6	1.2	1000	630	325	13	46	31.4	3.41	1.87
L5-7	0.8	930	635	250	17	42	29.6	1.17	0.54
L5-8	0.8	1100	316	315	8	35	18.7	0.76	0.28
L5-9	2.6	3100	590	300	3	29	28.1	1.34	0.23
L5-10	2	1700	650	340	13	46	27.9	1.06	0.26
L5-11	4	860	2800	860	14	132	215.5	3.22	0.50
L5-12	1.8	665	815	720	9	76	26.0	1.97	0.18
L5-13	2	240	850	740	4	52	14.3	1.41	0.73
L5-14	1.4	815	475	365	11	53	21.9	1.09	0.075
L5-15	1.8	515	294	660	12	62	21.9	1.83	0.35
L5-16	2.8	1400	1800	210	5	78	35.7	5.10	0.29
L5-17	2.2	925	316	320	11	41	18.5	0.56	0.21
L5-18	1.2	101	630	1100	23	58	22.4	0.375	0.31
L5-19	1.2	252	800	1500	21	71	32.6	0.98	0.31
L5-20	2	216	396	900	13	25	50.3	1.27	0.49

شکل (٦-٣): نمودار عیار- نمونه پروفیل شماره ٥ (مقادیر به درصد)





شکل (۳۱-۶): تصویر رگه سیلیسی در محل پروفیل ۵(دید به سمت شمال)

۶- پروفیل شماره ۶:

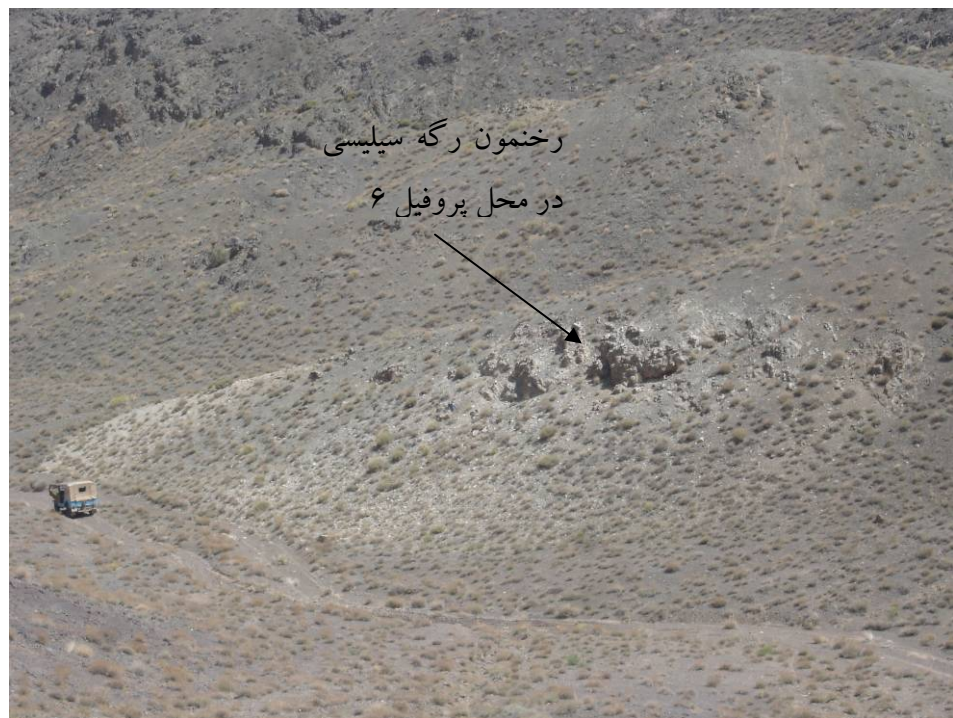
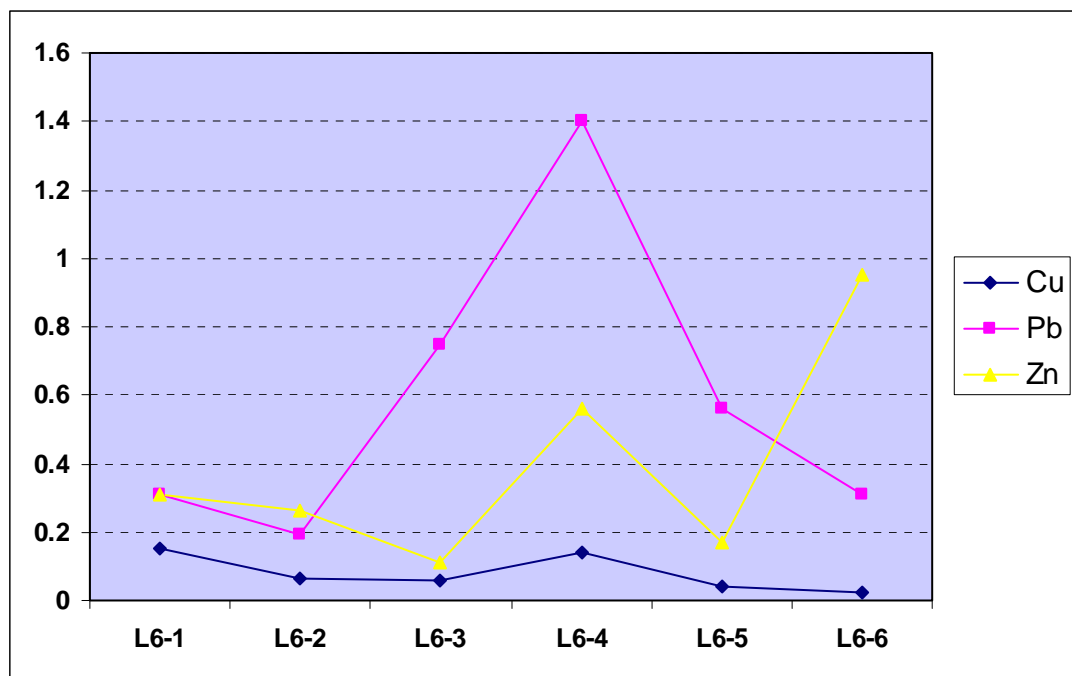
این پروفیل در فاصله ۳۶۰ متری شرق پروفیل ۴ (شکل ۱۷-۶) واقع شده است. مختصات این پروفیل (۶۴۳۶۷۱، ۳۶۷۴۵۹۳) می باشد. طول رگه در محل پروفیل ۱۲ متر می باشد و تعداد ۶ نمونه به صورت لب پری و بطوریکه تمام طول متراز نمونه برداری را پوشش دهد از رگه برداشت شد. جدول (۶-۱) مربوط به نتایج آنالیز این پروفیل می باشد. همچنین نمودار عیار- نمونه این پروفیل برای عناصر دارای اقتصادی(مس، سرب و روی) ترسیم شده است.

جدول (۶-۱): نتایج آنالیز عناصر معدنی پروفیل شماره ۶(ppm به مقادیر به

S.No	Ag	Cu	Pb	Zn	W	Mo	As	Sb	Hg
L6-1	3	1500	3100	3100	6	29	11.1	0.58	1.28
L6-2	3	625	1900	2600	3	39	6.9	2.06	7.41
L6-3	5	600	7500	1100	10	27	25.6	1.50	0.63
L6-4	9	1400	14000	5600	3	38	13.7	2.58	6.59
L6-5	8	384	5600	1700	17	50	12.4	1.11	0.73
L6-6	5	249	3100	9500	16	38	10.8	1.57	5.23

فصل ششم.....کنترل صحرایی..

شکل (۳۲-۶): نمودار عبار- نمونه پروفیل شماره ۶ (مقادیر به درصد)



شکل (۳۳-۶): تصویر رگه سیلیسی در محل پروفیل ۶ (دید به سمت جنوبشرق)

فصل ششم.....کنترل صحرایی..

همچنین نمونه L6-Os1 جهت بررسی کانه نگاری فلزی برداشت گردید که شرح مطالعه آن در زیر آمده است.

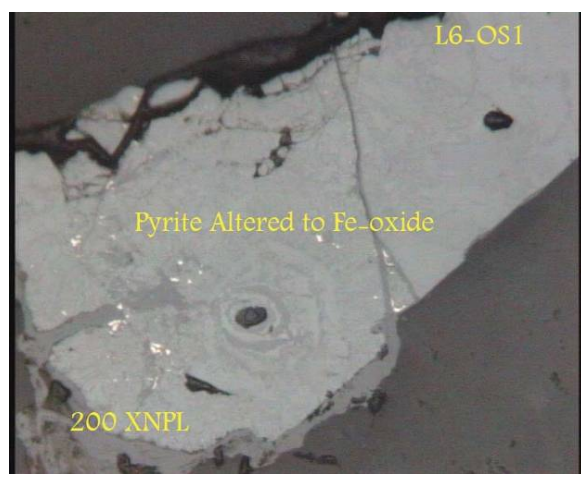
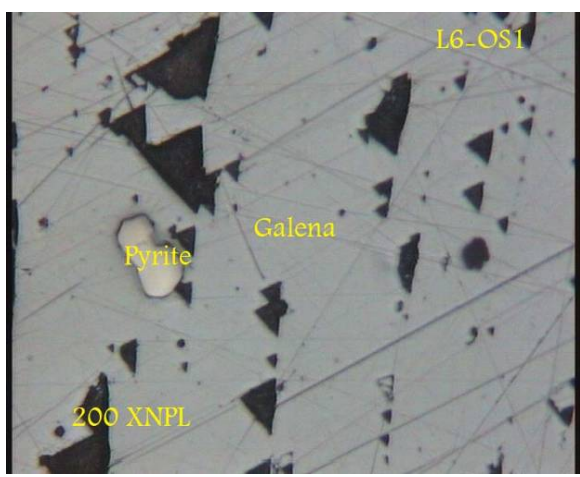
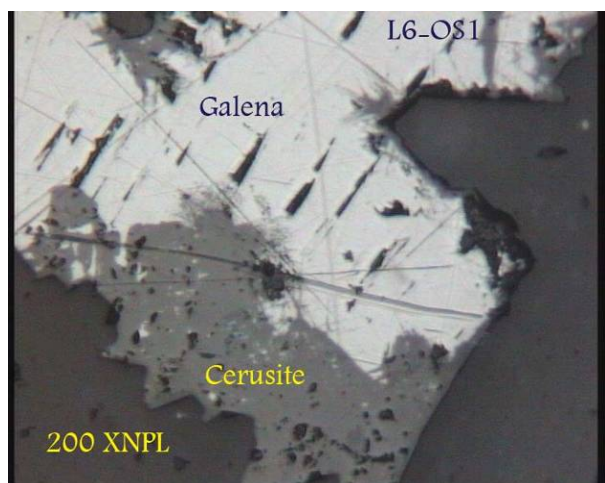
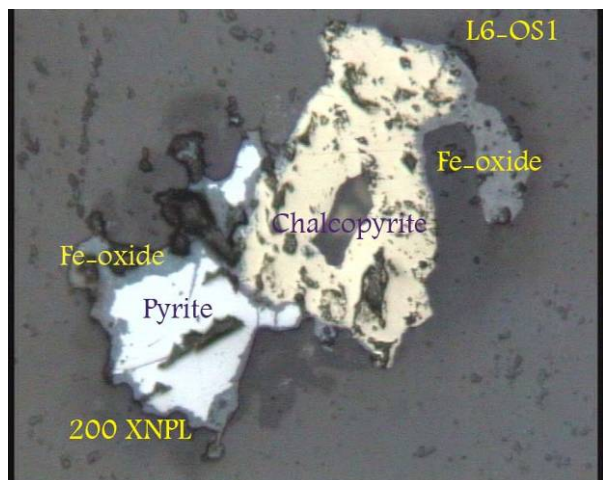
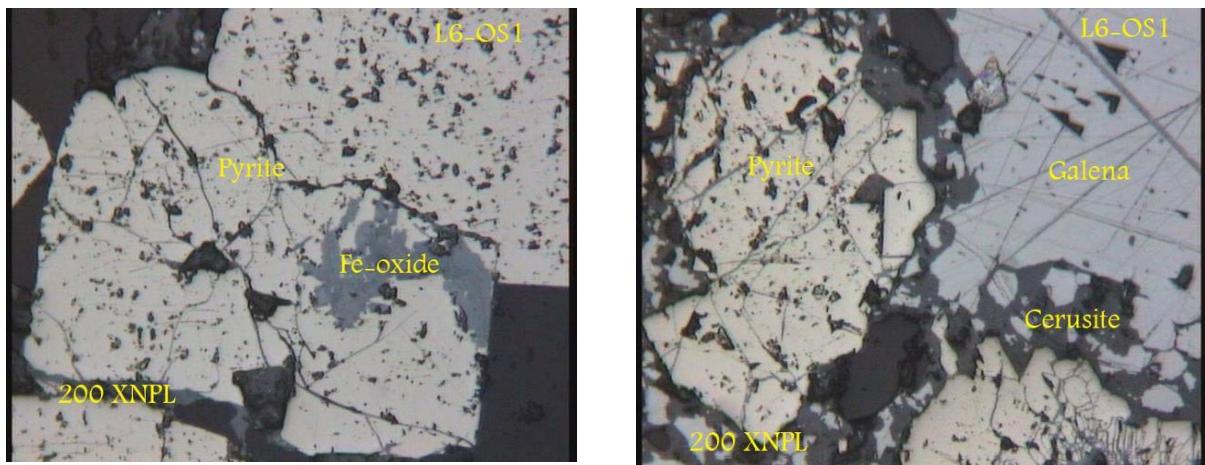
۱- پیریت: به شکل کریستالهای اтомورف و ساب اتمورف در ابعاد ۵۰ الی ۴۰۰ میکرون به تعداد کم و به صورت تجمع در یکی دو نقطه از نمونه تشکیل شده‌اند. این کریستالها به درجات مختلف تحت فرایند آلتراسیون سوپرژن قرار گرفته و برخی از آنها بسیار جزئی و برخی دیگر به شدت آلتره شده‌اند. برخی از کریستالهای پیریت فاقد آلتراسیون می‌باشند. به ندرت کریستالهای کوچک و اتمورف پیریت را بصورت انکلوزیون احاطه شده توسط گالن مشاهده می‌کنیم. سطح کریستالهای پیریت فاقد آلتراسیون حفره‌دار و مجوف بوده و دارای شکستگی می‌باشد.

۲- کالکوپیریت: به شکل ذرات غیرهندسی با ابعاد حدود ۴۰ الی ۲۰۰ میکرون به تعداد انگشت شمار تشکیل شده‌اند. این کریستالها از اطراف در حال آلتراسیون سوپرژن و تبدیل به کالکوسیت و کولولیت و اکسیدهای آبدار و ثانویه آهن هستند. کانی پیریت و کالکوپیریت با یکدیگر کن tact کن نداشتند ولی این کانی را به ندرت در کن tact با گالن مشاهده می‌کنیم.

۳- گالن: همانطور که در نمونه دستی با چشم غیرمسلح مشاهده می‌کنیم کریستالهای گالن با شکل هندسی نامشخص و در ابعاد بزرگ رشد یافته تا حدود ۲/۵ میلیمتر با فراوانی ۱۰ درصد در فضاهای خالی سنگ میزبان با بافت Open Space کانی‌سازی کرده‌اند، آلتراسیون سوپرژن بخشی از گالن را به سروزیت تبدیل نموده است. در قسمتهای آلتره شده ذرات کولولیت و کالکوسیت به علت جایگزین شدن یون مس تشکیل گردیده‌اند.

۴- آغشتگی بسیار جزئی به مالاکیت مشاهده شد.

۵- اکسیدهای آبدار و ثانویه آهن بصورت رگچه‌های بسیار ظریف و به مقدار کم در شکافهای سنگ میزبان مستقر شده‌اند.



شکل (۳۴-۶): تصاویر مربوط به کانه‌های فلزی مشاهده شده در نمونه L6-Os1

۷- پروفیل شماره ۷

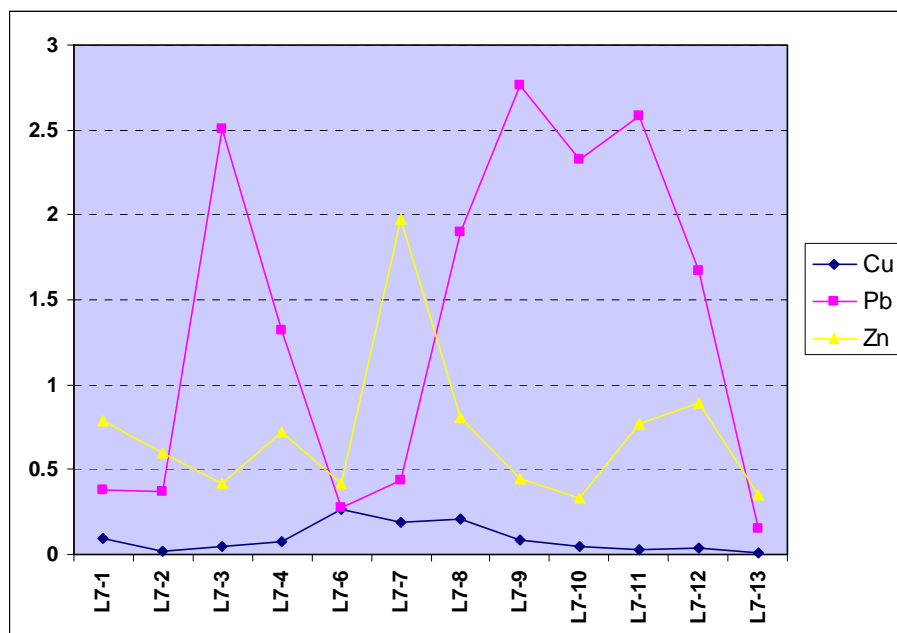
این پروفیل در فاصله ۵۸۰ متری شرق پروفیل ۵ (شکل ۱۷-۵) واقع شده است. مختصات این پروفیل (۶۴۴۱۸۰، ۳۶۷۴۸۱۸) می‌باشد. طول رگه در محل پروفیل ۲۶ متر می‌باشد و تعداد ۱۳ نمونه به صورت لب پری و بطوریکه تمام طول متراز نمونه برداری را پوشش دهد از رگه برداشت شد. جدول (۱۱-۶) مربوط به نتایج آنالیز این پروفیل می‌باشد. همچنین نمودار عیار- نمونه این پروفیل برای عناصر دارای عیار اقتصادی(مس، سرب و روی) ترسیم شده است. (نمونه ۵ در

آزمایشگاه مفقود شد)

جدول (۱۱-۶): نتایج آنالیز عناصر معدنی پروفیل شماره ۷ (مقادیر به ppm)

Row	S.No	Ag	Cu	Pb	Zn	W	Mo	As	Sb	Hg
1	L7-1	4	980	3800	7900	15	20	37.9	1.15	1.30
2	L7-2	2	169	3700	6000	13	19	56.3	0.375	1.09
3	L7-3	8	430	25100	4200	14	122	32.7	5.03	11.95
4	L7-4	5	750	13200	7200	10	21	25.1	2.61	5.88
5	L7-6	2	2700	2800	4200	15	21	21.9	0.75	0.37
6	L7-7	2	1900	4400	19700	18	20	11.6	0.55	9.63
7	L7-8	7	2100	19000	8100	16	20	25.8	5.73	5.59
8	L7-9	11	850	27600	4500	13	18	40.1	13.56	1.26
9	L7-10	7	500	23300	3300	10	18	91.1	5.12	7.26
10	L7-11	8	261	25800	7700	11	16	142.5	7.22	7.81
11	L7-12	6	395	16700	8900	13	24	98.8	3.14	1.92
12	L7-13	4	132	1500	3500	16	30	173.1	2.91	1.90

شکل (۳۵-۶): نمودار عیار- نمونه پروفیل شماره ۷ (مقادیر به درصد)





شکل (۳۶-۶): تصویر رگه سیلیسی در محل پروفیل ۷ (دید به سمت شرق)

۸- پروفیل شماره:

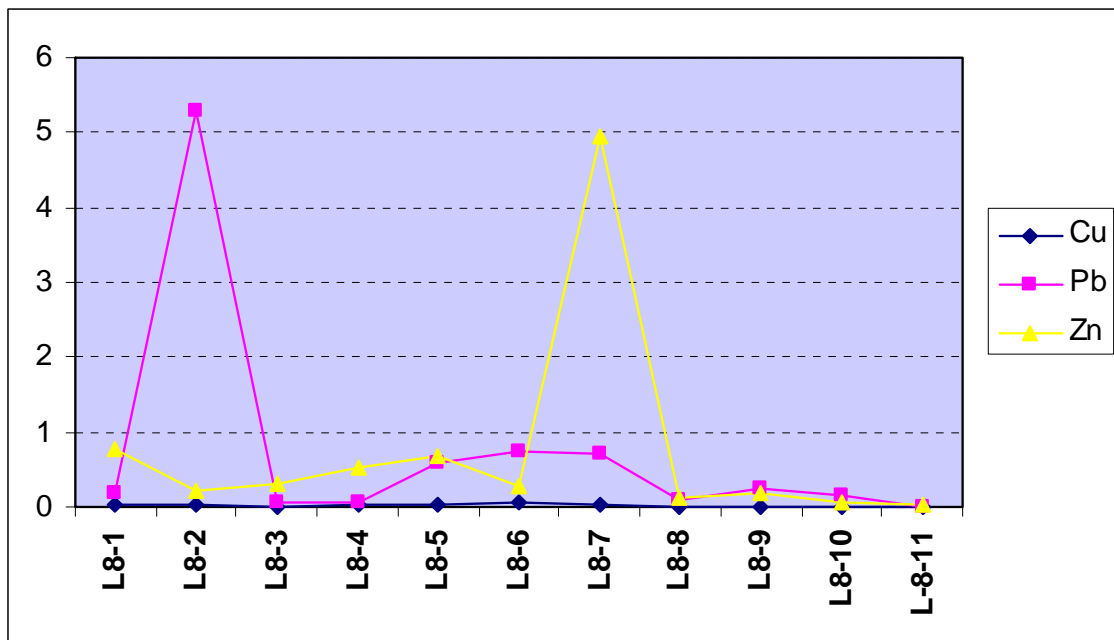
این پروفیل در فاصله ۵۰۰ متری شرق پروفیل ۷ (شکل ۶-۶) واقع شده است. مختصات این پروفیل (۶۴۴۶۶۴، ۳۶۷۴۷۳۱) میباشد. طول رگه در محل پروفیل ۲۲ متر میباشد و تعداد ۱۱ نمونه به صورت لب پری و بطوریکه تمام طول متراژ نمونه برداری را پوشش دهد از رگه برداشت شد. جدول (۱۲-۶) مربوط به نتایج آنالیز این پروفیل میباشد. همچنین نمودار عیار- نمونه این پروفیل برای عناصر دارای عیار اقتصادی(مس، سرب و روی) ترسیم شده است.

فصل ششم.....کنترل صحرایی..

جدول (۱۲-۶): نتایج آنالیز عناصر معدنی پروفیل شماره ۸(مقادیر به ppm)

Row	S.No	Ag	Cu	Pb	Zn	W	Mo	As	Sb	Hg
1	L8-1	8	455	1800	7800	3	47	119.2	1.26	0.36
2	L8-2	19	415	52800	2200	3	28	34.5	2.74	7.41
3	L8-3	2	120	475	3200	11	22	13.8	1.30	1.29
4	L8-4	2	430	700	5300	20	42	2.6	0.375	0.23
5	L8-5	2	445	5900	6700	22	63	1.1	0.375	0.99
6	L8-6	2	550	7400	2700	19	57	4.0	2.96	1.47
7	L8-7	3	455	7000	49500	25	123	17.5	6.36	1.53
8	L8-8	1	77	775	1200	20	71	9.5	4.24	0.51
9	L8-9	2	112	2500	1900	21	82	11.8	1.98	0.18
10	L8-10	4	51	1400	650	24	65	9.5	0.77	0.075
11	L8-11	26	27	44	170	24	63	9.8	3.86	0.075

شکل (۳۷-۶): نمودار عیار- نمونه پروفیل شماره ۸(مقادیر به درصد)



۹- پروفیل شماره ۹:

این پروفیل در فاصله ۲۰۰ متری شرق پروفیل ۸ (شکل ۱۷-۶) واقع شده است. مختصات این پروفیل صورت لب پری و بطوریکه تمام طول متراژ نمونه برداری را پوشش دهد از رگه برداشت شد. جدول

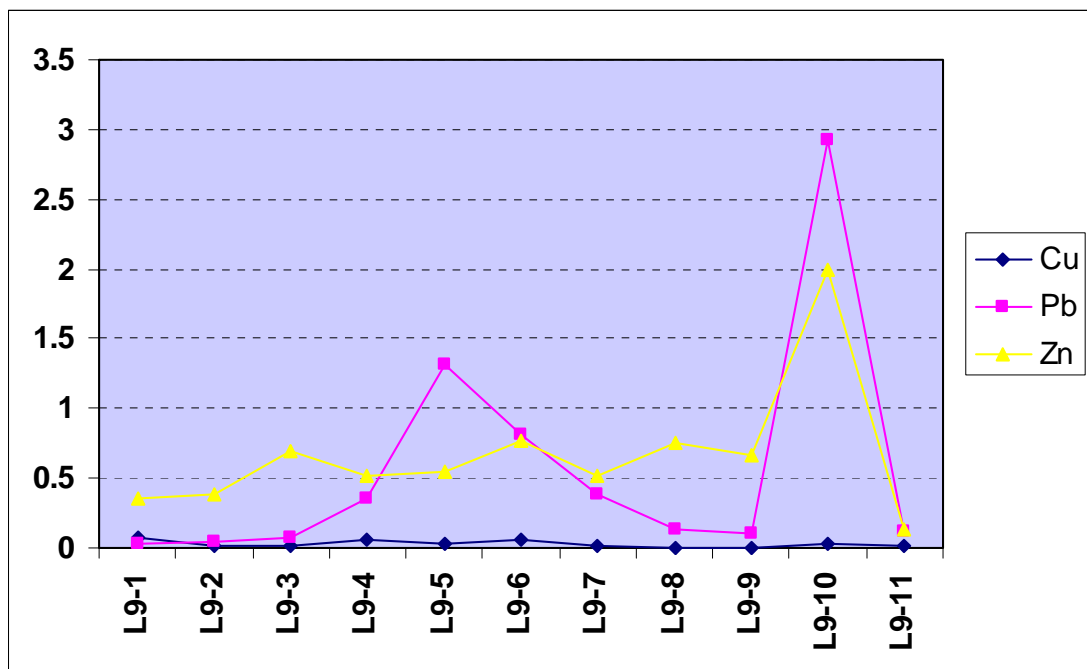
فصل ششم.....کنترل صحرایی..

(۱۳-۶) مربوط به نتایج آنالیز این پروفیل می باشد. همچنین نمودار عیار- نمونه این پروفیل برای عناصر دارای عیار اقتصادی(مس، سرب و روی) ترسیم شده است.

جدول (۱۳-۶): نتایج آنالیز عناصر معدنی پروفیل شماره ۹(مقادیر به ppm)

Row	S.No	Ag	Cu	Pb	Zn	W	Mo	As	Sb	Hg
1	L9-1	2	745	248	3500	22	51	11.8	2.01	0.13
2	L9-2	1	116	450	3900	19	46	0.75	0.375	0.075
3	L9-3	2	185	745	7000	18	50	0.75	0.375	0.40
4	L9-4	3	565	3500	5200	21	151	0.75	0.375	0.88
5	L9-5	4	348	13200	5500	22	78	3.4	3.47	1.43
6	L9-6	3	650	8100	7700	18	220	2.4	2.41	0.60
7	L9-7	3	115	3800	5200	3	10	2.8	1.56	0.77
8	L9-8	1	52	1300	7500	20	57	24.0	1.08	1.45
9	L9-9	1	48	1100	6600	21	84	1.7	1.39	0.22
10	L9-10	14	330	29200	20000	25	52	0.75	0.375	22.55
11	L9-11	2	190	1200	1400	26	62	0.75	0.375	0.19

شکل (۳۸-۶): نمودار عیار- نمونه پروفیل شماره ۹ (مقادیر به درصد)





شکل (۳۹-۶): تصاویر رگه سیلیسی در محل پروفیل ۹ (دید به سمت شمال)

۶-۲-۲- جمع بندی نتایج حاصل از پروفیلهای رگه پلی متال

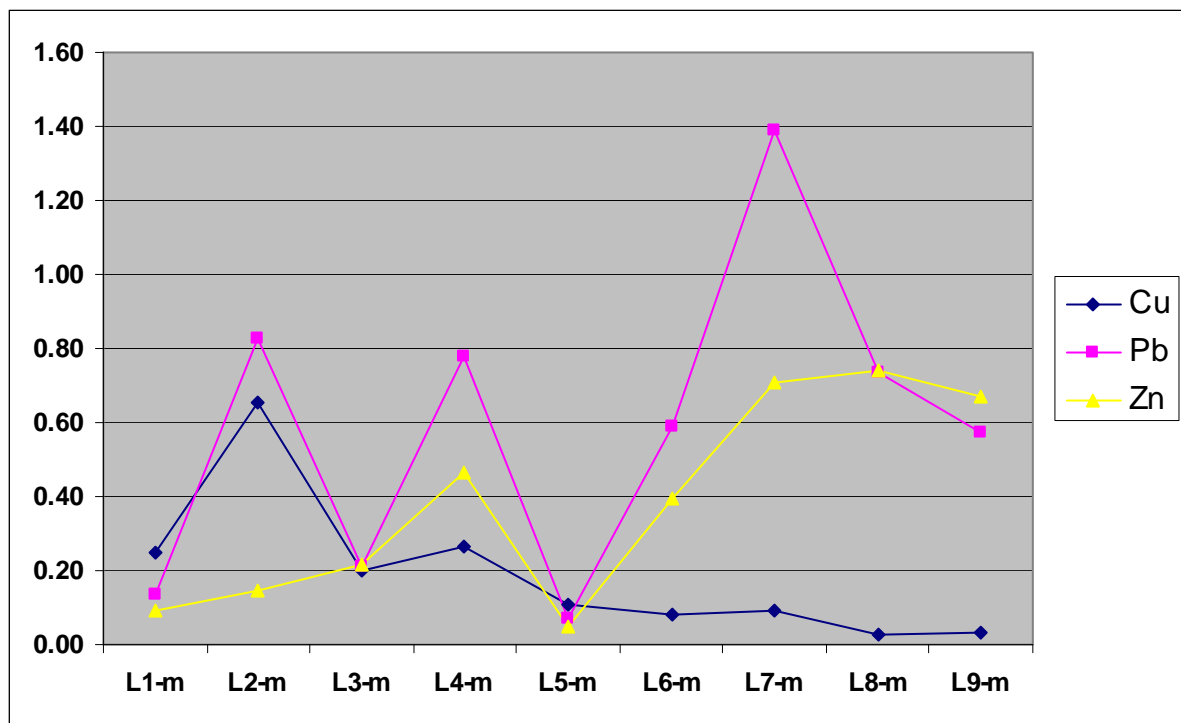
همچنانکه مشاهده شد بر روی رگه سیلیسی تعداد ۹ پروفیل تعیین و نمونه برداری به روش لب پری به فواصل ۲ متر انجام گردید. بدین ترتیب از پروفیل ۱ تا ۹ به ترتیب ۱۰۸ نمونه برداشت شد که شرح هر یک از پروفیلهای شامل مختصات، ضخامت، نتایج آنالیز و نمودار به همراه تصاویر مربوطه آورده شد. با توجه به تغییرات عیار در پروفیل‌ها و به منظور رسیدن به نتیجه مطلوب، میانگین عیار عناصر مس، سرب و روی برای هر پروفیل بدست آمد که در جدول (۱۴-۶) آمده است. همچنین نمودار تغییرات عیار در پروفیلهای مختلف در شکل (۴۰-۶) مشاهده می‌شود

جدول(۱۴-۶): میانگین نتایج آنالیز عنصر معدنی پروفیلهای مختلف(مقادیر به درصد)

P.No	Cu	Pb	Zn
L1-m	0.25	0.14	0.09
L2-m	0.65	0.83	0.15
L3-m	0.20	0.21	0.22
L4-m	0.27	0.78	0.46
L5-m	0.11	0.07	0.05
L6-m	0.08	0.59	0.39
L7-m	0.09	1.39	0.71
L8-m	0.03	0.73	0.74
L9-m	0.03	0.57	0.67
Average	0.19	0.59	0.39

همچنانکه در نمودار زیر مشاهده می‌گردد بر اساس نتایج میانگین پروفیلهای، از شرق به سمت غرب رگه با افزایش ارتفاع، مقدار سرب و روی افزایش و مقدار مس کاهش می‌یابد. همچنین میانگین کلی نتایج پروفیلهای (سطر آخر جدول ۱۴-۶) نتیجه امیدوارکننده‌ای جهت ادامه عملیات اکتشافی نمی‌باشد.

شکل (٤٠-٦): نمودار تغییرات عیار در پروفیلهای مختلف (مقادیر به درصد)



فصل ششم

نتیجه گیری و پیشنهادات

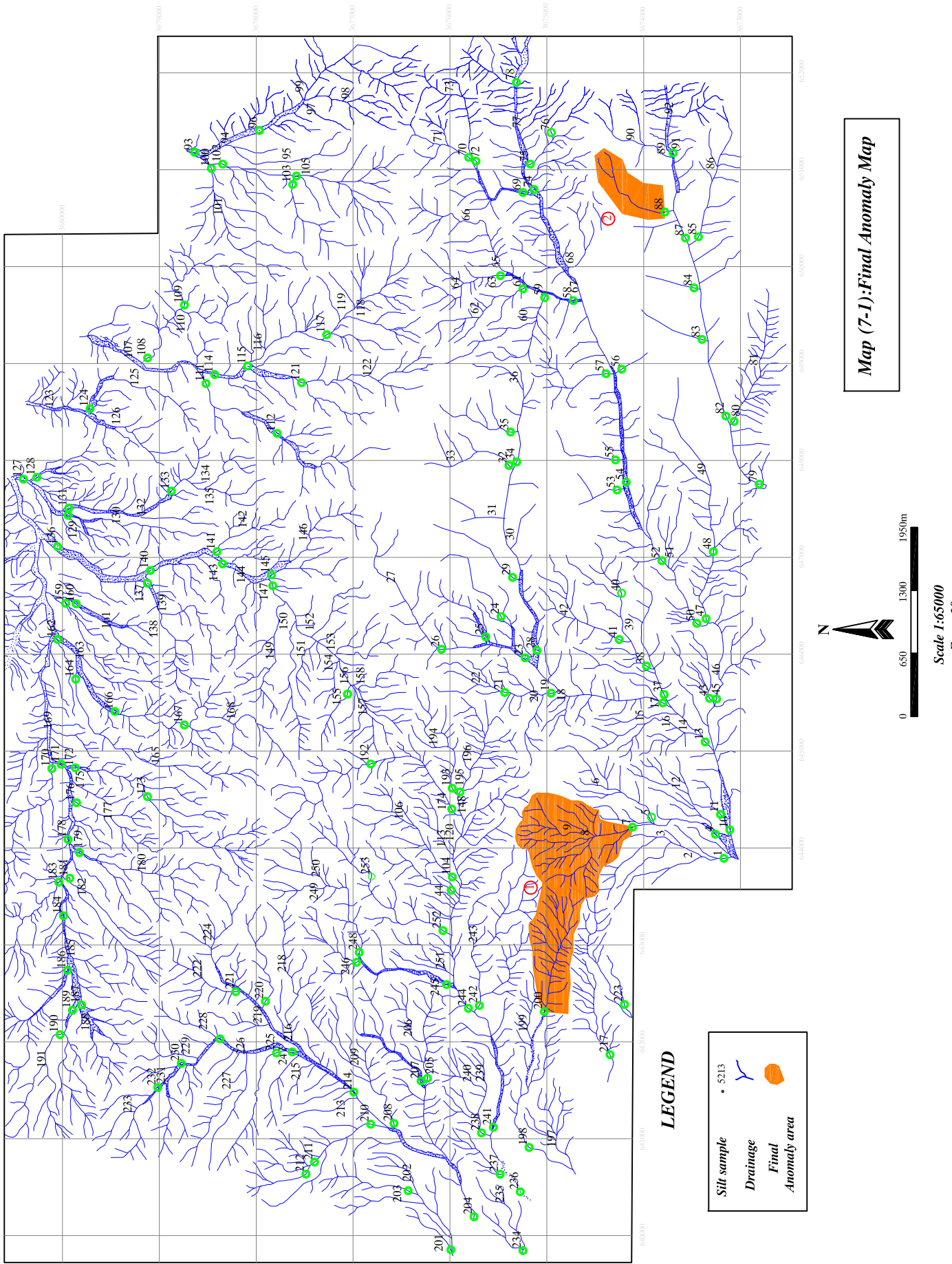
۱-۷- مقدمه

براساس مطالعات انجام گرفته ، تعداد ۲۵۳ نمونه ژئوشیمی برداشت گردید که آنومالی‌های ژئوشیمی بر اساس نقش تک تک عناصر استخراج و نقشه آنومالی ژئوشیمی از تلفیق آن بدست آمد. همچنین تعداد ۱۳۹ نمونه کانی سنگین همزمان با نمونه‌های ژئوشیمی برداشت و مطالعه شد، سپس کانه‌های اقتصادی هم‌گروه در قالب ۸ نقشه ترسیم گردید و آنومالی‌های نقشه جهت کنترل صحرایی مشخص شد. کنترل صحرایی با توجه به نقشه آنومالی‌های ژئوشیمی و کانی سنگین (نقشه ۱-۶) انجام گردید که ماحصل آن شناخت نواحی معدنی در بخش‌های مختلف محدوده گردید.

۲-۷- نتیجه گیری:

پس از ارزیابی نهایی بر روی داده‌های ژئوشیمی، کانی سنگین و مینرالیزه برداشت شده دو محدوده به عنوان مناطق امیدبخش معرفی می‌گردد. نقشه محدوده‌های امید بخش نهایی در نقشه (۱-۷) آورده شده است. شرح این مناطق در زیر آورده می‌شود.

NASRAN
(Eastern north of Esfahan)

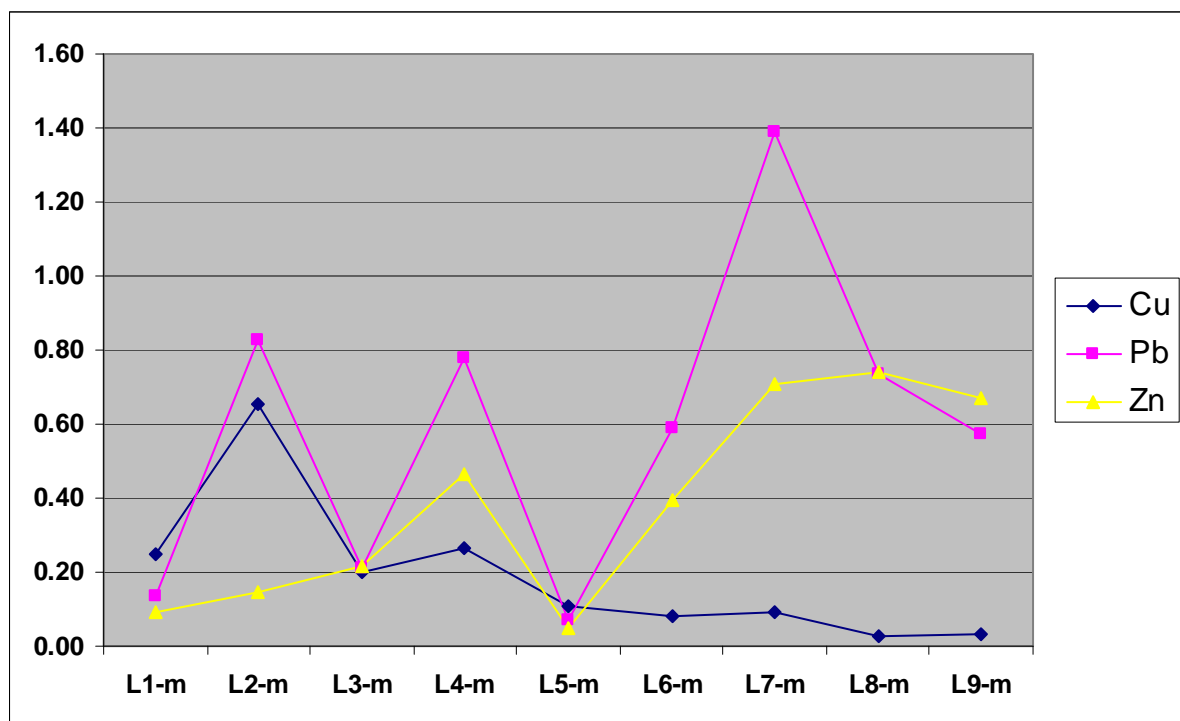


فصل هفتم.....نتیجه گیری
۱-۲-۷ محدوده شماره:

این محدوده به مختصات 3674653، 643817 در جنوب‌غرب منطقه مورد مطالعه قرار دارد و شامل رگه سیلیسی به ضخامت متوسط ۲۰ متر و طول تقریبی ۱/۵ کیلومتر می‌باشد. این رگه گسلی بوده و وجود برش‌های سیلیسی و آینه گسل در بخش‌های مختلف به چشم می‌خورد. همچنانکه مشاهده می‌گردد براساس نتایج میانگین پروفیلهای (شکل ۱-۷)، از شرق به سمت غرب رگه با افزایش ارتفاع منطقه، مقدار سرب و روی افزایش و مقدار مس کاهش می‌یابد. همچنین میانگین کلی نتایج پروفیلهای (سطر آخر جدول ۱-۷) نتیجه امیدوارکننده‌ای جهت ادامه عملیات اکتشافی نمی‌باشد.

جدول (۱-۷): میانگین نتایج آنالیز عناصر معدنی پروفیلهای مختلف (مقادیر به درصد)

P.No	Cu	Pb	Zn
L1-m	0.25	0.14	0.09
L2-m	0.65	0.83	0.15
L3-m	0.20	0.21	0.22
L4-m	0.27	0.78	0.46
L5-m	0.11	0.07	0.05
L6-m	0.08	0.59	0.39
L7-m	0.09	1.39	0.71
L8-m	0.03	0.73	0.74
L9-m	0.03	0.57	0.67
Average	0.19	0.59	0.39



شکل(۷-۱) : نمودار تغییرات عیار در پروفیل‌های مختلف محدوده شماره ۱ (مقادیر به درصد)



شکل (۷-۲): بخش غربی رگه سیلیسی، محل پروفیلهای ۱،۲،۳،۴

۲-۲-۷- محدوده شماره ۲:

این آنومالی به مختصات 3674026، 650610 در جنوبشرق محدوده مورد مطالعه قرار دارد و شامل رگه سیلیسی به ضخامت متوسط ۵۰ سانتیمتر و طول تقریبی ۳۰۰ متر قابل مشاهده می باشد. آثار برداشت از رگه به صورت حفر تونل و سطحی در محل دیده می شود. با توجه به نتایج آنالیز نمونه های برداشت شده از رگه مذکور (88m1,2)، مس ۲٪، سرب (۰/۲۰٪)، روی ۶۲۰ ppm و نقره (۲۶۰ ppm) مشاهده گردید.



شکل (۷-۳): رگه سیلیسی مذکور همراه با آثار کنده کاری و حاوی مالاکیت، آزوریت، گالن



شکل (۴-۷): رگه سیلیسی مذکوره‌مراه با آثار کنده‌کاری و حاوی مالاکیت، آزوریت، گالن (نمونه ۱,۲ ۸۸m)

۳-۷- پیشنهادات:

محدوده شماره ۱: ابعاد کانی سازی طبق شرحی که در بند ۵-۱-۲ و ۵-۲-۲ مربوط به فصل پنجم ذکر گردید، ابعاد جالب توجهی بوده لیکن عیار میانگینی که از پروفیلهایمعدنی بدست آمد (جدول (۷-۱) و شکل (۷-۱)) بنظر نمی‌رسد که عیار جالب توجهی جهت توجیه ادامه عملیات اکتشافی باشد.

محدوده شماره ۲: در این محدوده کانی سازی برخلاف محدوده شماره ۱، از عیار بالایی برخوردار بوده لیکن ابعاد کم کانی سازی (حداکثر ۱ در ۵۰ متر) بنظر نمی‌رسد توجیه کافی جهت ادامه کار را دشته باشد.

۴-۷ منابع

-منابع فارسی:

- ۱- بحروفی، ع. نقشه زمین‌شناسی ۱:۱۰۰۰۰۰ زواره (شهراب)، سازمان زمین‌شناسی.
- ۲- طرح اکتشاف سراسری، ۱۳۸۵، گزارش اکتشافات ژئوشیمیایی برگه ۱:۱۰۰۰۰۰ زواره (شهراب)، سازمان زمین‌شناسی.
- ۳- شرکت مشاور پارسی کان کاو، ۱۳۸۹، تهیه نقشه زمین‌شناسی ۱:۲۵۰۰۰ محدوده نصرند
- ۴- حسنی پاک، ع.ا.، ۱۳۷۱، نمونه برداری معدنی، انتشارات دانشگاه تهران.
- ۵- حسنی پاک، ع.ا. و شجاعت، ب.، ۱۳۷۹، مدل‌سازی کانسارهای فلزی و غیرفلزی و کاربرد اکتشافی آن، انتشارات دانشگاه تهران.
- ۶- حسنی پاک، ع.ا.، ۱۳۸۰، تحلیل داده‌های اکتشافی، انتشارات دانشگاه تهران.
- ۷- حسنی پاک، ع.ا.، ۱۳۸۰، ژئوشیمی اکتشافی (محیطهای سنگی)، انتشارات دانشگاه تهران

- منابع انگلیسی:

- 1-Govett,G,J,S., (1994), Handbook of Exploration Geochemistry, Vol.6.
- 2-Govett, G,J,S., (1983), Handbook of Exploration Geochemistry, Vol. 2 (Statistics and Data Analysis in Geochemical prospecting), Elsevier.
- 3-Hair, J,F., Anderson, R.E., Tatham, R.L., and Black, W.C., 1995. Multivariate Data Analysis With Reading prentice Hall.
- 4-Cheng Q Agterberg, F.P., Bonham Carter, g.F., (1996)., A Spatial Analysis Method for Geochemical Anomaly seperation: Journal of Geochemical Exploration .., 56, P. 183-195
- 5-Meinert, L.D, 1992, Skarn and Skarn Deposits, Geoscience Canada, V.19, P.145-162.